

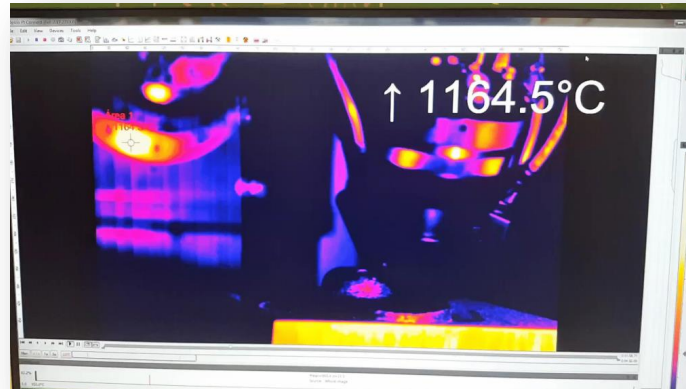
# Mesures de propriétés thermophysiques

C. Pradere

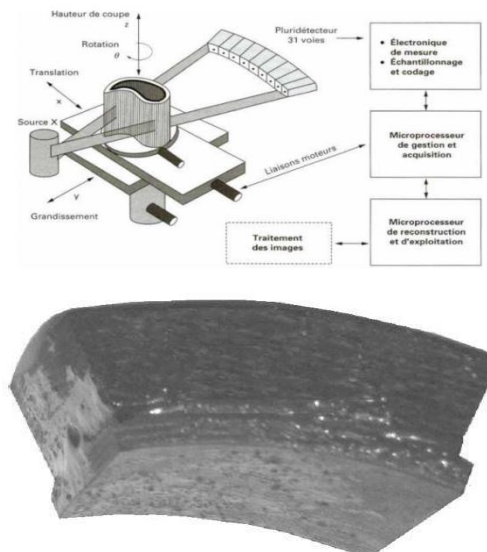
<sup>a</sup> I2M-TREFLE, UMR CNRS 5295, Bordeaux, France.

# Différence entre CND et métrologie thermique

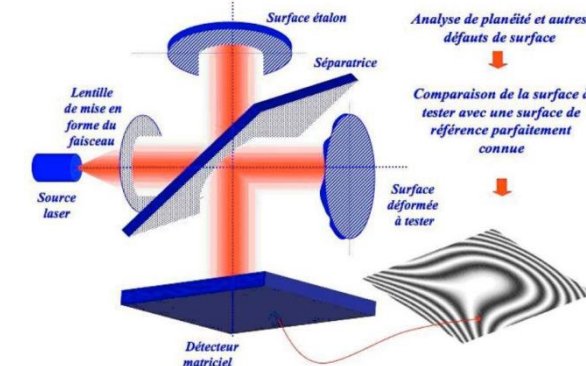
## Cas de la fabrication additive métallique



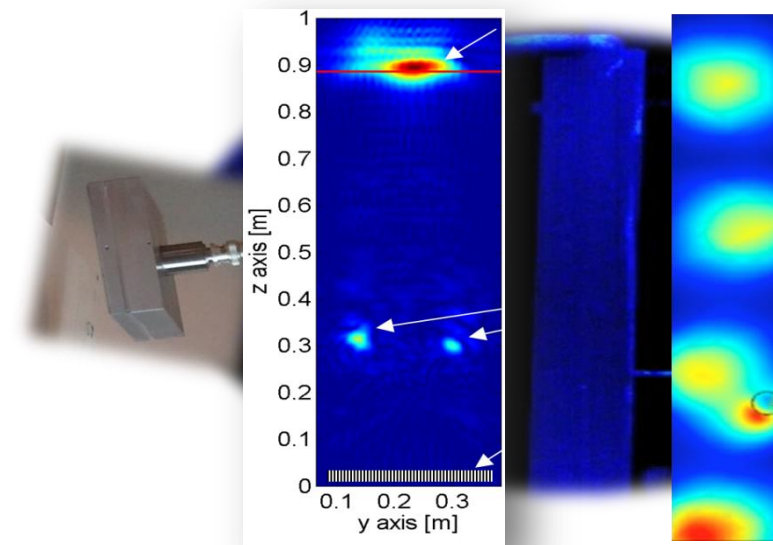
## Rayons X, tomographie



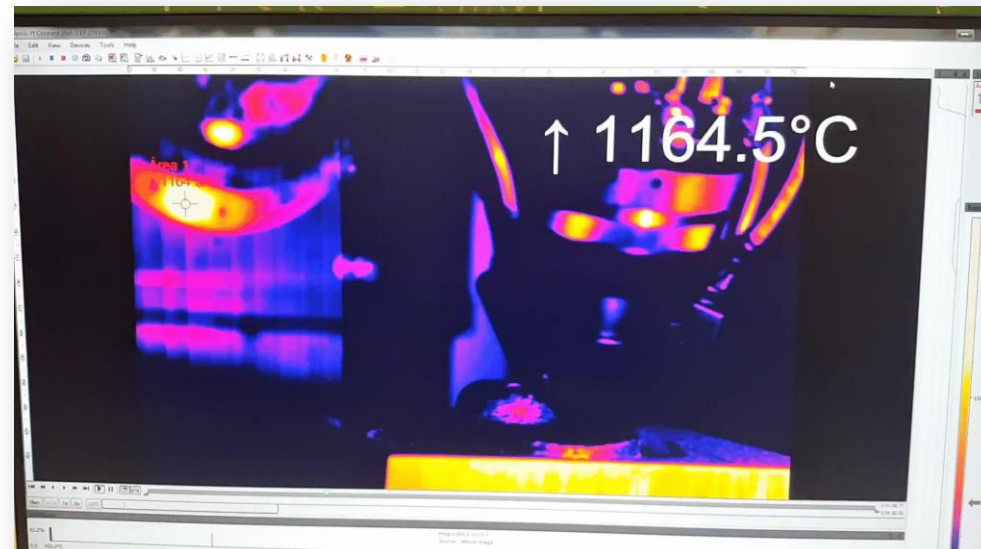
## Optique visible



## Acoustique



# Les propriétés thermophysiques



## Cas de la fabrication additive métallique

$$a_{xx} \frac{\partial^2 T}{\partial x^2} + a_{yy} \frac{\partial^2 T}{\partial y^2} + a_{zz} \frac{\partial^2 T}{\partial z^2} + \sum_i \frac{C_i \Delta H_i}{\rho C_p} \frac{\partial \tau}{\partial t} = \frac{\partial T}{\partial t}$$

$$T(x, y, z, t = 0) = 0$$

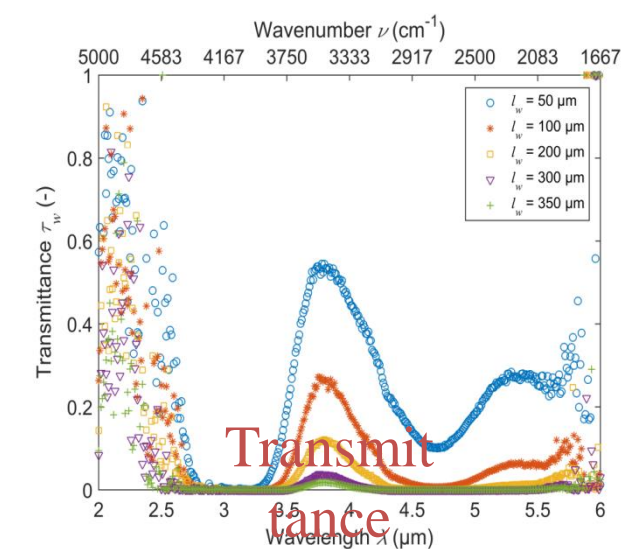
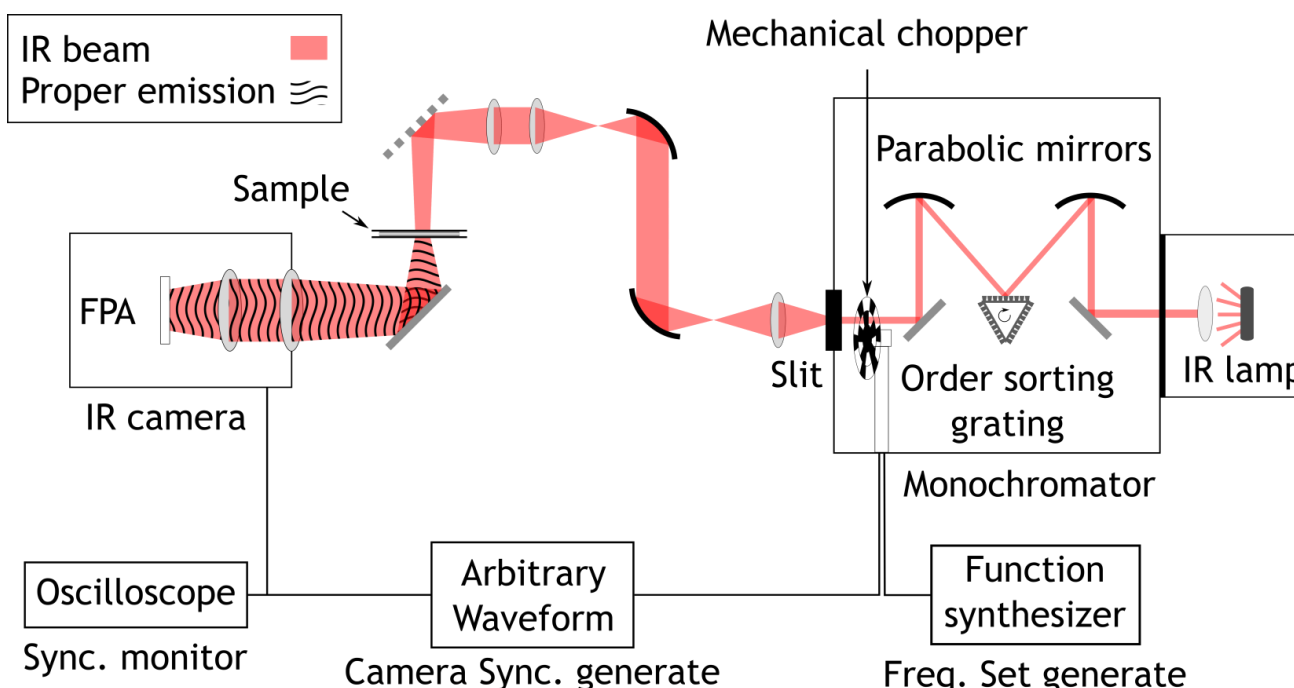
$$-\lambda_{zz} \left. \frac{\partial T}{\partial z} \right|_{z=0} = P_0 (1 - R - \Gamma) f(t) - \varepsilon \sigma (T^4 - T_a^4) - h(T - T_a)$$

$$\lambda_{yy} \left. \frac{\partial T}{\partial y} \right|_{x=\pm l} = \varepsilon \sigma (T^4 - T_a^4) + h(T - T_a);$$

$$-\lambda_{zz} \left. \frac{\partial T}{\partial z} \right|_{z=e} = 0; -\lambda_{xx} \left. \frac{\partial T}{\partial x} \right|_{x=\pm \infty} = 0;$$

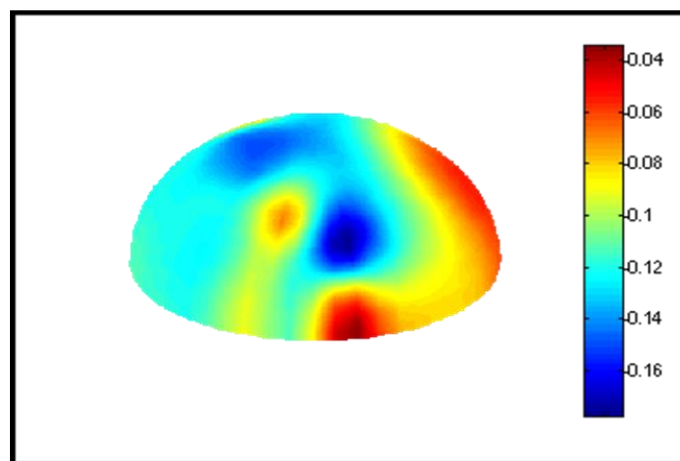
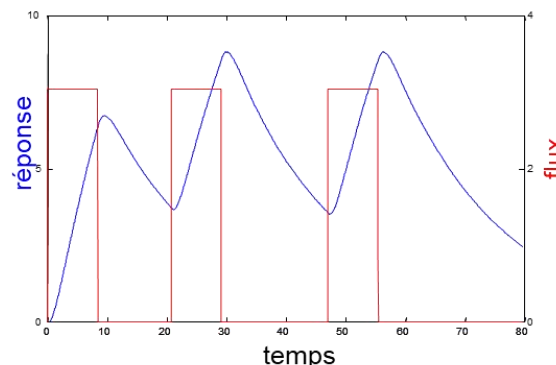
Modélisation du transfert de chaleur lors du procédé

# Liées au rayonnement: reflectivités, émissivités, Transmittance, absorbance....



Liées à la convection: coefficients d'échange par convection, viscosité, coefficients de diffusion

Confort thermique du cycliste

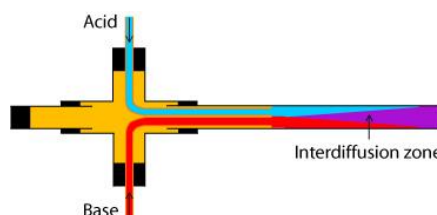


Cartographie de coefficients d'échange thermique (en  $s^{-1}$ ), modèle Xirtès, vitesse de l'air :  $40 \text{ km.h}^{-1}$

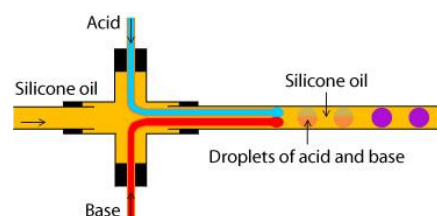
Coment E., Batsale J.C., Ladevie B., Caillibotte M., *Cartography and ventilation index for bicycle helmets*, ICEE, Dortmund, July 2000.

# Liées au changement de phase ou réaction chimique: enthalpies

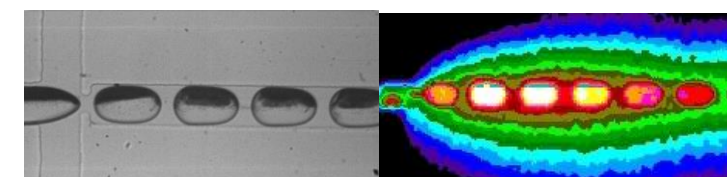
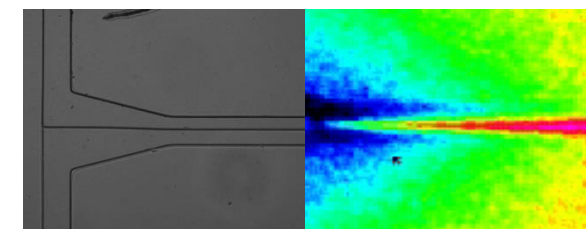
Applications : Chemical reaction or phase change in co-flow or droplet flow



*Laminar flow (low Reynolds number)  
Mixing by species diffusion  
Steady state ( $x = vt$ )*



*Mixing is faster  
1 droplet = 1 microreactor*



Tools : **Temperature fields measurements at microscales** (InfraRed camera), **analytic and numerical modelisation** (quadripole, finite difference...) and **inverse methods** (nodal: OLS, TLS and modal: SVD approaches)

Liées à la conduction thermique: la conductivité, la diffusivité, l'effusivité thermique, la capacité thermique volumique.

Les différentes propriétés thermiques des solides :

Conductivité thermique  $\lambda$  → Résistance au passage d'un flux de chaleur  
( $W.m^{-1}.K^{-1}$ )

Diffusivité thermique  $a$  → Vitesse de propagation d'un flux de chaleur ( $\phi$ )  
( $m^2.s^{-1}$ )

Effusivité thermique  $E$  → Elévation de la température de surface d'un corps soumis à un flux de chaleur  
( $W.m^{-2}.K^{-1}.s^{1/2}$ )

Capacité thermique volumique  $\rho c$  → Quantité d'énergie nécessaire pour éléver la température d'un volume de  $1m^3$   
( $J.m^{-3}.K^{-1}$ )

$$a = \frac{\lambda}{\rho c}$$

2 propriétés indépendantes :

$$E = \sqrt{\lambda \rho c}$$

# Moyens d'excitations

- Lampe Halogène (Modulée, 100 W)
- Diode Laser (800 nm, 1 W)
- Résistance chauffante (Modulée...)
- Modules Peltier
- Lampe Flash, à venir

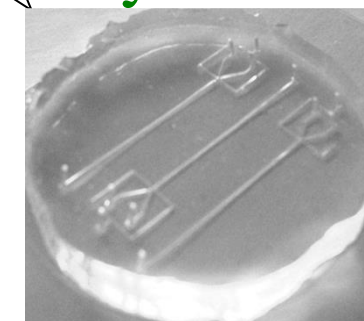
## Matériel

- Alim 200 W
- Générateur De Signaux
- Platines motorisées XYZ

## Dispositifs

- $\mu$ Calorimètre
- $\mu$ scope optique visible
- Enceinte sous vide...

## Système



# Systèmes de mesures

## Capteur solide (Flux, T)

Peltier (Mesure du flux)

Thermocouple ... (°C)

## Caméra IR (Température ??)

CEDIP, Orion multispectrale, JADE III

FLIR, A10 et A40

## Monocapteur IR (Flux)

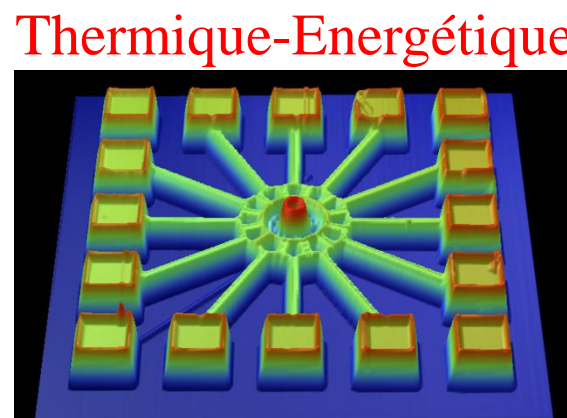
## IMPORTANT

Résolution spatiale 10  $\mu$ m au cm

Echelle temporelle MHz

Température -20 à 2000 °C

# Comment les calculer ???



*Electronique ( $\mu$ puce)*

*Chimique ( $\mu$ réacteurs)*

*Milieux dispersés (matériaux, biologie...)*

## Microscope thermique

Instrumentation pour la mesure  
de champ de température

Multiéchelle

$\mu\text{m}-\text{cm}$

Système

Acquisition de données



Traitement masse d'informations

*Méthodes inverses*

*Propriétés thermophysiques*

*Maîtrise de l'énergie*

## Définition:

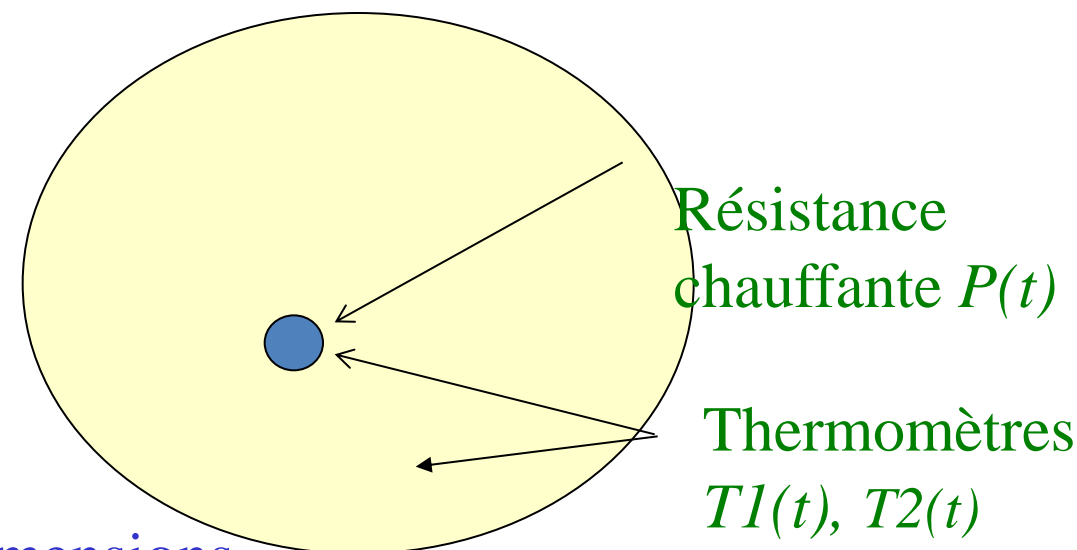
Dispositif de caractérisation thermique dans lequel la source de chaleur excitatrice (par effet Joule) et le thermomètre sont réunis en un seul et même capteur.

## Quelques exemples:

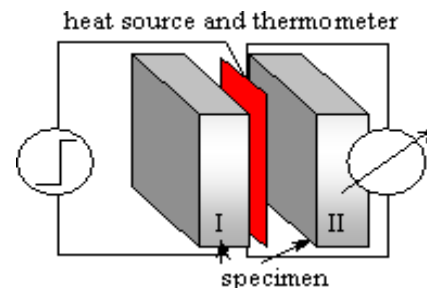
- Plan chaud
- Fil chaud
- Sphère chaude
- Sondes “composites”

## Avantages:

- Energie maîtrisée
- Echantillons de grandes dimensions
- Simplicité, robustesse
- Pilotage, acquisition, traitement
- Estimation simultanée de conductivité et diffusivité



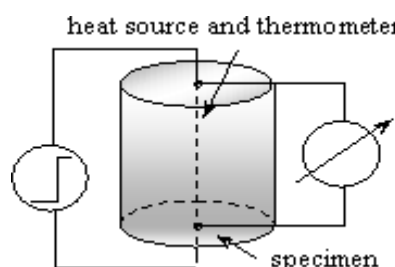
# Schéma de principe et grandeurs mesurées



## plan chaud (Isothermes planes)

$$T(0,t) - T_{\infty} = \frac{2P_a}{S\sqrt{\lambda\rho c}\sqrt{\pi}}\sqrt{t}$$

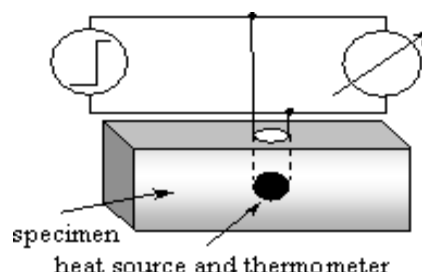
Mesure de l'effusivité thermique:  $\sqrt{\lambda\rho c}$  en  $Jm^{-2} K^{-1} s^{-1/2}$



## fil chaud (Isothermes cylindriques)

$$T(r_0,t) - T_{\infty} = \frac{P_0}{4\pi\lambda l} \ln(t) + \ln\left(\frac{4a}{r_0^2 c_p}\right)$$

Mesure de la conductivité thermique:  $\lambda$  en  $Wm^{-1} K^{-1}$

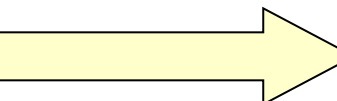


## sphère chaude

$$T(0,t) - T_{\infty} \approx \frac{P_0}{4\pi\lambda R}$$

Signal stationnaire corrélé avec les propriétés de la sonde et du contact.

Difficile à mettre en œuvre en pratique!



# Les mesures de la diffusivité dans l'épaisseur

2 types de configurations expérimentales

Transitoire

$$\rho C_p \frac{\partial T(x, y, z, t)}{\partial t} = \operatorname{div}(\lambda \vec{\operatorname{grad}}(T(x, y, z, t)))$$

$$x=0, -\lambda S \frac{dT}{dx} = \varphi(t)$$

*Face arrière*

Excitation  
Thermique

Mesure de la  
réponse thermique

Echantillon

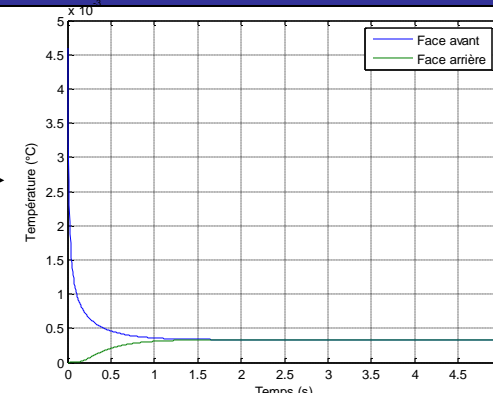
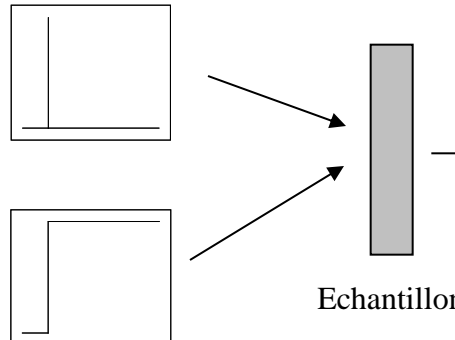
*Face avant*

Mesure de la  
réponse thermique

Excitation  
Thermique

Echantillon

## Méthodes impulsionales ou type échelon



Espace de Laplace

$$\begin{Bmatrix} \theta_{AV} \\ \Phi_{AV} \end{Bmatrix} = \begin{bmatrix} A & B \\ C & D \end{bmatrix} \begin{Bmatrix} \theta_{AR} \\ \Phi_{AR} \end{Bmatrix}$$

$$A = D = \cosh(\sqrt{p/ae});$$

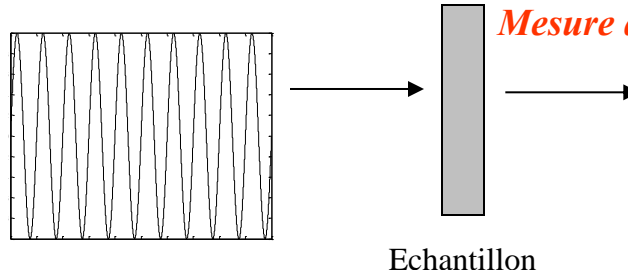
$$B = \sinh(\sqrt{p/ae}) / (\lambda S \sqrt{p/a})$$

$$C = (\lambda S \sqrt{p/a}) \sinh(\sqrt{p/ae})$$

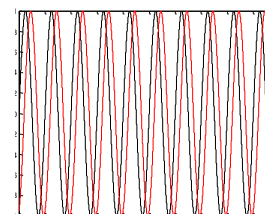
**Inversion**

*a, h*

## Méthodes modulées ou périodiques



Mesure d'un déphasage et d'une amplitude



Espace Complex

$$\begin{Bmatrix} \theta_{AV} \\ \Phi_{AV} \end{Bmatrix} = \begin{bmatrix} A & B \\ C & D \end{bmatrix} \begin{Bmatrix} \theta_{AR} \\ \Phi_{AR} \end{Bmatrix}$$

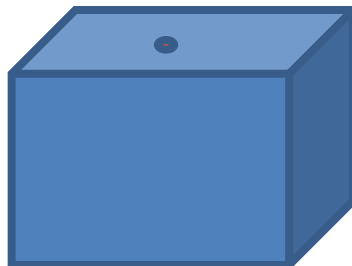
$$A = D = \cosh(\sqrt{j\omega/ae});$$

$$B = \sinh(\sqrt{j\omega/ae}) / (\lambda S \sqrt{j\omega/a})$$

$$C = (\lambda S \sqrt{j\omega/a}) \sinh(\sqrt{j\omega/ae})$$

**Inversion**

*a, h*



$$T(x, y, z, t) = \frac{Q}{\rho c} \frac{\exp(x^2/(4a_x t))}{\sqrt{\pi a_x t}} \frac{\exp(y^2/(4a_y t))}{\sqrt{\pi a_y t}} \frac{\exp(z^2/(4a_z t))}{\sqrt{\pi a_z t}}$$

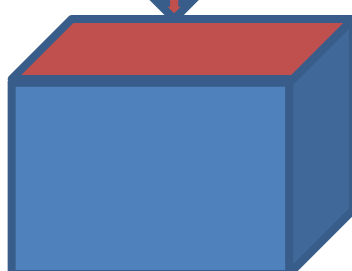
**Hot spot**

$$T(x=0, y=0, z=0) = K x t^{3/2}$$

Averaging vs  $y$  = Hot wire vs  $x$

$$\langle T(y, z=0, t) \rangle_x = \frac{Q}{\rho c L} \frac{1}{\sqrt{a_z \pi t}} \frac{\exp(-y^2/(4a_y t))}{\sqrt{a_y \pi t}}$$

**T(x=0, y=0, z=0) = K x t^1**

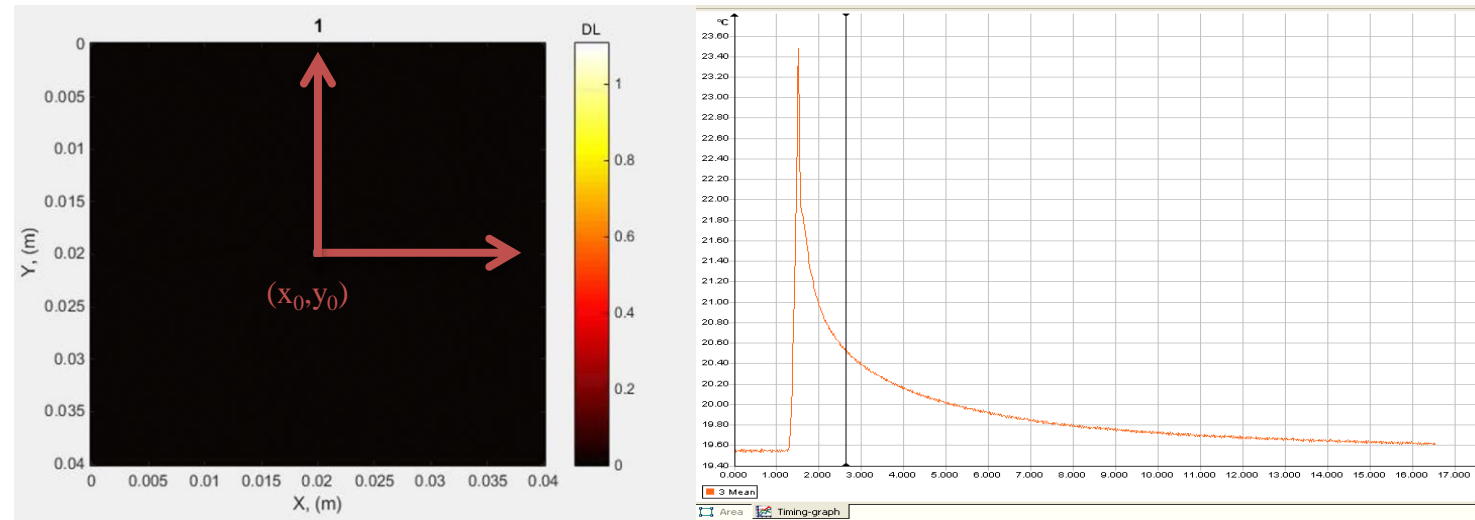


Averaging vs  $x$  and  $y$

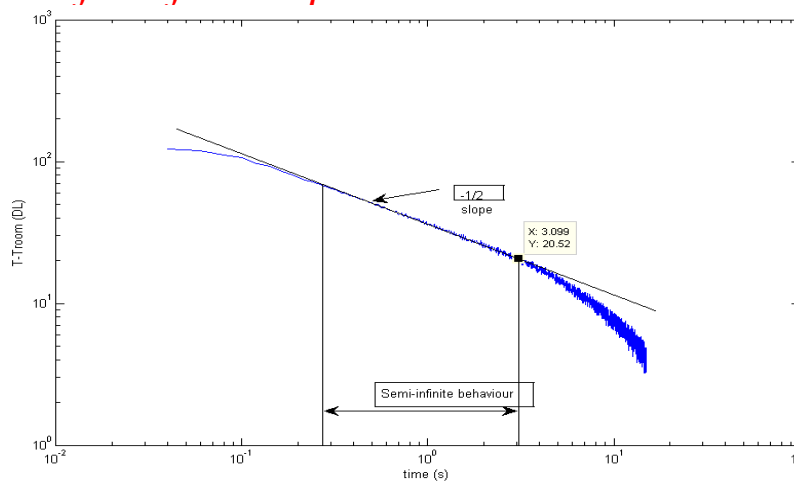
$$\langle \langle T(z=0, t) \rangle_x \rangle_y = \frac{Q}{\rho c L l} \frac{1}{\sqrt{a_z \pi t}}$$

**T(x=0, y=0, z=0) = K x t^{1/2}**

# Illustrations

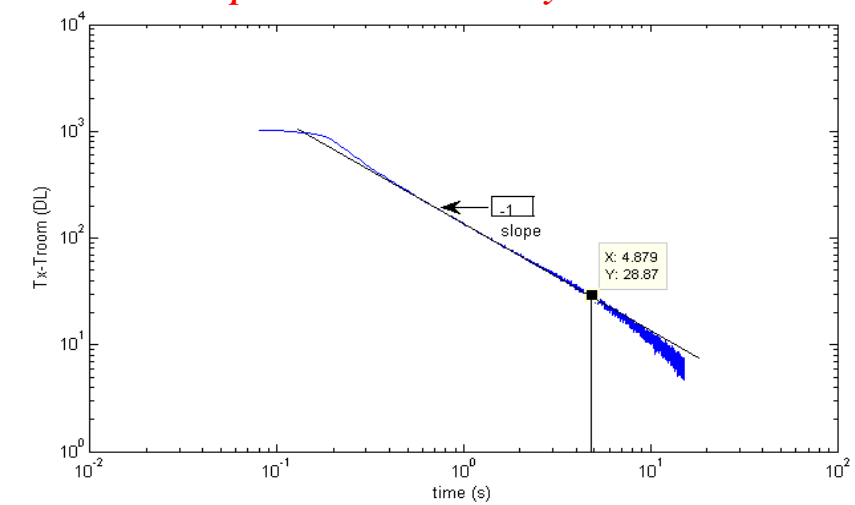


*Average temperature evolution of sample's surface for the pixels inside the circle*

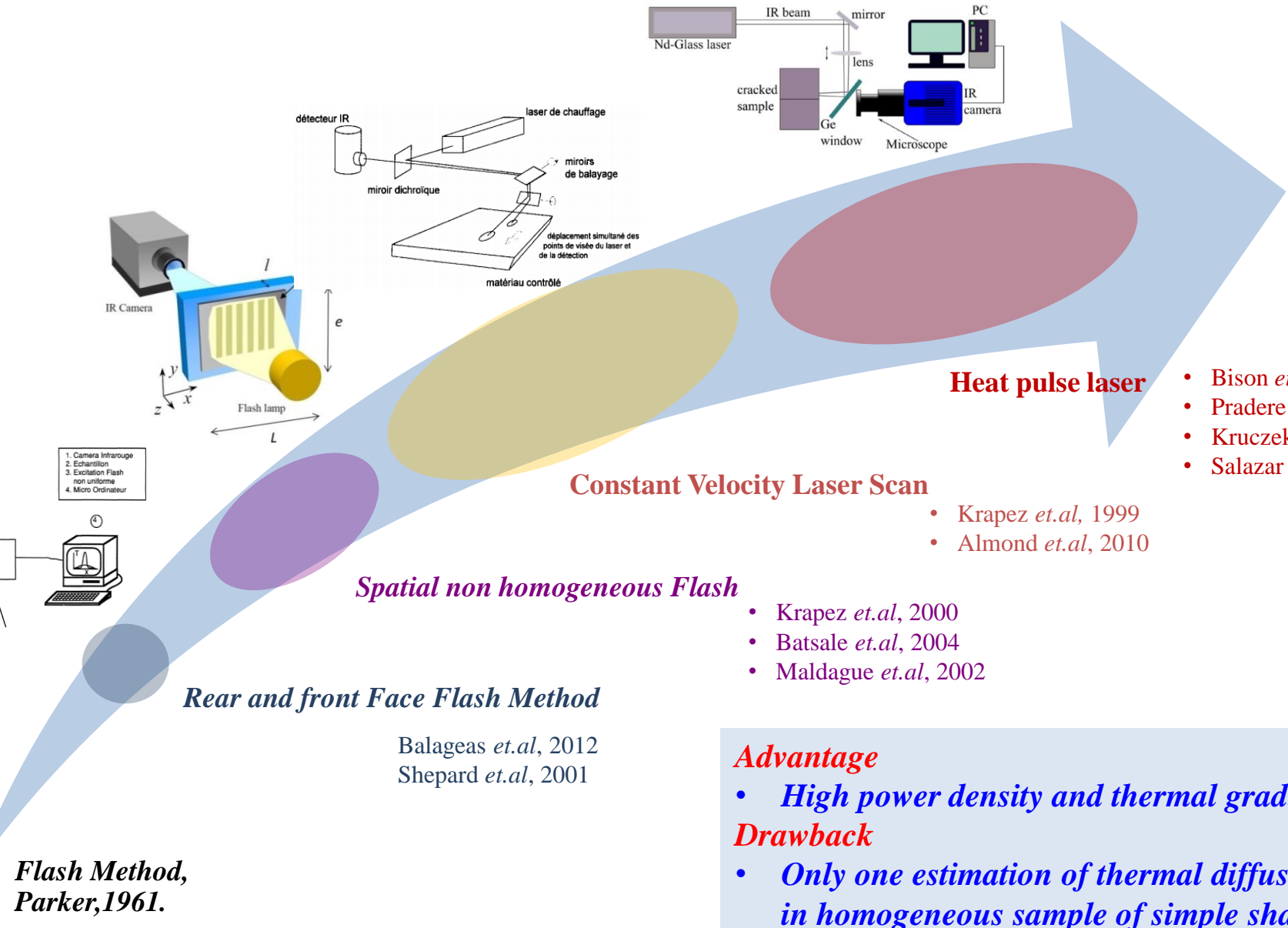


*Logarithm spatial average value of the temperature ( $T - T_{room}$ ) is plotted versus  $\log(t)$*

*Study of partial spatial average value of temperature in x or y direction*



# Les mesures de la diffusivité dans le plan



## *Méthodes de type transformées intégrales*

*Approches 2D, 3D sur milieu homogène*

*Tout type d'excitation impulsionales (périodique spatiale, aléatoire, point source...)*

*Estimation de la diffusivité thermique*

## *Méthodes de type nodales et modales*

*Approches 2D, 3D sur milieu hétérogène*

*Tout type d'excitation impulsionales (périodique spatiale, aléatoire, point source...)*

*Estimation de la diffusivité thermique*

## *Flying spot*

*Approches 2D, 3D sur milieu hétérogène*

*Tout type d'excitation transitoire (périodique spatiale, aléatoire, point source...)*

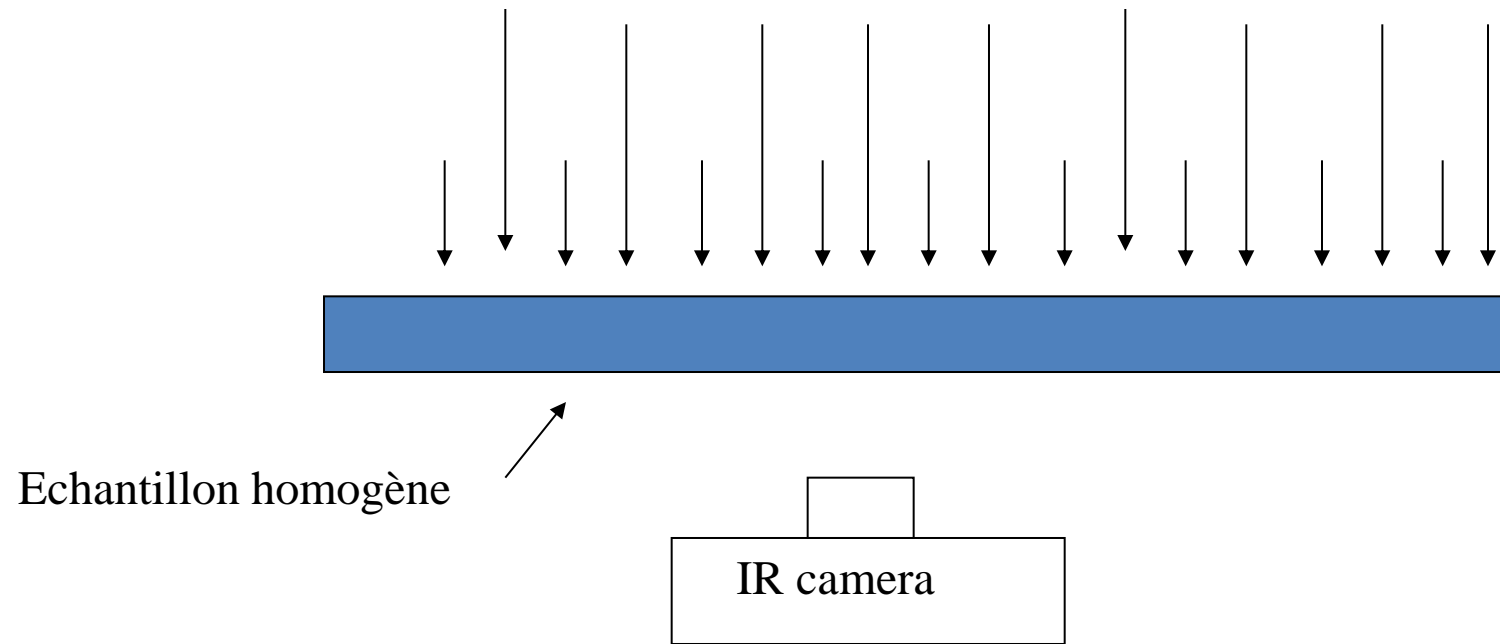
*Estimation de la diffusivité thermique et du terme source*

## *Périodique hétérodyne*

*Approches 2D, 3D sur milieu hétérogène, excitation périodique, grande résolution spatiale et temporelle*

*Estimation de la diffusivité thermique*

## Application avec caméra IR au cas impulsional en milieu homogène

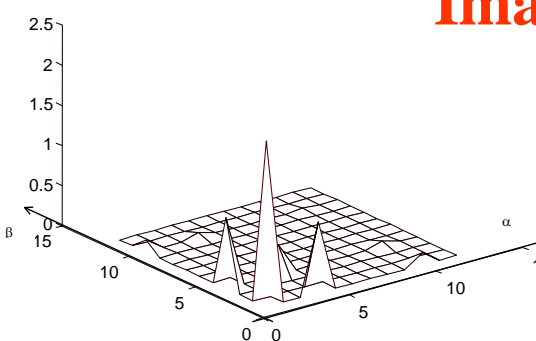
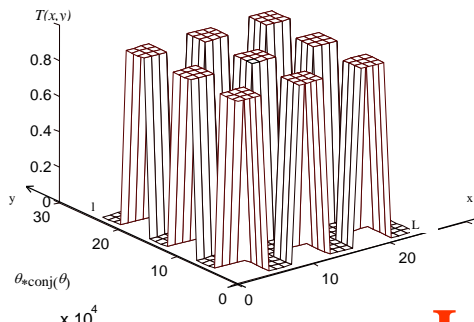


→ Analyse de la transformation de Fourier spatiale du champ de température

**Philippi I., Batsale J.C., Maillet D. et Degiovanni A. :** (1995) Measurement of thermal diffusivity through processing of infrared images processing, Rev. Sci. Instru., 66(1), pp182-192.  
**Krapez J.C., 1999** Mesure de diffusivité longitudinale de plaques minces par méthode de grille-Journée SFT: "Thermographie IR quantitative" ONERA Mars 1999

*Application avec caméra IR au cas impulsif en milieu homogène*

## Images réelles

 $t=0$ 

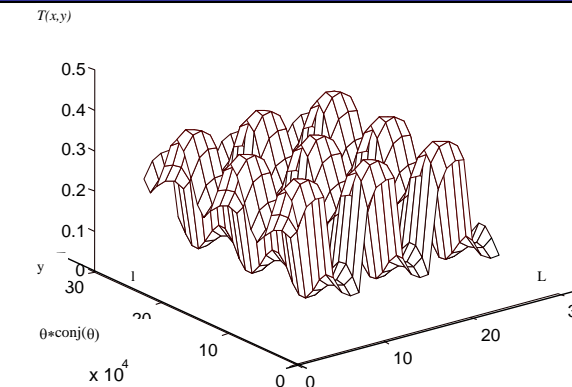
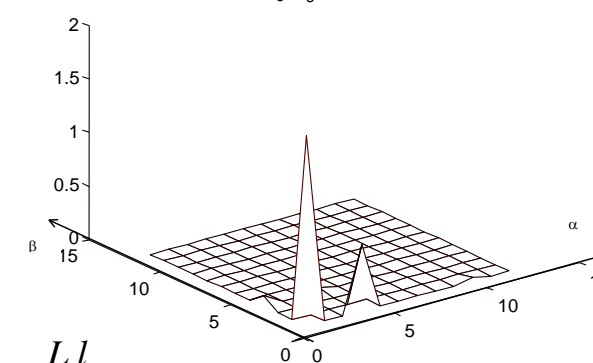
Transformée de Fourier

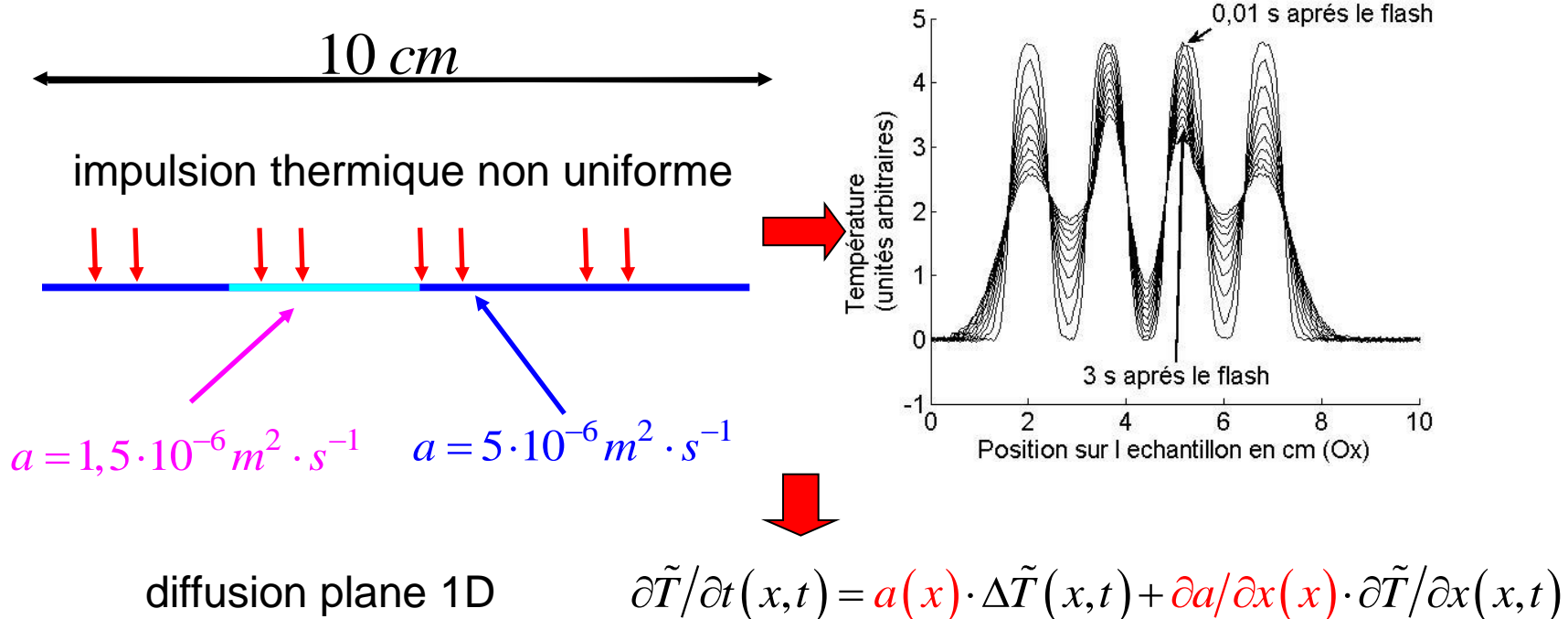
$$\Theta(\alpha_n, \beta_m, z, t) = \int \int_{0 0}^{L l} \cos(\alpha_n x) \cos(\beta_m y) \cdot T(x, y, z, t) \cdot dx dy$$

Expression 1D espace de Fourier  $\theta(t, \alpha) = \theta(t=0, \alpha) * \exp(-a\alpha^2 t - ht)$ 

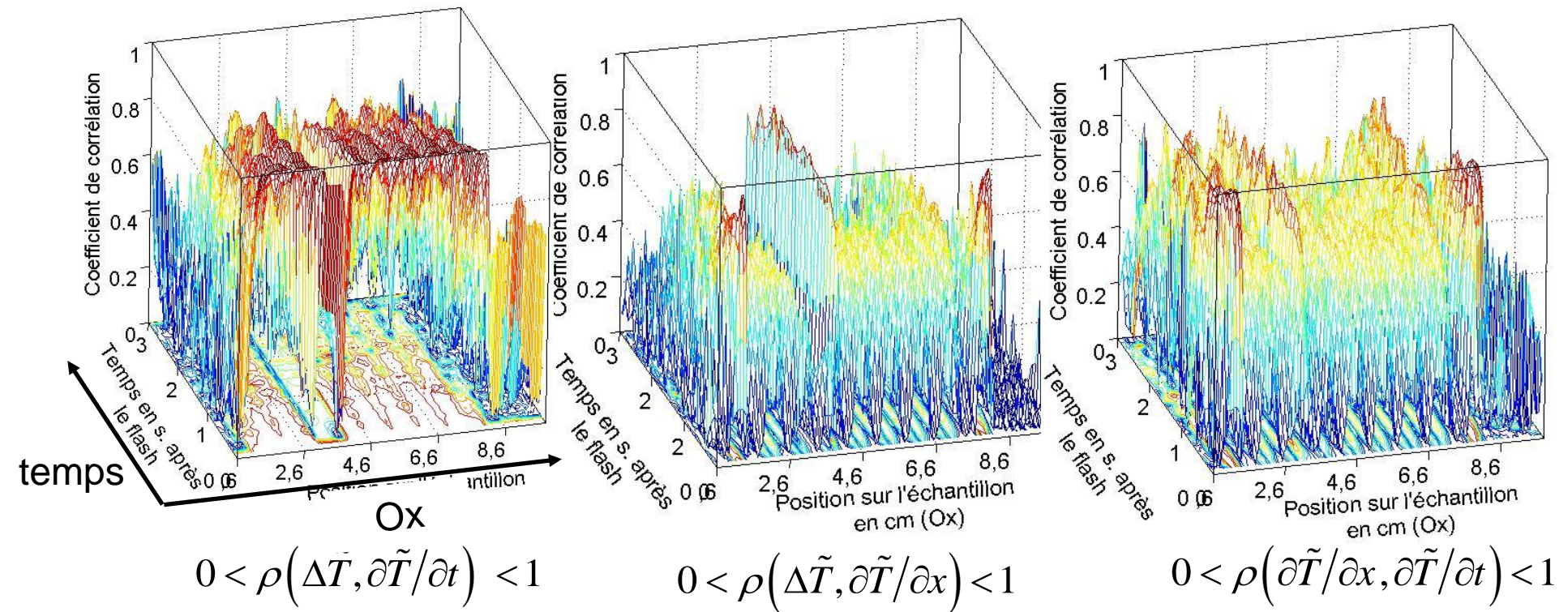
Méthode d'estimation

$$\ln \frac{\theta(\alpha, e, t_2)}{\theta(\alpha, e, t_1)} = \ln \frac{\theta(0, e, t_2)}{\theta(0, e, t_1)} - a_x \cdot \alpha^2 \cdot (t_2 - t_1)$$

 $t > 0$ 

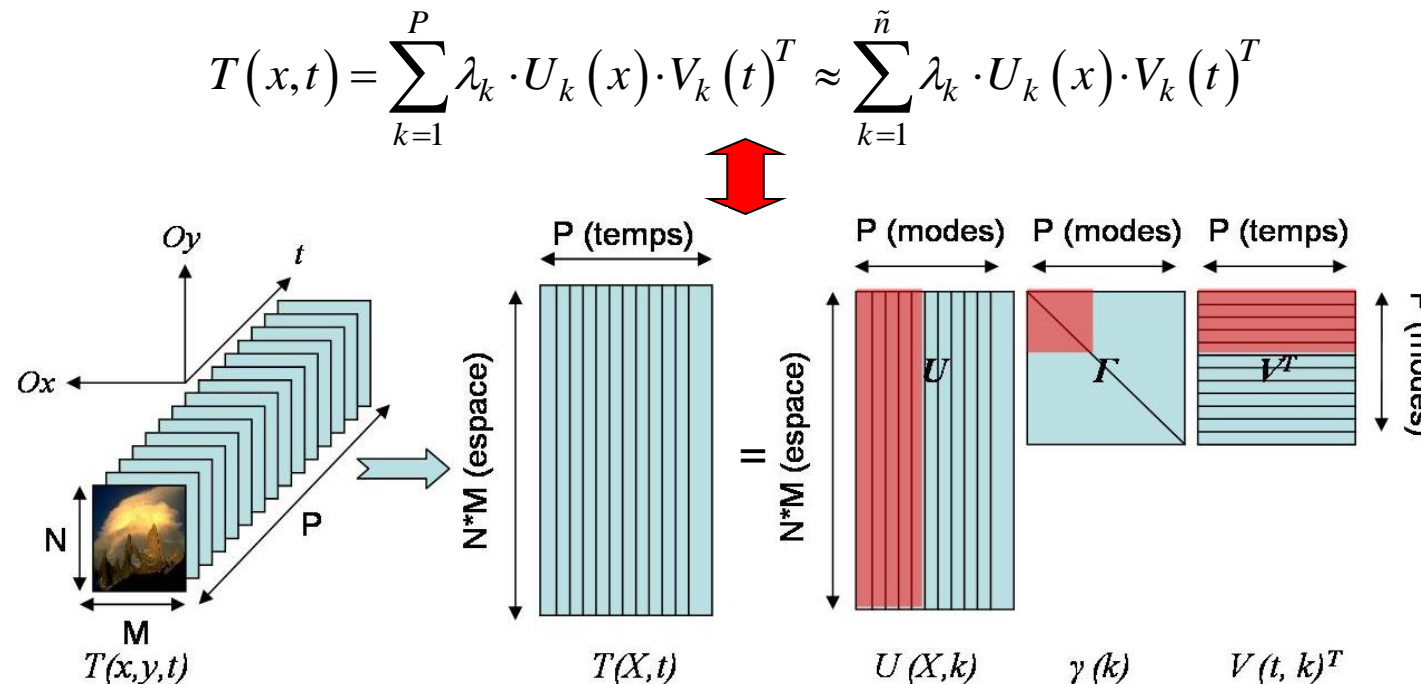
*Matériau ou milieu hétérogène (thèse M. Bamford 2007)*

Simulation proche des données expérimentales

*Approche nodale par les corrélations*

Déterminer les parties où le modèle est valide, coûteux en temps de calcul

## Approche modale par la SVD



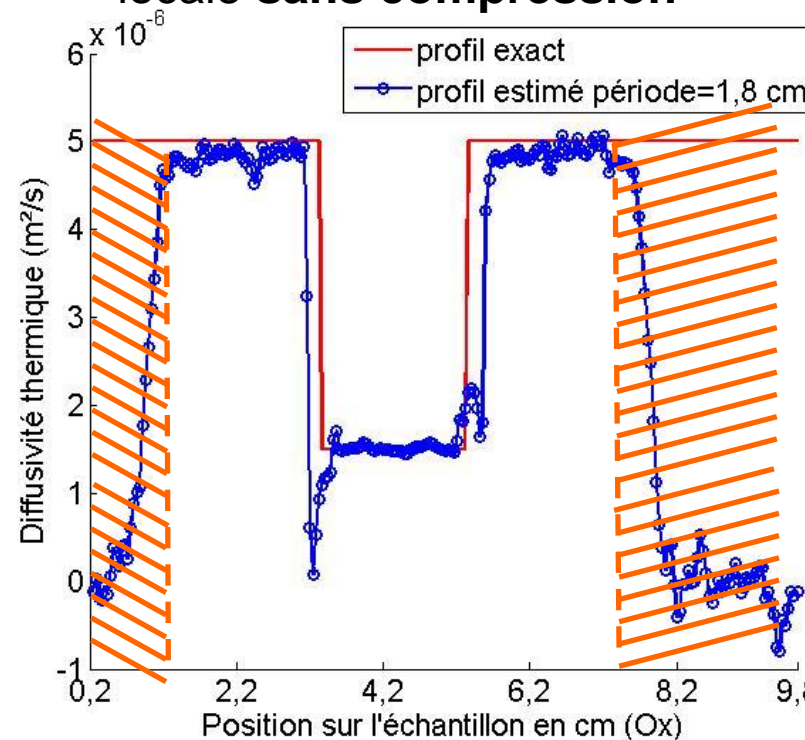
Equations identiques dans l'espace modal et dans l'espace de départ

$$\tilde{U}_k(x) = a(x) \cdot \Delta U_k(x) + \partial a / \partial x(x) \cdot \partial U_k / \partial x(x)$$

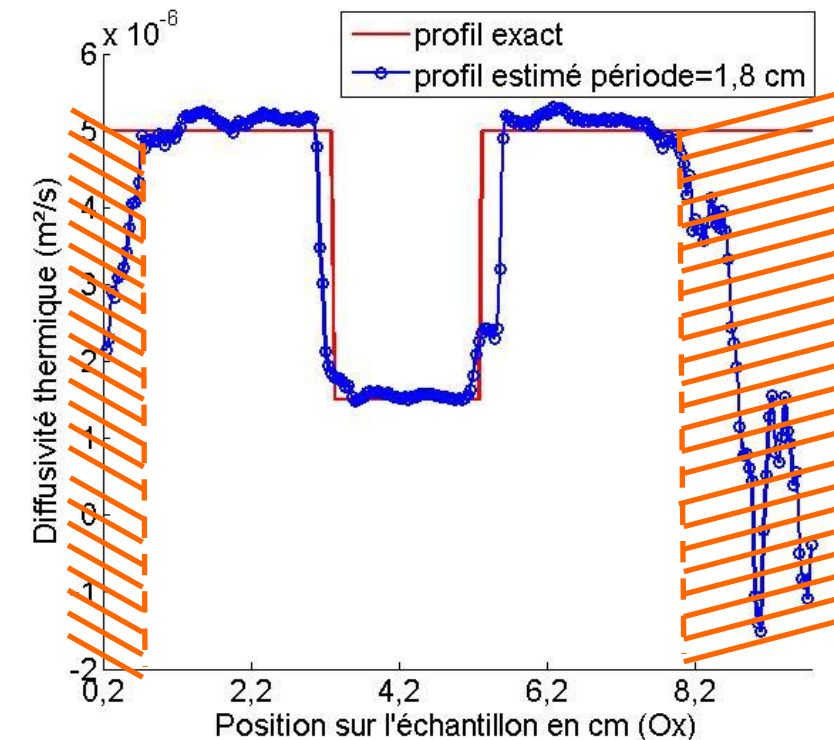
Même stratégie que précédemment, sur données compressées

# Résultats

Profil diffusivité longitudinale  
locale **sans compression**



Profil diffusivité longitudinale  
locale **avec compression**



Résultats similaires, temps calcul / 100

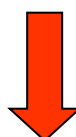
## *Méthode en transformée intégrale*



*La transformée de Fourier apporte une « réduction » de la quantité d'information.*

*L'expression analytique s'écrit plus « simplement » dans l'espace transformé.*

*L'influence du bruit de mesure est diminuée par le fait que les signaux sont moyennés.*



*La transformation de Fourier spatiale = solutions dans le cas d'un matériau homogène.*

*Traitement de toute l'image alors qu'en nodal, uniquement quelques pixels sont « utilisables ».*

*Le signal est plus sensible à « certaines » fréquences spatiales.*



## *Approche nodale et modale*



*Estimation de la diffusivité en chacun des pixels*

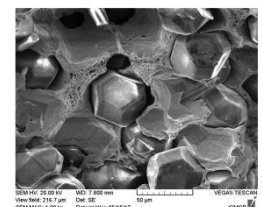
*Corrélation = vérification de la validité du modèle thermique*

*SVD = Compression de l'information*

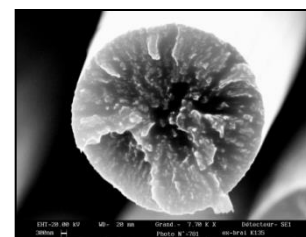
*Ces méthodes ne s'appliquent qu'à une excitation de type impulsionale*

# Study thermal characterization of multiscale heterogeneous materials

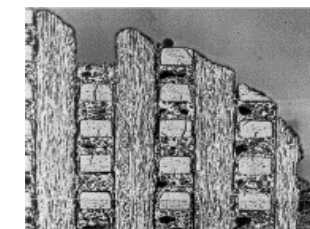
Copper-Diamond  
Composite L  $\approx$  10 nm



Carbon fibers  
Diameter L  $\approx$  10 µm



3D stratified composite  
L  $\approx$  1 cm



Aircraft Wing  
L > m



Spaceship  
L > 10 m



10 nm 100 nm 1 µm 100 µm 0,01 cm 0,1 cm 1 cm 10 cm 1 m 10 m 100 m

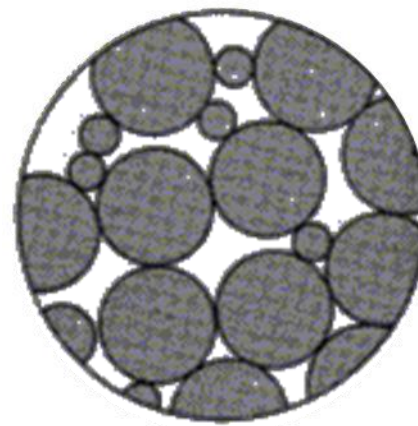
## Difficulties:

*To perform quantitative estimations of in-plane thermal diffusivities fields on multiscale, heterogeneous and anisotropic materials*

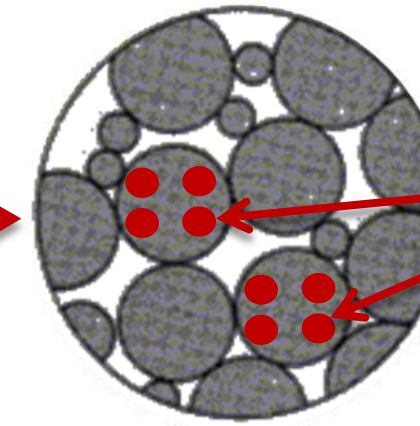
# Scientific strategy

Break down the problem into homogeneous media by parts

Heterogeneous and anisotropic media



Laser Heat Pulse in Representative Elementary Volume (R.E.V)



High thermal gradient at the surface of the sample

Use IR thermography for fields imaging and estimation



To develop set-up and methods :

Laser optical scanner for positioning in REV

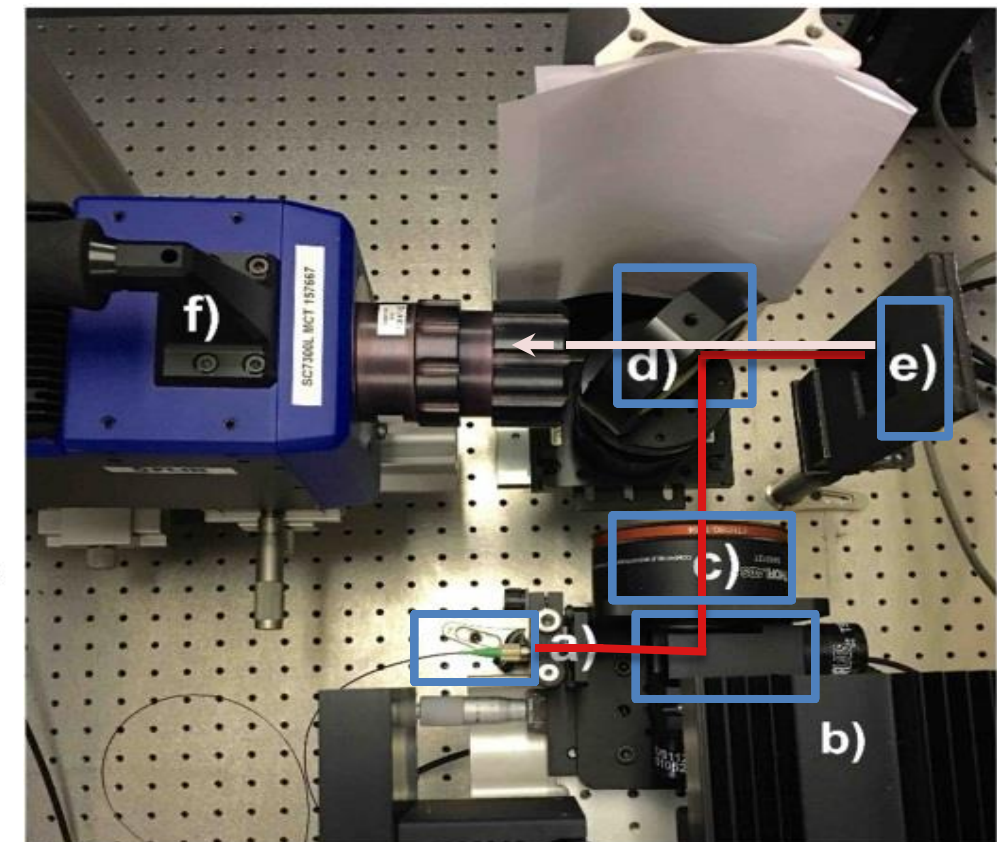
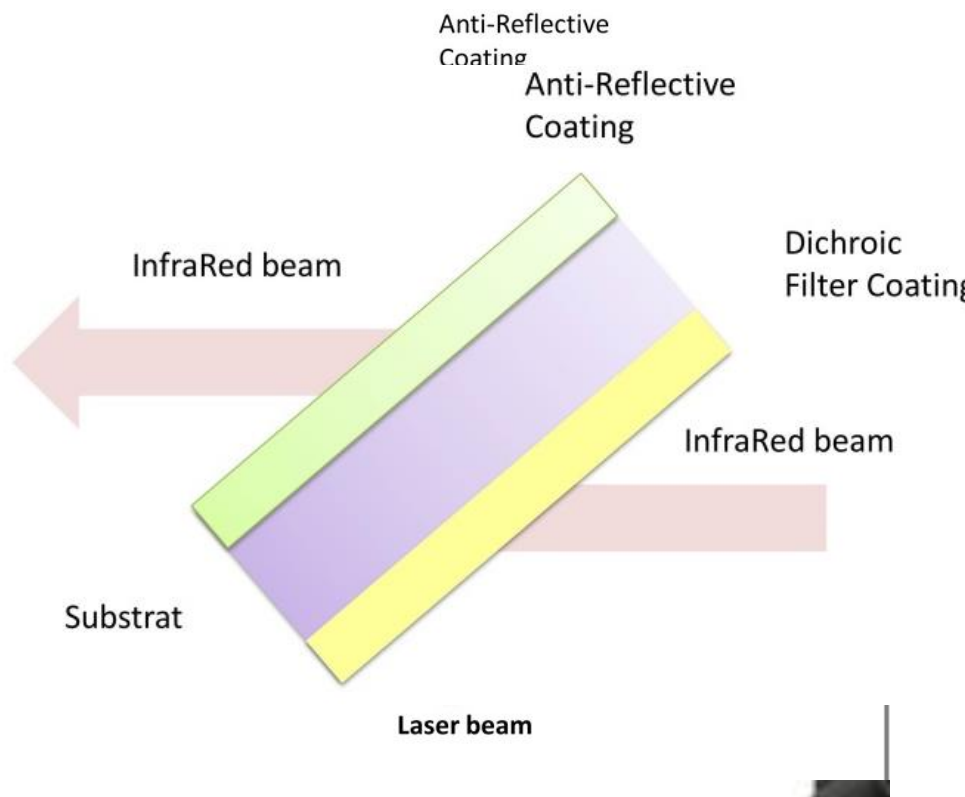
Infrared camera for multiscale imaging

Analytical methods based on separable solutions

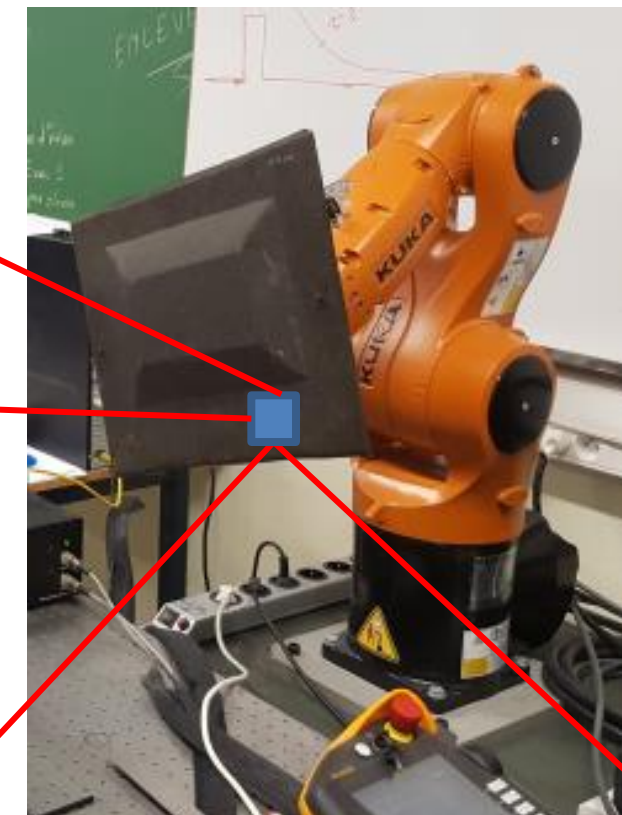
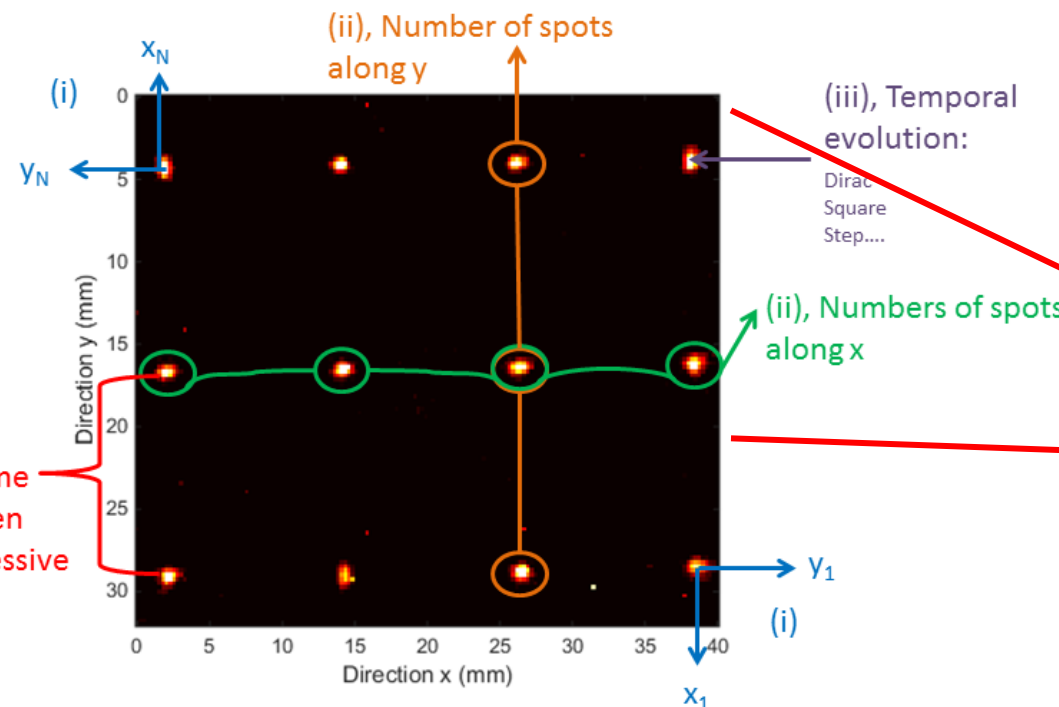
# Experimental set-up: Flying Spot

## Component

- a) IR Laser diode: 976 nm and 330 mW
- b) Galvanometric mirror
- c) F-theta lens
- d) Dichroic mirror
- e) Sample
- f) MCT IR camera (FLIR SC7000, 320\*256 pixels, pitch 30 µm, spectral range from 9 to 11 µm)



# Experimental set-up: Multiscale approach + Scanning with robot



## Scanning performances :

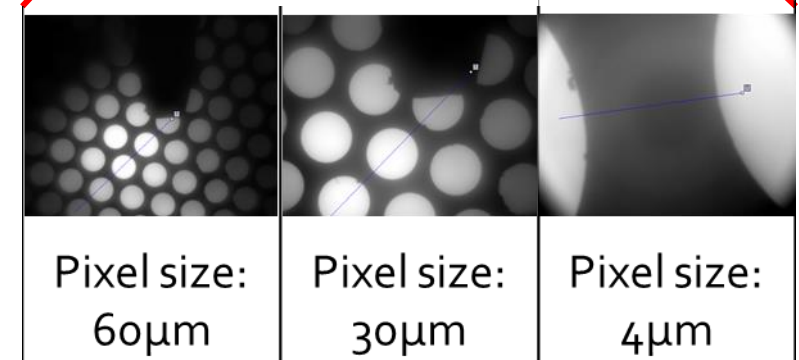
Scanning area : 60 mm x 40 mm

Laser spot: < 18  $\mu\text{m}$

Scanning rate: up to 1000 Hz

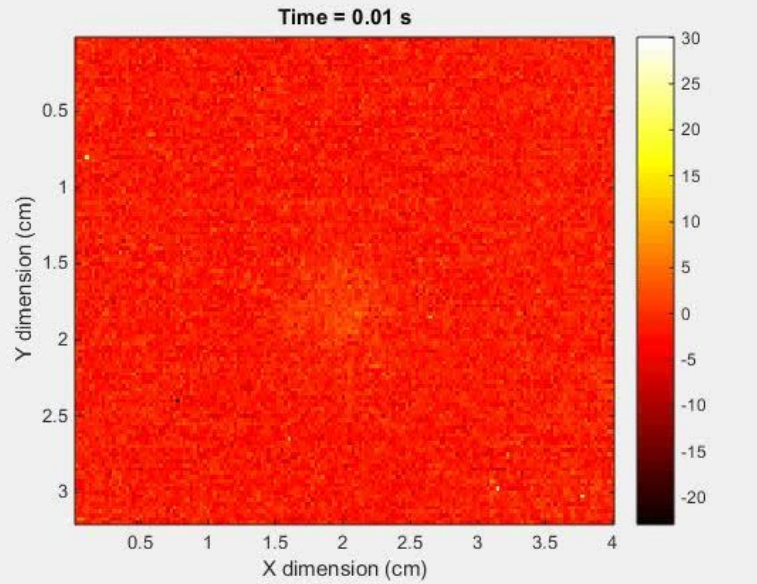
Spatial image resolution: from 4  $\mu\text{m}$  to 250  $\mu\text{m}$

Robot: 6 axes, up to 2 m/s and 360°/s

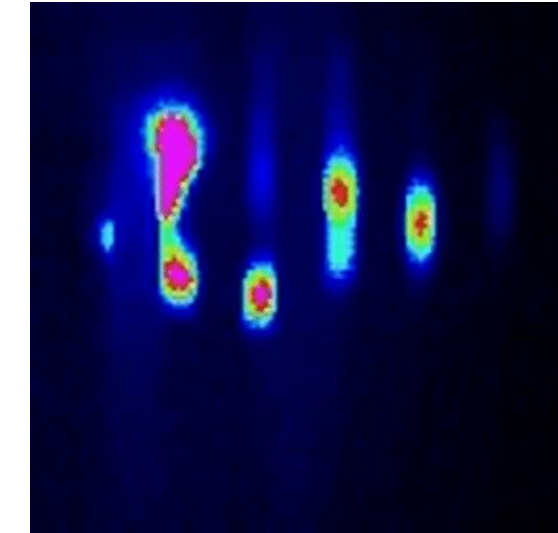
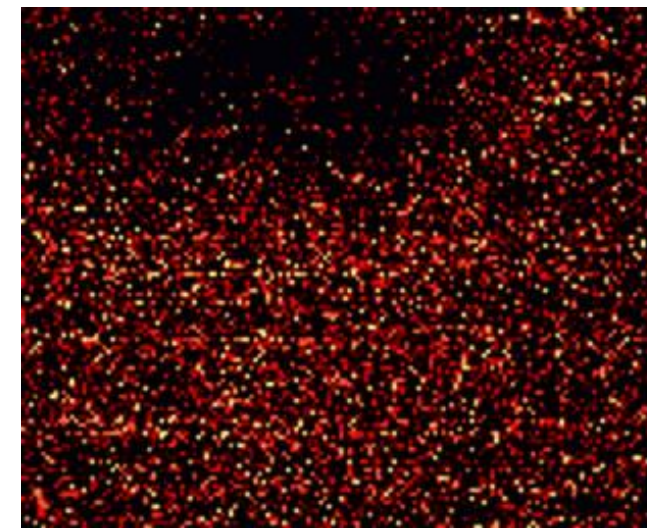
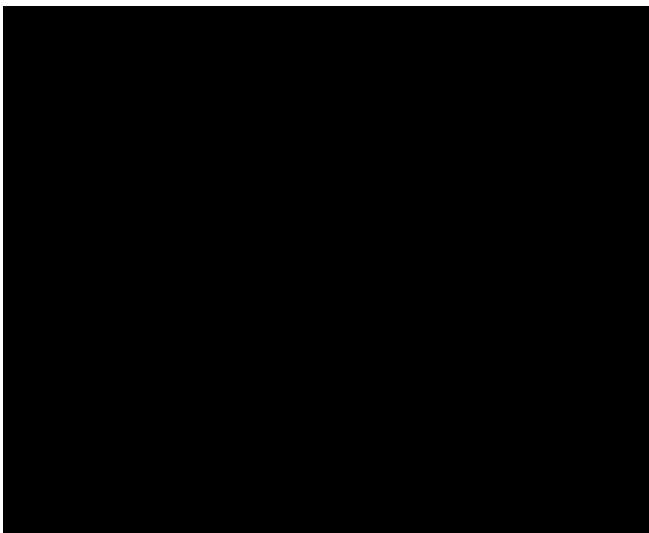


# Experimental set-up: Scanning configurations

## *Flying Spot « the most versatile set-up »*

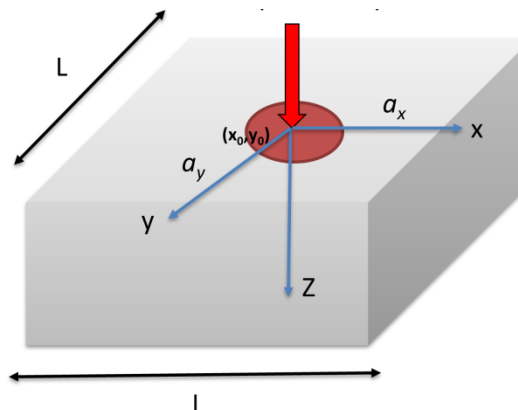


From Pulsed Spot (PS)  
To Grid Pulsed Flying Spot (GPFS)  
To Lock-in Pulsed Flying Spot (LPFS) 1994, Busse *et al.*  
To Constant Velocity Flying Spot (CVFS)  
To Random Pulsed Flying Spot (RPFS)

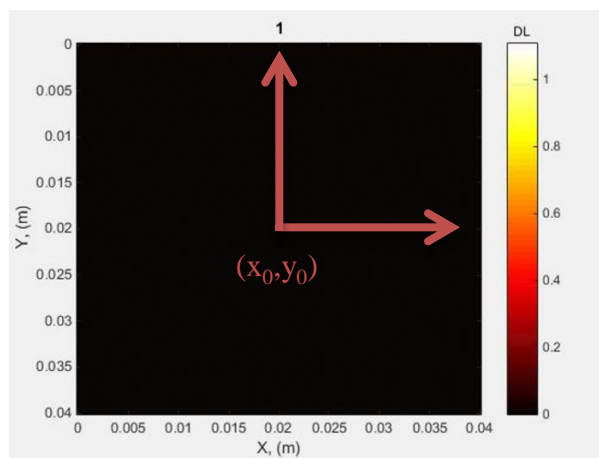


*Direct thermal problem*

Heat Pulsed Spot



IR temperature field

Analytical solution of the  $3Dt$  temperature field [1]

$$T(x, y, z, t) = \frac{Q}{\rho c} \frac{\exp\left(-\frac{(x - x_0)^2}{4a_{xx}t}\right)}{\sqrt{\pi a_{xx}t}} \frac{\exp\left(-\frac{(y - y_0)^2}{4a_{yy}t}\right)}{\sqrt{\pi a_{yy}t}} \frac{\exp\left(-\frac{z^2}{4a_{zz}t}\right)}{\sqrt{\pi a_{zz}t}}$$

**Separability properties along x, y and z**

$$T(x, y, z, t) = T_x \cdot T_y \cdot T_z$$

Space average following the  $x$  and  $y$  directions is considered

$$\begin{cases} \bar{T}_y = \frac{Q}{\rho c} \frac{\exp\left(-\frac{(x - x_0)^2}{4a_{xx}t}\right)}{\sqrt{\pi a_{xx}t}} \frac{I}{\sqrt{\pi a_{zz}t}} \\ \bar{T}_x = \frac{Q}{\rho c} \frac{\exp\left(-\frac{(y - y_0)^2}{4a_{yy}t}\right)}{\sqrt{\pi a_{yy}t}} \frac{I}{\sqrt{\pi a_{zz}t}} \end{cases}$$

[1] Carslaw, H. S., & Jaeger, J. C. (1959).

## Direct thermal problem

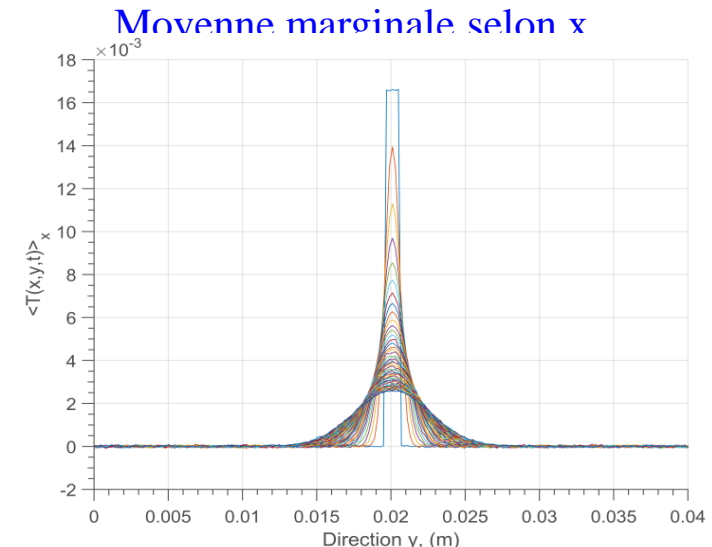
Expression analytique du champ de température à la surface de l'échantillon

$$T(x, y, z=0, t) = \frac{Q}{\rho c} \frac{\exp\left(-\frac{(x-x_0)^2}{4a_{xx}t}\right)}{\sqrt{\pi a_{xx}t}} \frac{\exp\left(-\frac{(y-y_0)^2}{4a_{yy}t}\right)}{\sqrt{\pi a_{yy}t}} \frac{1}{\sqrt{\pi a_{zz}t}}$$

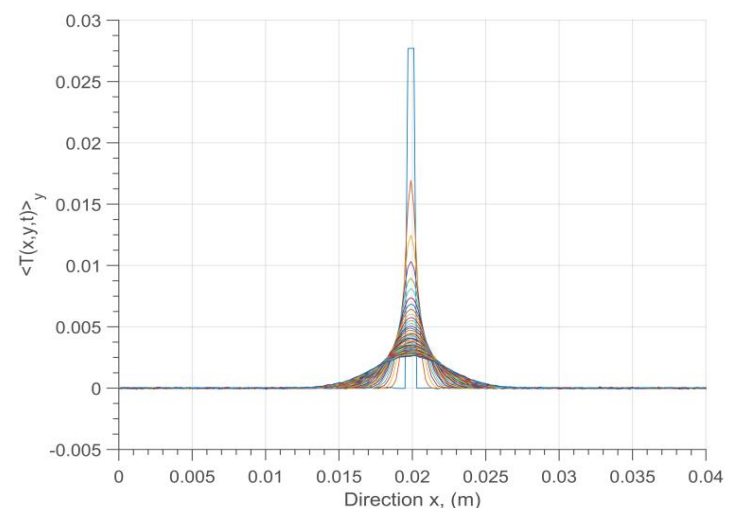


Moyennes marginales selon les directions x et y

$$\begin{cases} \bar{T}_y = \frac{Q}{\rho c} \frac{\exp\left(-\frac{(x-x_0)^2}{4a_{xx}t}\right)}{\sqrt{\pi a_{xx}t}} \frac{1}{\sqrt{\pi a_{zz}t}} \\ \bar{T}_x = \frac{Q}{\rho c} \frac{\exp\left(-\frac{(y-y_0)^2}{4a_{yy}t}\right)}{\sqrt{\pi a_{yy}t}} \frac{1}{\sqrt{\pi a_{zz}t}} \end{cases}$$



**Moyenne marginale selon y**



## Inverse processing

Moyennes marginales selon les directions x et y

$$\begin{cases} \bar{T}_y = \frac{Q}{\rho c} \frac{\exp\left(-\frac{(x - x_0)^2}{4a_{xx}t}\right)}{\sqrt{\pi a_{xx}t}} \frac{1}{\sqrt{\pi a_{zz}t}} \\ \bar{T}_x = \frac{Q}{\rho c} \frac{\exp\left(-\frac{(y - y_0)^2}{4a_{yy}t}\right)}{\sqrt{\pi a_{yy}t}} \frac{1}{\sqrt{\pi a_{zz}t}} \end{cases}$$

Seuillage de la gaussienne du bruit de mesure au cours du temps

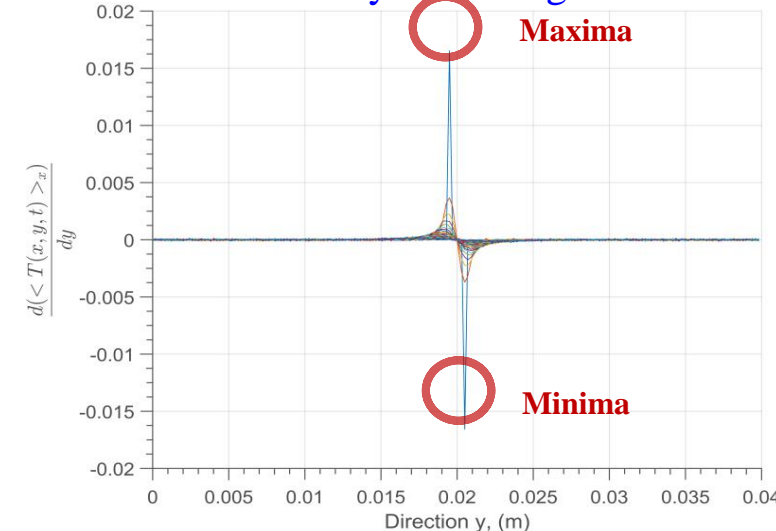
Borne max

$$\begin{cases} \max\left(\frac{d\bar{T}_y}{dx}\right) \\ \max\left(\frac{d\bar{T}_x}{dy}\right) \end{cases}$$

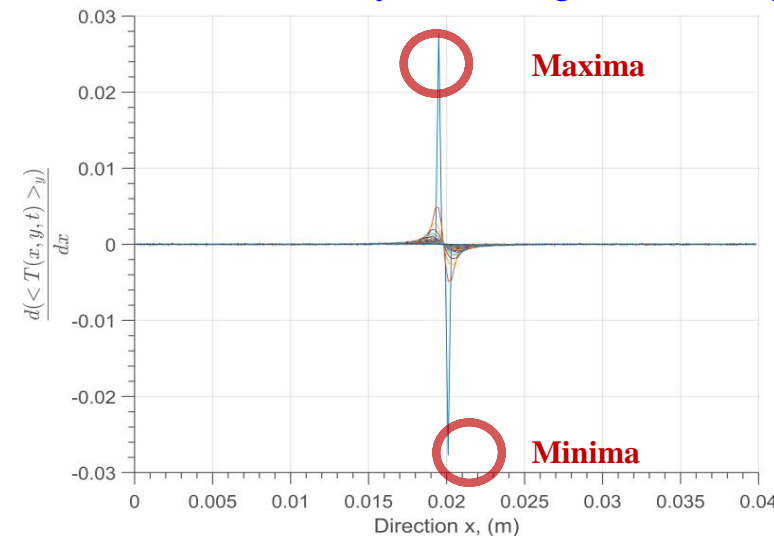
Borne min

$$\begin{cases} \min\left(\frac{d\bar{T}_y}{dx}\right) \\ \min\left(\frac{d\bar{T}_x}{dy}\right) \end{cases}$$

Dérivée de la moyenne marginale selon x



Dérivée de la moyenne marginale selon y



## *Inverse processing*

Moyennes marginales selon les directions x et y

$$\begin{cases} \bar{T}_y = \frac{Q}{\rho c} \frac{\exp\left(-\frac{(x - x_0)^2}{4a_{xx}t}\right)}{\sqrt{\pi a_{xx}t}} \frac{I}{\sqrt{\pi a_{zz}t}} \\ \bar{T}_x = \frac{Q}{\rho c} \frac{\exp\left(-\frac{(y - y_0)^2}{4a_{yy}t}\right)}{\sqrt{\pi a_{yy}t}} \frac{I}{\sqrt{\pi a_{zz}t}} \end{cases}$$

Seuillage de la gaussienne du bruit de mesure au cours du temps

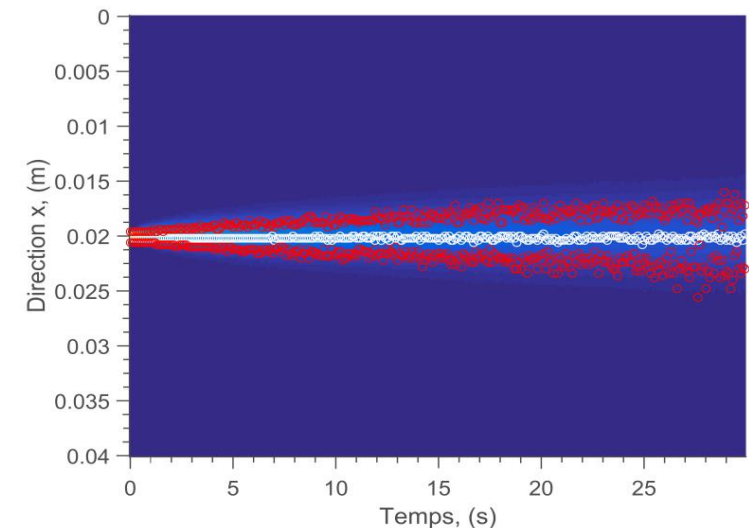
Borne max

$$\begin{cases} \max\left(\frac{d\bar{T}_y}{dx}\right) \\ \max\left(\frac{d\bar{T}_x}{dy}\right) \end{cases}$$

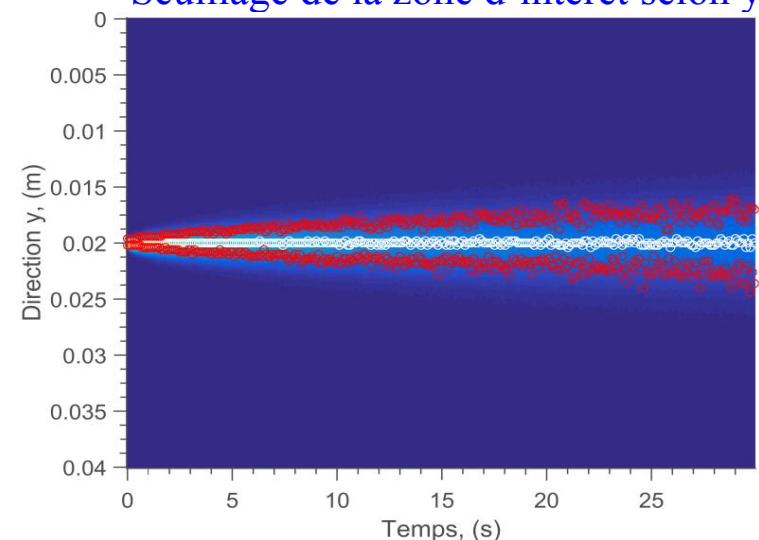
Borne min

$$\begin{cases} \min\left(\frac{d\bar{T}_y}{dx}\right) \\ \min\left(\frac{d\bar{T}_x}{dy}\right) \end{cases}$$

Seuillage de la zone d'intérêt selon x



Seuillage de la zone d'intérêt selon y



## *Inverse processing*

Logarithmic decomposition

$$\begin{cases} \ln(\bar{T}_y) = \ln\left(\frac{Q}{\rho c \sqrt{\pi a_{zz}} t}\right) - \frac{(x - x_0)^2}{4a_{xx}t} \\ \ln(\bar{T}_x) = \ln\left(\frac{Q}{\rho c \sqrt{\pi a_{zz}} t}\right) - \frac{(y - y_0)^2}{4a_{yy}t} \end{cases}$$

Gauss-Markov theorem

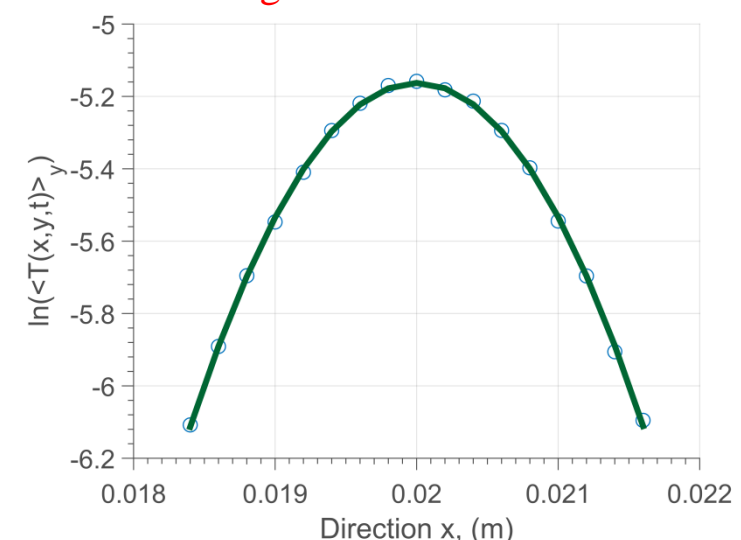
$$\hat{\beta} = (X^T W X)^{-1} X^T W \ln(\bar{T}_\xi)$$

Inverse processing

Parabolic formulation

$$\begin{cases} \ln(\bar{T}_y) = \beta_0(t) + \beta_1(t)x + \beta_2(t)x^2 \\ \ln(\bar{T}_x) = \beta_0(t) + \beta_1(t)y + \beta_2(t)y^2 \end{cases}$$

Estimation of parabolic coefficients  
along x direction at fixed time



Analytic formulation of the parabolic coefficients

$$\begin{cases} \beta_2(t) = -\frac{1}{4a_{xx}t}ou - \frac{1}{4a_{yy}t} \\ \beta_1(t) = \frac{x_0}{2a_{xx}t}ou - \frac{y_0}{2a_{yy}t} \\ \beta_0(t) = -\frac{x_0^2}{4a_{xx}t} + \ln\left(\frac{Q}{\rho c \sqrt{\pi a_{zz}} t}\right) \\ ou - \frac{y_0^2}{4a_{yy}t} + \ln\left(\frac{Q}{\rho c \sqrt{\pi a_{zz}} t}\right) \end{cases}$$

## *Inverse processing*

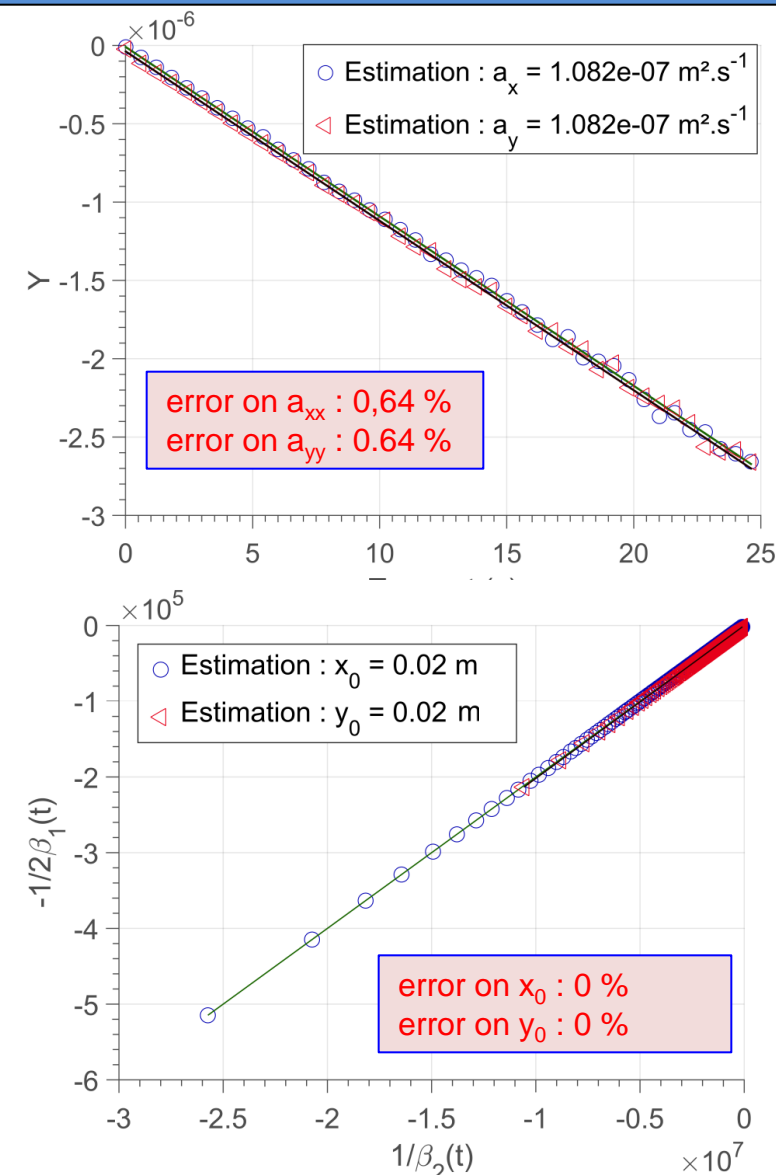
Estimation of thermal diffusivities tensor ( $a_{xx}$ ,  $a_{yy}$ )

$$-\frac{1}{4\beta_2(t)} = a_{xx}t \quad \text{and} \quad -\frac{1}{4\beta_2(t)} = a_{yy}t$$

Estimation of the laser spot  $x_0$  et  $y_0$  positions

$$\left. \begin{array}{l} \beta_1(t) = \frac{x_0}{2a_{xx}t} \text{ ou } \frac{y_0}{2a_{yy}t} \\ \beta_2(t) = -\frac{1}{4a_{xx}t} \text{ ou } -\frac{1}{4a_{yy}t} \end{array} \right\} \quad -\frac{1}{2\beta_2(t)} = \frac{x_0}{\beta_1(t)} \text{ ou } -\frac{1}{2\beta_2(t)} = \frac{y_0}{\beta_1(t)}$$

**Two parameters estimation:**  
**Laser spot location**  
**Thermal diffusivities tensor**



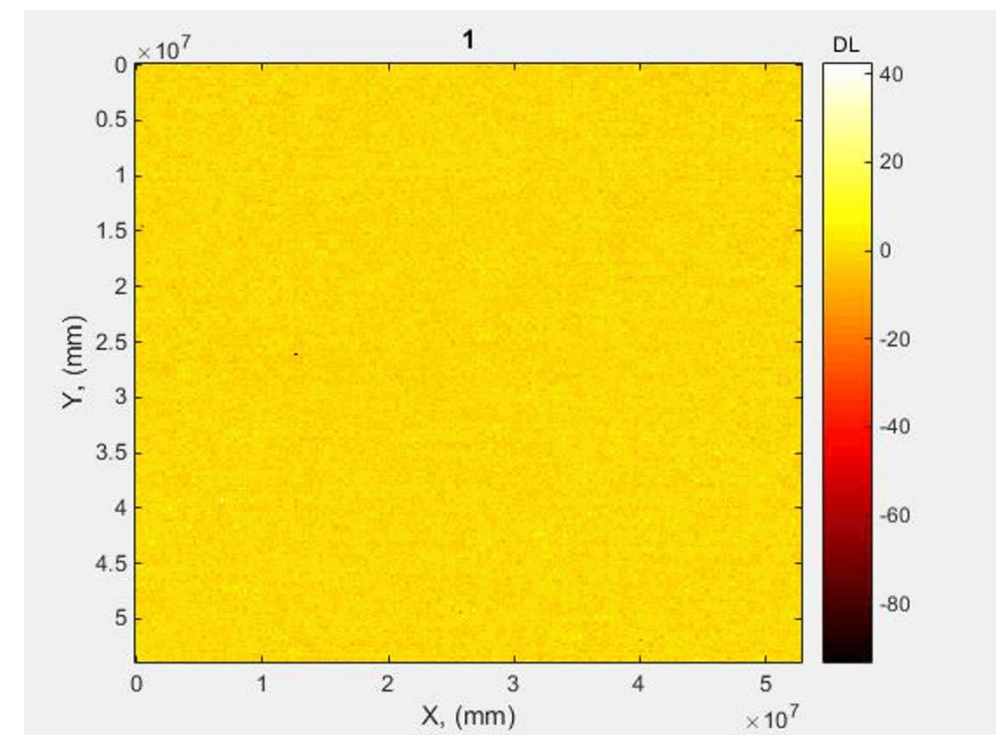
*Heterogeneous and orthotropic sample*

**Scanning with Grid Pulsed Flying Spot (GPFS)**  
**Huge amount of laser spot**

Heterogeneous sample

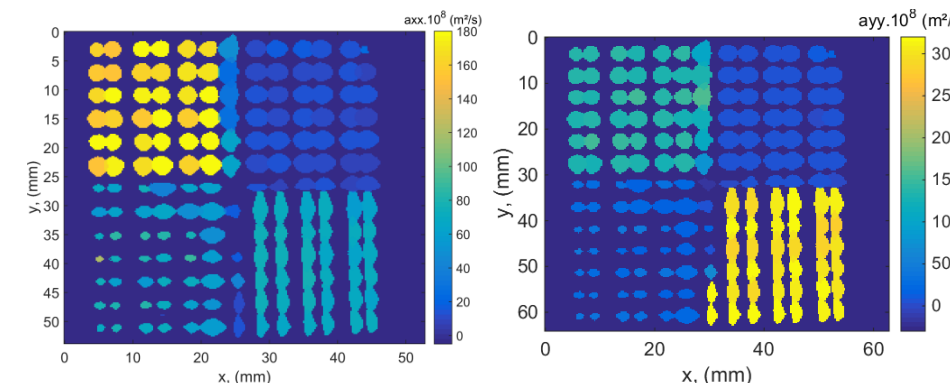
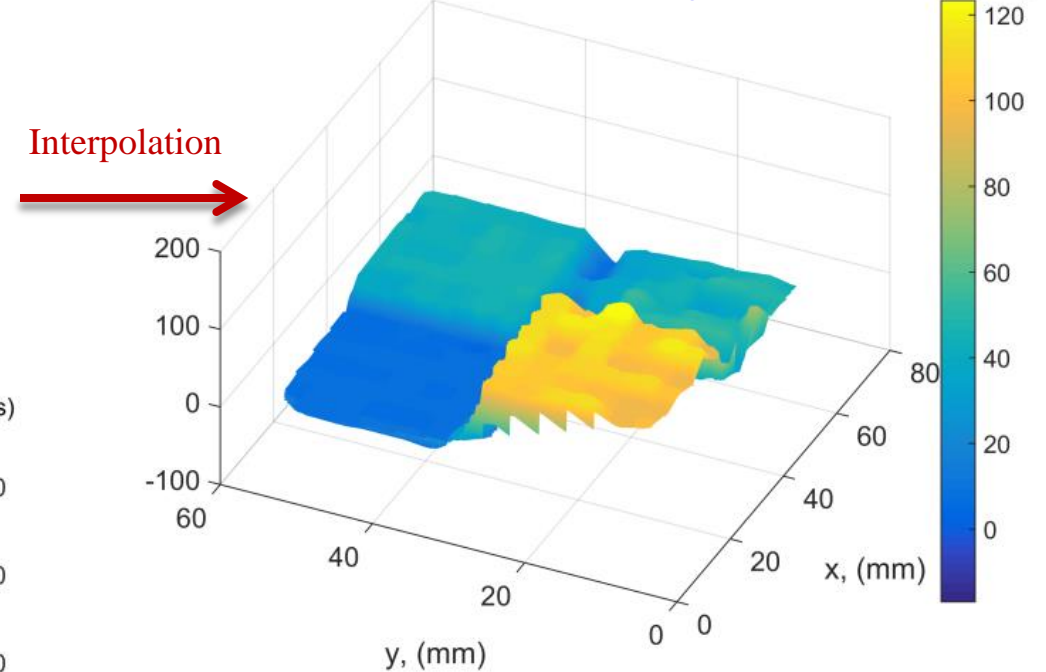
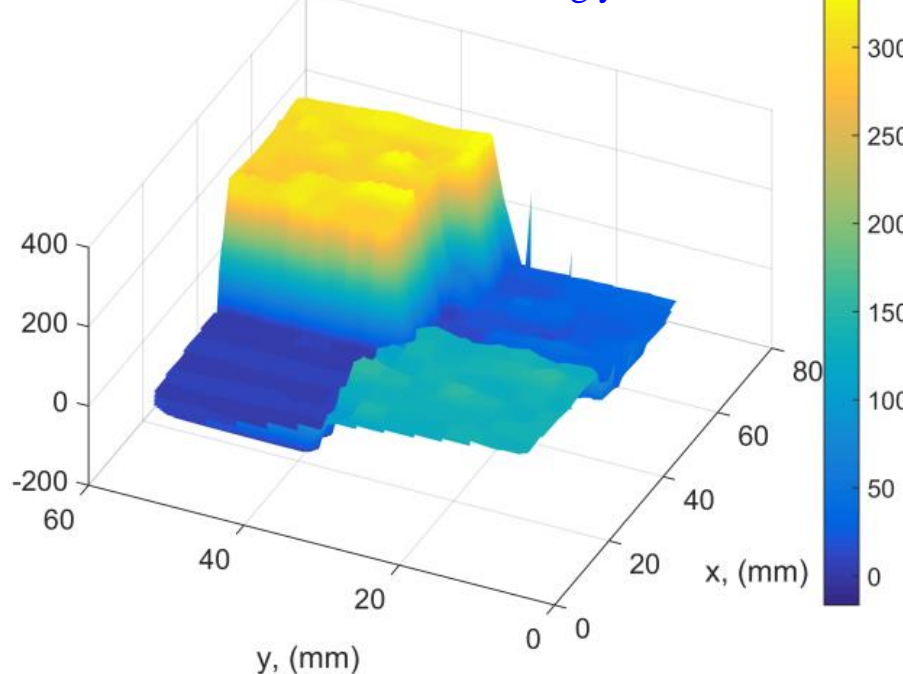


Grid Pulsed Flying Spot



*Heterogeneous and orthotropic sample*

Thermal diffusivities fields after 196 scans

Estimated thermal diffusivities field along x direction  $\text{axx} \cdot 10^8 (\text{m}^2/\text{s})$ Estimated thermal diffusivities field along y direction  $\text{ayy} \cdot 10^8 (\text{m}^2/\text{s})$ 

Measurements duration: 10 s  
Processing: 1 s  
196 estimations of in-plane diffusivities fields

## Direct thermal problem

Analytical temperature field out of the main axes [1]

$$T(x, y, z, t) = \frac{Q}{4\pi\rho c_p t} \cdot |a^{i,j}|^{\frac{1}{2}} \cdot \exp\left(-\frac{I}{|a_{i,j}|} \left( \frac{a_{yy}(x-x_0)^2}{4t} - \frac{a_{xy}(x-x_0)(y-y_0)}{2t} + \frac{a_{xx}(y-y_0)^2}{4t} \right)\right) \cdot f_z(t)$$

LEM formulation

$$\ln(T(x, y, z, t)) = \beta_0(t) + \beta_1(t)x + \beta_2(t)y + \beta_3(t)x^2 + \beta_4(t)xy + \beta_5(t)y^2$$



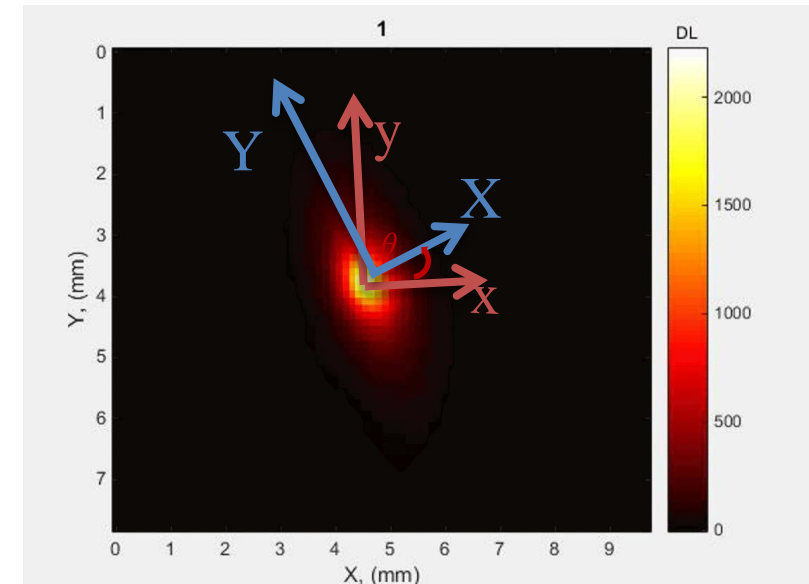
LEM formulation centered on the spot mark

$$\ln(T(x, y, t)) = \beta_3(t)x^2 + \beta_4(t)xy + \beta_5(t)y^2$$



Matricial formulation

$$\begin{pmatrix} a_{xx} & a_{xy} & 0 \\ a_{yx} & a_{yy} & 0 \\ 0 & 0 & a_{zz} \end{pmatrix} = PDP^{-1} = \begin{pmatrix} \cos(\theta) & -\sin(\theta) & 0 \\ \sin(\theta) & \cos(\theta) & 0 \\ 0 & 0 & 1 \end{pmatrix} \begin{pmatrix} a_{xx} & 0 & 0 \\ 0 & a_{yy} & 0 \\ 0 & 0 & a_{zz} \end{pmatrix} \begin{pmatrix} \cos(\theta) & \sin(\theta) & 0 \\ -\sin(\theta) & \cos(\theta) & 0 \\ 0 & 0 & 1 \end{pmatrix}$$



$$a_{xx} = -\frac{I}{4\lambda_1 t} \quad \text{et} \quad a_{yy} = -\frac{I}{4\lambda_2 t}$$

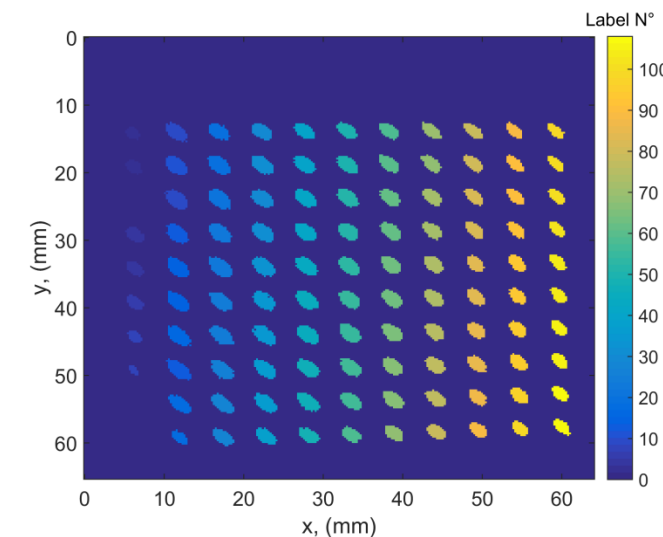
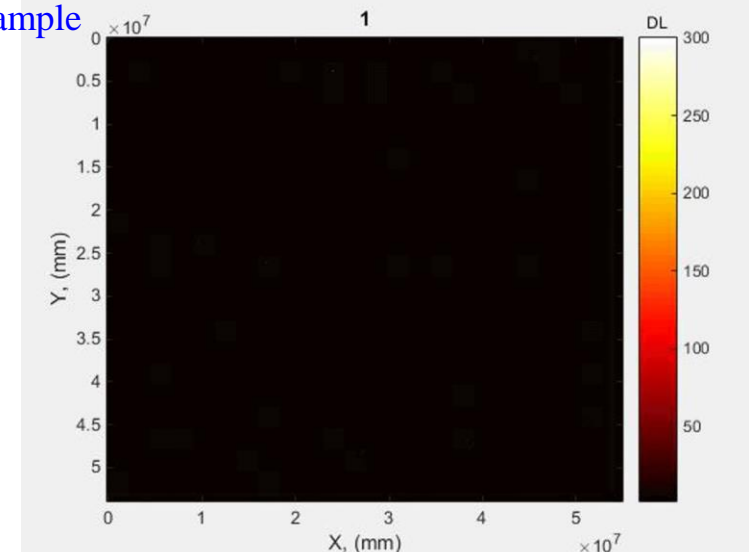
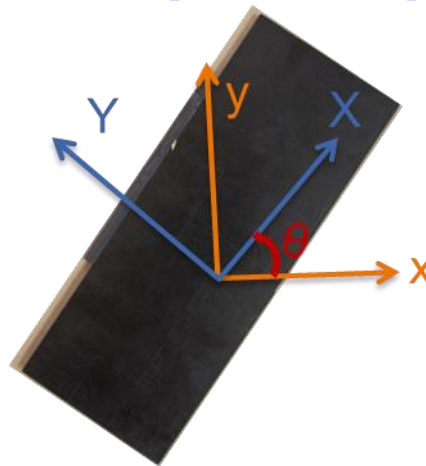
$$\theta = \text{Arc tan}\left(\frac{x_{21}}{x_{11}}\right) = \text{Arc tan}\left(-\frac{x_{12}}{x_{22}}\right)$$

**Estimation of the thermal diffusivities tensor  
And the rotation angle between the axes**

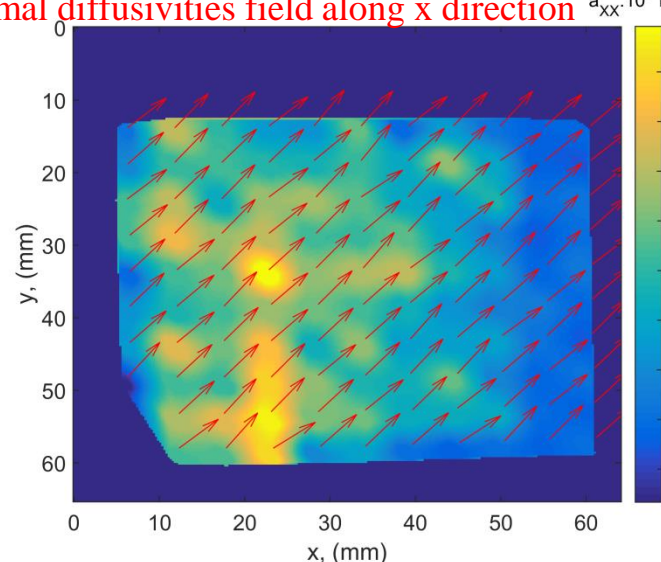
# Experimental validation of Grid Pulsed Flying Spot

## LEM on Oriented Orthotropic Composite Sample

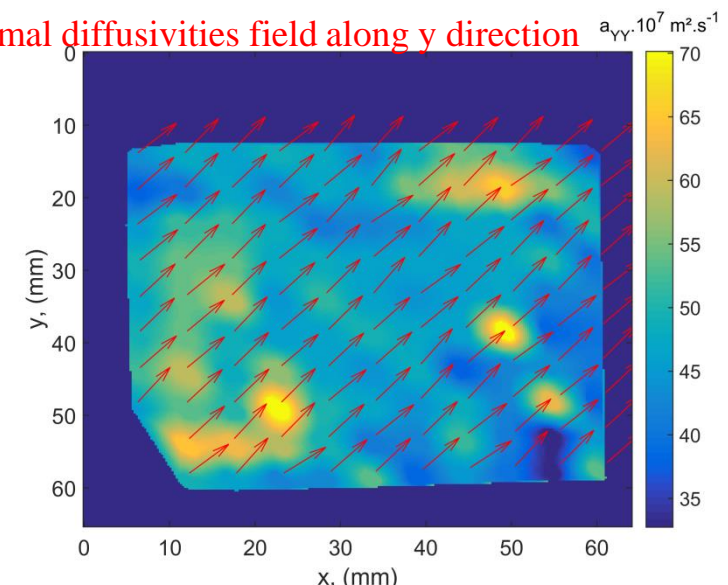
110 laser spots on 1D composite sample



Estimated thermal diffusivities field along x direction  $a_{xx} \cdot 10^7 \text{ m}^2.\text{s}^{-1}$



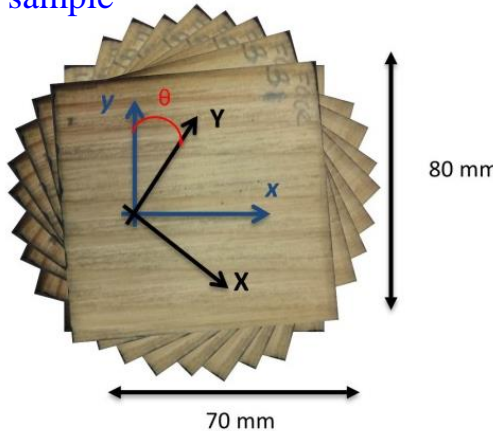
Estimated thermal diffusivities field along y direction  $a_{yy} \cdot 10^7 \text{ m}^2.\text{s}^{-1}$



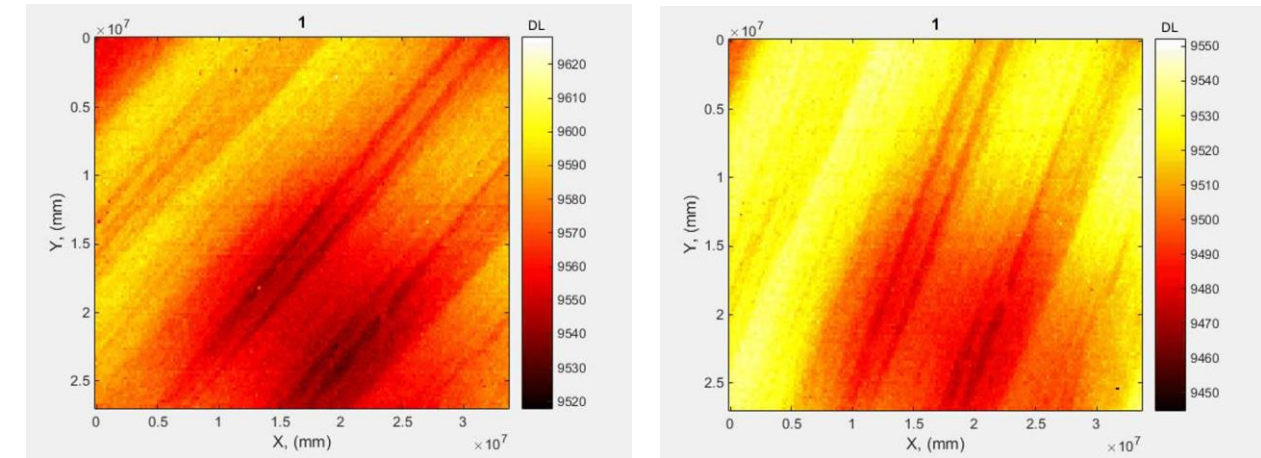
# Experimental validation of Pulsed Flying Spot

## LEM on Oriented Anisotropic Wood Sample

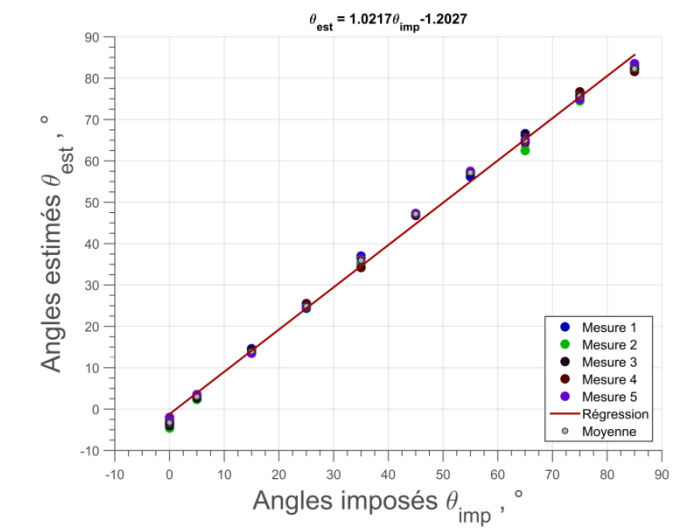
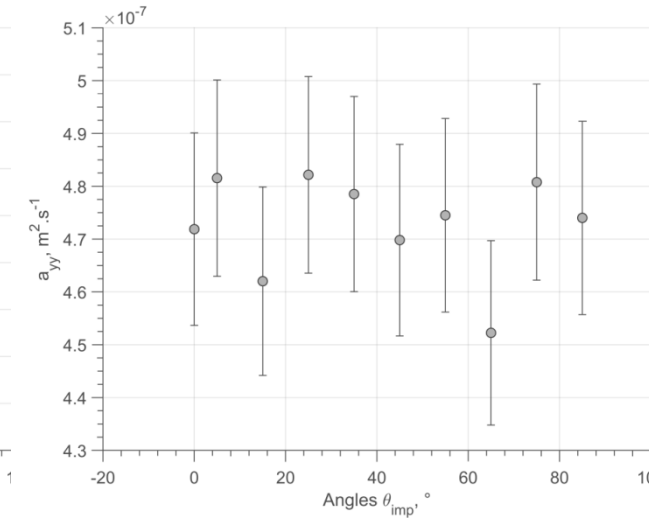
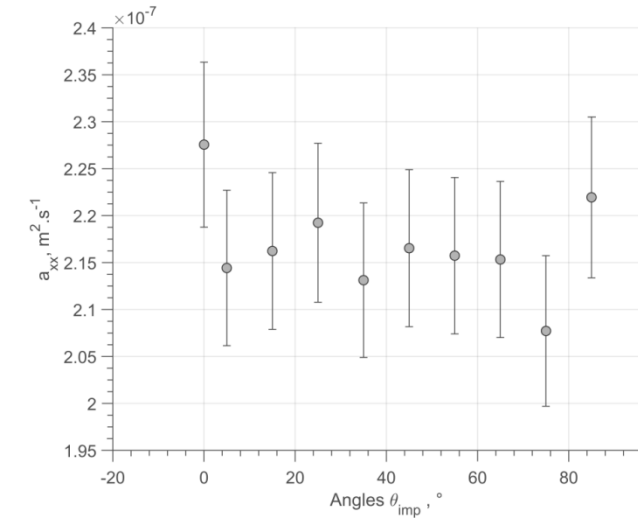
Wood sample



IR measurement as function of the sample angle



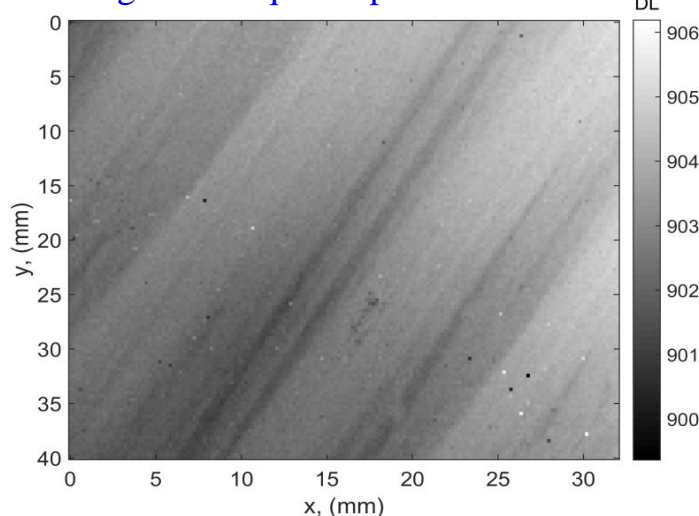
Estimated thermal diffusivities fields along x and y directions and angle



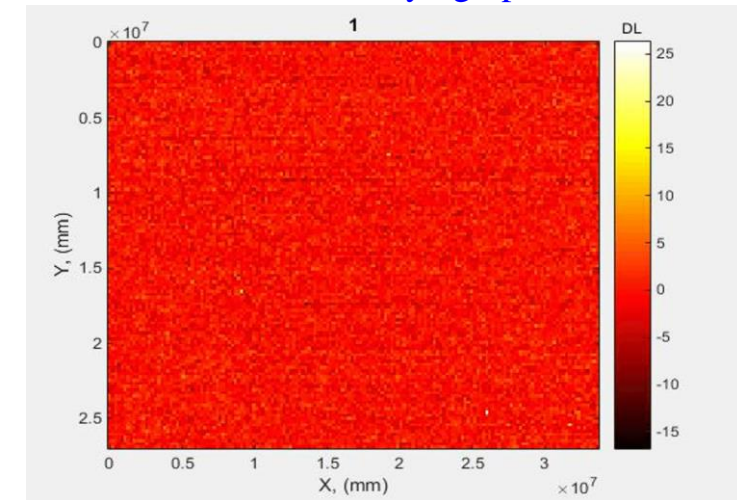
# Experimental validation of Pulsed Flying Spot

## LEM on Oriented Anisotropic Wood Sample

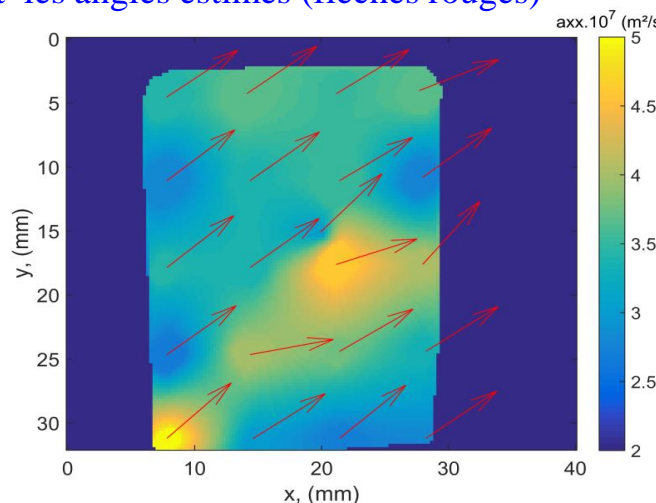
Image thermique du pin maritime orienté



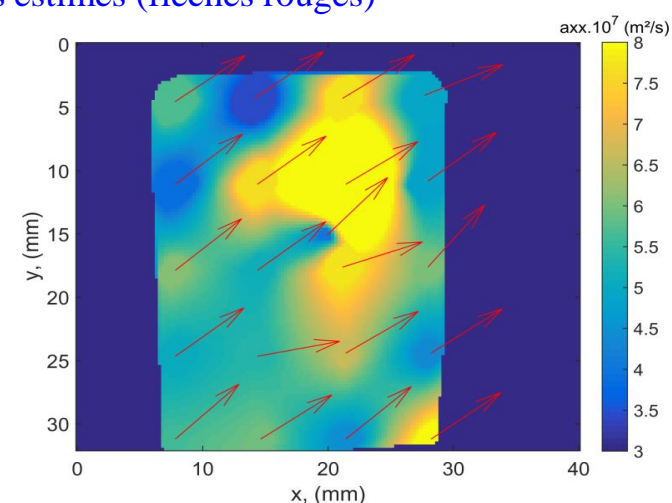
Grid Pulsed Flying Spot laser



Cartographie de diffusivité thermique selon x et les angles estimés (flèches rouges)



Cartographie de diffusivité thermique selon y et les angles estimés (flèches rouges)



# Conclusion

*Development of high versatile Flying Spot set-up*

*Logarithmic analytical method for in-plane thermal diffusivities fields estimation of anisotropic materials*

*Applications*

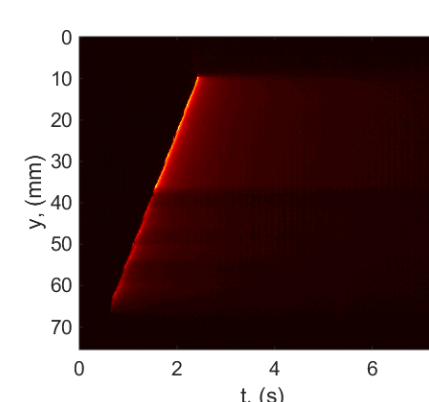
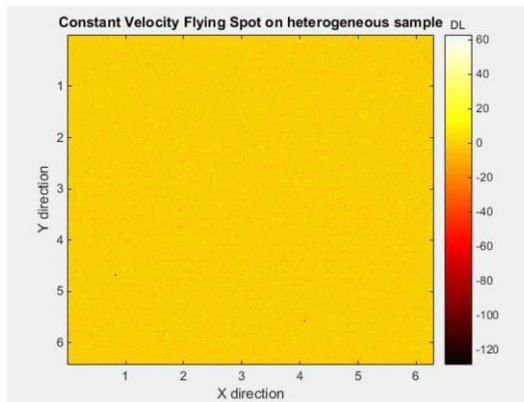
*Tools for real time industrial Quantitative NDT*

*Performances and drawback*

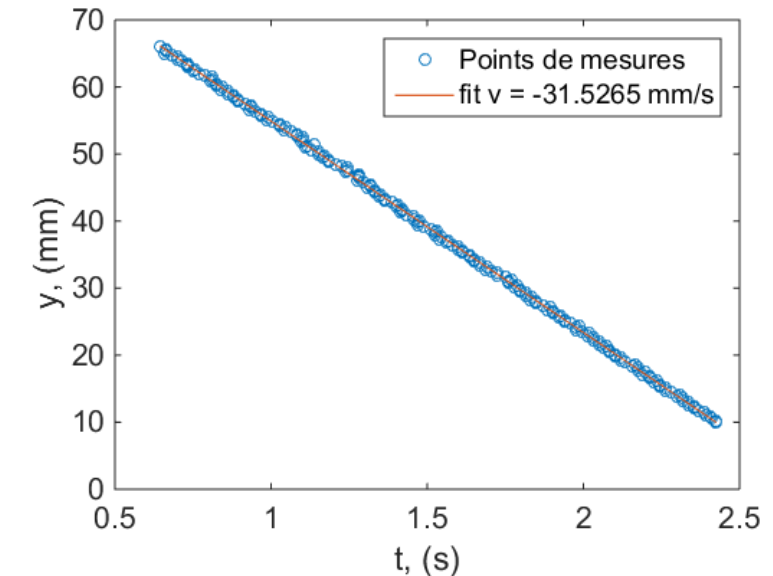
*Very good spatial resolution down to 1 mm*

*Time analysis strongly linked to the sample thermal properties*

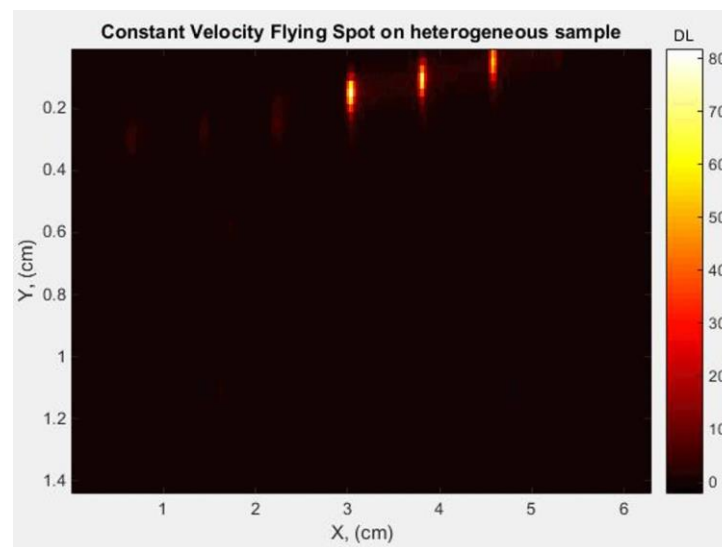
# From Grid Pulsed Flying Spot



## Change of mark by velocity estimation



# To Constant velocity Flying Spot



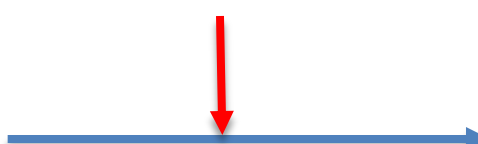
New formulation, of the thermal problem....

$$T(x, y, z) = \frac{Q}{\rho c e} \frac{\exp\left(-\frac{v(x - x_0)^2}{4a_{xx}y}\right)}{\sqrt{\frac{\pi a_{xx}y}{v}}} \frac{\exp\left(-\frac{vz^2}{4a_{zz}y}\right)}{\sqrt{\frac{\pi a_{zz}y}{v}}}$$

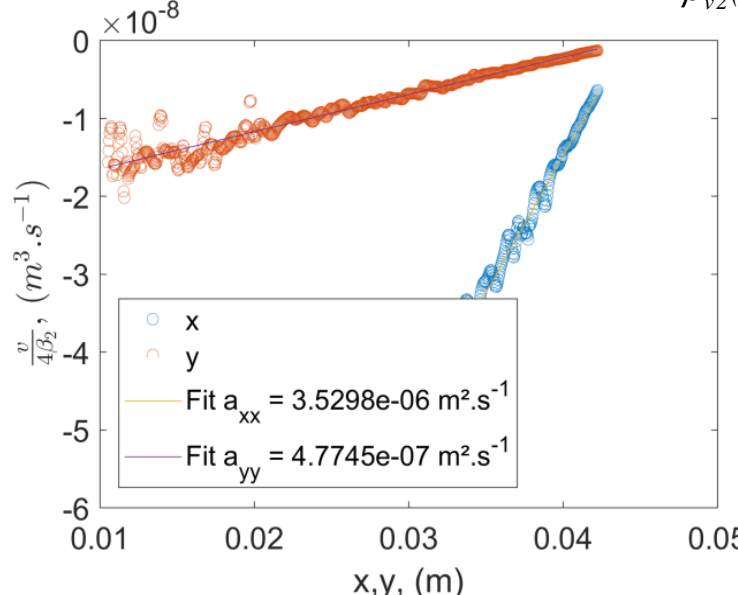
Formulation of the logarithmic coefficient of the parabola

$$\begin{cases} \beta_{v2}(y) = -\frac{v}{4a_{xx}y} \\ \beta_{v1}(y) = \frac{vx_0}{2a_{xx}y} \\ \beta_{v0}(y) = -\frac{vx_0^2}{4a_{xx}y} + \ln(K) \end{cases}$$

Gauss-Markov

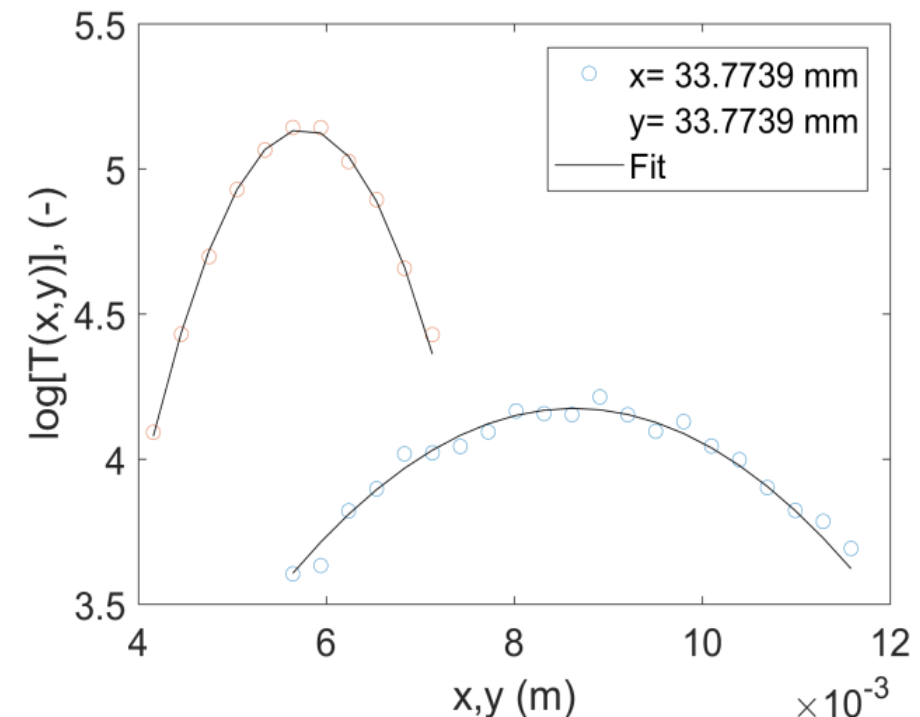


Real time estimation



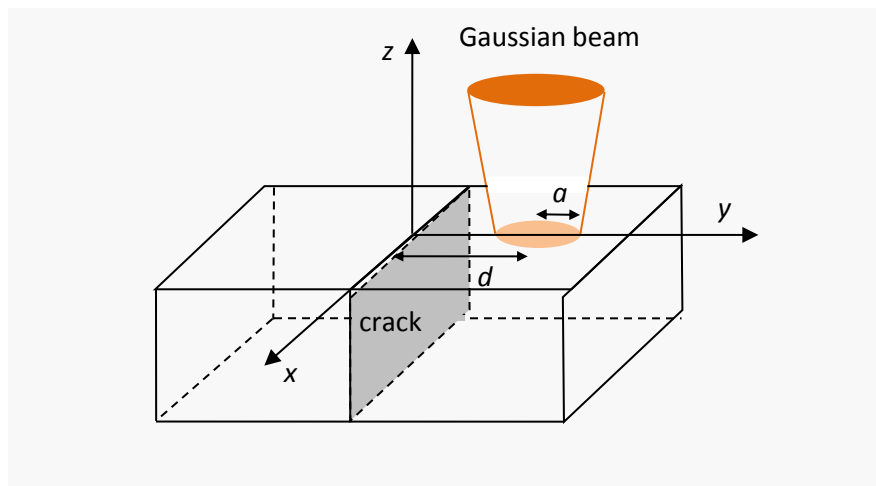
$$\frac{1}{\beta_{v2}(y)} = -\frac{4a_{xx}}{v} y$$

Estimation of parabolas for the two media



Real time thermal diffusivities  
tensor estimation: 10 s  
Up to 1000 estimations  
of in-plane diffusivities fields  
in heterogeneous media

## 2.1-Theory



Pulsed laser

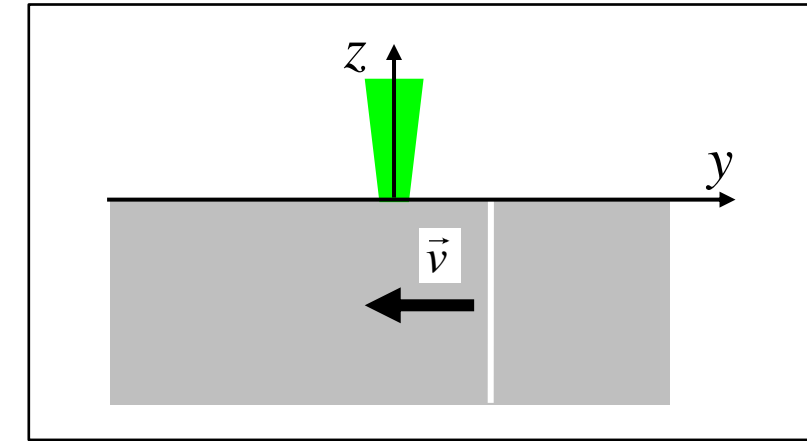
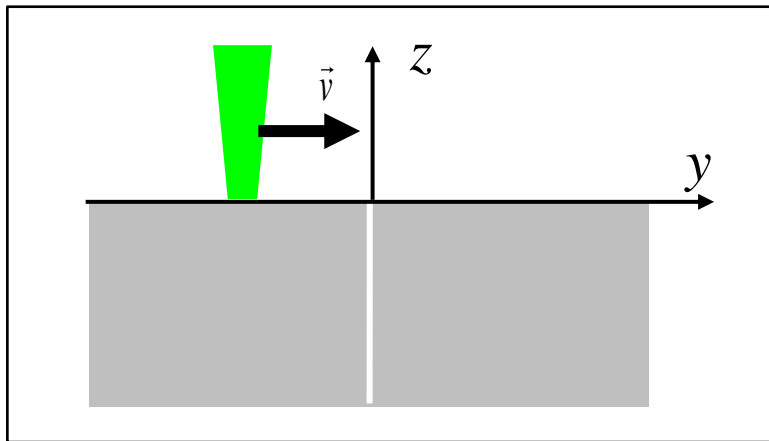
Isotropic, opaque, semiinfinite sample, **infinite vertical crack**, no heat losses

$$R_{th} = L / K_{air}$$

$$T(0, y, 0, t) = \frac{2Q_o}{\varepsilon\sqrt{\pi^3 t}} \frac{e^{-\frac{2(y-d)^2}{a^2 + 8Dt}}}{a^2 + 8Dt} \pm \frac{Q_o}{\varepsilon\pi^2 at\sqrt{D}\sqrt{a^2 + 8Dt}} \int_{-\infty}^{\infty} dy_o e^{-\frac{2(y_o-d)^2}{a^2} - \frac{u^2}{4Dt}} \left[ 1 - \frac{\sqrt{4\pi Dt}}{KR_{th}} e^{\left(\frac{\sqrt{4Dt}}{KR_{th}} + \frac{u}{\sqrt{4Dt}}\right)^2} \operatorname{erfc}\left(\frac{\sqrt{4Dt}}{KR_{th}} + \frac{u}{\sqrt{4Dt}}\right) \right]$$

N.W. Pech-May et al., NDT&E Int. 77, 28 (2016)

Opaque, infinite crack, no heat losses

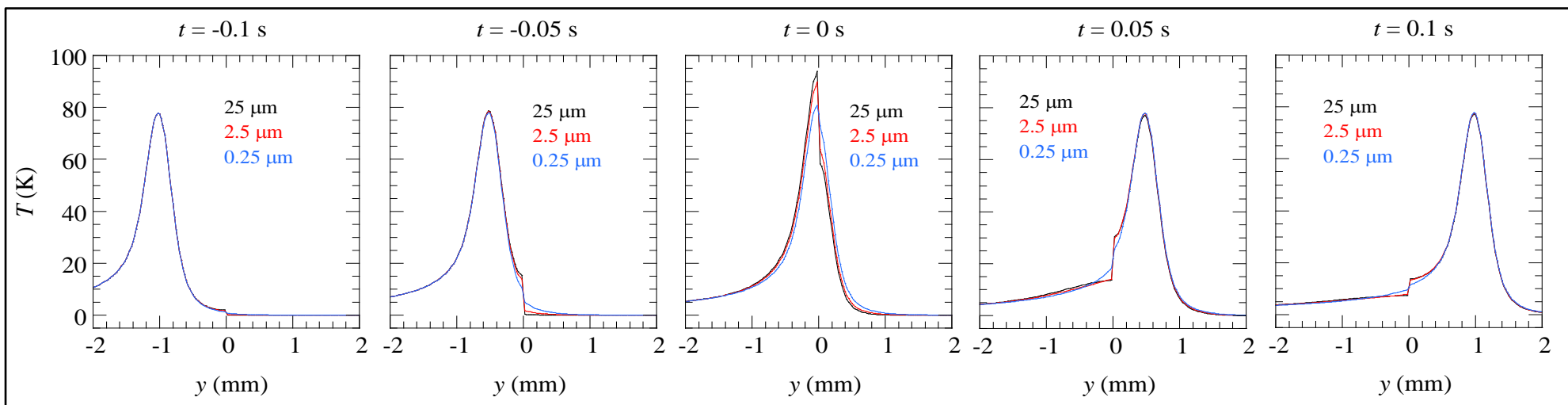


$$\begin{aligned}
 T(0, y, 0, t) = & \frac{2P_o}{\varepsilon\sqrt{\pi^3}} \int_{-\infty}^t \frac{1}{\sqrt{t-\tau}} \frac{e^{-\frac{2(y-v\tau)^2}{a^2+8D(t-\tau)}}}{a^2+8D(t-\tau)} d\tau + \\
 & + \text{sign}(y) \frac{P_o}{\varepsilon\pi^2 a \sqrt{D}} \int_{-\infty}^{\infty} dy_o \int_{-\infty}^t d\tau \frac{\text{sign}(y_o)}{t-\tau} \frac{e^{-\frac{2(y_o-v\tau)^2}{a^2}-\frac{u^2}{4D(t-\tau)}}}{\sqrt{a^2+8D(t-\tau)}} \times \\
 & \times \left[ 1 - \frac{\sqrt{4\pi D(t-\tau)}}{KR_{th}} \exp\left(\frac{\sqrt{4\pi D(t-\tau)}}{KR_{th}} - \frac{u}{\sqrt{4\pi D(t-\tau)}}\right)^2 \right] \operatorname{erfc}\left(\frac{\sqrt{4D(t-\tau)}}{KR_{th}} + \frac{u}{\sqrt{4D(t-\tau)}}\right)
 \end{aligned}$$

## 2.2-Simulations: Laser moving to the right

AISI-304 ( $D = 4 \text{ mm}^2/\text{s}$ ,  $K = 15 \text{ W/mK}$ ),  $P_o = 1 \text{ W}$ ,  $a = 0.3 \text{ mm}$

$v = 10 \text{ mm/s}$

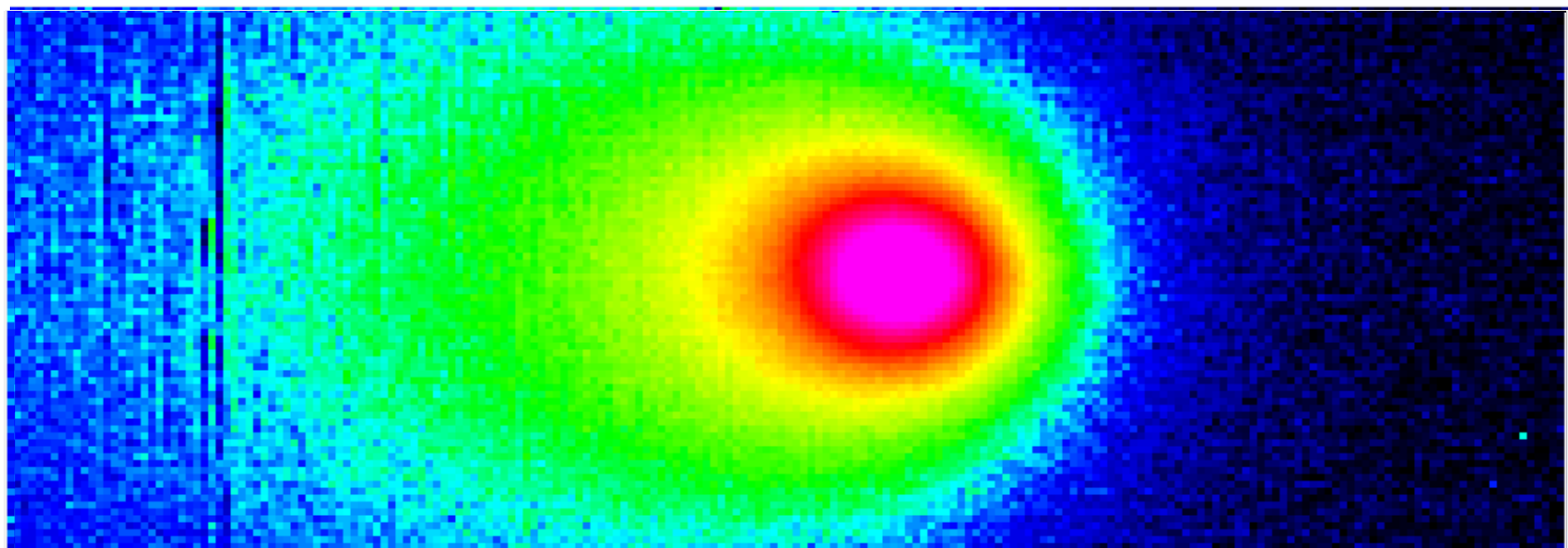


Temperature contrast

$$\Delta T = \frac{T(y = 0_-) - T(y = 0_+)}{T(d = vt)}$$

## 2.3 Experimental results

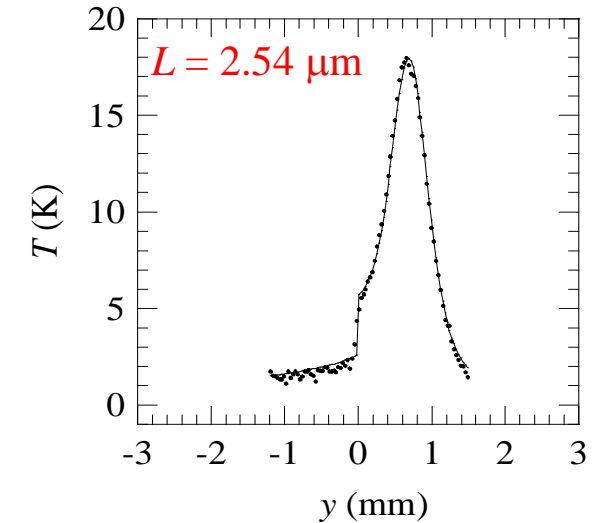
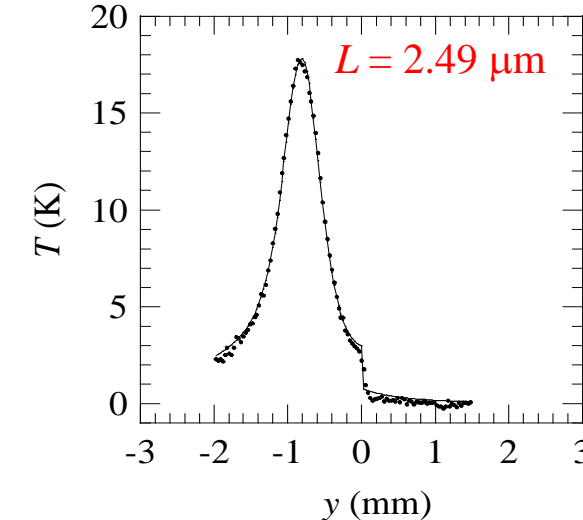
AISI-304,  $L = 0 \mu\text{m}$ ,  $L_{lock-in} = 0.56 \mu\text{m}$ ,  $v = 3.5 \text{ mm/s}$



## 2.3 Experimental results

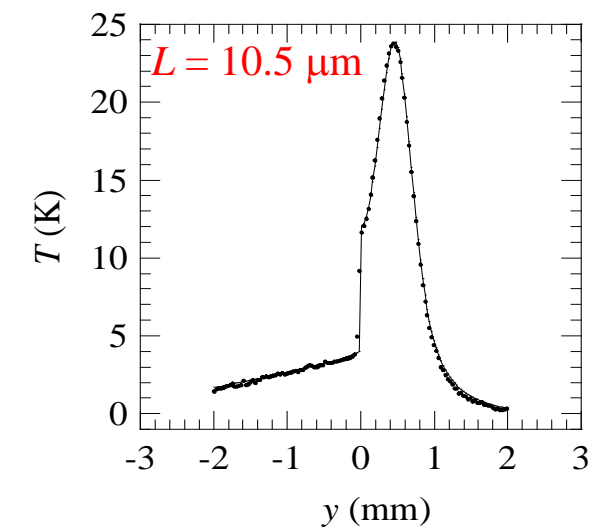
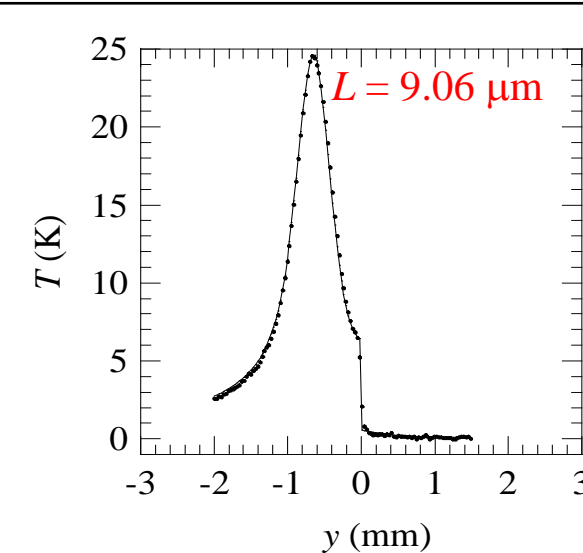
AISI-304  
 $L = 2.5 \mu\text{m}$   
 $L_{lock-in} = 2.72 \mu\text{m}$

$v = 3.5 \text{ mm/s}$



AISI-304  
 $L = 10 \mu\text{m}$   
 $L_{lock-in} = 10.5 \mu\text{m}$

$v = 3.5 \text{ mm/s}$



# **Spectro Imagerie Terahertz**

## **De la source aux applications**



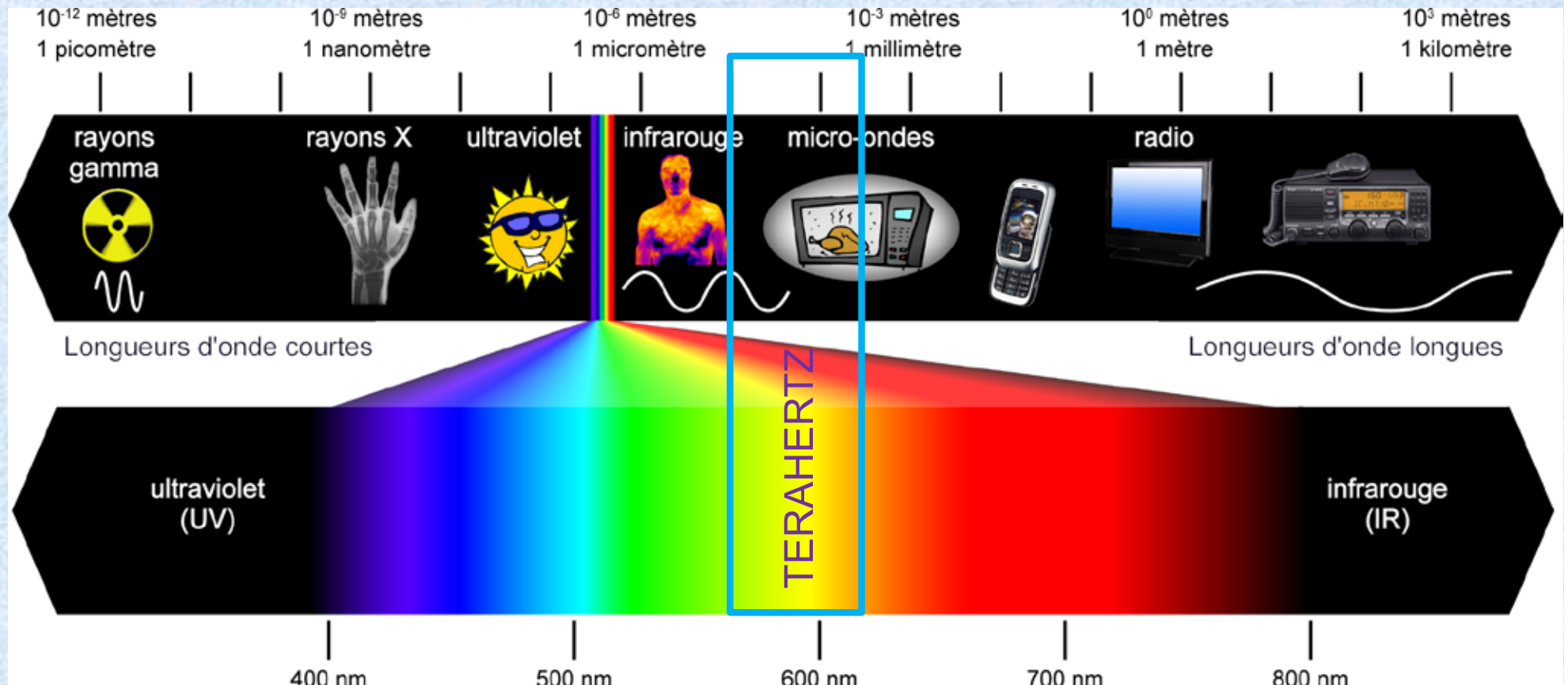
**Patrick Mounaix**

Laboratoire IMS- UMR 5218 CNRS, Université Bordeaux, 33405, FRANCE

# Plan

- ✓ Contexte and Technique
- ✓ Génération & détection : Electronic versus optique
- ✓ La spectroscopie THz
- ✓ L'imagerie THz : Active et passive
- ✓ Exemples
- ✓ Conclusion

# Présentation



Freq. 0.1-10 THz, Longueur d'onde 0.03-3 mm; Energie 0.4-40 meV

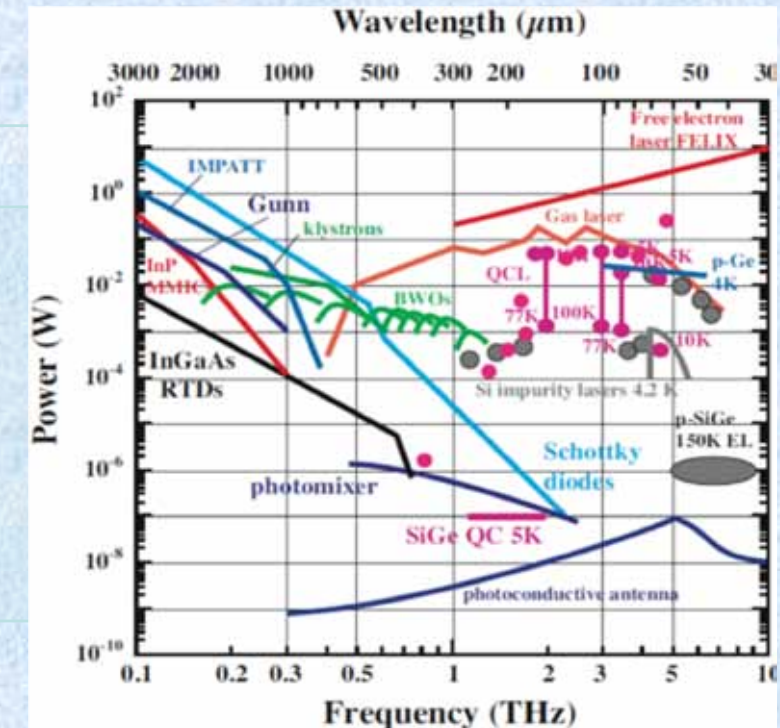
# Terahertz : one word for several technologies

## Sources

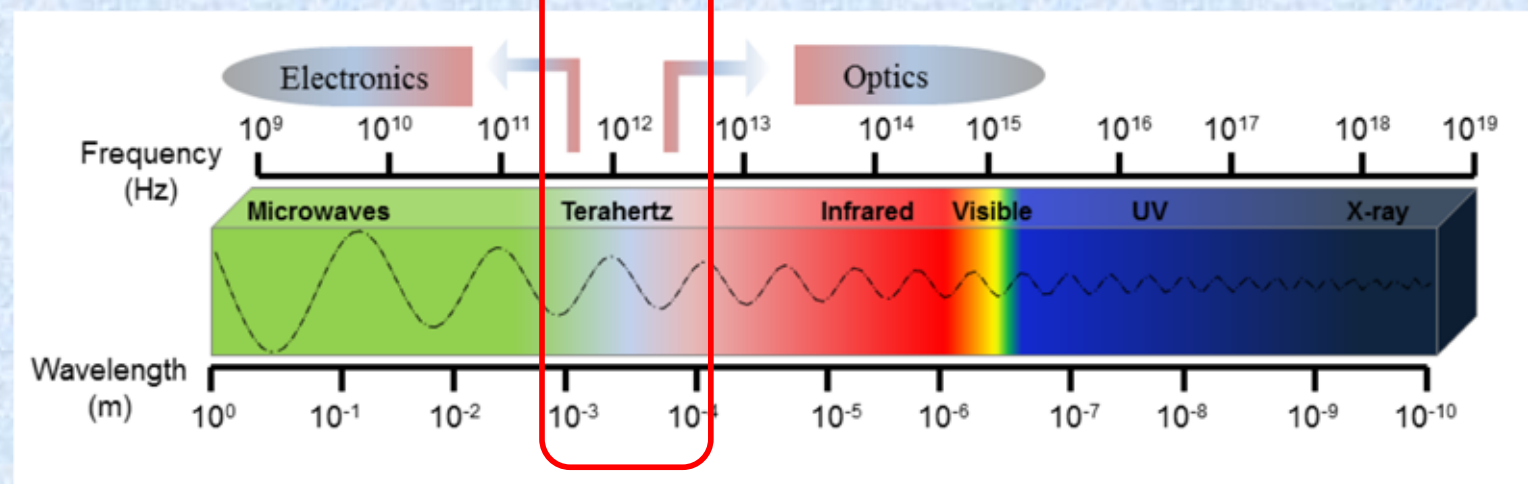
Oscillator  
Backward wave oscillator  
Optically pumped laser  
Quantum cascade laser  
Time domain wave sources  
T<sub>H</sub>z laser plasma sources  
Cascades  
Air

## Detectors

Golay  
Bolometer  
Photoconductive  
Pyroelectric  
Heterodyne  
Schottky  
HEMT



Terahertz gap



# Famille de détecteurs THz

## Single-pixel THz detectors



He-cooled bolometer



Golay cell

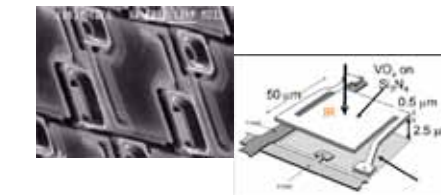
Pyroelectric  
detectors



Schottky  
diodes

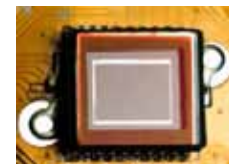
## THz detector arrays

Spiricon Pyrocam

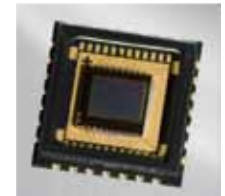


Microbolometer array

IR and visual  
imaging sensors



CCD chip



CMOS chip



NEC



Devices are typically

- Bulky
- High maintenance costs
- Expensive fabrication

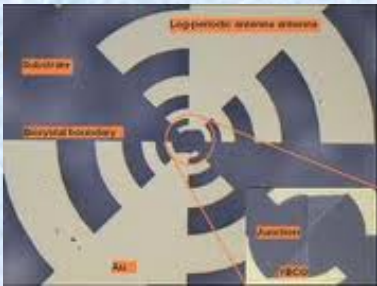
Specialized process technology

- Expensive
- Low volume
- Low integration levels

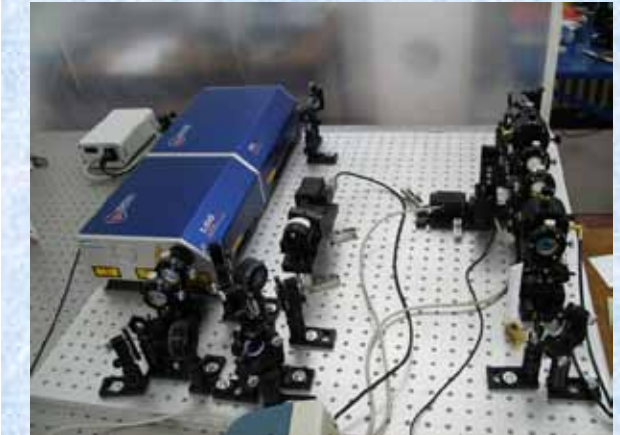
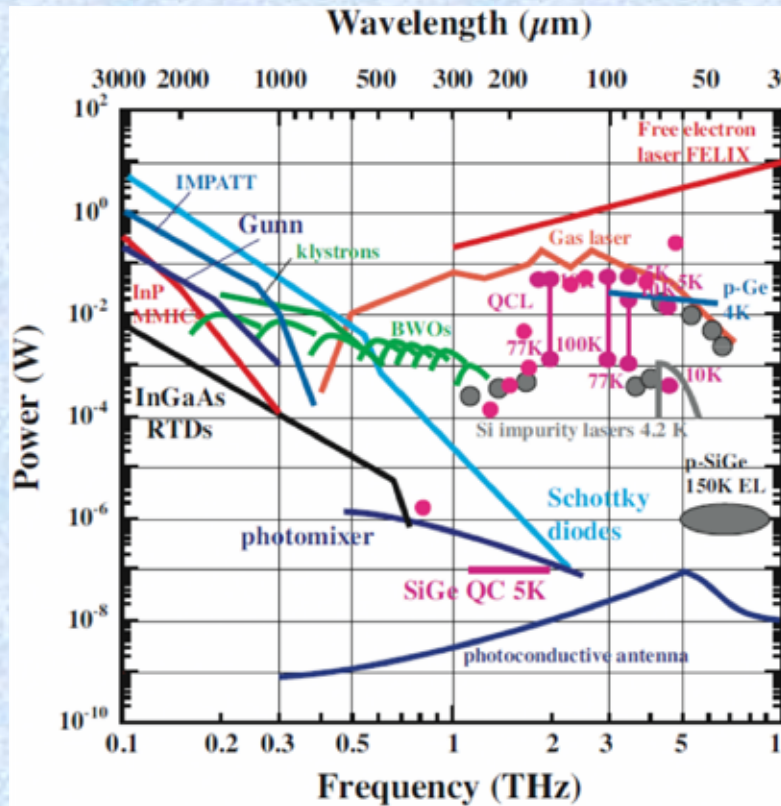
Based on silicon technology

- Low costs at high volumes
- High level of integration
- Applicability to THz electronics?

# Variétés des sources Terahertz



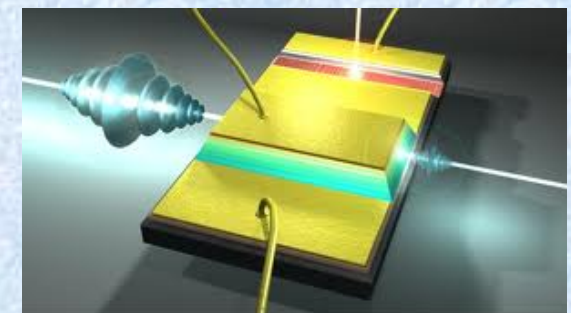
Composants ultrarapides



Laser Fs+ SC



Sources électroniques



QCL  
ims

# Applications

## Automotive Paint



## Mobile Electronics



## Food Safety



## Cancer Detection



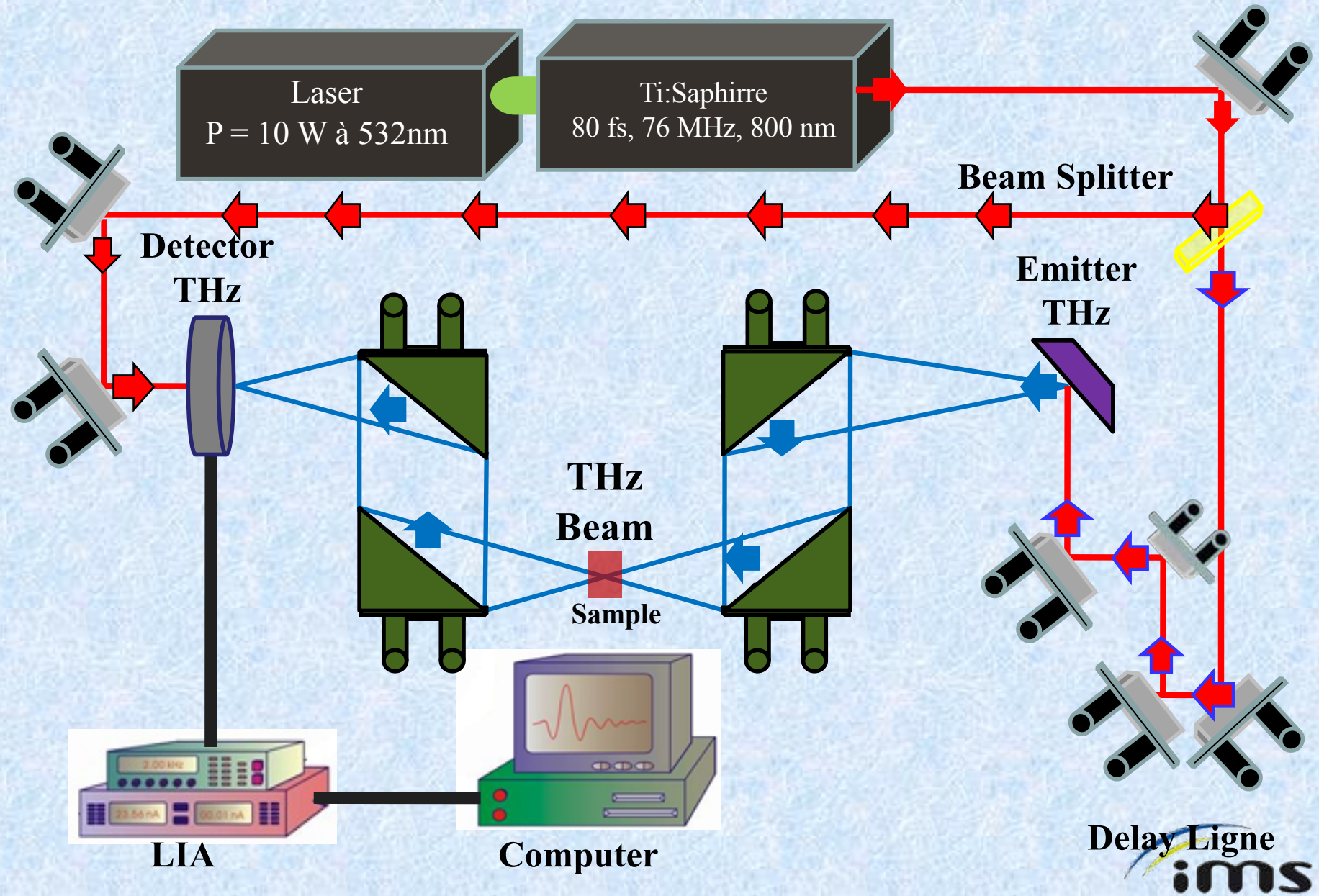
## Clean Energy



## Drug Development

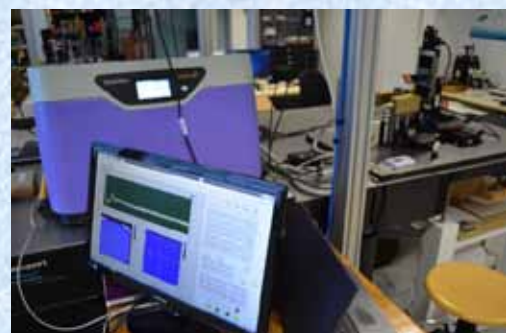


# Spectromètre térahertz



# Experiment

TPS spectra 3000 (Teraview)



TPS spectra 4000



Hospital

Lab

Femtosecond  
laser

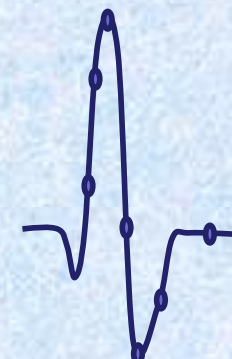
Purged chamber

Sample

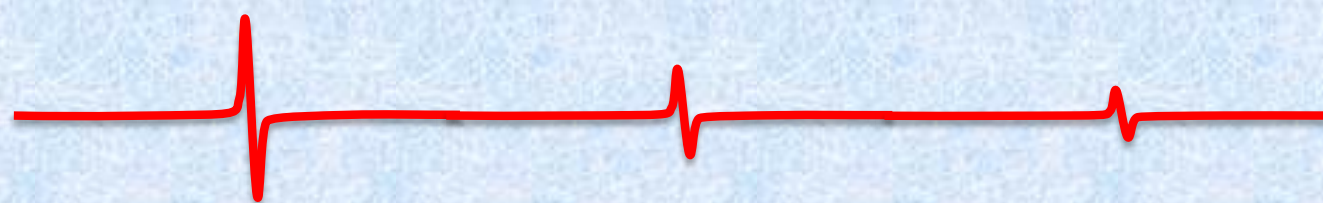
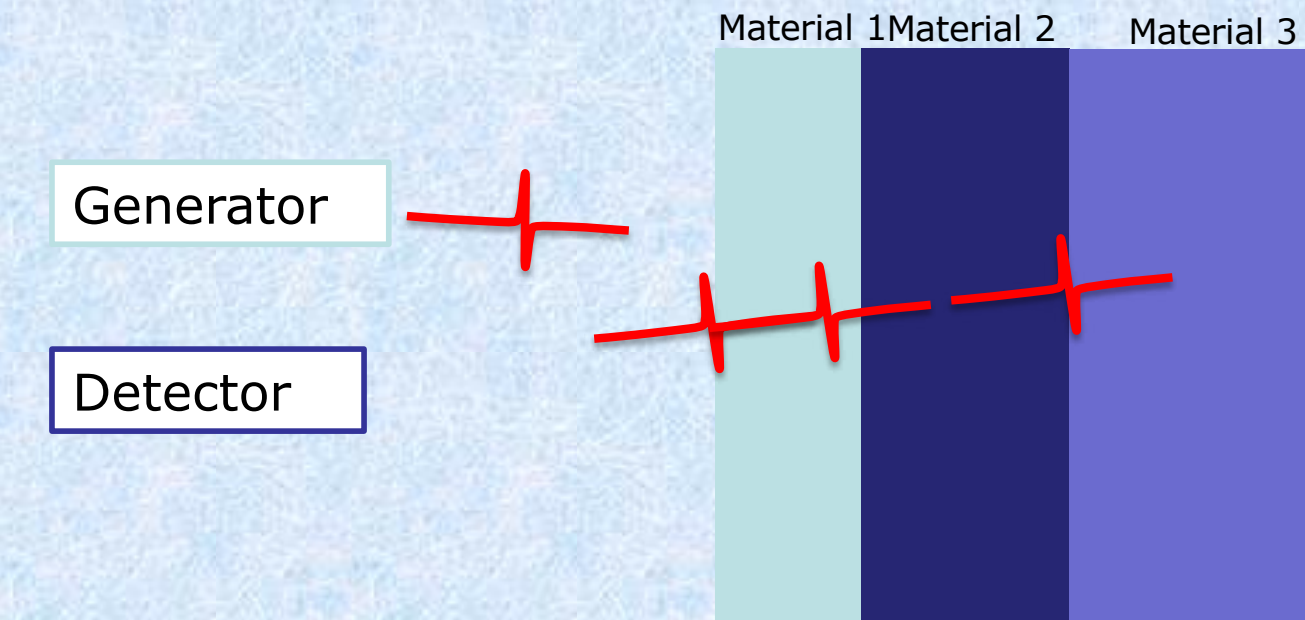
X ⊗  
Y

Optical  
delay

Optical delay (ps)



# Time domain systems applications



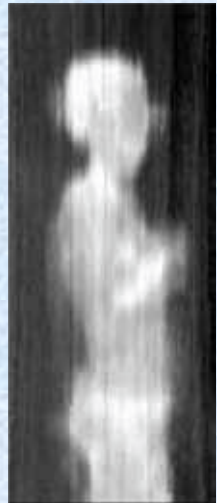
# Imaging by millimeter 2D and 3D imaging

## Passive

Millicam MC2



- 8 receiver array
- Frequency: 90 GHz
- Mechanical scanning
- Scan time: few sec
- Image size: 2x1 m<sup>2</sup> at 2.5 m distance



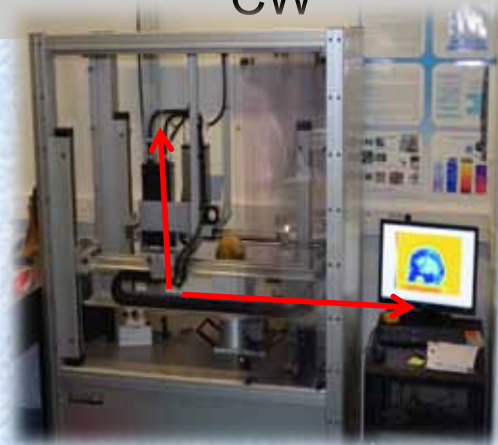
## Continuous Wave (CW)



- Sources: Gunn diode  
**84 GHz, 50 mW**  
**287 GHz, 14 mW**
- Detectors: Schottky diode
- Lock-in detection
- Transmission
- Module
- (X, Y, Θ)

Synview

## Frequency modulated CW



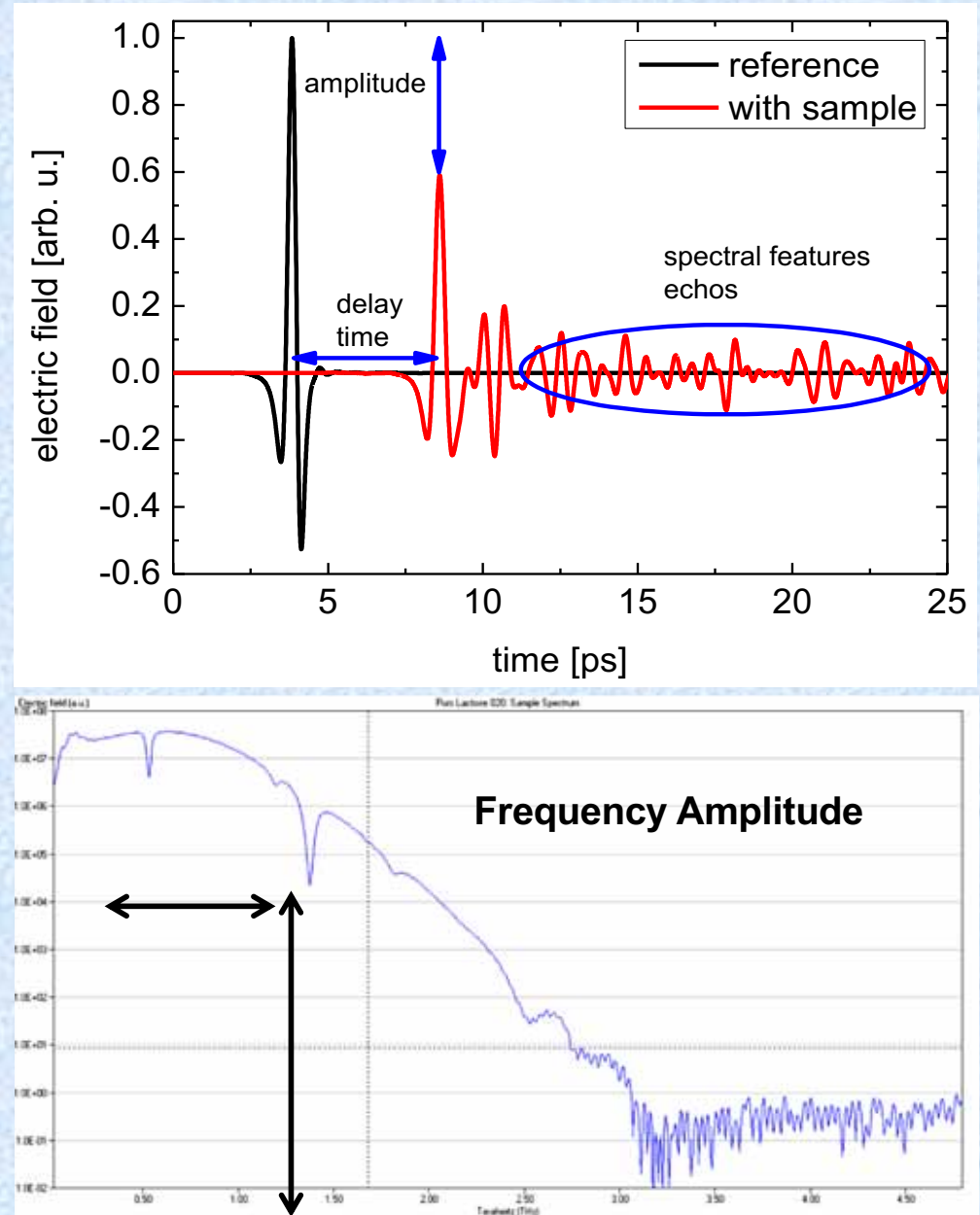
- Frequency range  
Head 100: [60 - 110] GHz  
Head 300: [230 - 320] GHz
- Transmission & reflection
- Module & phase
- (X, Y, Θ)

ims

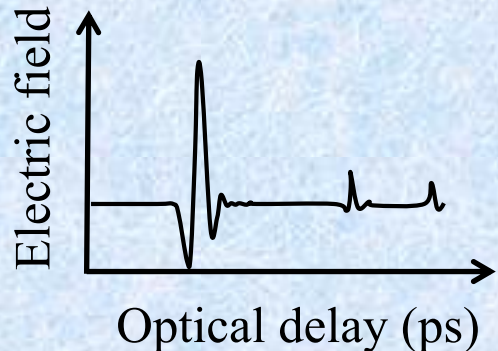


# Potentiel d'analyses

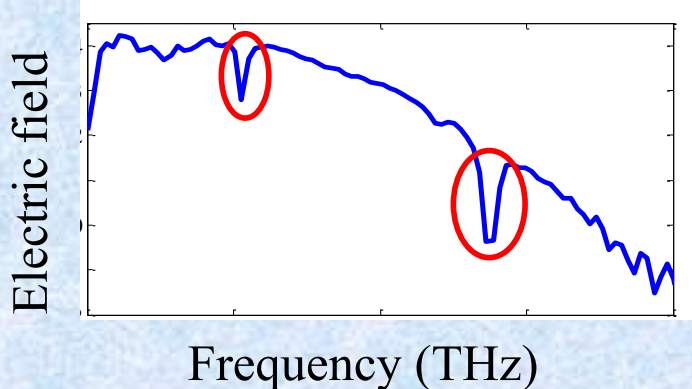
- Mesures de l'évolution de  $E(t)$
- Détection cohérente : fort S/N
- Information sur :
  - Amplitude/intensité
  - Retard de phase
  - Analyse spectrale



# Terahertz spectroscopy



Fast Fourier Transform



Amplitude & Phase

## Optical properties

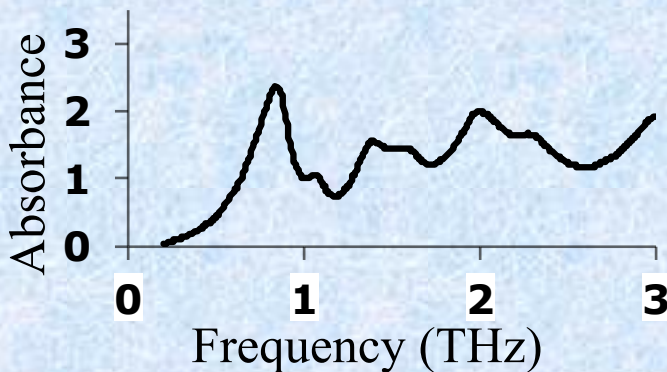
- Refractive index  $n$
- Extinction coefficient  $k$
- Absorption coefficient  $\alpha$

Bandwidth

0.1-4 THz Transmission  
0.1-2.5 THz Reflexion

## Transmission

$$\text{Absorbance} = - \log \left( \frac{E_{\text{sample}}}{E_{\text{reference}}} \right)$$



# Explosives analysis: Terahertz spectroscopy



Oxygen



Nitrogen

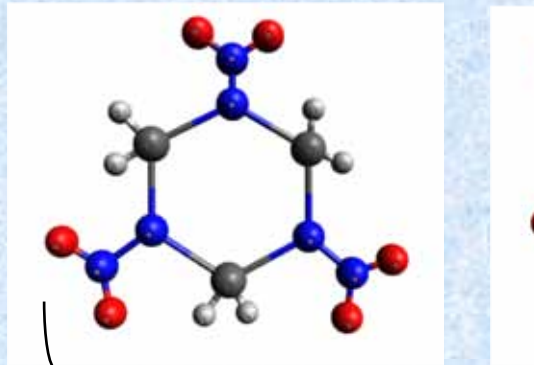


Carbon

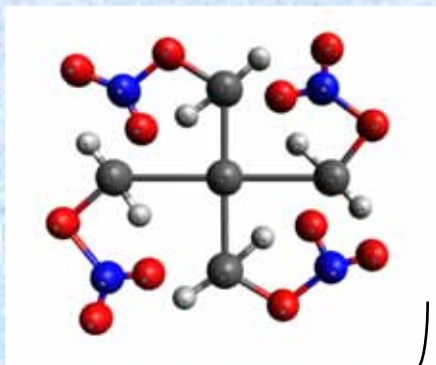


Hydrogen

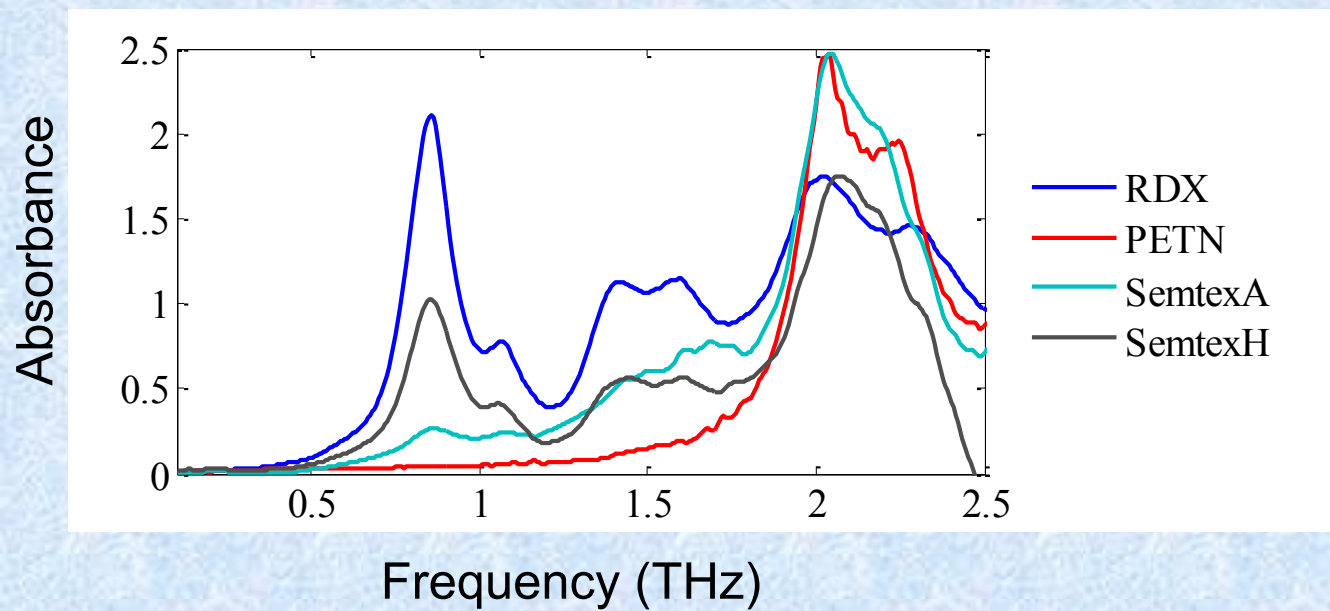
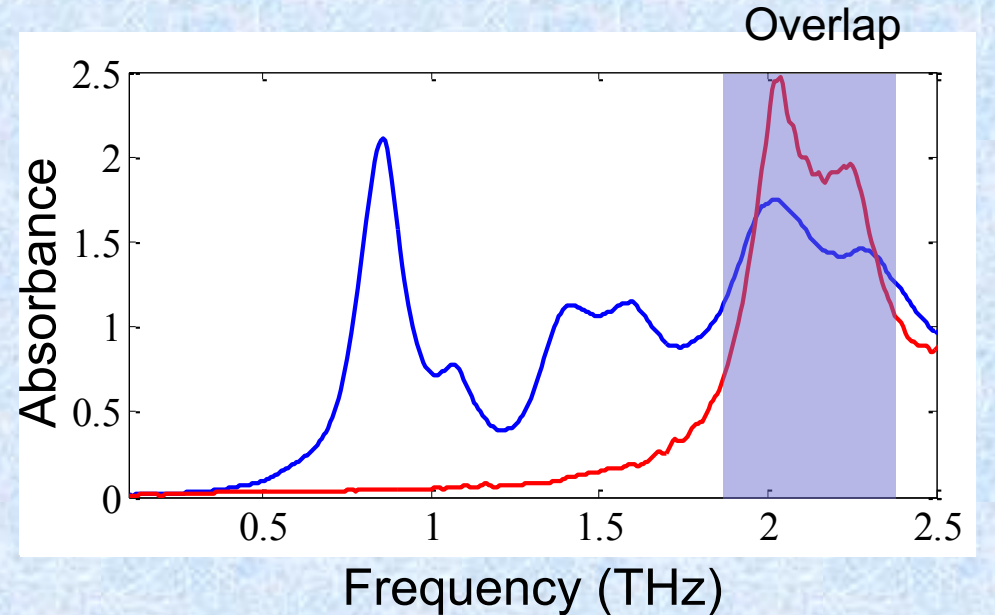
RDX



PETN



Semtex



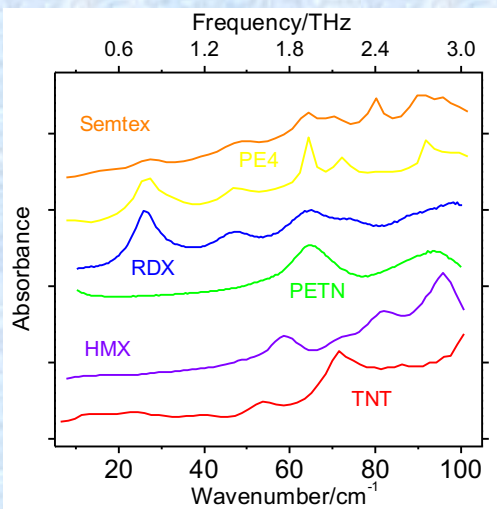
Analysis of  
components in  
mixtures



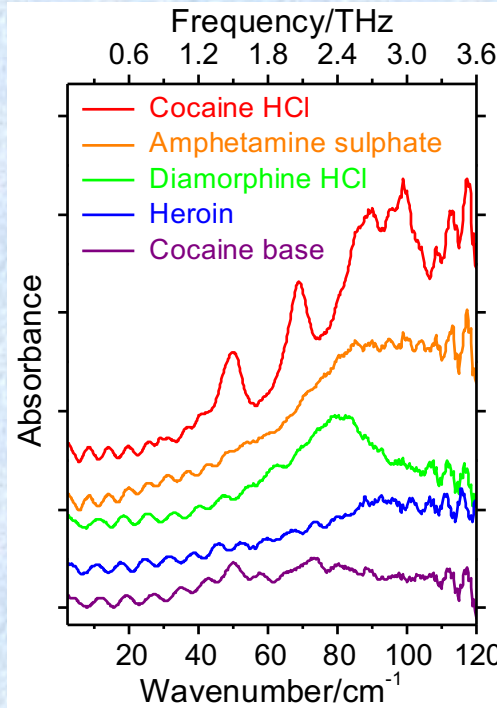
Need of chemometrics

# Spectroscopic Analysis

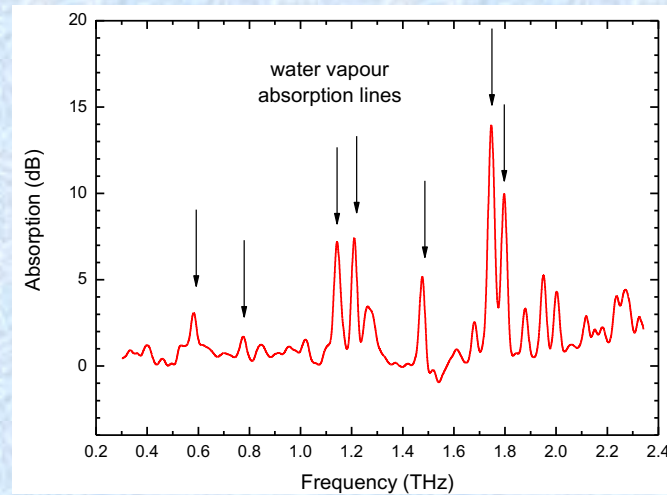
## Explosives detection & analysis



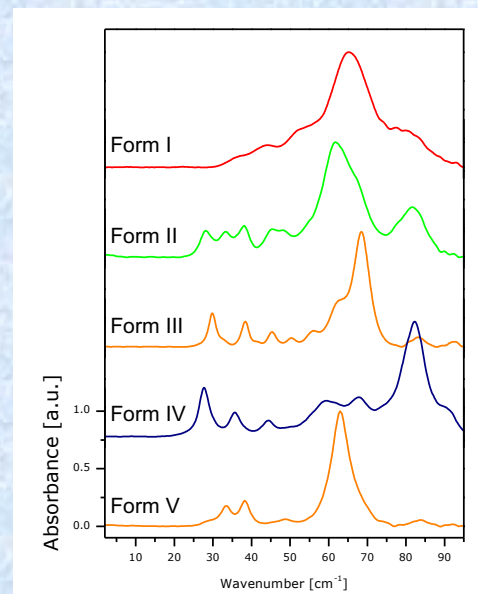
## Illicit drugs



## Airborne agents

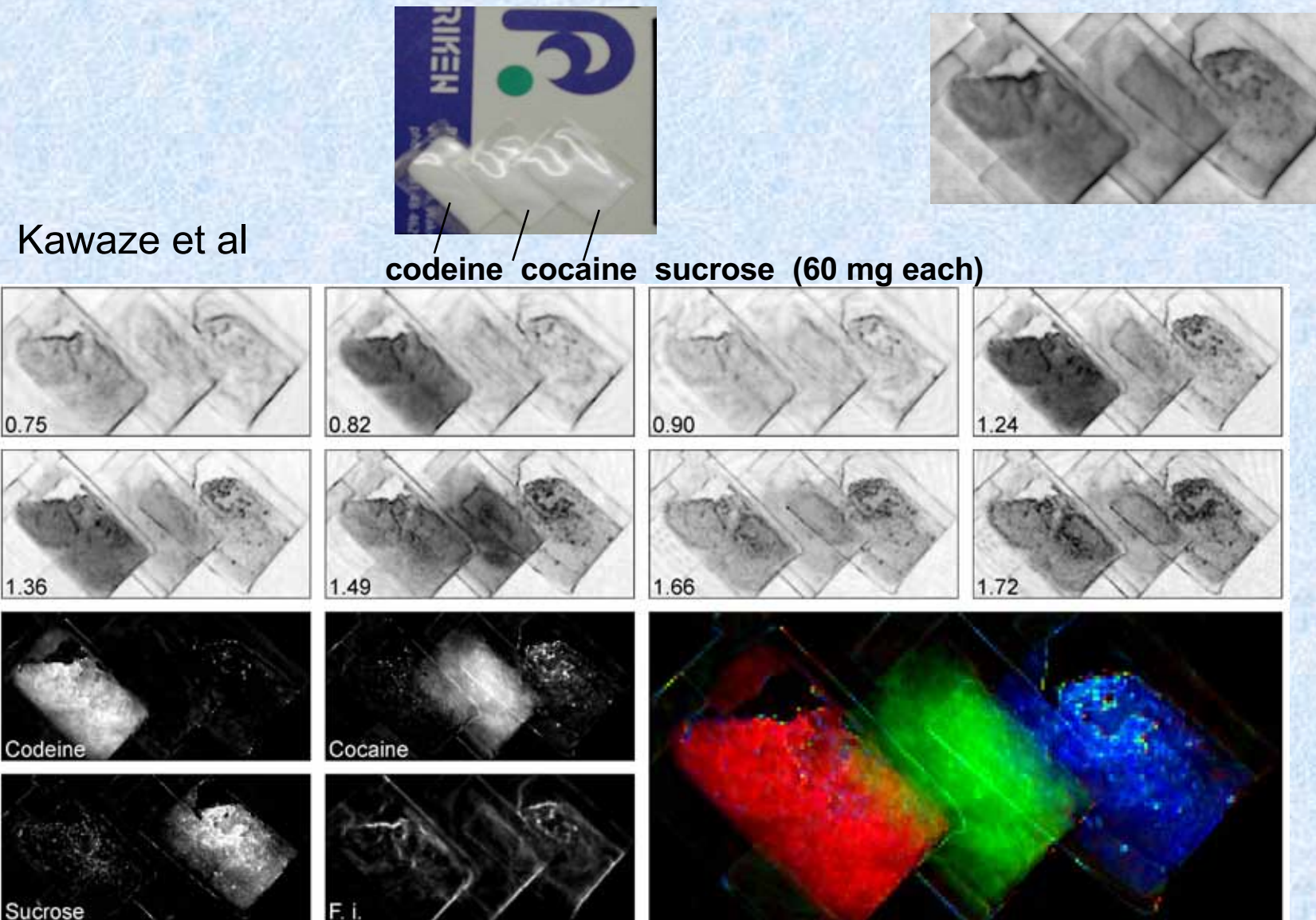


## Pharmaceutical drugs: crystalline and amorphous



ims

# Spectro Imagerie de stupéfiants ou explosifs

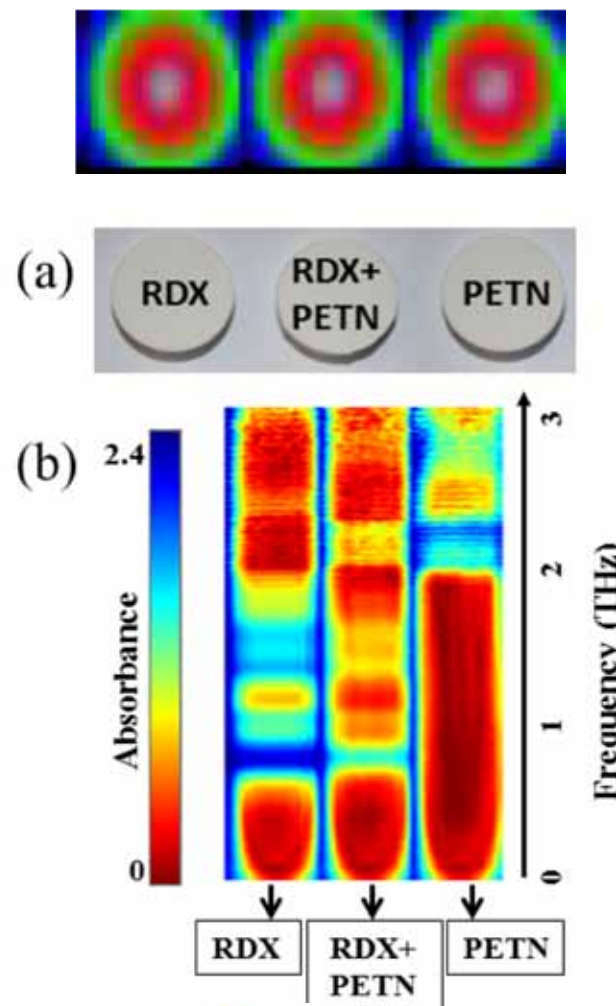
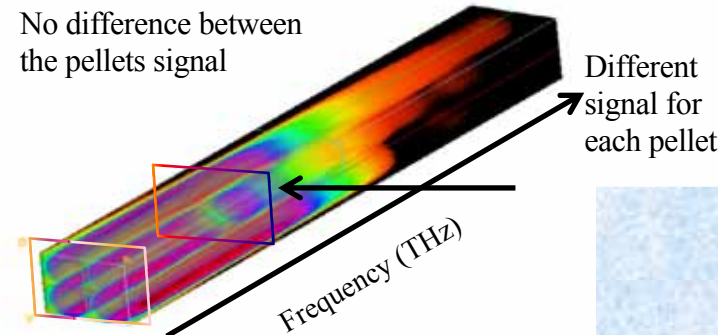


Identification et affichage en fausses couleurs

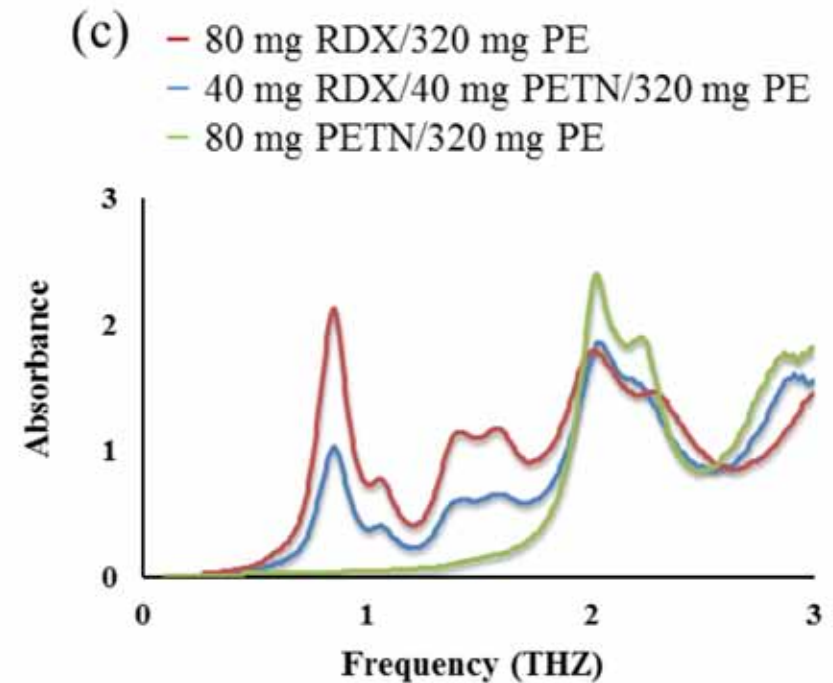
# Absorbance spectral images

Explosives  
mixed with PE  
as binder

XY images at  
different  
frequencies



## Spectro imaging



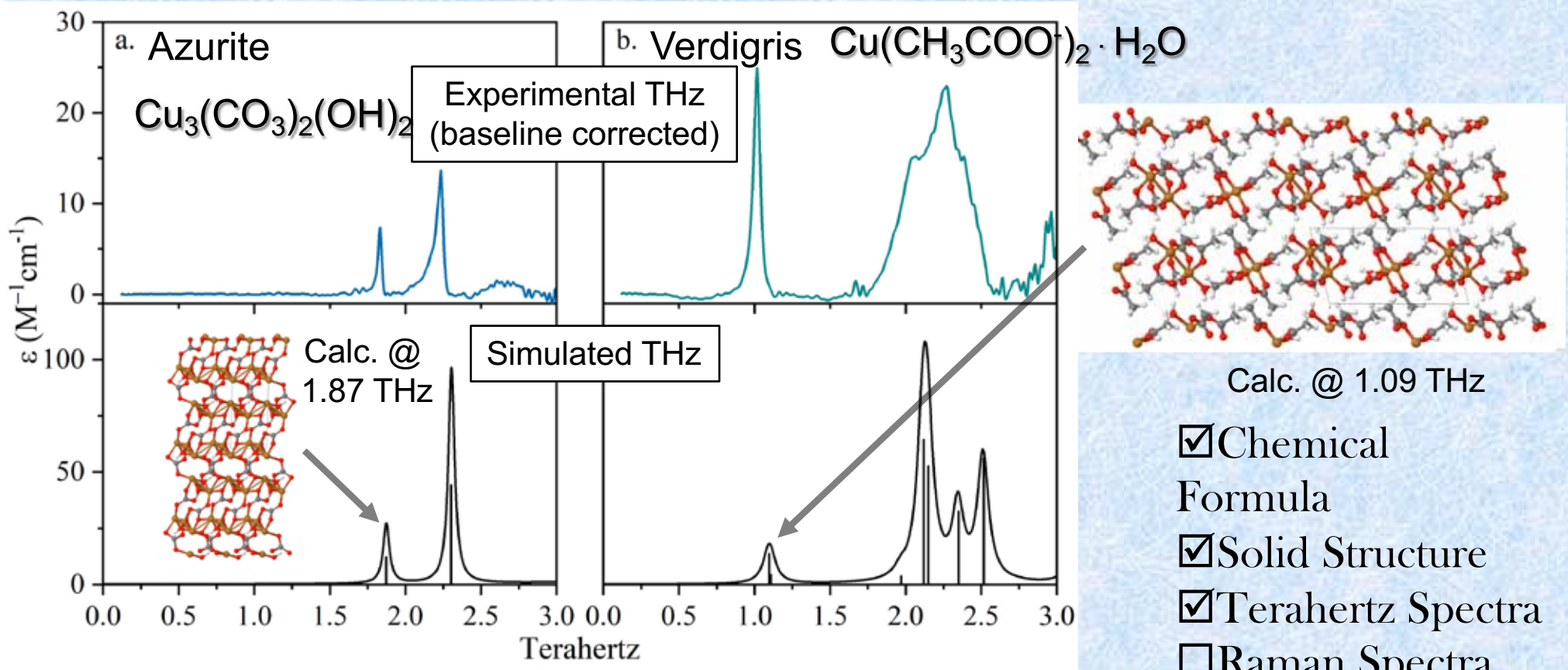
Need of automatic selector → XY  
image of best contrast between  
substances



# Simulation of the Azurite & Verdigris THz Spectra

Optimized solid-state DFT structures are used for vibrational analyses and assignments of the normal modes of motion of the crystals.

Malachite (not shown)  
has no significant IR-active modes predicted  
<3 THz, and matches  
experiment.

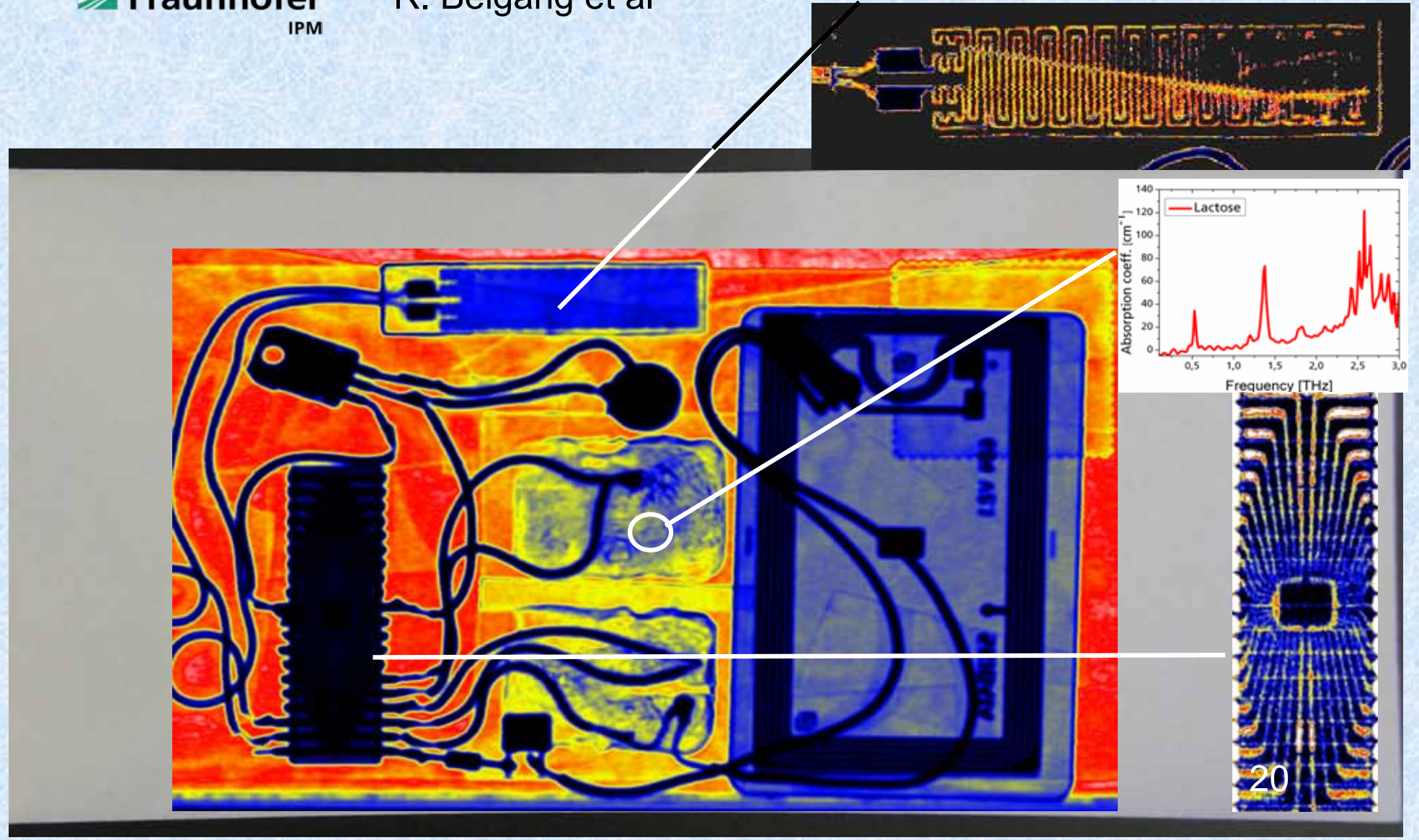


# Imaging and Identification d'objets cachés

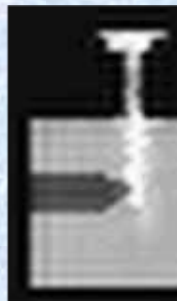
## Mock-up letter bomb

 **Fraunhofer**  
IPM

R. Beigang et al



# 2D or 3D : Imaging /Tomography



Penetration



Resolution

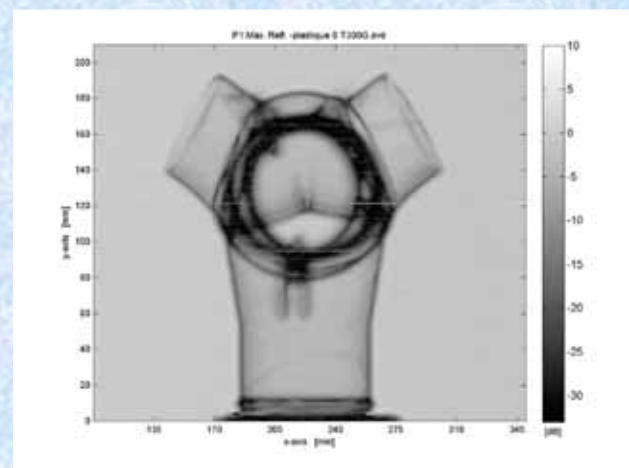
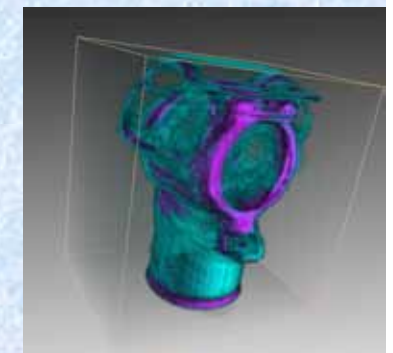
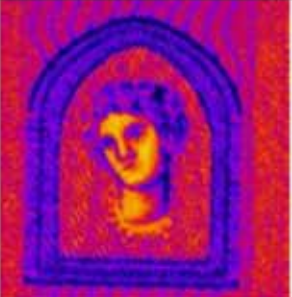
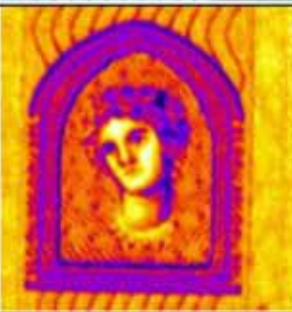
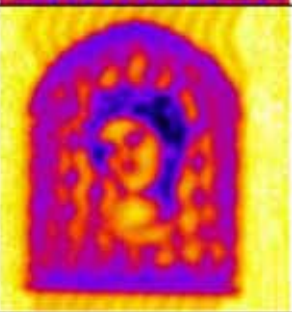
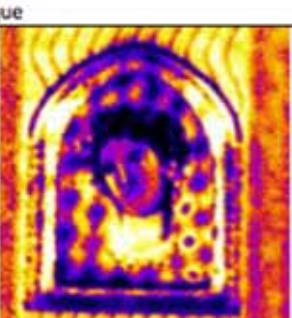
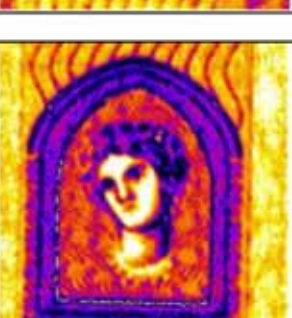
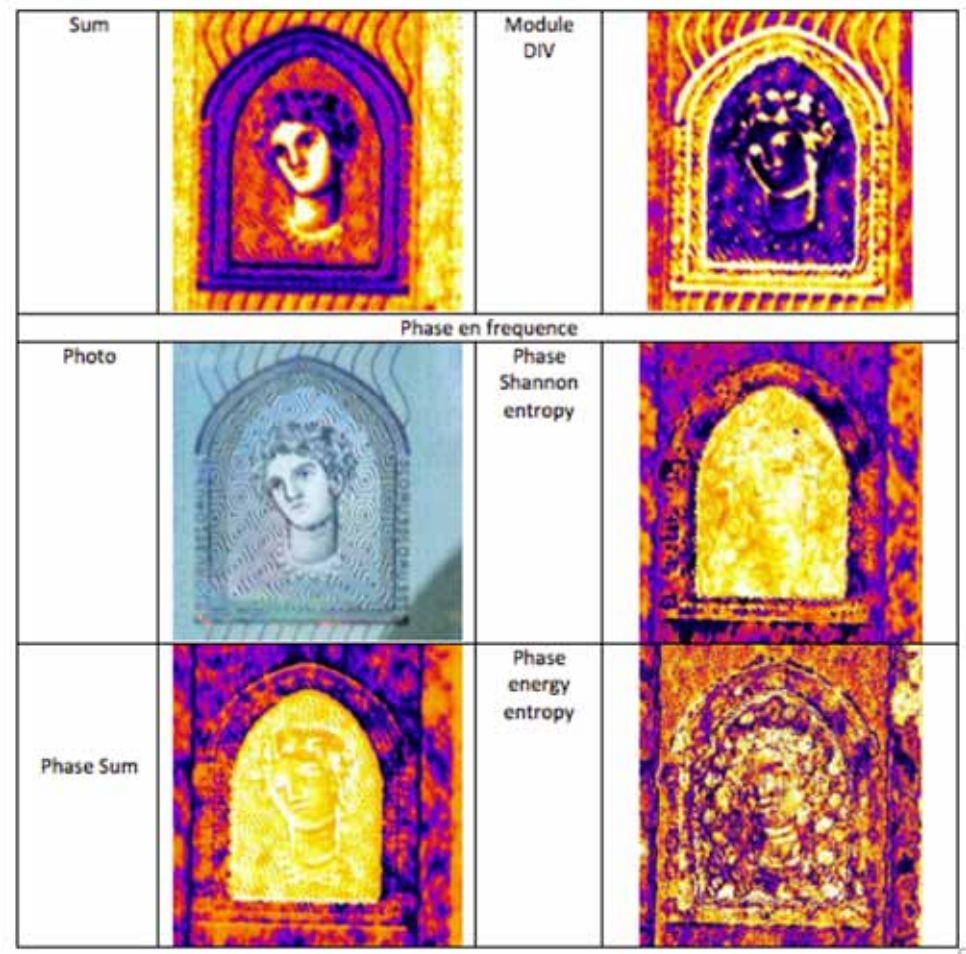


Image en fréquence (recherche manuelle)			
Photo		3240 GHz	
2500 GHz		863 GHz	
Classification Phase automatique			
Photo			
Ph			



## MULTISPECTRAL IMAGING

# How to see in 3D with terahertz?



## Continuous waves imaging

- Monochromatic waves (One frequency for each emitter)
- Signal amplitude
- 2D projection at different angles
- 2D tomograph → 3D reconstruction
  - Radon Algorithms or iteratives
- 3D inner inspection

## Frequency Modulated Continuous Wave

- Monochromatic waves but frequency change as function of time
- Frequency difference between emitted and received signal depends on time of flight
- 2.5D data
- Longitudinal resolution in same order than lateral

## Time domain spectral imaging

- Polychromatic wave
- One temporal pulse → Fourier transform → spectrum
- 2.5D data
- Longitudinal resolution better than lateral
- Mask effect , knowlegde of  $(n(w), e)$
- Chemical imaging

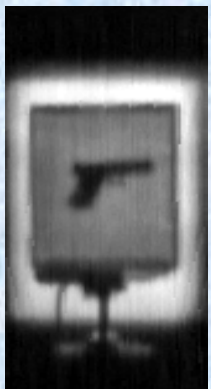
+ Shape From Focus

3D Terahertz imaging

# millimeter 2D and 3D imaging

Passive

Metallic gun



Metallic gun & knife



Rotational stage

Continuous Wave (CW)

Plastic Gun



Frequency modulated CW

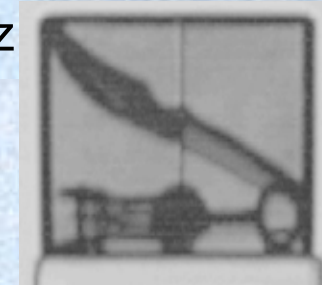
Sharpen objects



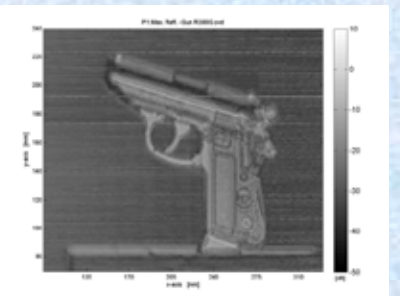
Liquide



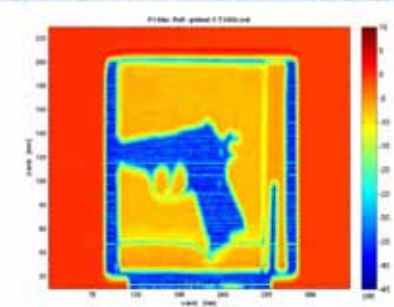
Transmission 100 GHz



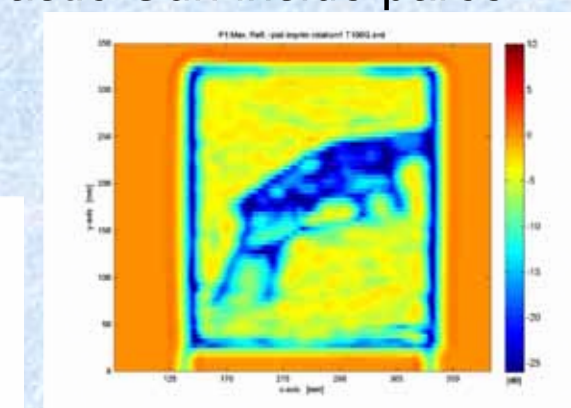
Transmission 300 GHz



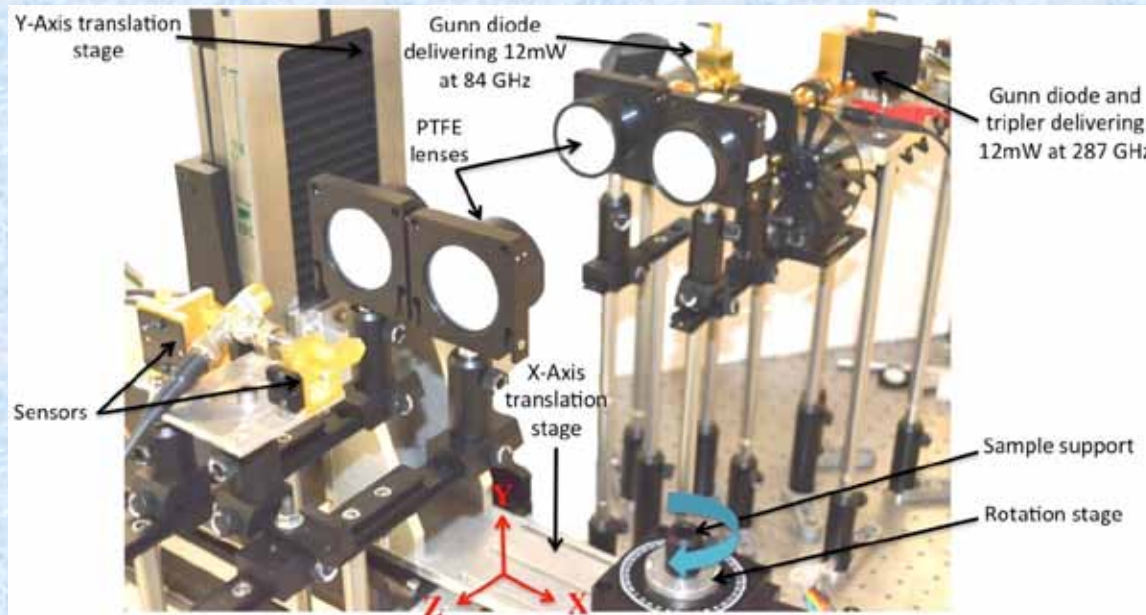
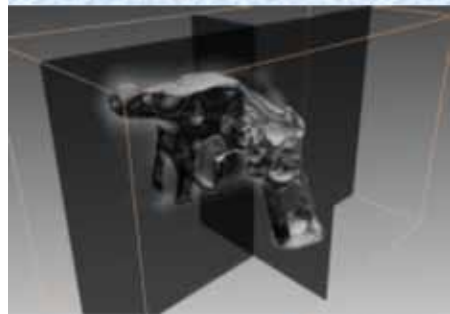
Metallic gun



300 GHz reflection



# 3D THz tomographic acquisition setup



Setup : Gunn diodes deliver subTHz beams at 84 GHz and 287 GHz, collimated and focused by a pair of PTFE lenses. Sample positioned on a (X,Y,  $\theta$ ) motorized stage.



Gun in resin  
By 3D printer



100 GHz proj.



300 GHz proj.

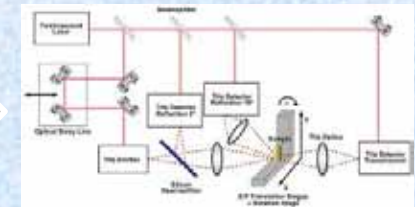
# Advanced Processing Sequence



Original object



THz acquisition



Reconstruction



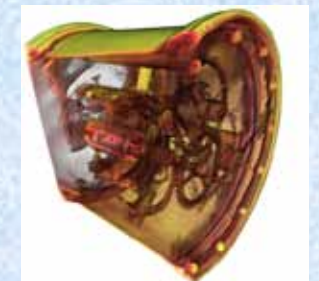
Segmentation



Labeling

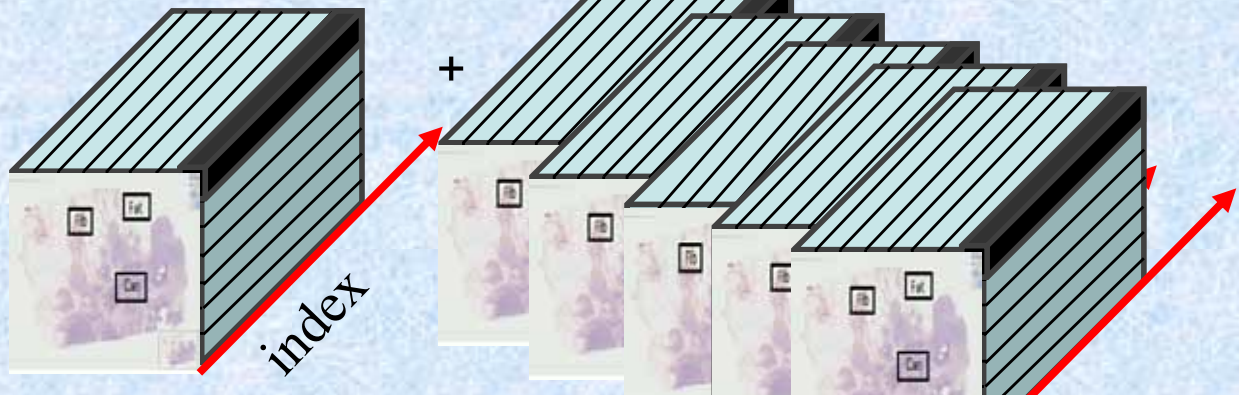
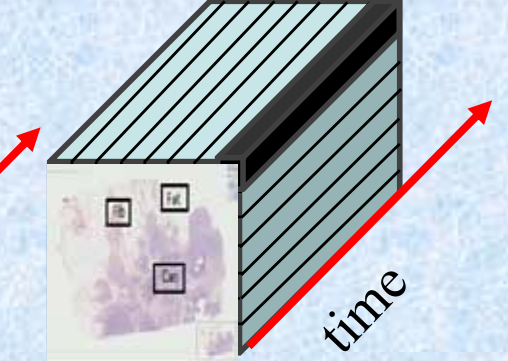
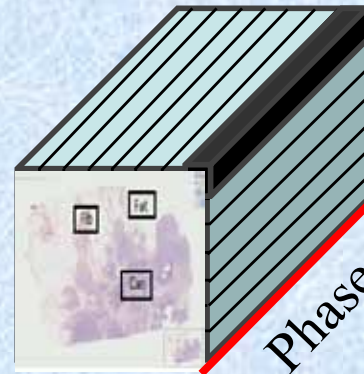
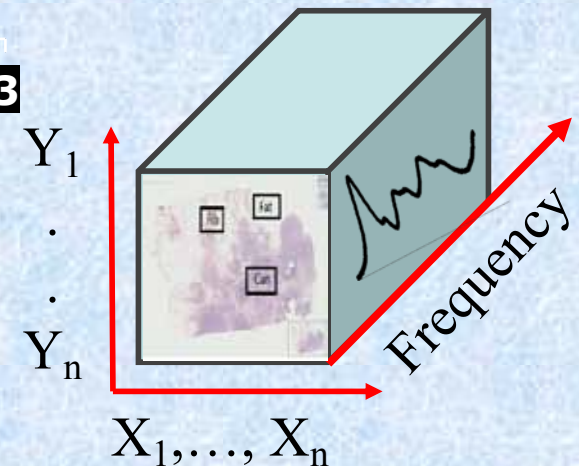
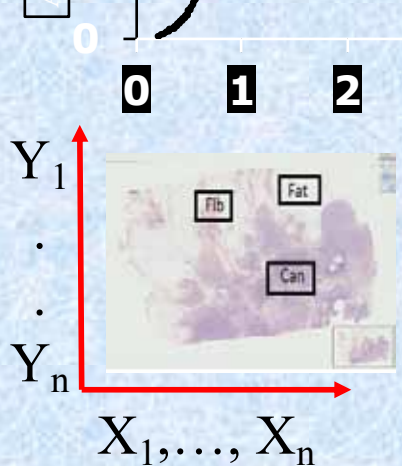
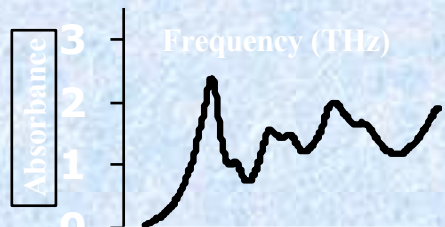


Surface & volume rendering



Analysis

# Data: 3D : 100x100x2000 values

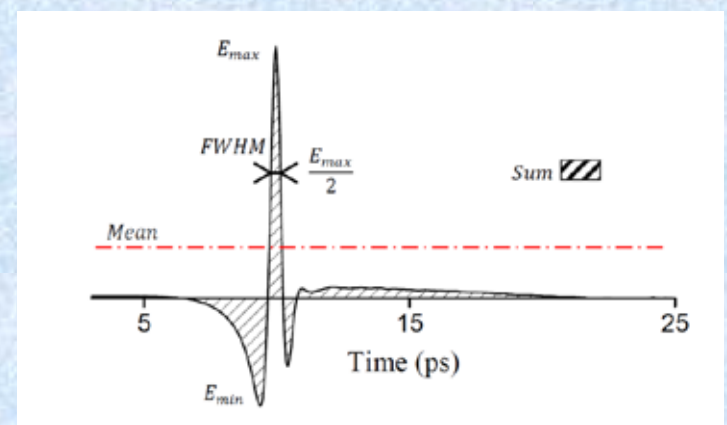


Transmittance , reflectance,.....;

# Data processing for spectro imaging applications : time domain



E<sub>max</sub> , E<sub>min</sub> , E<sub>max</sub>/E<sub>min</sub>, E<sub>min</sub>\*E<sub>max</sub>  
Time of flight (max) , time of flight (min)  
Peak to Peak , *Peak to Peak in time slice*  
*Time slice* , *diff time slice* ,  
Sum , *Optimal Sum Optimal difference*,  
Average  
derivative of time,  
time delay of pulse maximum (artifact with absorption)  
FWHM (min-max) (0-max) (0-min)  
Relative pulse width (origin of pulse width ?)  
Relative reduction of pulse maximum (unphysical)  
Relative power loss (good SNR)  
Spectrally weighted time delay (Shift of the center energy)  
Shannon Entropy (compressive data)  
Sure Entropy (compressive data)  
Threshold entropy (compressive data)  
PCA (compressive data)



T. Löffler, K. Siebert, S. Czasch, T. Bauer, and H. G. Roskos,  
"Visualization and classification in biomedical terahertz pulsed imaging,  
" *Physics in Medicine and Biology*, vol. 47, p. 3847, 2002

# Data processing for spectro imaging applications : Frequency domain

*FFT Amp Best*

*Sum , Optimal Sum*

*Optimal, difference ,*

Average

Time delay at fTHz

Relative power loss at fTHz (frequency dependance of losses)

Module Shannon Entropy (dispersion sensitive)

Module Sure Entropy (compressive data)

Module Threshold entropy(compressive data)

PCA (compressive data)

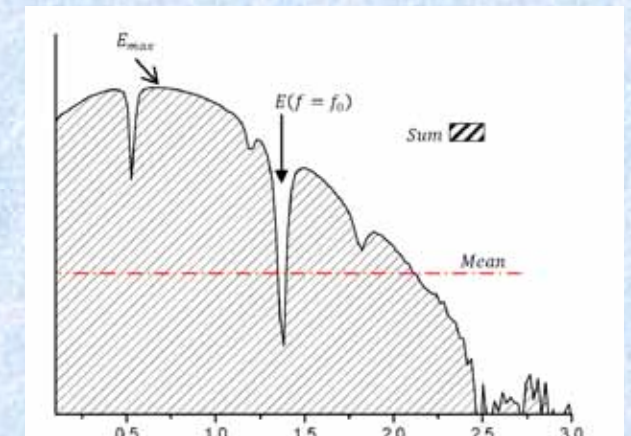
Energy Entropy (compressive data)

Same Tools for FFT phase ,

Transmittance , T

Reflectance, R

Absorbance , A



$$T = \frac{\Phi_e^t}{\Phi_e^i},$$

$$R = \frac{\Phi_e^r}{\Phi_e^i},$$

$$A = \log_{10} \left( \frac{\Phi_e^i}{\Phi_e^t} \right) = -\log_{10} T,$$

# Data processing for spectro imaging applications : TAG

Time domain imaging

From Left to right

Up to down

Time domain difference

Time domain div

Energy Entropy

FWHM

Max

Mean

Min

Multiplication

Relative Power loss

Relative pulse width

Reduction of pulse maximum

Time domain Shannon entropy

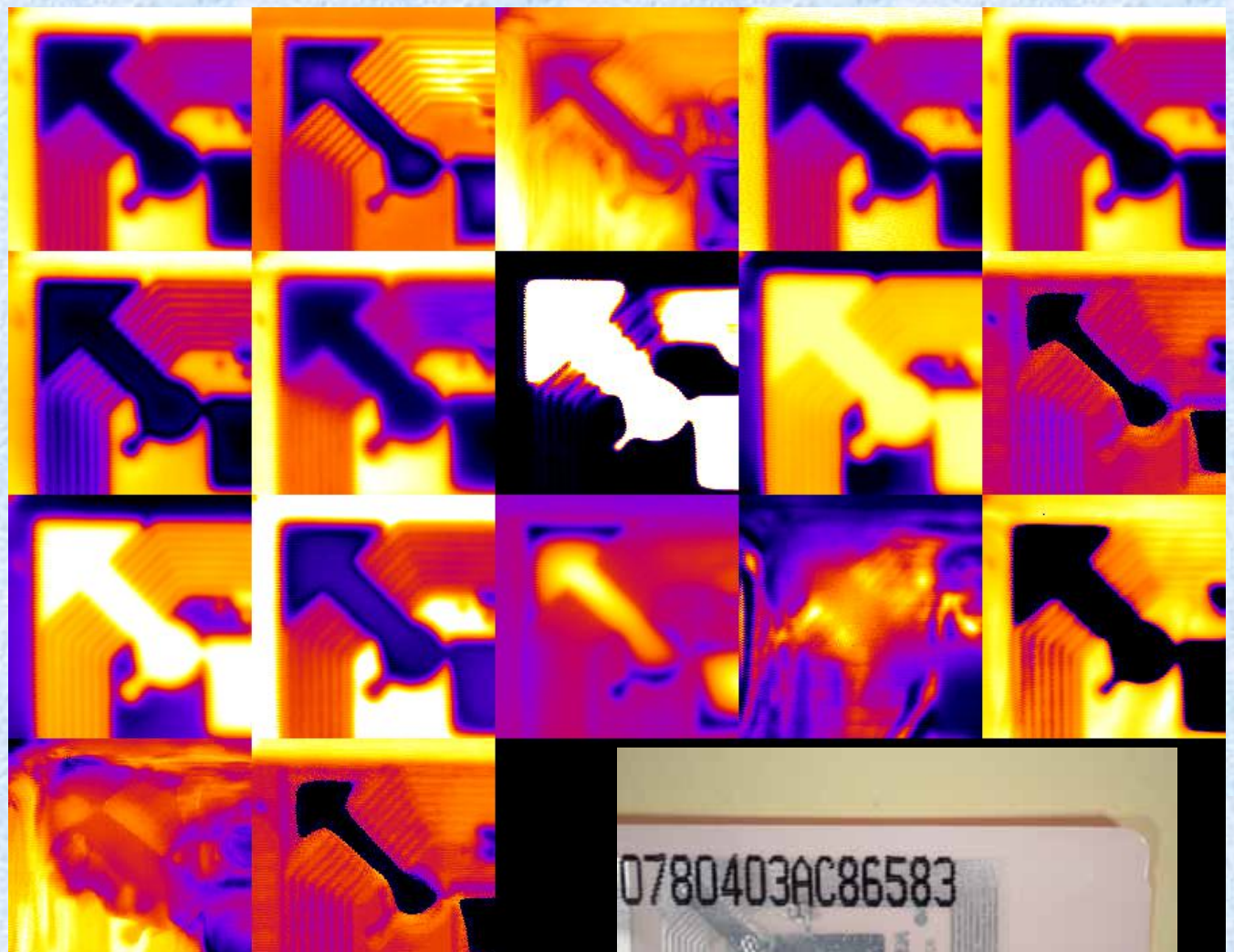
Spectrally weight time delay

Sum

Sure entropy

Threshold entropy

Time delay of pulse maximum

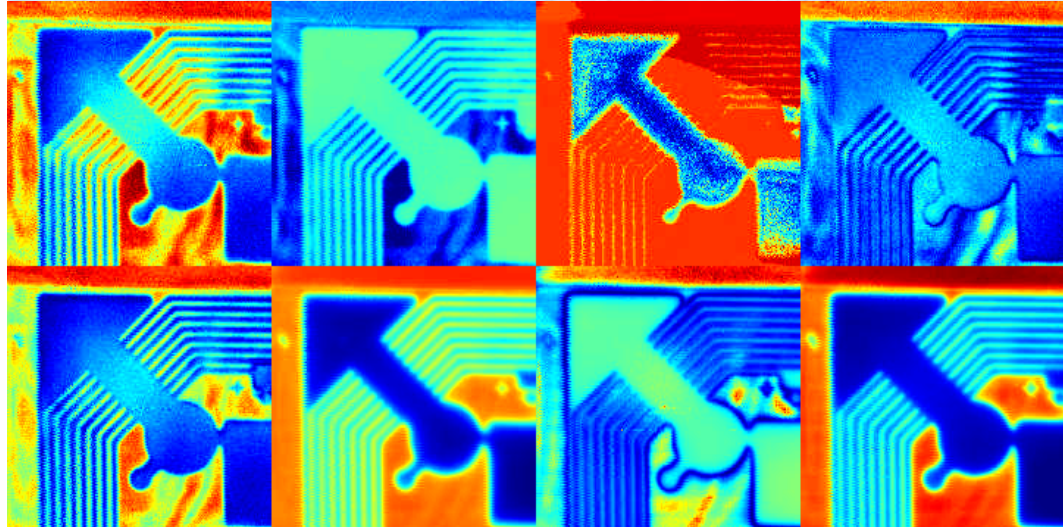


ims

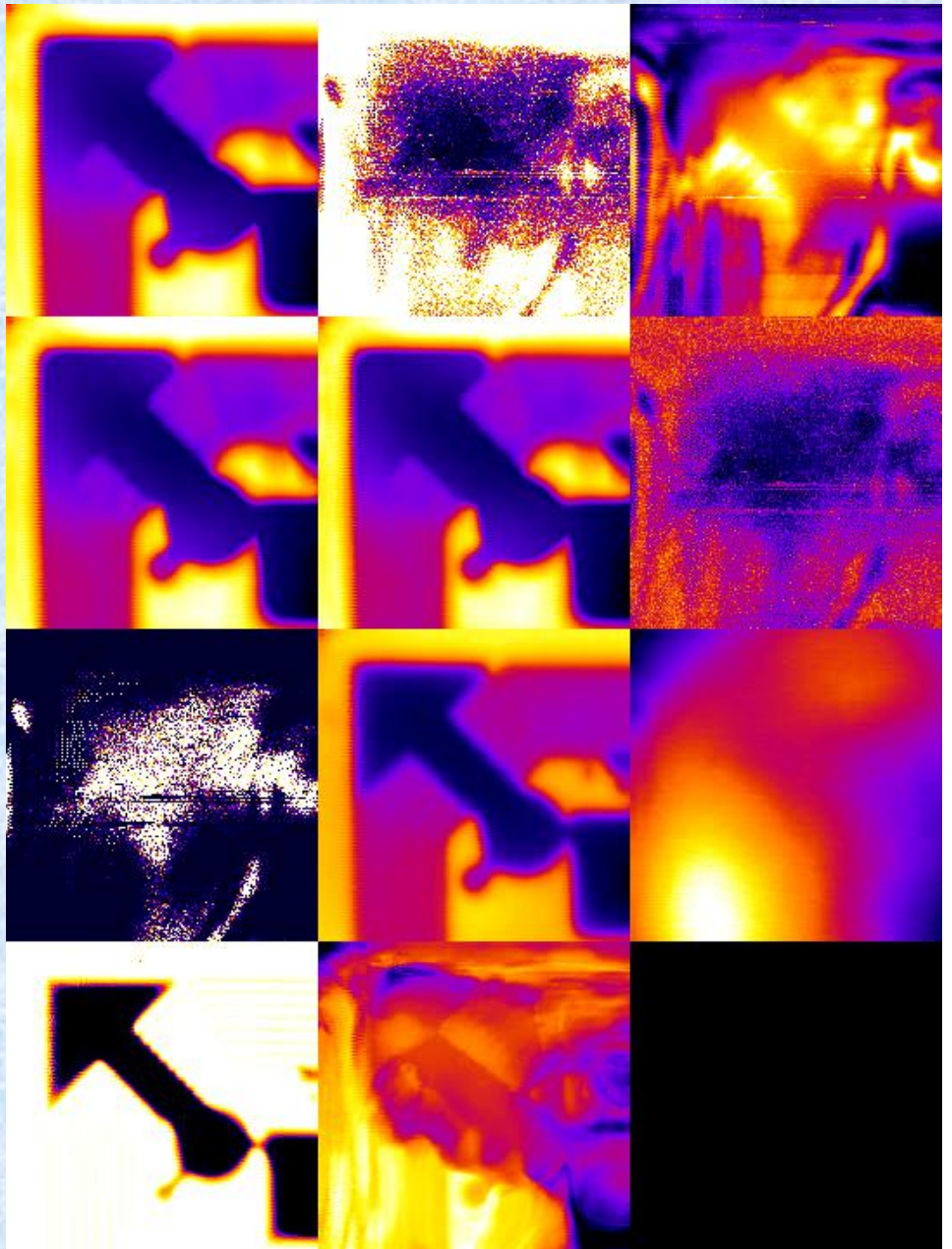
# Data processing for spectro imaging applications : TAG

## Frequency domain

difference  
division  
energy entropy  
Max , mean, min  
multiplication  
Shannon entropy  
sum  
sure entropy  
Threshold entropy

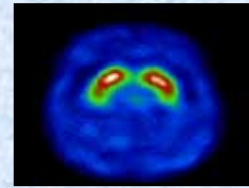
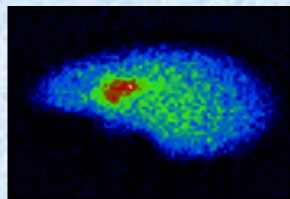


Best F, Best F relative loss, best F time delay , Freq  
Transmittance, Energy, Shannon E , Best Sum F



# Tomographie THz 3D

The Radon inverse transform



$p(u, \Theta)$

Fourier  
Transform

$P(r, \Theta)$

Filtering

Sinograms



Reconstructed images

$f(x, y)$

Back projection

inverse  
Fourier transform

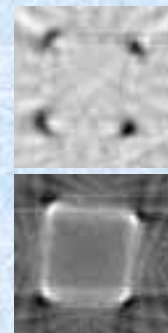
$p'(u, \Theta)$

Transparent plastic cell

Amplitude image



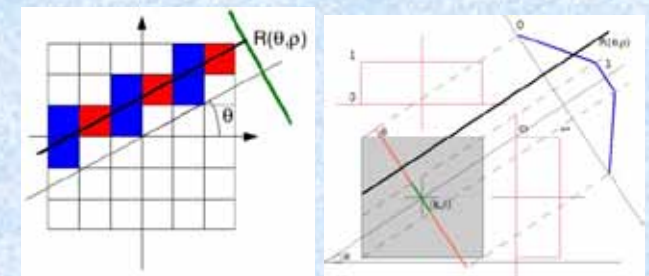
Delay image



Advantages & drawbacks  
Experimental

Amplitude  
Phase } Images

Absorption and refraction  
losses Numerical

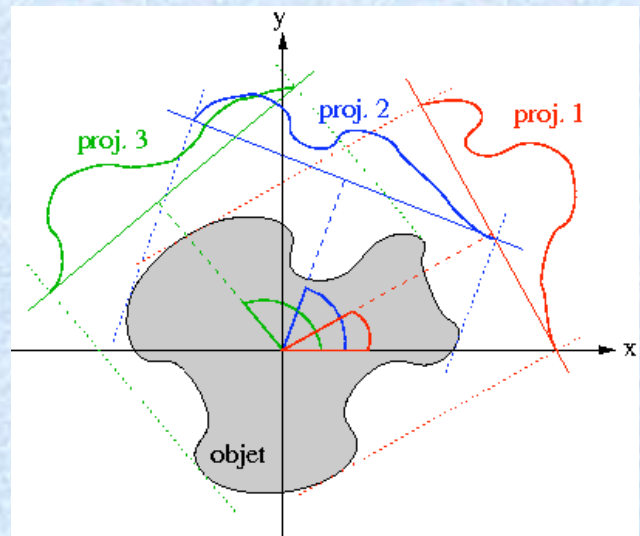


Trade off: complexity, precision  
Time acquisition

For each pixel, the THz waveform as a function of time.  
Final tomographic THz images can be obtained  
maximum value of the THz amplitude signal (amplitude)  
time delay : average of the different peaks (delay image).

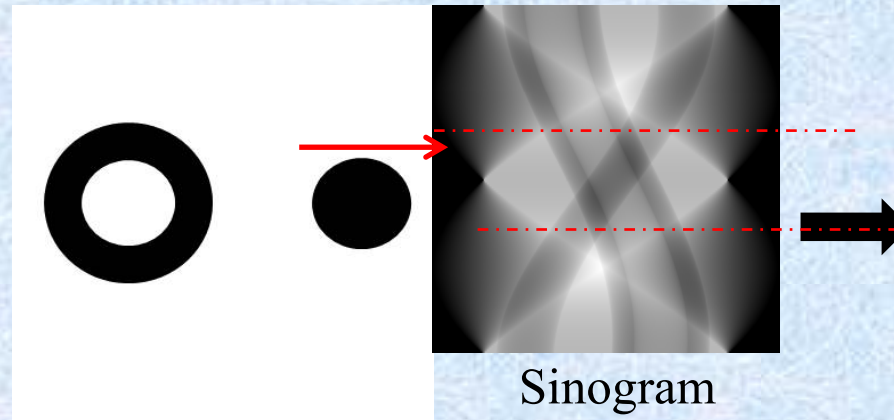
# Computed tomography

## Principle of computed tomography

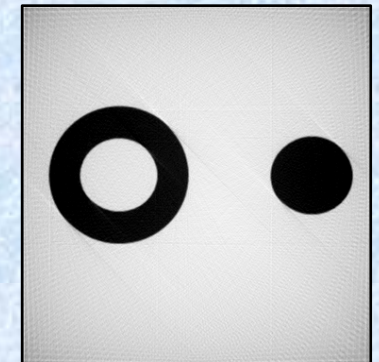


## Radon's Theorem (1917)

$$f(x,y) = \int_{\theta=0}^{2\pi} \int_{\rho=-\infty}^{+\infty} R(\theta,\rho) \delta(\rho - x \cos \theta - y \sin \theta) d\theta d\rho$$



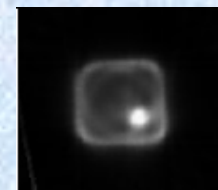
Reconstructed image



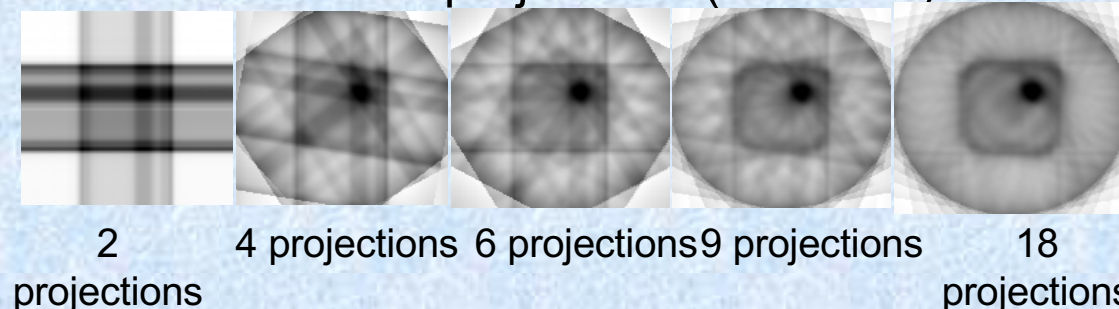
Sinogram

BFP  
(Back Fourier Transformation)

Foam cube/metallic bar metal



Number of projections (287 GHz)



2  
projections

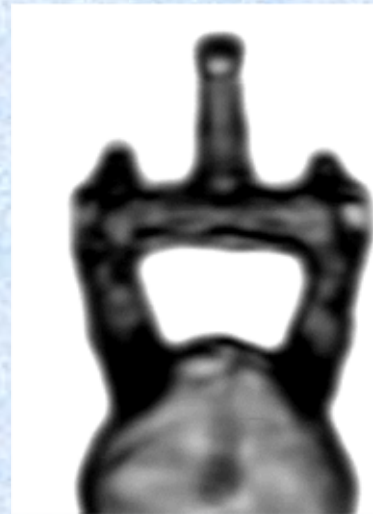
4 projections

6 projections

9 projections

18  
projections

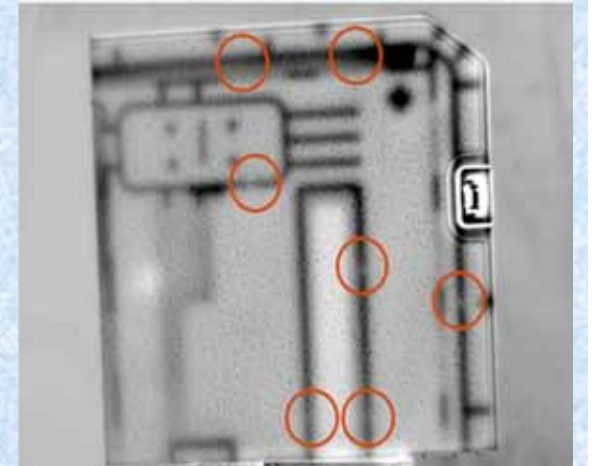
# Imagerie en 3D : contrôle industriel



# FMCW system

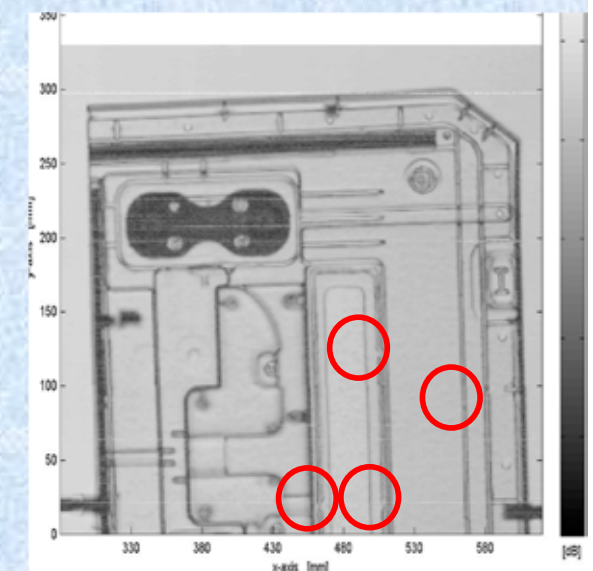


IR thermography



- Frequency modulated Continuous Wave system
- Transmission and reflection 100 GHz and 300 GHz
- Scan Area  $600 \times 800$  mm
- Faster than TDS but resolution in the millimeter range
- Can give direct 2.5D images with frequency difference reconstruction

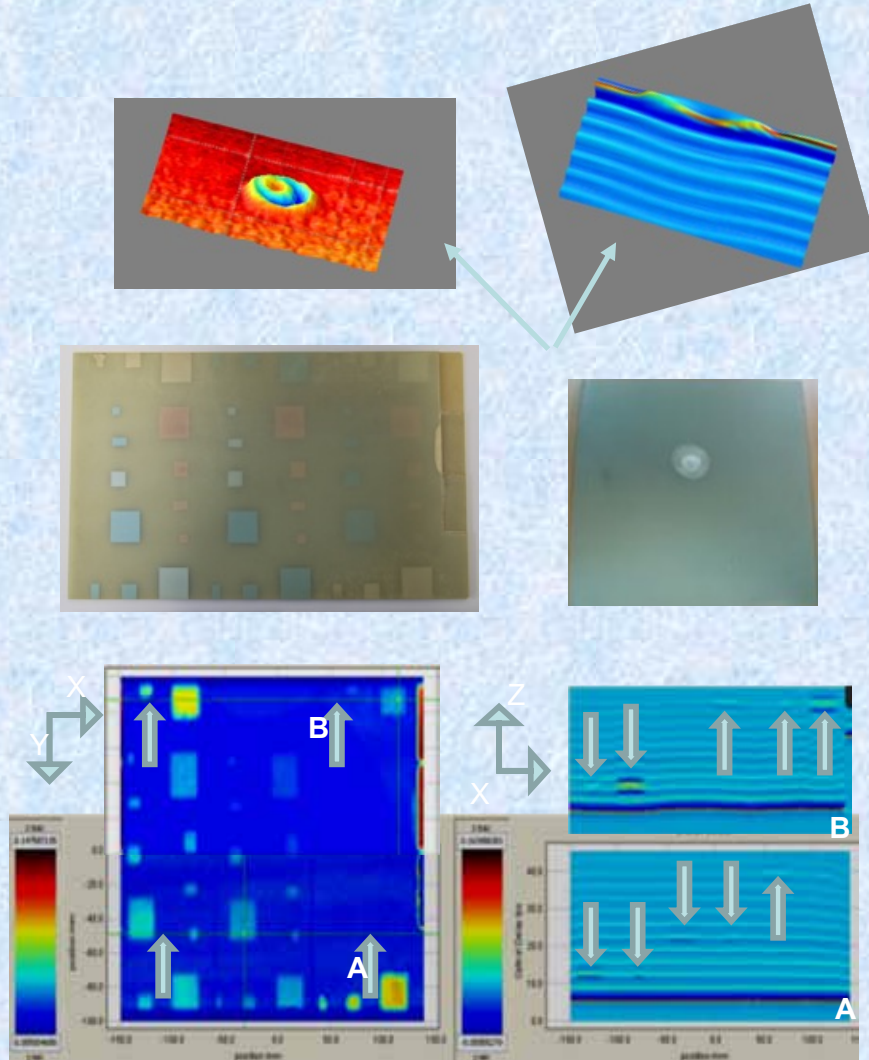
300 GHz FMCW



Automotive industry

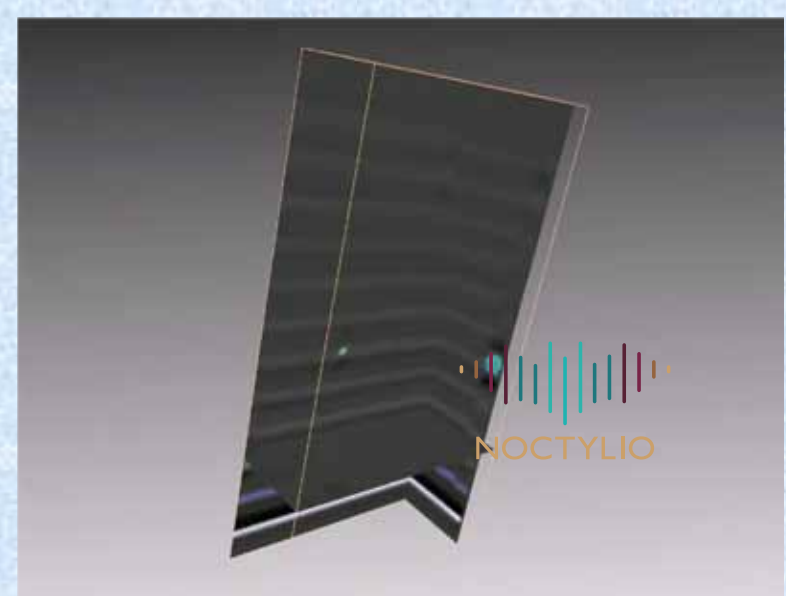
# Time of Flight system

## Glass Fiber Reinforced Plastic

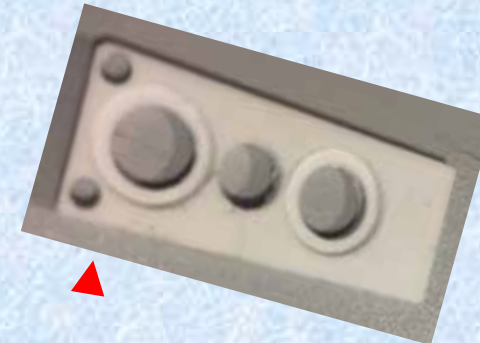


### Defect localisation by TDS TOF

- Intentional defects for **calibration**
- Water inclusion
- Simulation of delaminations and debonding
- Impact damage

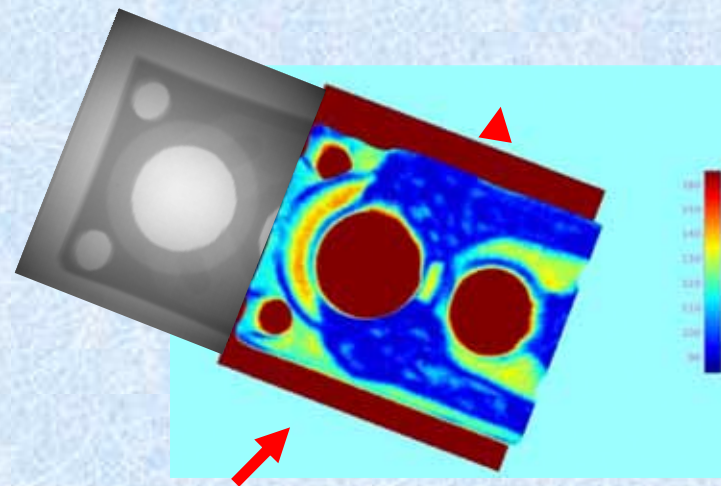
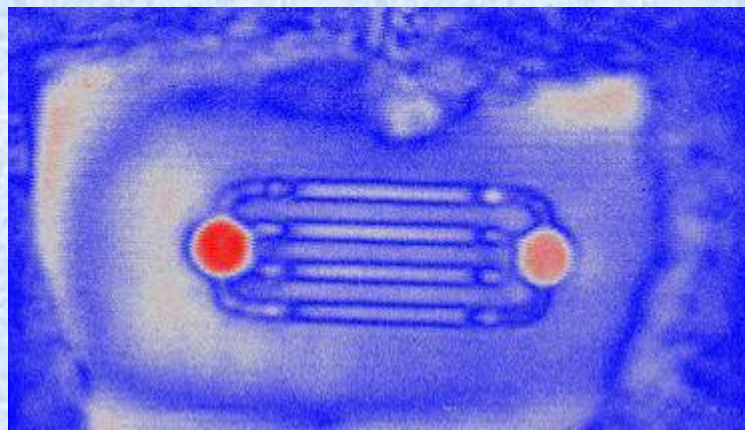


# Time of Flight system



Detail of a zirconia piece with cavities

Ceramics



Micro Channels revealed and inspected



# 3D terahertz Real time Imaging

## Real-time terahertz imaging systems

- Compact QCL laser @ 2.5 THz (3mW) cooled @ 44 K from Lytid society
- CEA-LETI uncooled micro-bolometer array based camera (320\*240 pixels) from I2S society
- f/0.8 lens with a 200 mm working distance and 64\*48 mm<sup>2</sup> object field of view
- Homogenizer to limit interferences effects due to the laser source coherency [4]



HDPE head spray as sample



750 projections acquired from 0 to 180 ° in 30s



Terahertz tomography



3D Tomographic reconstruction

Sectional view



## Terahertz computed tomography for 3D reconstruction

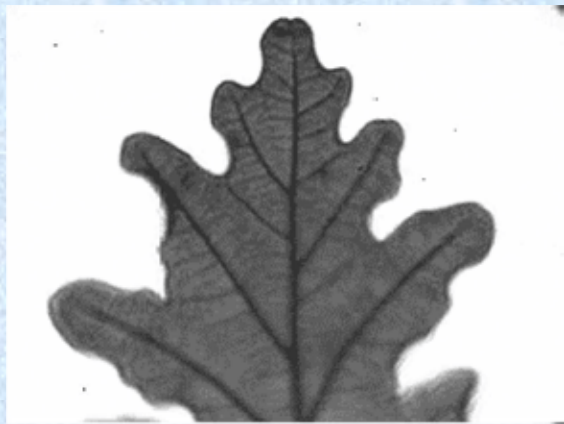
- With a terahertz adapted algorithm included in Noctylab software from Noctylab society
- High resolved reconstruction for « 3D type » objects



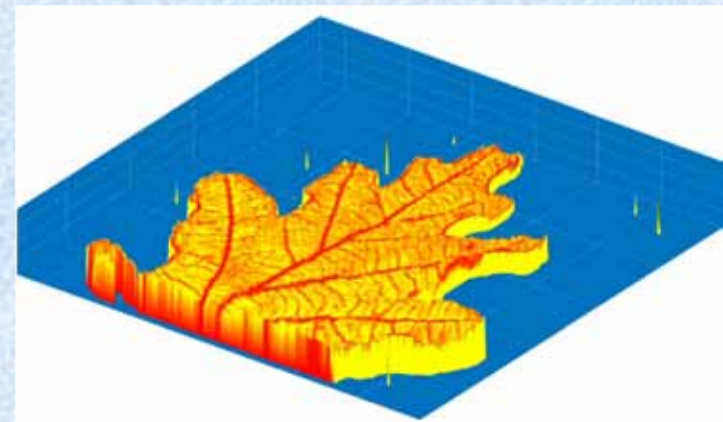
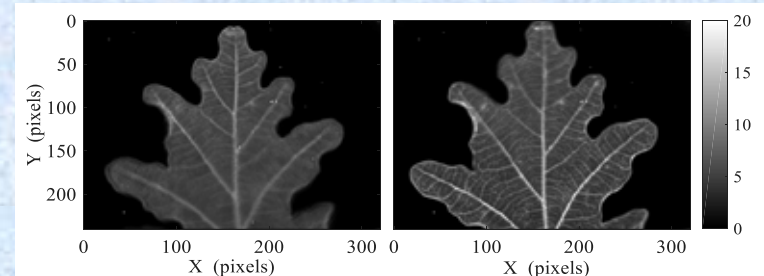
# 2.5 THz real-time full field imaging

- One bended oak leaf

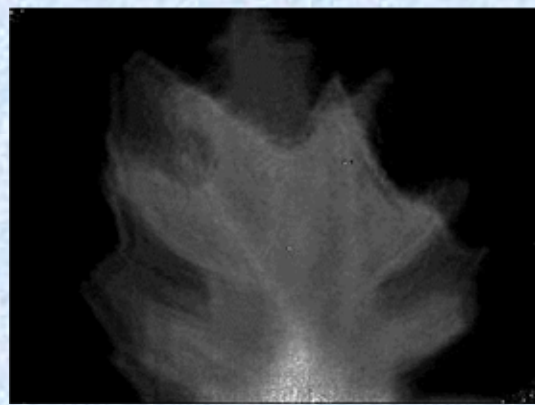
Samples



Absorban  
ce



- Two stacked bended leaves : A maple leaf and the previous oak leaf behind



# Overview of paint film build

## Goal:

- to reliably determine **dry film thickness** of all individual layers
- to report when individual builds are **outside of specification**
- to operate reliably in an **industrial environment**
- to provide self-calibration

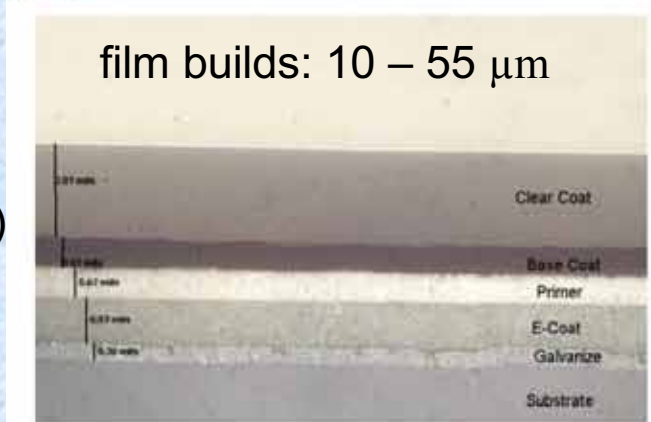
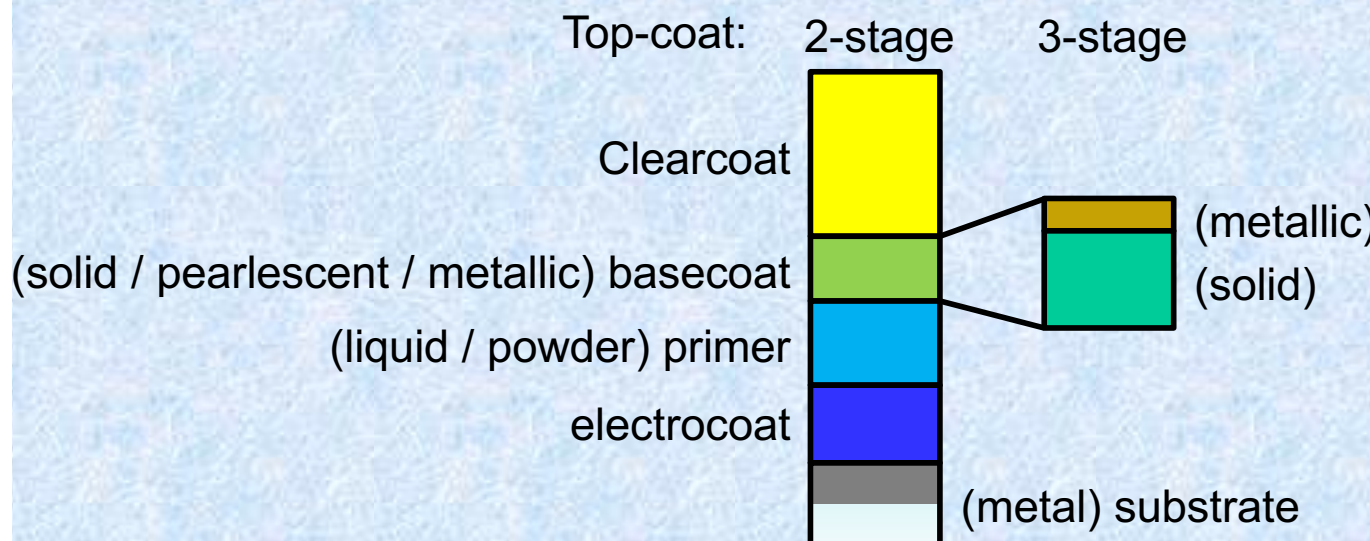
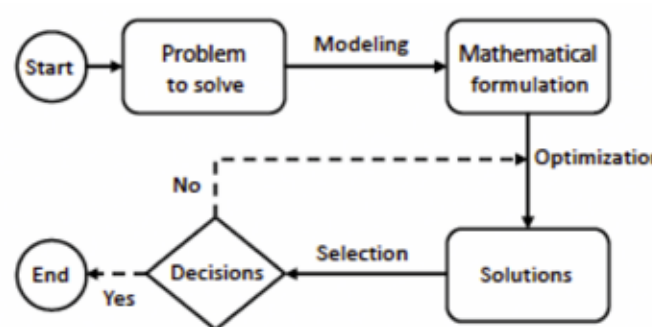


image: [www.z-dupont.com](http://www.z-dupont.com)

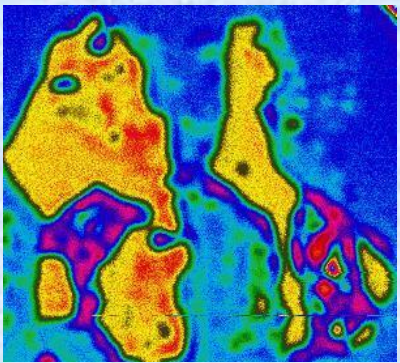
A ray diagram showing light passing through three media: Medium 0 (Air), Medium 1 (Sample), and Medium 2 (Air / Substrate). An incident wave  $E_0$  enters the sample from air. At the interface between Medium 0 and Medium 1, a reflected wave  $E_{r0} = r_{01}E_0$  is shown. At the interface between Medium 1 and Medium 2, a reflected wave  $E_{r1} = t_{01}t_{12}e^{\frac{2i\omega nd}{c}}E_0$  and a transmitted wave  $E_{t1} = r_{10}r_{12}e^{\frac{2i\omega nd}{c}}E_{r0}$  are shown. Below the sample, another reflected wave  $E_{r2} = r_{10}r_{12}e^{\frac{2i\omega nd}{c}}E_{r1}$  and a transmitted wave  $E_{t2} = r_{10}r_{12}e^{\frac{2i\omega nd}{c}}E_{t1}$  are shown. Ellipses indicate the stack continues.

40

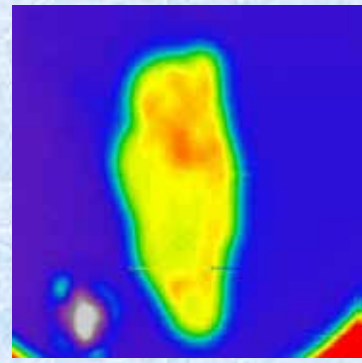
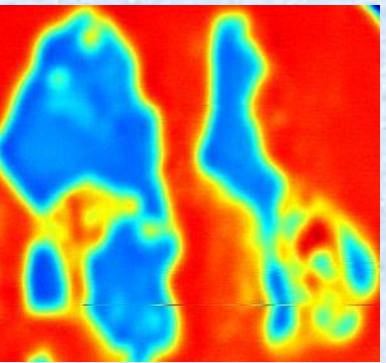


# Data processing for spectro imaging applications :

Example of extraction #1



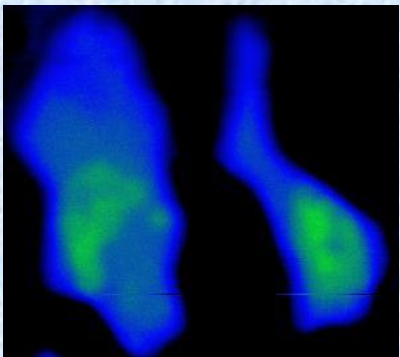
Frequency domain



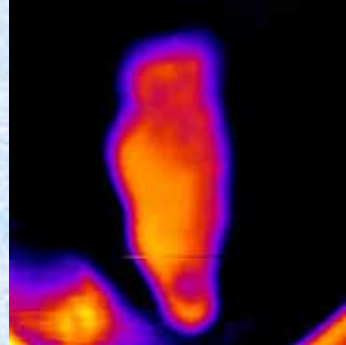
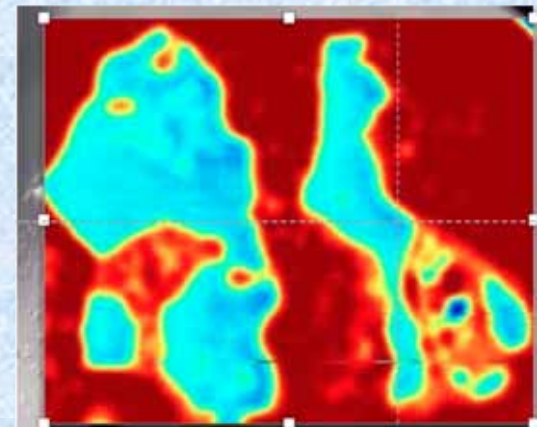
#2



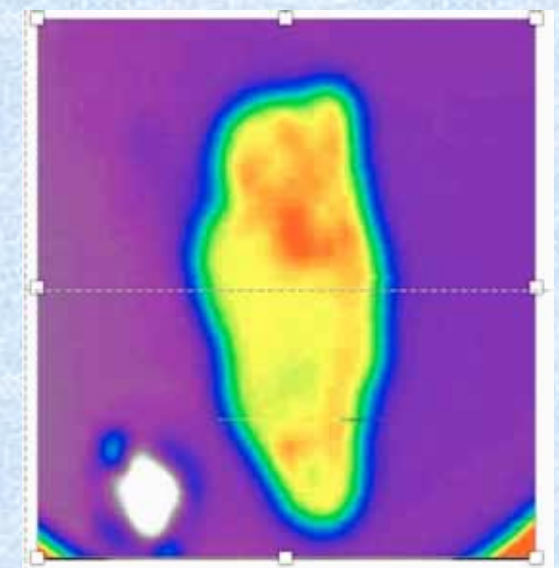
Transmittance



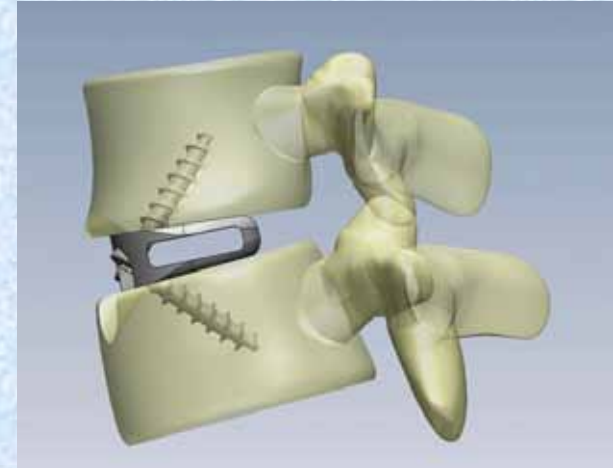
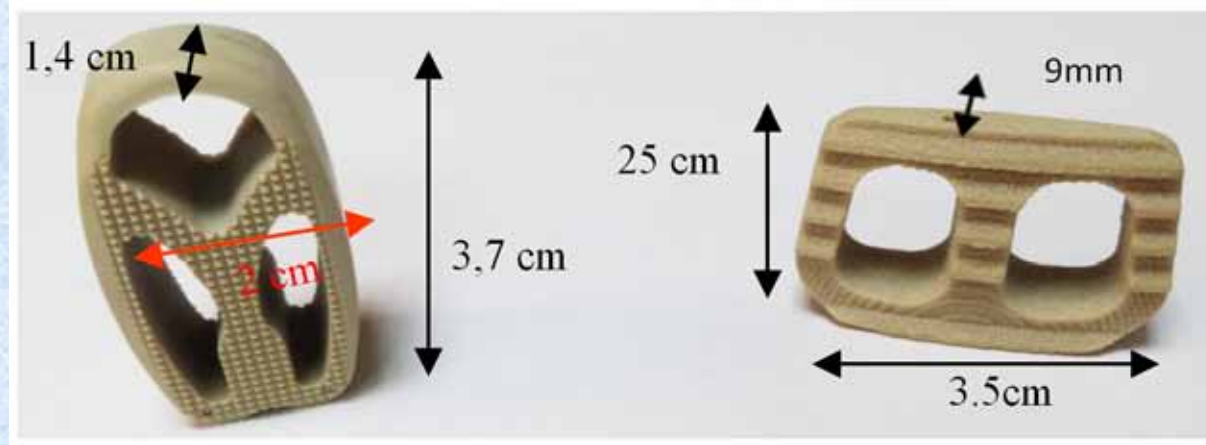
Time domain



Time domain



# 3D image Rendering Lumbar interbody devices implant

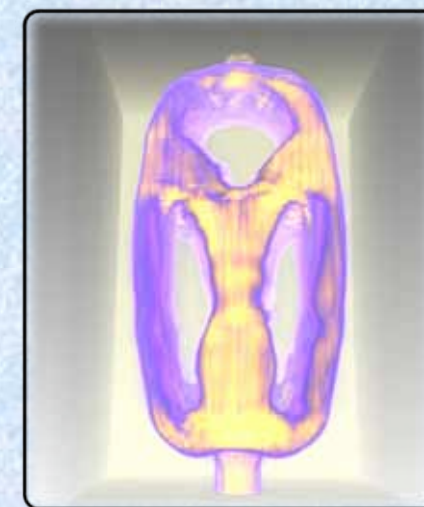


## Lumbar Interbody Devices

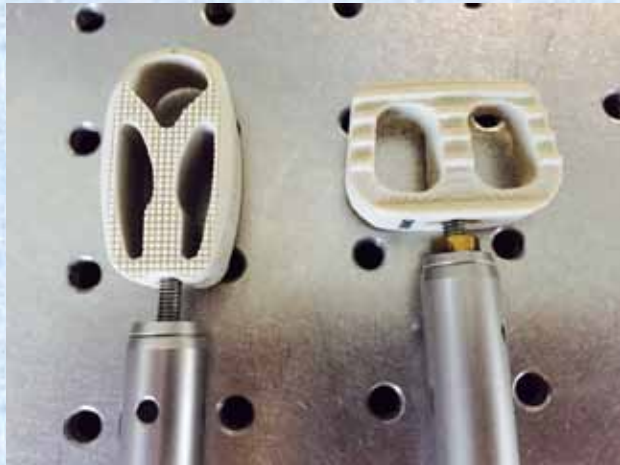
Lumbar fusion is commonly performed to alleviate chronic low back and leg pain secondary to disc degeneration, spondylolisthesis with or without concomitant lumbar spinal stenosis



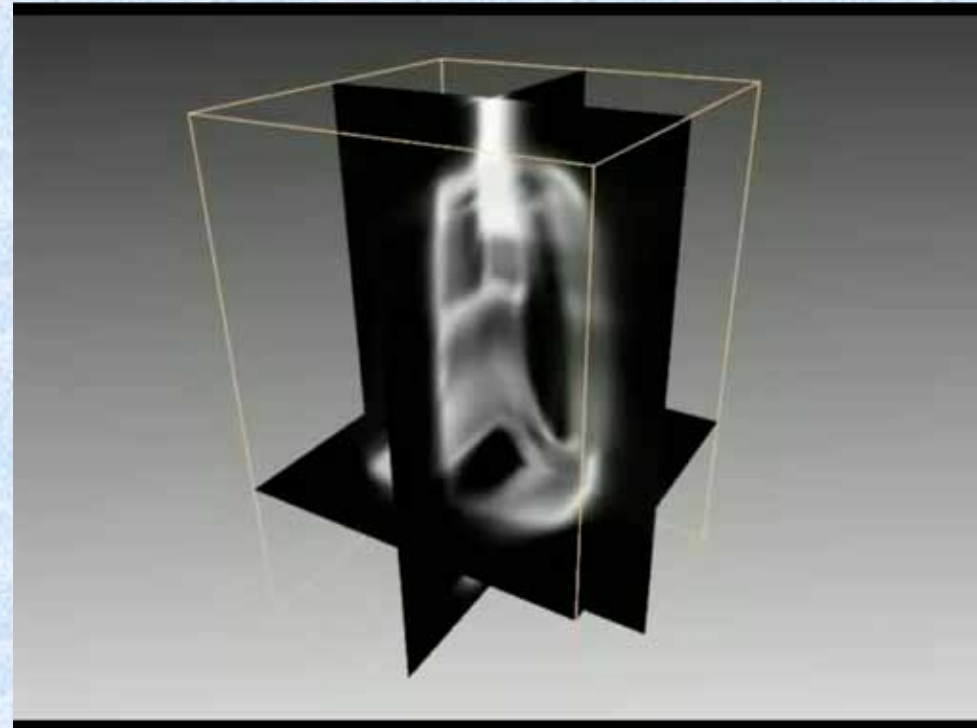
## 2D sinogram & reconstruction



# 3D image Rendering



Medical Implant  
By Additive manufacturing

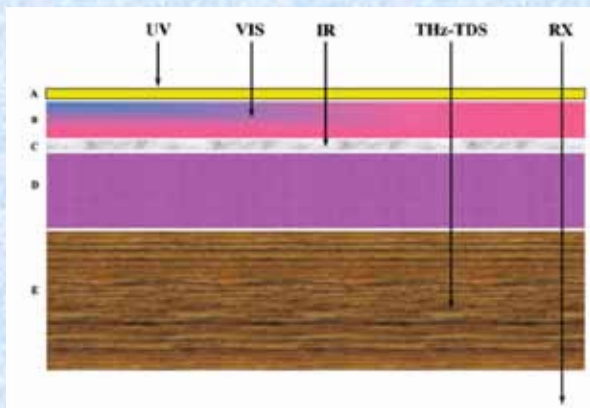


3D image Rendering

Processing Sequence To Analyse 3D THz Images , Benoit Recur; Hugo Balacey; Jean Baptiste Perraud; Patrick Mounaix  
IEEETST, Appl,Optics

# THz & art : mainly TDI

Painting → hidden layers, pigments  
Egyptian papyrus  
Manuscript  
Etc...



Fukunaga, K., & Picollo, M. (2012).  
Characterisation of works of art. In *Terahertz Spectroscopy and Imaging* (pp. 521-538).  
Springer Berlin Heidelberg.

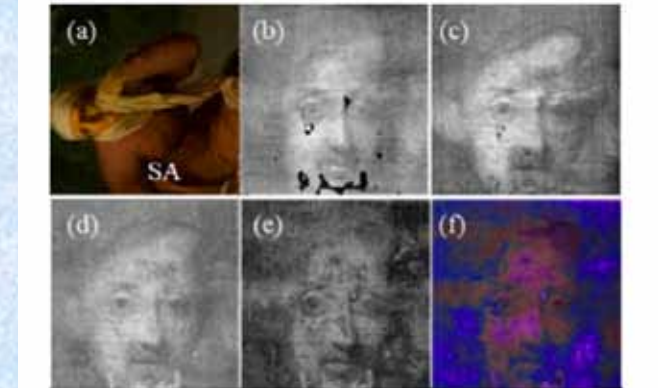


Fig. 6 (a) visible image of the scanned area. (b) X-radiograph of the scanned areas. (c) Peak-to-peak time parametric THz image. (d) THz frequency integrated image of interface layers included among I2 and I3. (e) THz image in 0.55 - 0.62 THz range. (f) THz false color (FC) image

Koch-Dandolo, C. L., Filtenborg, T., Fukunaga, K., Skou-Hansen, J., & Jepsen, P. U. (2015). Reflection terahertz time-domain imaging for analysis of an 18th century neoclassical easel painting. *Applied optics*, 54(16), 5123-5129.

# Scanning systems : FMCW

Frequency modulated continuous wave system (FMCW) with a large scan area : 600 x 800 mm (Synview®)

Four heads :

- two both emitting and receiving
- two only receiving signals

Two frequency ranges, from 75 to 110 GHz and from 220 to 330 GHz

The spatial resolution 5 mm at 100 GHz and 2 mm at 300 GHz

50 to 70 dB dynamic range depending topology and frequency

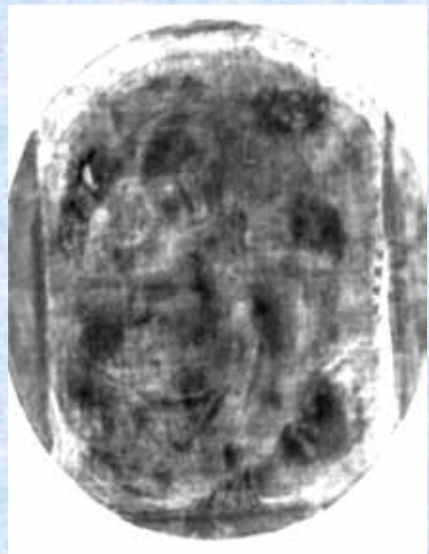


# FMCW measurements

Visible image



Reflection 100 GHz



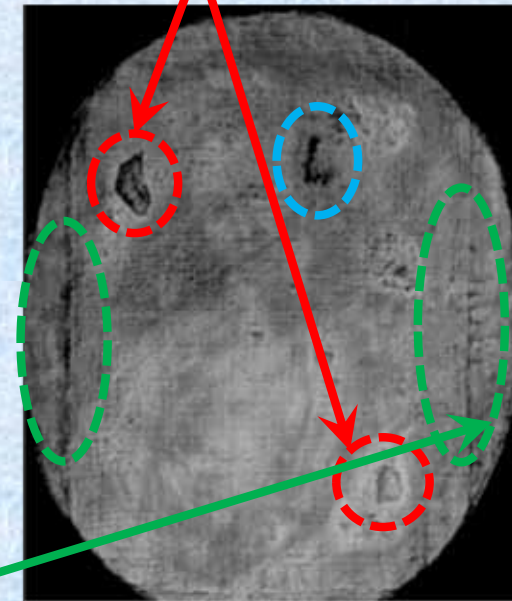
Transmission 300 GHz



# Art conservation Large surface , defect detection



50% superimposition



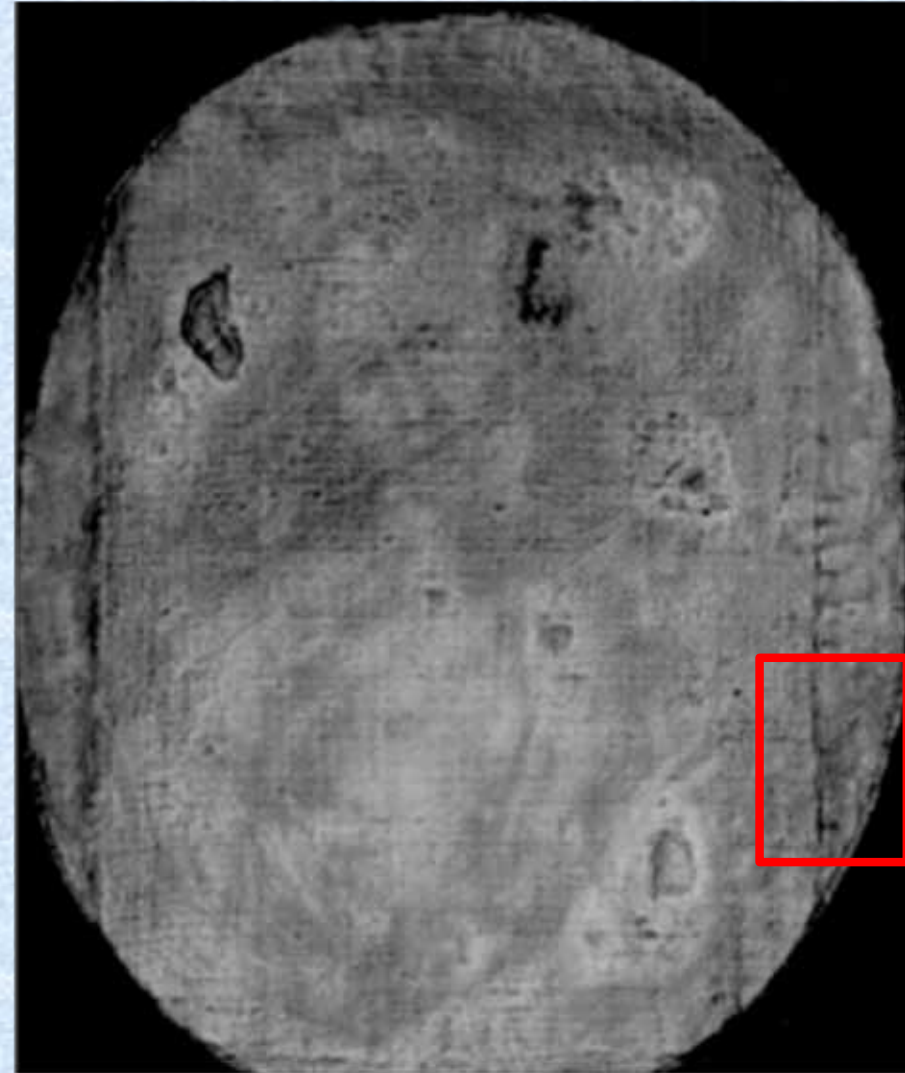
300 GHz reflection

Voids

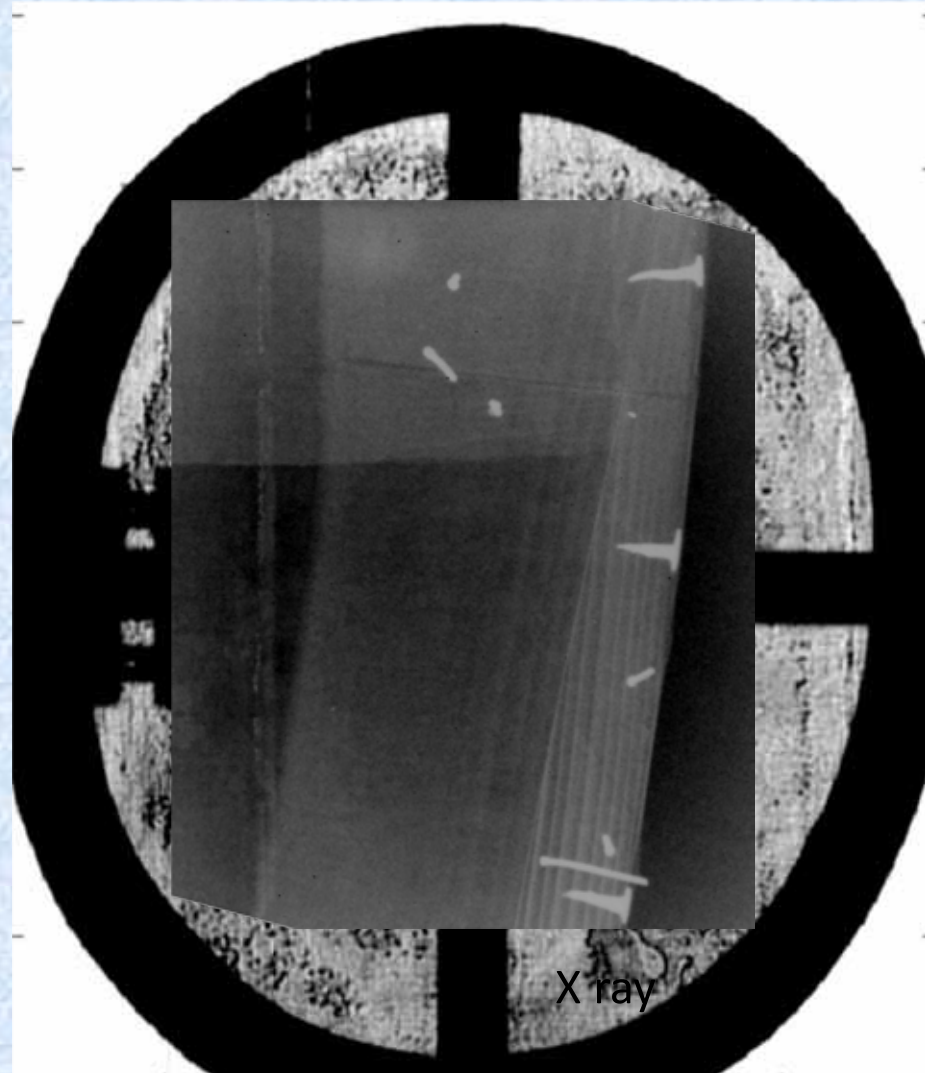
Rip of the  
canvas

Cracking of  
the canvas  
close to the  
extension

# Cracks

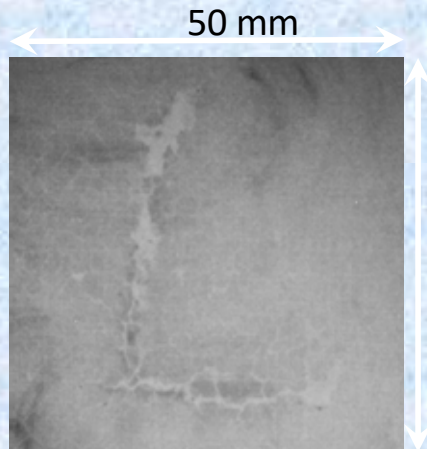


300 GHz reflection



100 GHz reflection

# Crack of the canvas



X Ray image



Raking visible light

FMCW give the best result for this defect with X Ray



THz-TDI image axis after  
flattening with  
alignment of waveform  
to maximum and  
using a slice

# 3D Visualization

Longitudinal resolution



# From 2D THz to 3D



Mochica pottery

@ 84 GHz



@ 287GHz



Synview 100 GHz

# TERAHERTZ FOR INDUSTRY



Le laboratoire IMS UMR CNRS 5218 et la société Teraview Ltd, en partenariat avec le pôle de compétitivité ALPHA - Route des Lasers & des Hyperfréquences et le cluster LAPHIA, organisent **les 19 et 20 février 2019** à l'Université de Bordeaux

la 2ème édition du forum  
sur l'emploi des ondes terahertz dans l'industrie  
<http://terahertzforindustry.com>

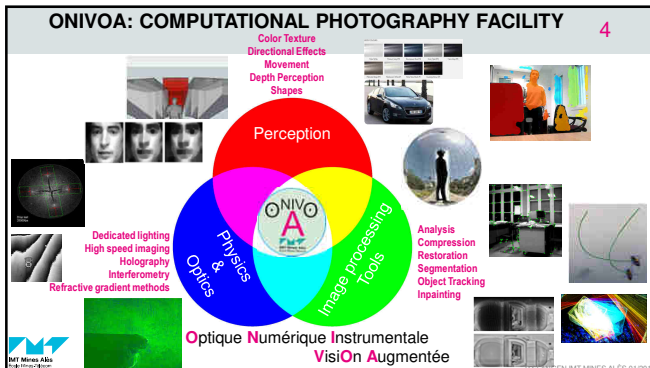
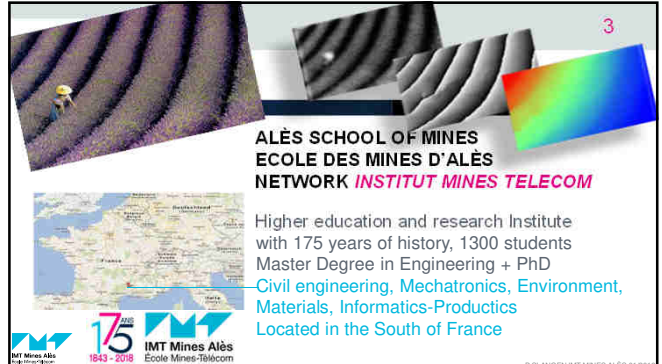
#### Au programme :

- > Cycle de **conférences** et exemples de transferts technologiques dans l'industrie,
- > **Stands** d'industriels,
- > **Session posters** d'académiques et de professionnels autour des projets terahertz en lien avec l'industrie,
- > Visite et démonstrations des **systèmes Terahertz de la plateforme ATLAS** du laboratoire IMS.

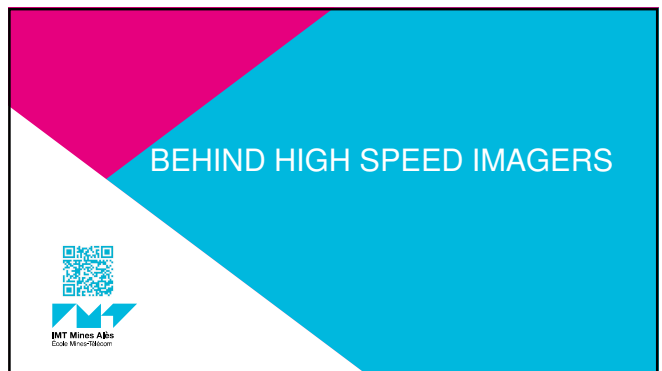
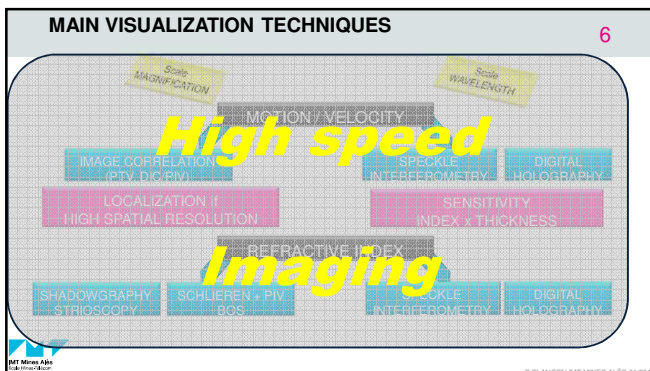
#### 2 jours pour :

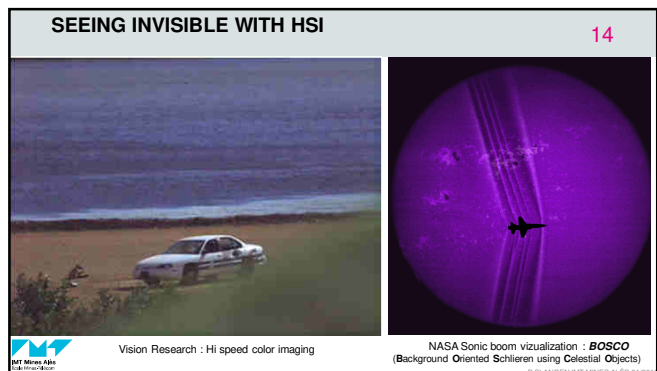
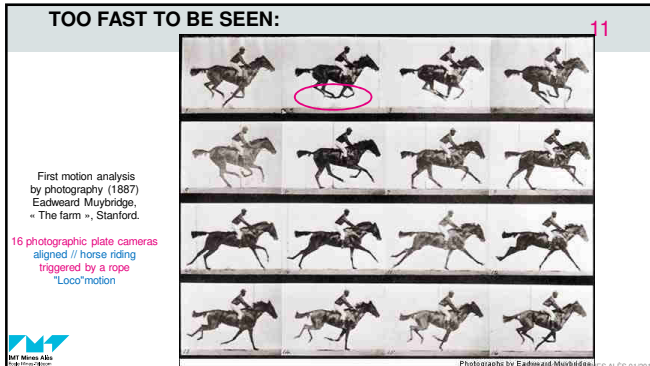
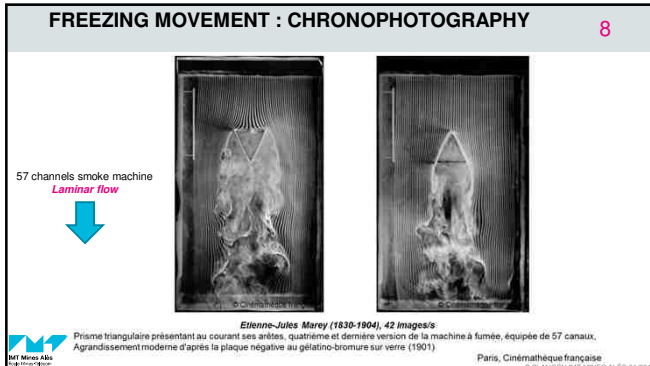
- Présenter aux industriels un état des lieux sur le Terahertz,
- Rassembler la communauté scientifique et industrielle du domaine,
- Découvrir des exemples d'applications Terahertz et les opportunités industrielles correspondantes,
- Réseauter avec des spécialistes de ce domaine émergent.

En partenariat avec



OPTICAL MEASUREMENTS		
Measurement type	Measured quantity	Measurement methods
Direct imaging	Velocity, Size, Shape, Refraction index	PIV / PTV, Shadowgraphy, PILS
Intensity, intensity ratio	Size, Temperature	Extinction/Absorption, LIF, Speckle
Interferometry	Velocity, Size, Refraction index, temperature	Laser Doppler, Phase Doppler (PDA), Speckle, Holography
Time offset	Velocity, Size, Shape	Time of Flight, etc...
Pulse delay	Size, Temperature	Femtosecond laser
Raman diffusion	Temperature, concentration	Raman spectroscopy, Raman Holography





## HIGH SPEED IMAGING 15

- High speed recording frequency, lower speed replay...**  
sometimes called "Slow Mo or MoCap"
- Current range:**  $60 < \text{HSI} < 100\,000 \text{fps}$  and **UHSI up to 200Mfps**
- Main parameters:**
  - Speed fps**: frame per second... linked to exposure time
  - Exposure Time  $T_{\text{exp}}$  (s)**: the shortest... and so high sensitivity
  - High sensitivity S**: big pixels ( $20\text{-}30\mu\text{m}$ )... or **binning** small pixels ( $10\mu\text{m}$ )
  - Resolution  $R_p$** : number of pixels, sometimes downsampled
  - Throughput** (from active image to Memory) **T (pix/s)**: constant by camera
  - Onboard Memory  $M_o$  (GB)**: images storage, linked to architecture

 © IMT Mines Alès - Institut Mines-Télécom Alès

## HSI: W4? 16

Event	Frequency	Duration
Golf Swing	125 fps	1 second
Milk drop	250 fps	200 ms
Eye Blink	500 fps	100 ms
Machine	1000 fps	$\sim 500$ ms
Airbag	5000 fps	30 ms
Welding Spark	15000 fps	5ms
Small Gunshot	50 000 fps	1 ms
Glass Break	250 000 fps	10 $\mu\text{s}$
Hypervelocity	1 000 000 fps	1 $\mu\text{s}$

### HSI RULES

- RULE #1**  
"Don't fry the object!"  
with the light spots
- RULE #2**  
"Freeze the object!"  
with exposure time or flash
- RULE #3**  
 $\text{XX fps} \Leftrightarrow 1/\text{XX's exposure}$
- RULE #4**  
"Heisenberg is always right"

 © IMT Mines Alès - Institut Mines-Télécom Alès

## THE PERFECT IMAGE 17

- Camera optics**
  - Aperture, Focal length
  - Magnification
  - Sharp focus
  - Depth of field
- Working distance**
- Recording time**
  - FIFO Rolling Memory
  - Sharp trigger to avoid
- Trade-off**
  - Long enough to see: "Lux is luxe! ...but Black is Black!" (adjust bit shift)
  - Short enough for fps and blur free (ns or ps flashlight): "Frozen!"
- Shielding Glass, 45° mirror**: "Do NOT reach your (lens) objectives..."

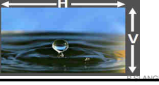
The possibility to launch multiple (up to five) light pulses with freely adjustable delays between the pulses into each image enables the acquisition of quantitative information from each image (track, velocity, acceleration etc.).

Image courtesy: Cimelis © Cimelis Laser + camera burst mode

Rifle bullet with a velocity of 982 m/s. Illumination by two laser pulses (20  $\mu\text{s}$  delay between the pulses).

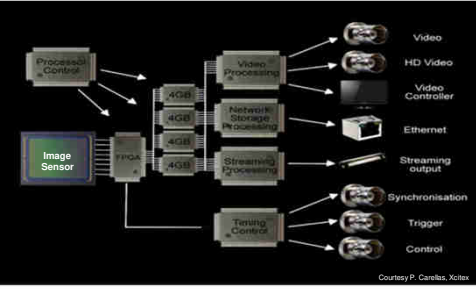
 © IMT Mines Alès - Institut Mines-Télécom Alès

## MAIN PARAMETERS 18

- Pixel blur B (pix)**
  - $B = V_p \times T_{\text{exp}} \times (N_p / \text{ROI}) = V_p \times T_{\text{exp}} / M \Rightarrow \text{Blur free } B \leq 1: T_{\text{Exp}} = M / V_p$
  - Appli:  $V_p = 1\text{cm/s}, T_{\text{exp}} = 33\text{ms}$ , 640 pixels for ROI=10cm,  $B=2,1\text{pix}$
- 
- 
- Throughput (pix/s or MB/s)**
  - $H \times V \times \text{FPS} = \text{Gpx/sec} = \text{Camera C}^t$  (pixel weight 8, 10, 12 bits)
    - 1920x1080 @ 30 fps = 0.062 Gpx/s
    - 1920x1080 @ 2000 fps = 4.2 Gpx/s
    - 1920x1080 @ 12500 fps = 25.9 Gpx/s
- 

 © IMT Mines Alès - Institut Mines-Télécom Alès

## ANATOMY OF HI SPEED CAMERA 19

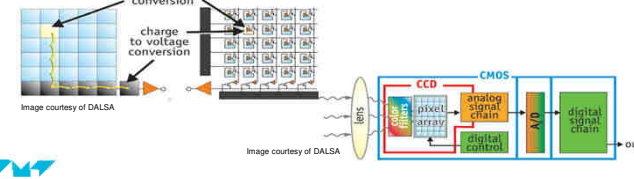


Courtesy P. Carlier, Xitek

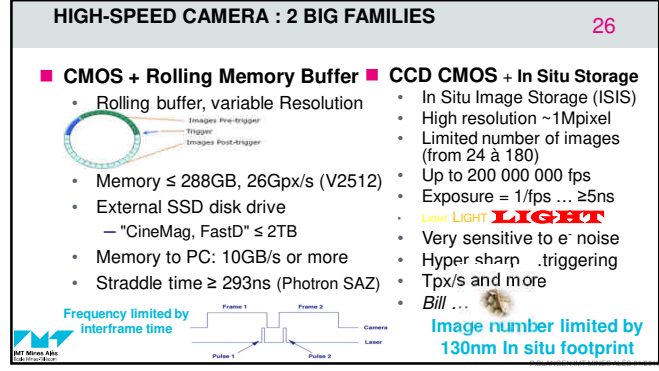
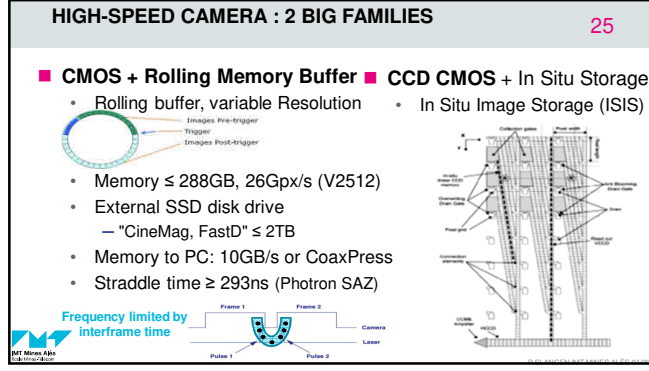
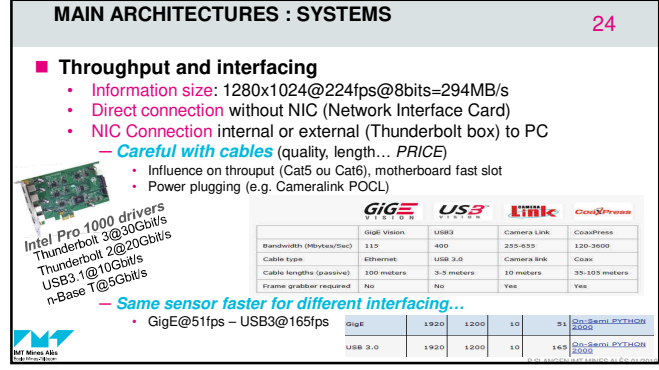
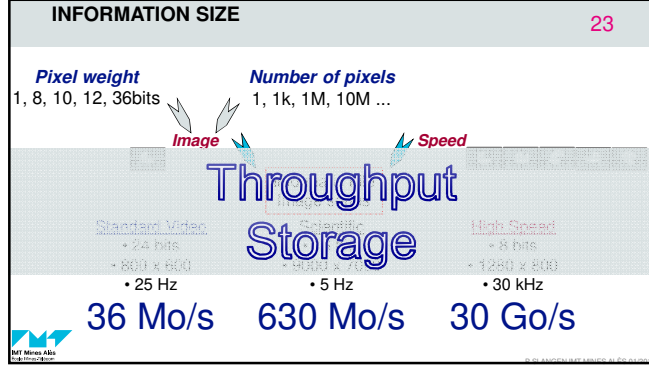
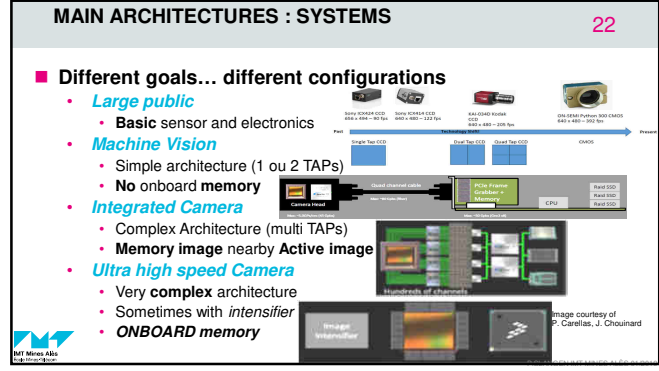
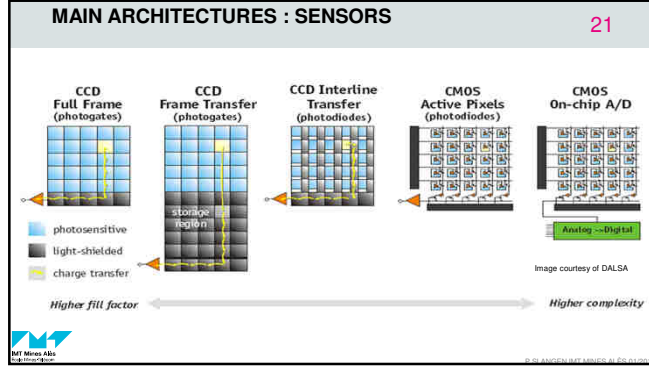
 © IMT Mines Alès - Institut Mines-Télécom Alès

## MAIN ARCHITECTURES : SENSORS 20

- Photoelectric effect : Electric charge generation from photon**
  - CCD**: Transport then charge to conversion on dedicated site
  - CMOS**: Charge to voltage conversion on creation site



 © IMT Mines Alès - Institut Mines-Télécom Alès



**THE PERFECT CAMERA**

27

**Optical mount**

- Nikon, Canon, C mount, *focus remote control*

**Memory Triggering and Throughput**

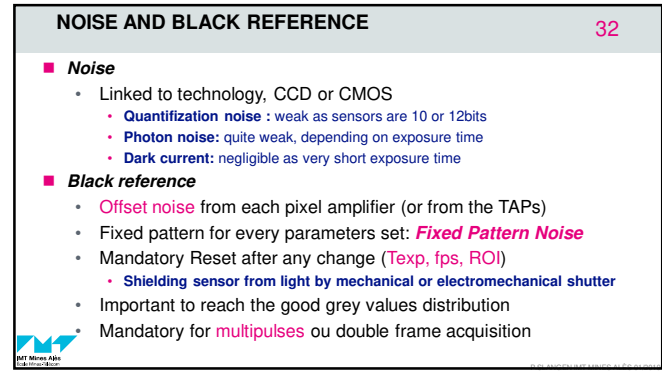
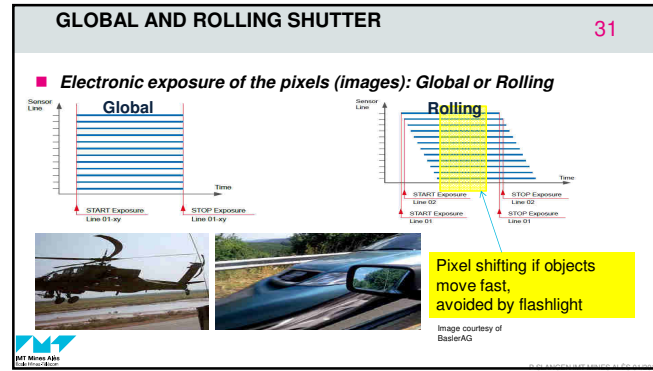
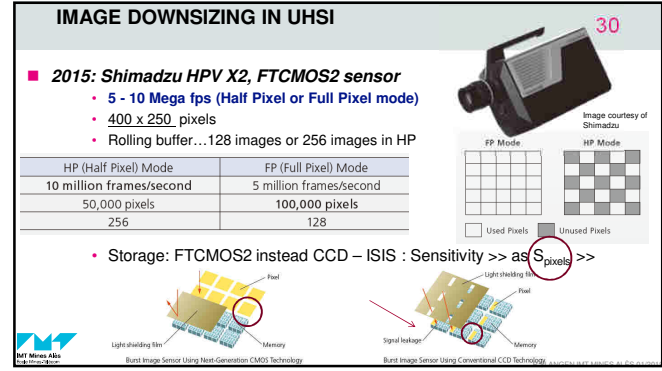
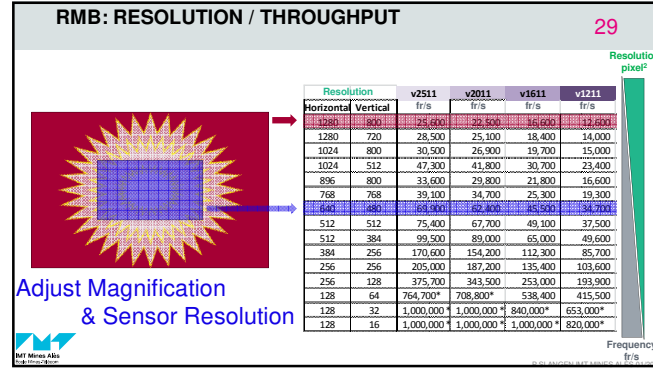
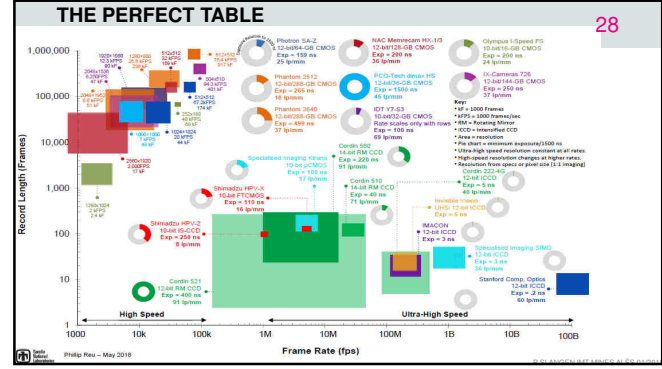
- In Situ Image Storage : up to **240 images...but Mips**
- FIFO Rolling Memory: up to **288GB... but 26kfps**
- Long time recording: High throughput to **distant SSD disc (CoaXPress)**

**Exposure time**

- From **5ns ISIS** to **195ns FIFO Memory**... with "FAST" Option (+5k€!!!)
- Sensitivity...choose your ref e.g. **EMVA** (up to 100 000 ISO 12232 SAT mono)
- Pixel size from 7µm up to 30µm** (the wider the more sensitive: **BINNING**)

**Drag&Drop, Shock & Harsh, Weight and Size, Battery-powered**





### FPN COMPENSATION

33

Raw image  
22 R<sup>+</sup>  
FPN compensation circuitry  
24 R<sup>+</sup>  
Corrected image  
Image Courtesy P. Carellas

IMT Mines Alès

### DYNAMICS ...

34

- **Extreme dynamic (EDR, double slope)**
  - Adjust sensitivity of saturation levels
  - Saturation level evolve image by image by adjusting gain locally
  - Desaturation of superexposed zones
    - + Extension of image dynamic
    - Defects on local grey levels
      - Correlation (DIC, PIV)
      - Tracking (PTV)
- **Display Dynamic**
  - Coding on 10-12 bits... Just 8bits display
  - Bit Shift: display hi or low bits
  - Can be set before acquisition

Output  
Input  
Dark areas  
Bright areas

IMT Mines Alès

### DISPLAY DYNAMIC

35

BitShift = 4  
BitShift = 2

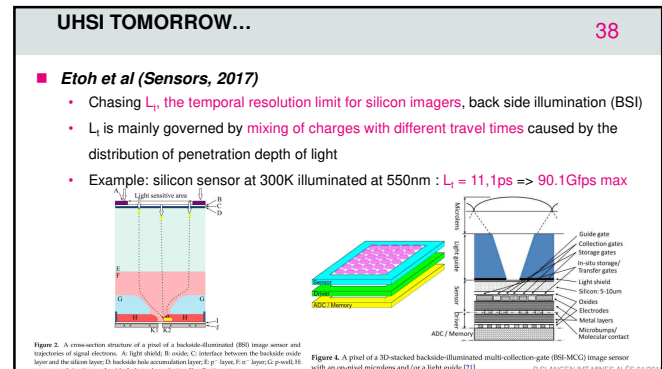
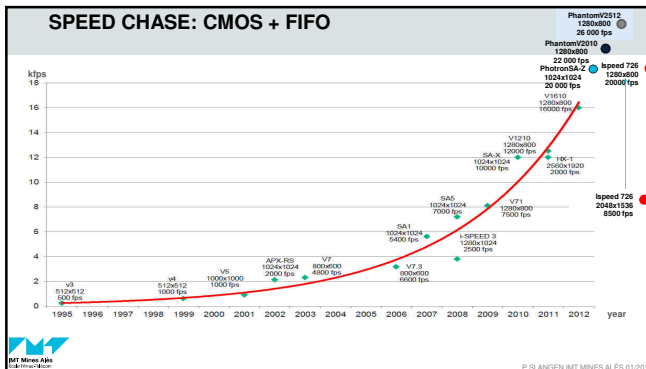
IMT Mines Alès

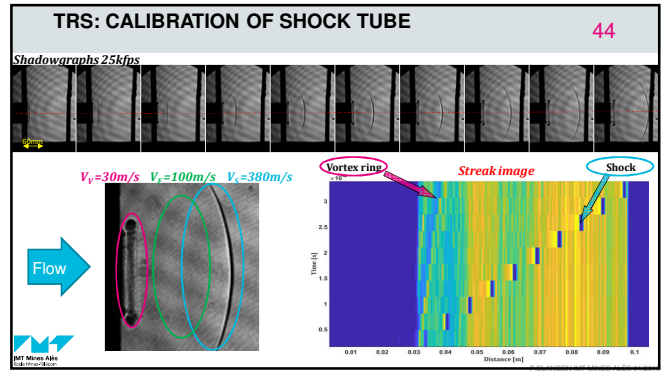
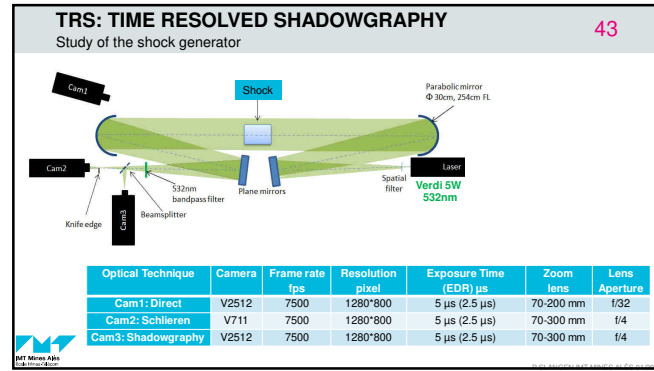
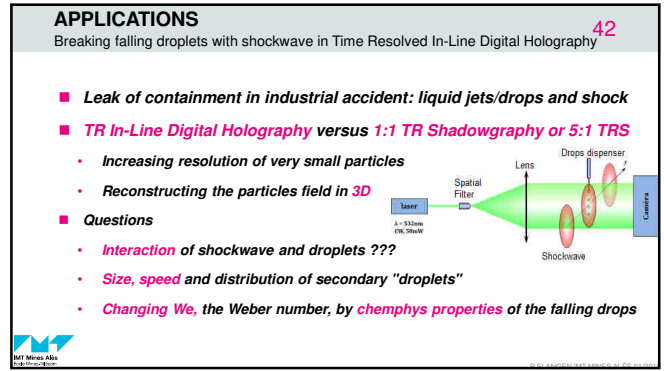
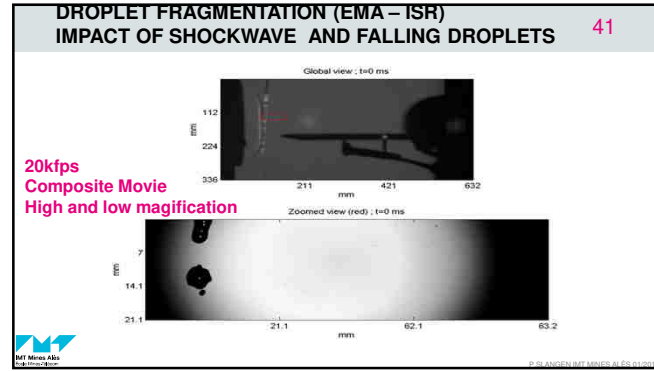
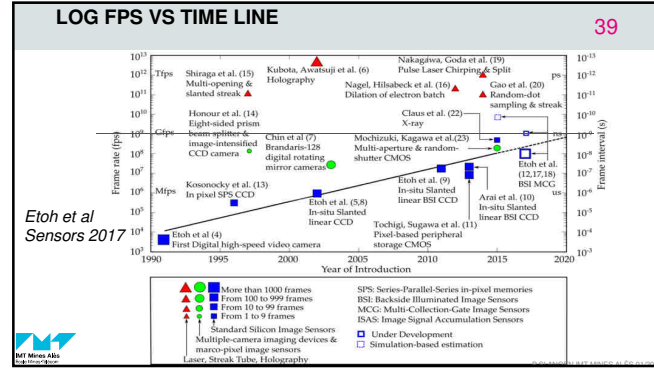
### FORMATTING AND SAVING...

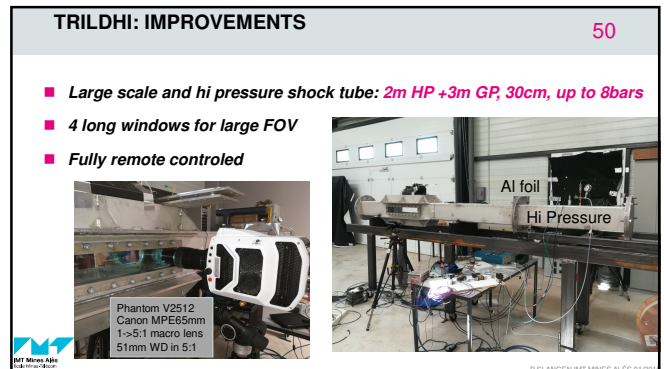
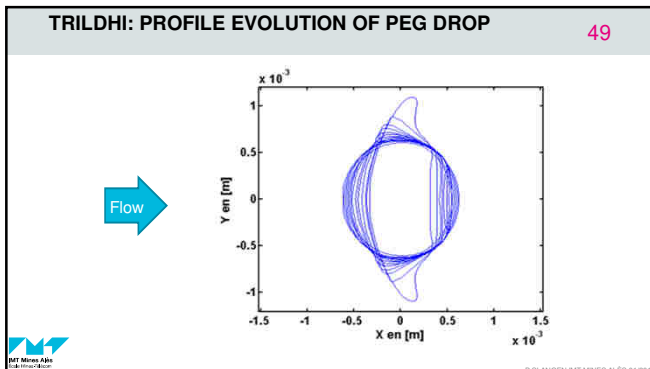
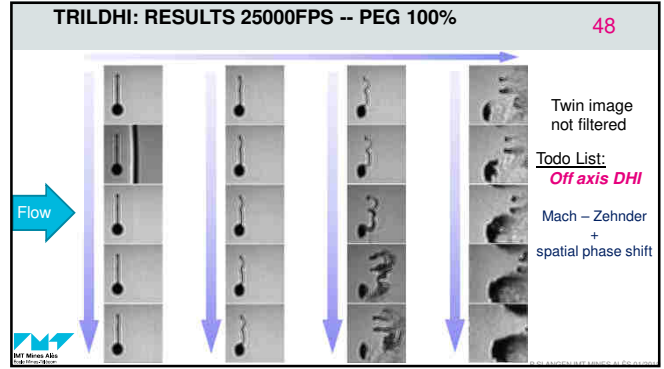
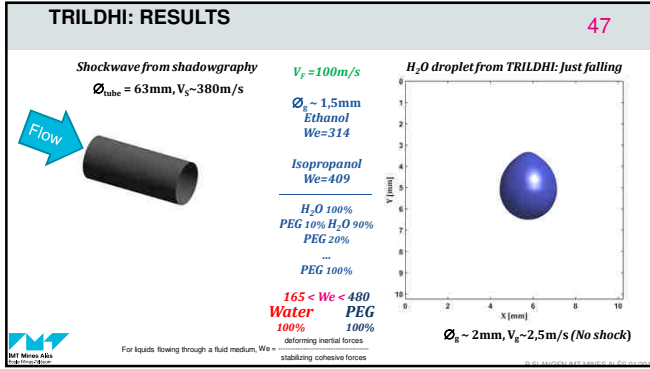
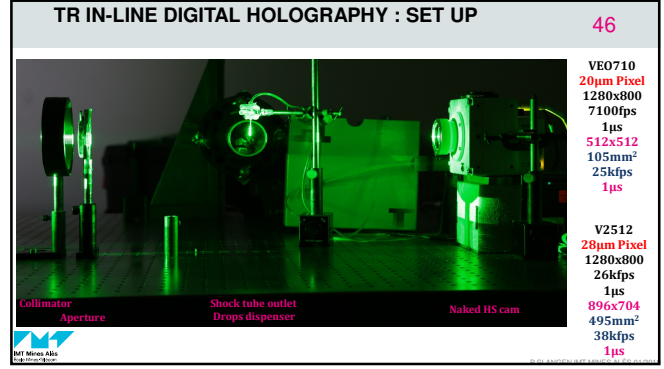
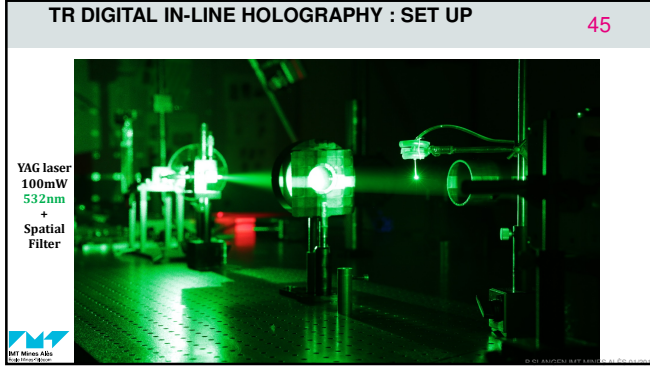
36

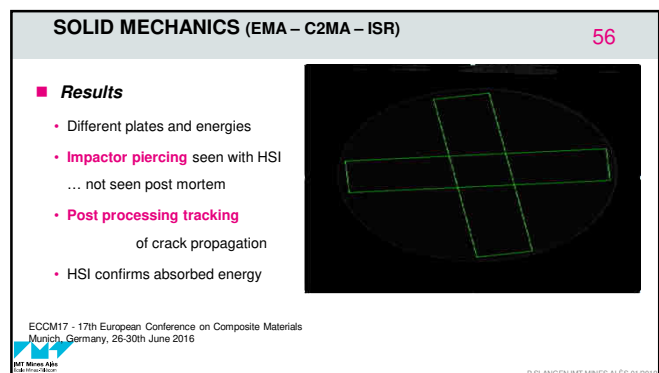
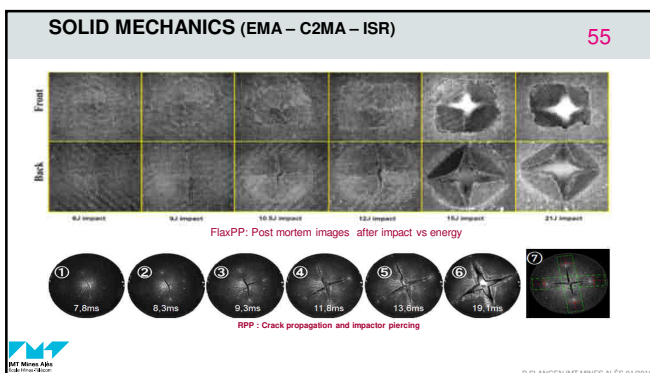
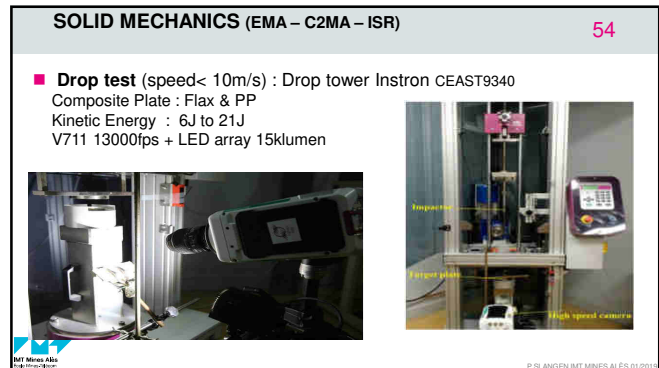
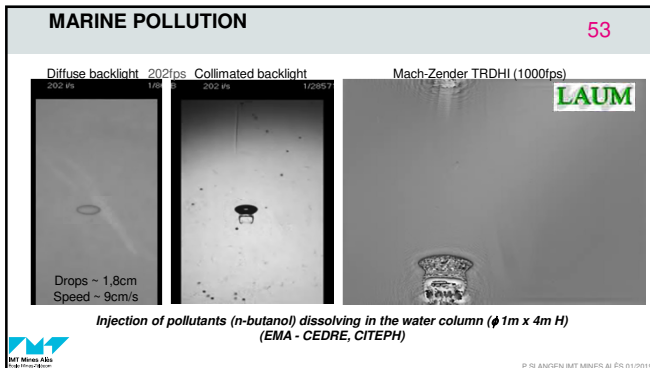
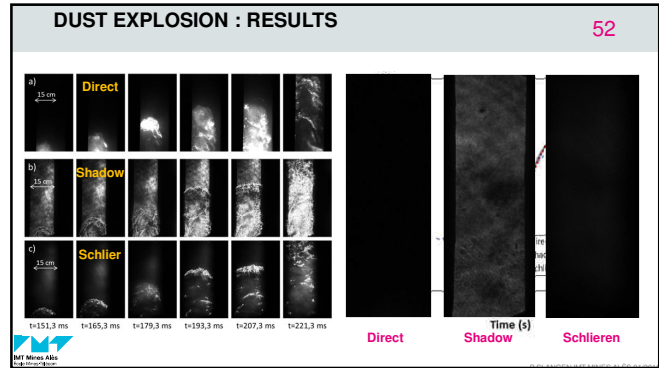
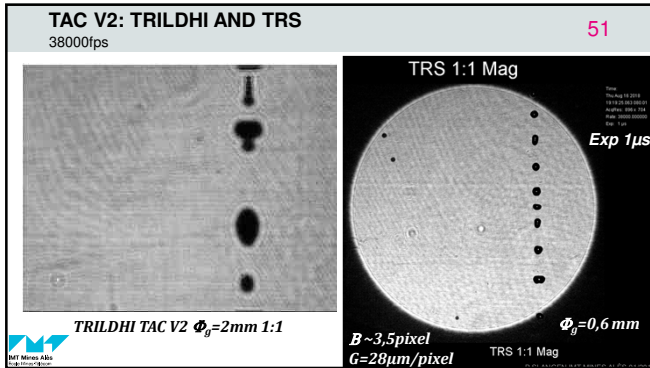
- **Formats**
  - Proprietary Formats : "No loss Compression" (RAW) 😊
  - Linked to a posteriori processing (careful bitshift)
- **Single Images formats**
  - DIC, PIV, PTV, DH: mainly RAW and TIFF, or specific format but ... no JPG 😊
  - Display, Internet, ppt: JPG, PNG
- **Films**
  - DIC, PIV, PTV, DH: mainly RAW or AVI and no compression 😊
  - Display, Internet, ppt: mp4, H264 (but Quicktime required)
- **Saving and storage volume**
  - Reduce image size (CROP or resample size and bits)
  - Reduce recording frequency (image steps)
    - Movie recorded at 25000fps played at 25Hz = 1000x slower*
  - Mainly SSD HD, copy on distant server (>10TB)

IMT Mines Alès









AND NOW...

IMT Mines Alès  
École Mines-Télécom

HIGH-SPEED CAMERA : EXAMPLES AND WISHES 60

**Kinsta uCMOS**, 30µm  
2Mfps, 180 images, 924x788pixels  
416x223x192mm, 10.5kg

**Phantom V2512 CMOS**, 28µm  
26Mfps, 2880x1280pixels...  
273x190x170mm, 7.7kg

**AVT Pike**, CCD, 7.4µm  
202fps, 0.1ms, 640x480pixels  
96.6x44x44mm, 250g

■ Need Color ??? ■ Need Speed/Res ??? ■ Need More SRC

- Bayer filtering or 3cam
- Hyper spectral cams
- Flex4K: global shutter...
- Camera arrays
- Smaller pixels
- Hybrid sensors

Elves at work

CONCLUSIONS AND FUTURE DEVELOPMENTS 61

Rules #1, 2, 3, 4 : "Don't fry, just freeze, in 5ns for 200Mfps..."

Increased Speed@constant Resolution: Asynchronous HSI cameras

Timer Box + Interface + PC + SSD disk + Cloud

Increased Resolution@constant Speed: Plenoptic HSI cam array

Increased Color@constant Speed: Common path filter HSI cams

Check your Pixel size and Throughput... as  $2 \times 14\mu\text{m} = 28\mu\text{m}$  !!

HSI is everywhere...even in the smartphones with EXMOR stacked CMOS

HSI + Questions= Friends@11Gfps

IMT Mines Alès  
École Mines-Télécom

THANK YOU

SPECIAL THANKS

P. Carellas, Xitek USA  
M. Hargather, NewMexicoTech USA  
N. Long, Trinoma F  
M. Ortileb, Shimadzu D  
P. Reu, Sandia Lab USA  
a.m.o. ...

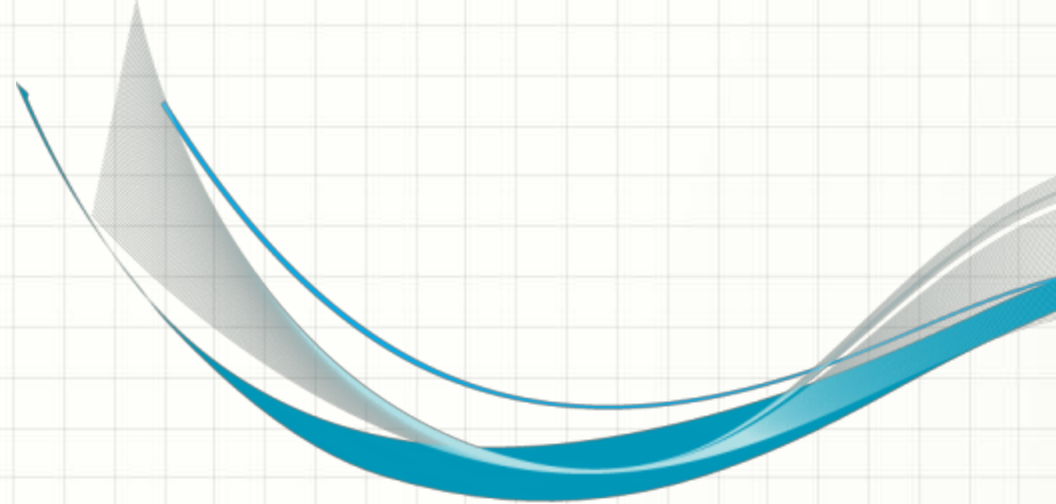
1 SECOND @ 3600FPS RECORDING = 1 HOUR @ 1FPS PLAYING

# SCANNING THERMAL MICROSCOPY

J.-L. Battaglia, A. Kusiak, A. Sommier, C. Pradère  
A. Saci (PostDoc), I. De (PhD)

I2M Lab., UMR 5295  
University of Bordeaux  
29/01/2019

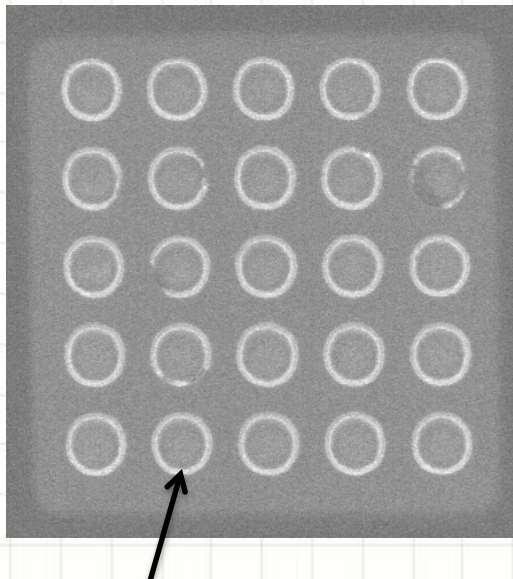




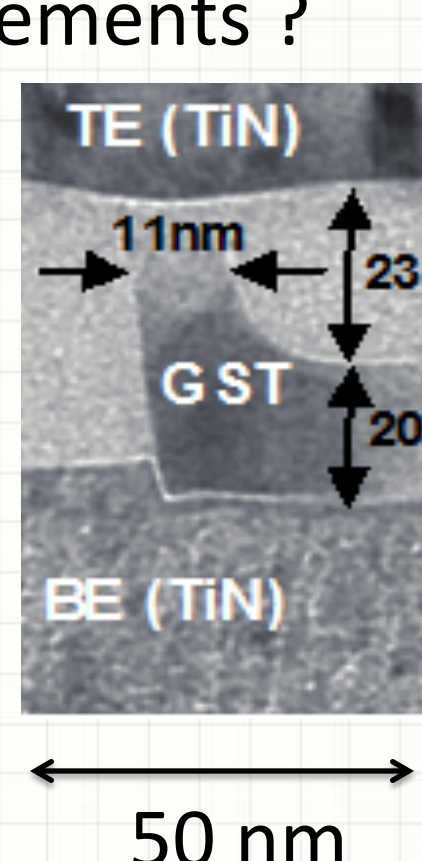
# Applications

# Application Objectives 1/3

Electronic devices: what is the thermal boundary resistance between constitutive elements ?

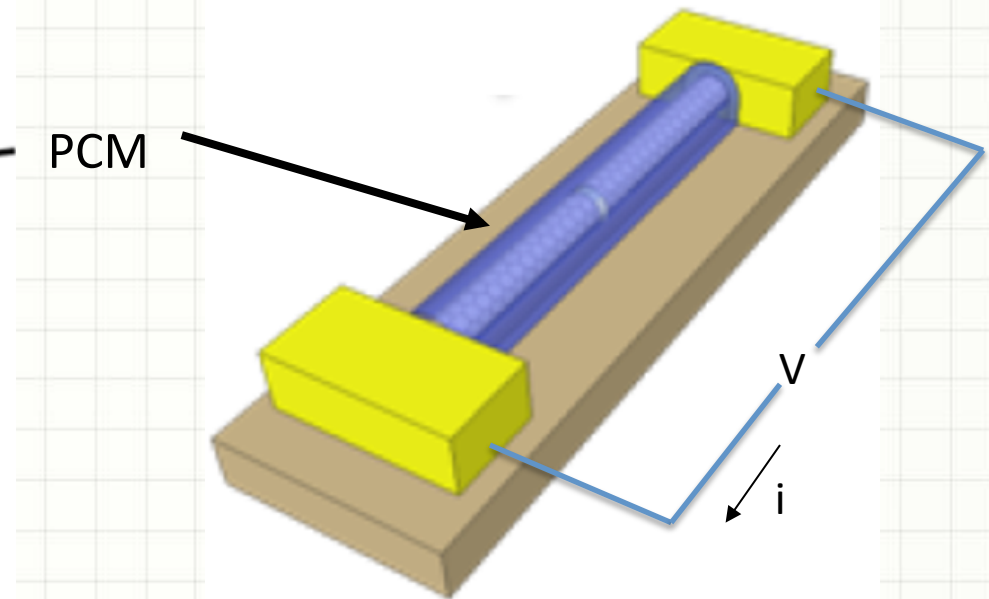
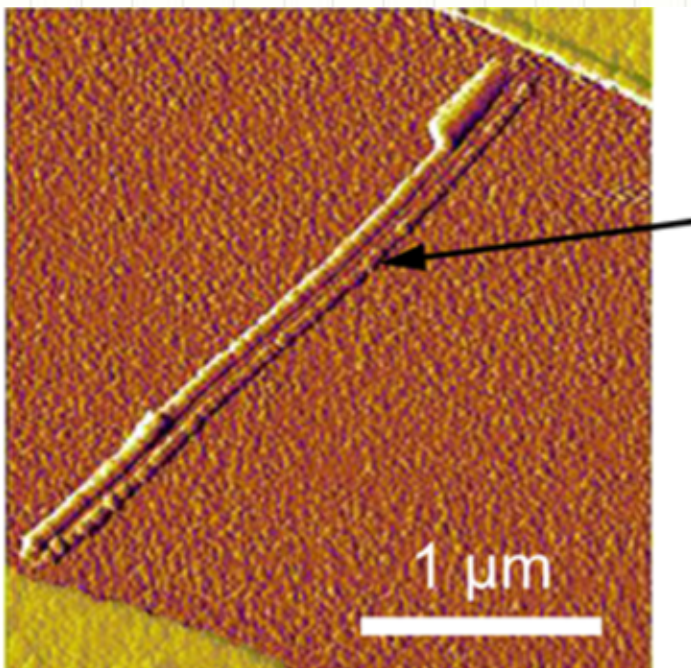


Cell diameter: 100 nm



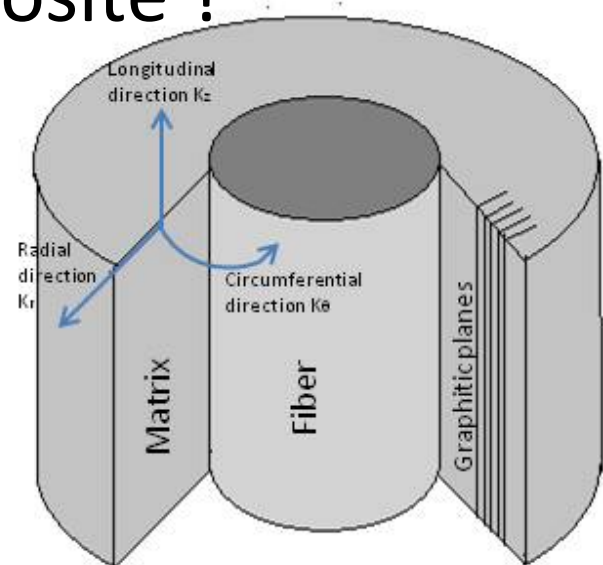
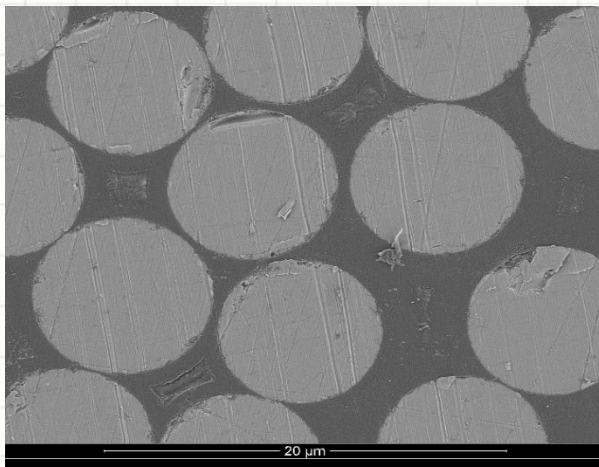
# Application Objectives 2/3

Thermal conductivity of another new and more advanced PCM device based on nanowire, 100 nm diameter

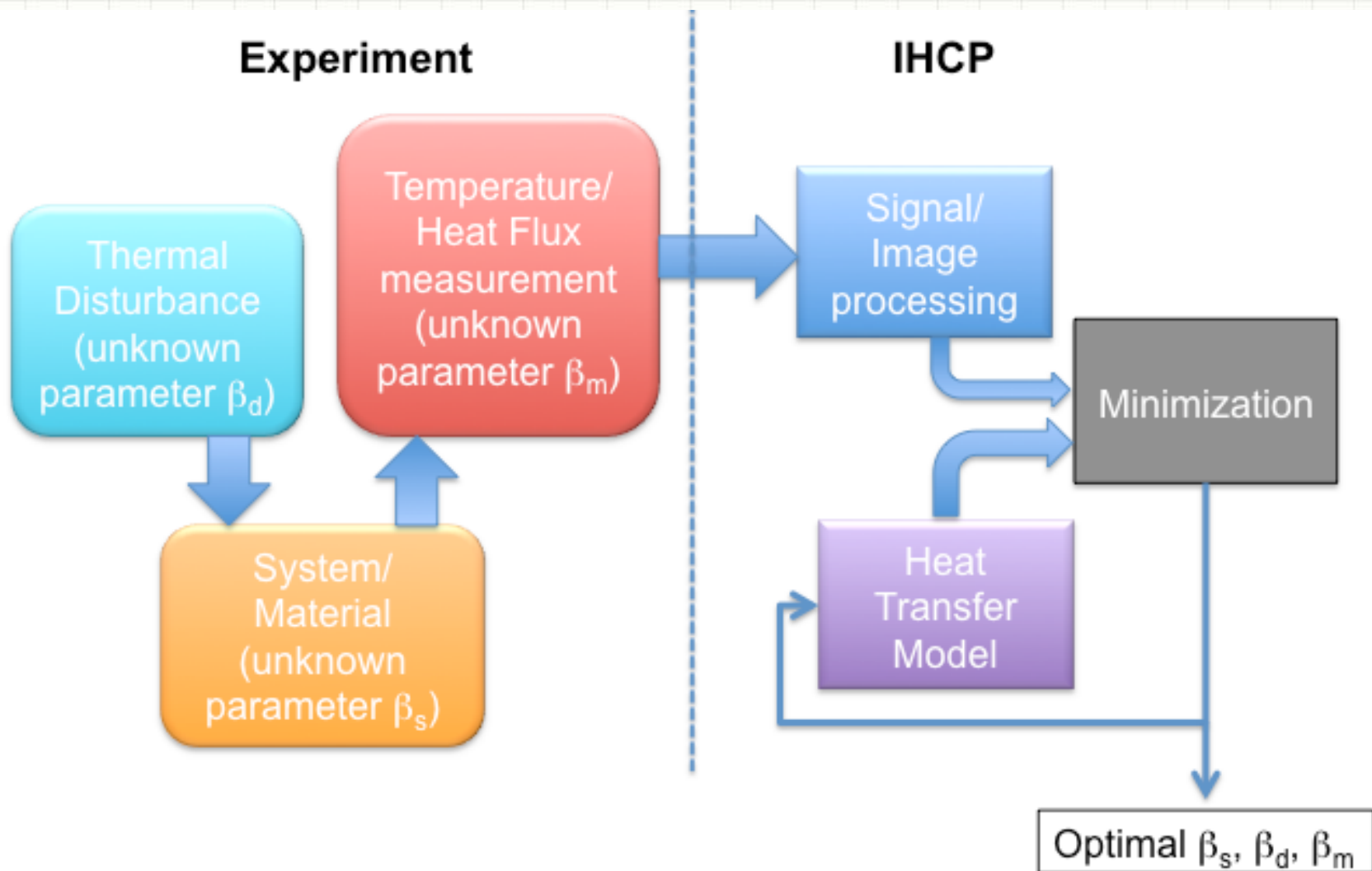


# Application Objectives 3/3

Modern Composite Structure with Carbon Matrix and Silicon Fiber: What is the thermal boundary resistance between the fiber (diameter 10 $\mu\text{m}$ ) and the matrix of a complex pyrocarbon composite ?



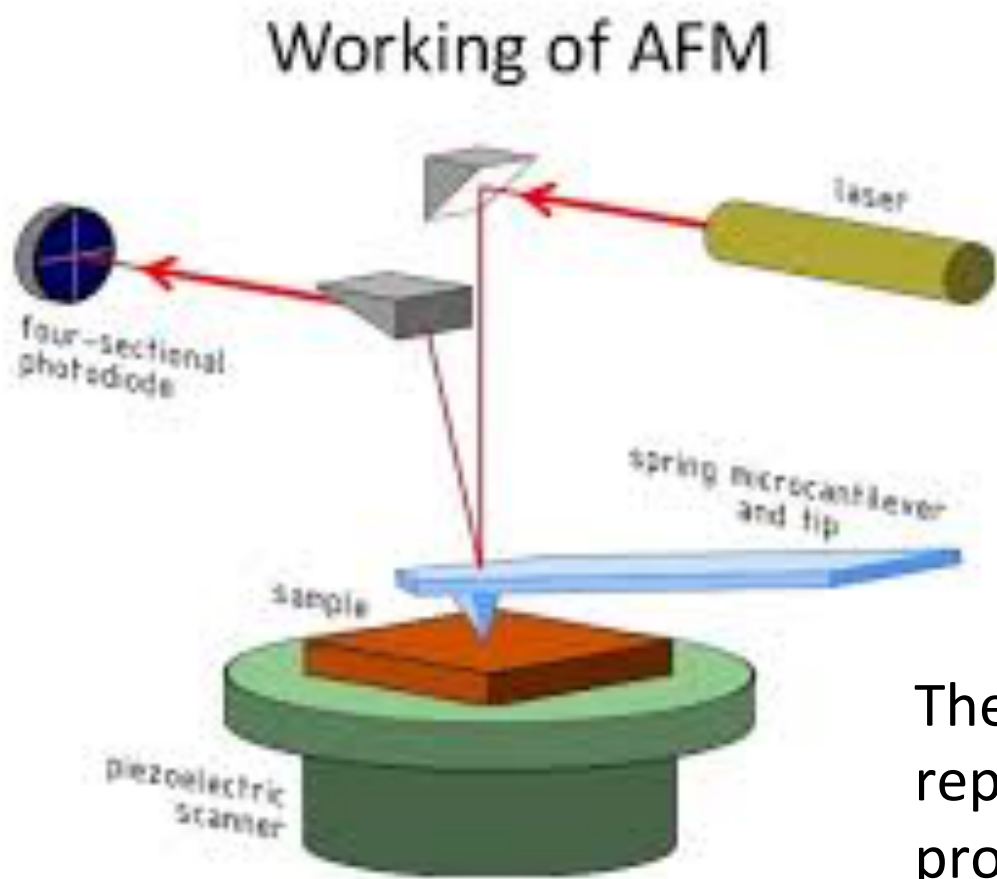
# Thermal Characterization Principle



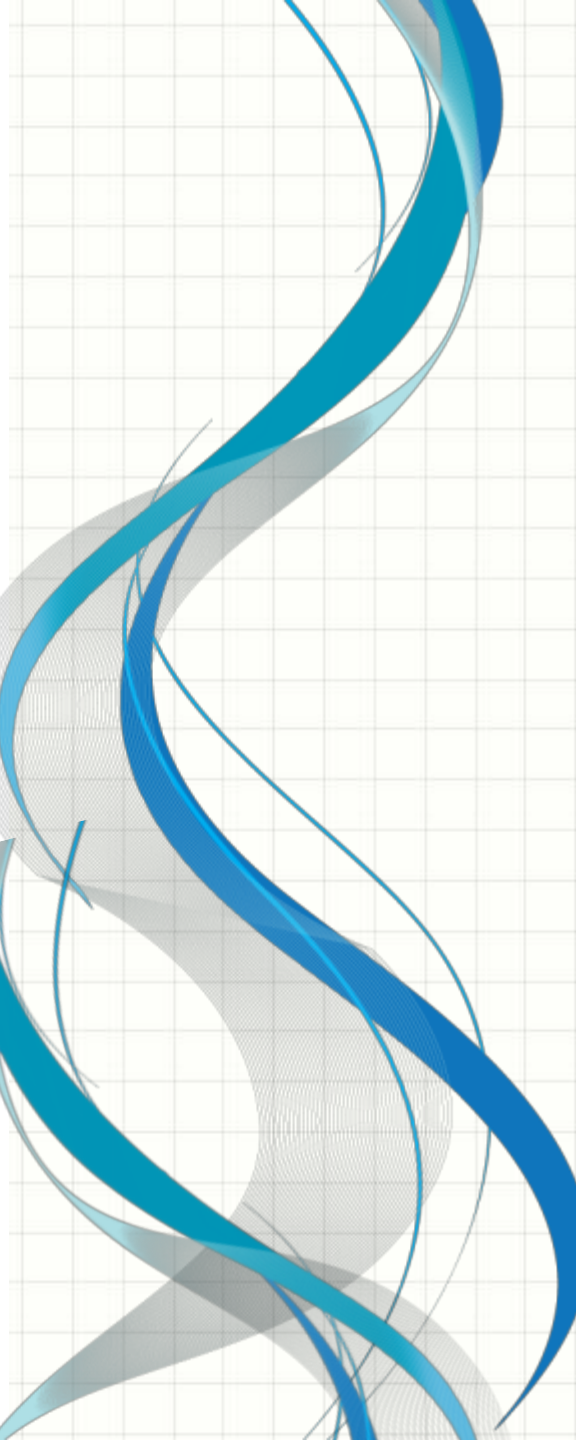


# **Suited Experiment: The Scanning Thermal Microscopy (SThM)**

# Scanning Thermal Microscopy (SThM) is based on AFM

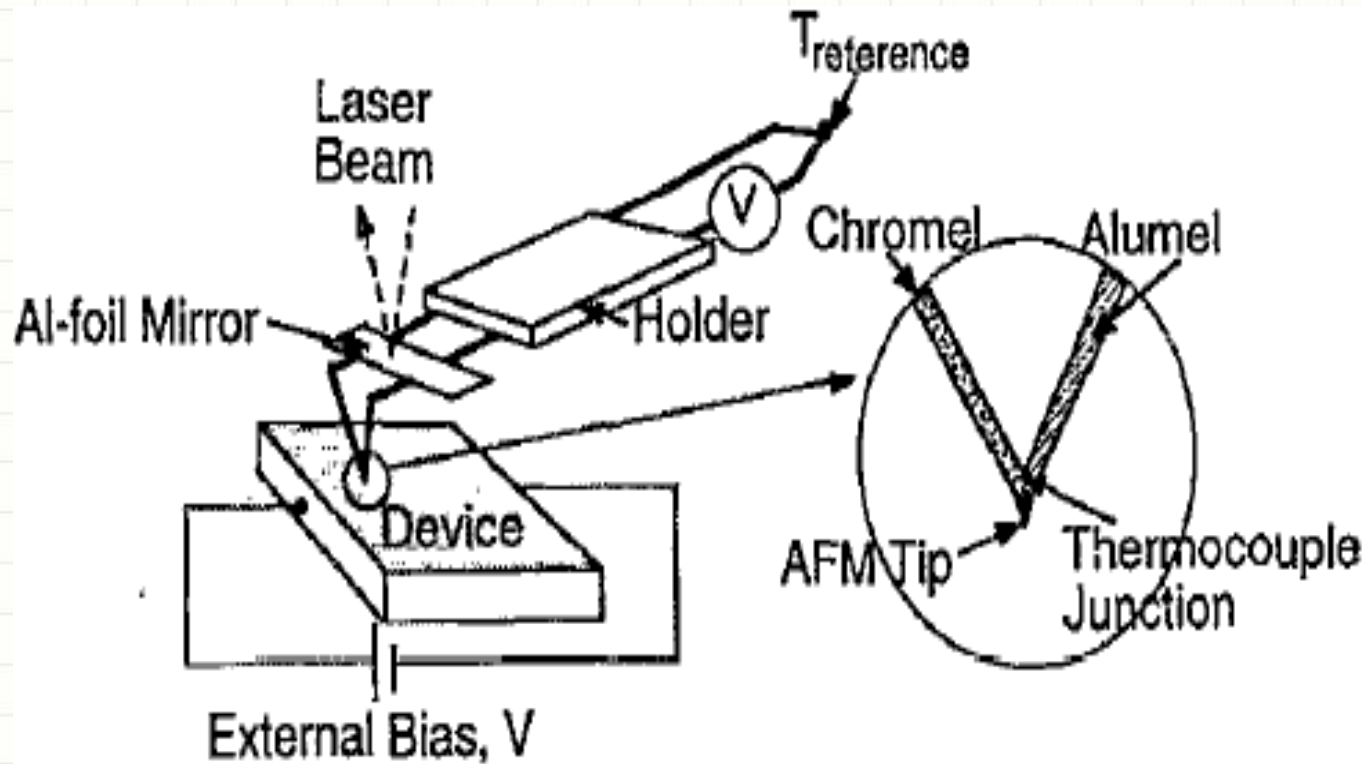


The AFM probe is replaced by a thermal probe

A decorative graphic in the bottom-left corner consists of several overlapping, flowing lines in shades of blue and grey, resembling stylized ribbons or waves.

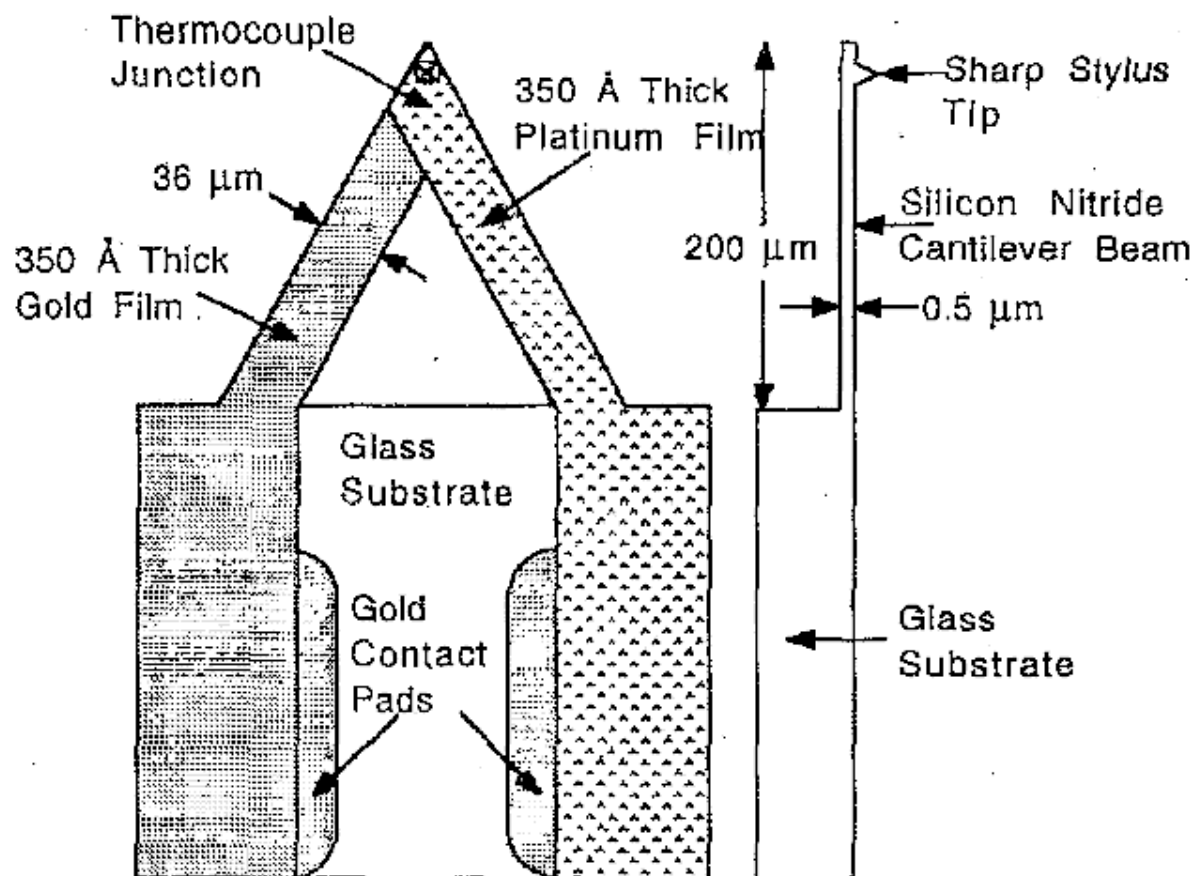
# Passive mode: measuring the surface temperature

# Thermocouple probe 1/4



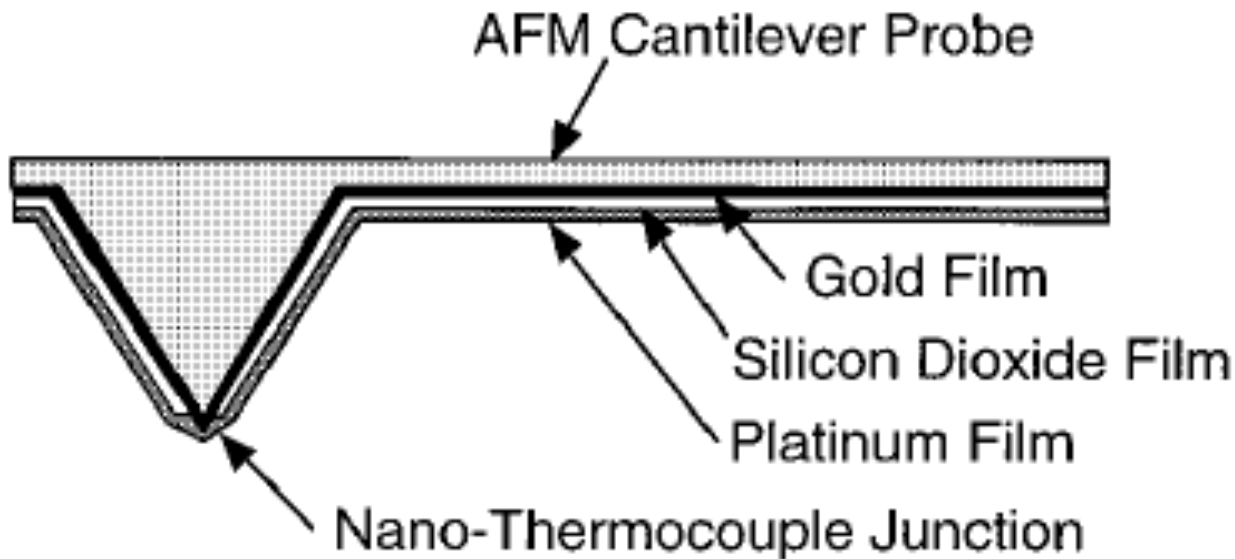
Thermocouple Probe developed by A. Majumdar in 1993 based on a K-type thermocouple

# Thermocouple probe 2/4



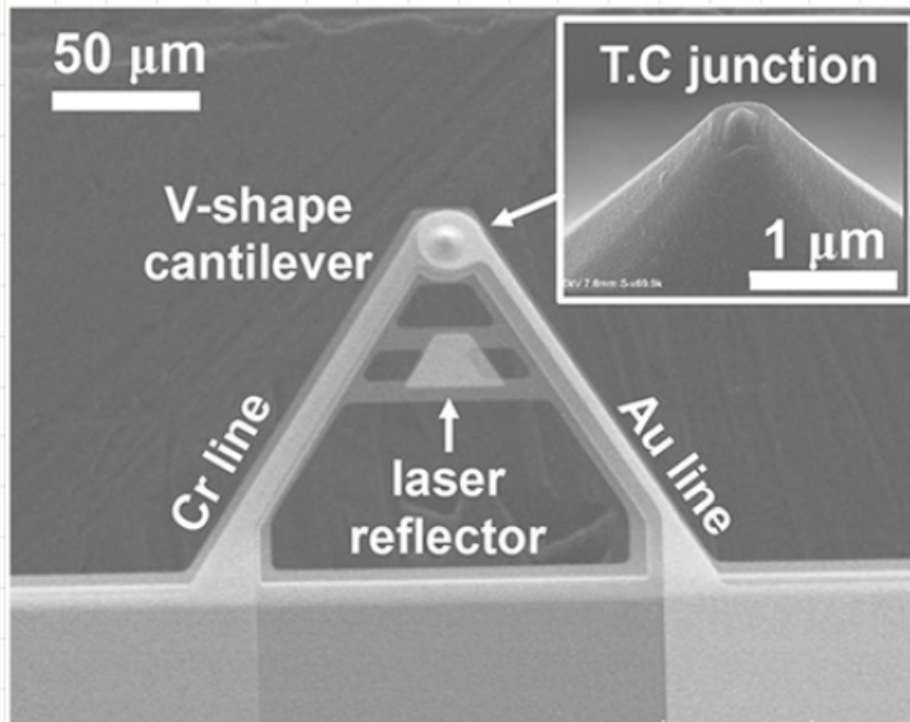
The Diamond tip Thermocouple Probe Introduced by  
A. Majumdar in 1995

# Thermocouple probe 3/4

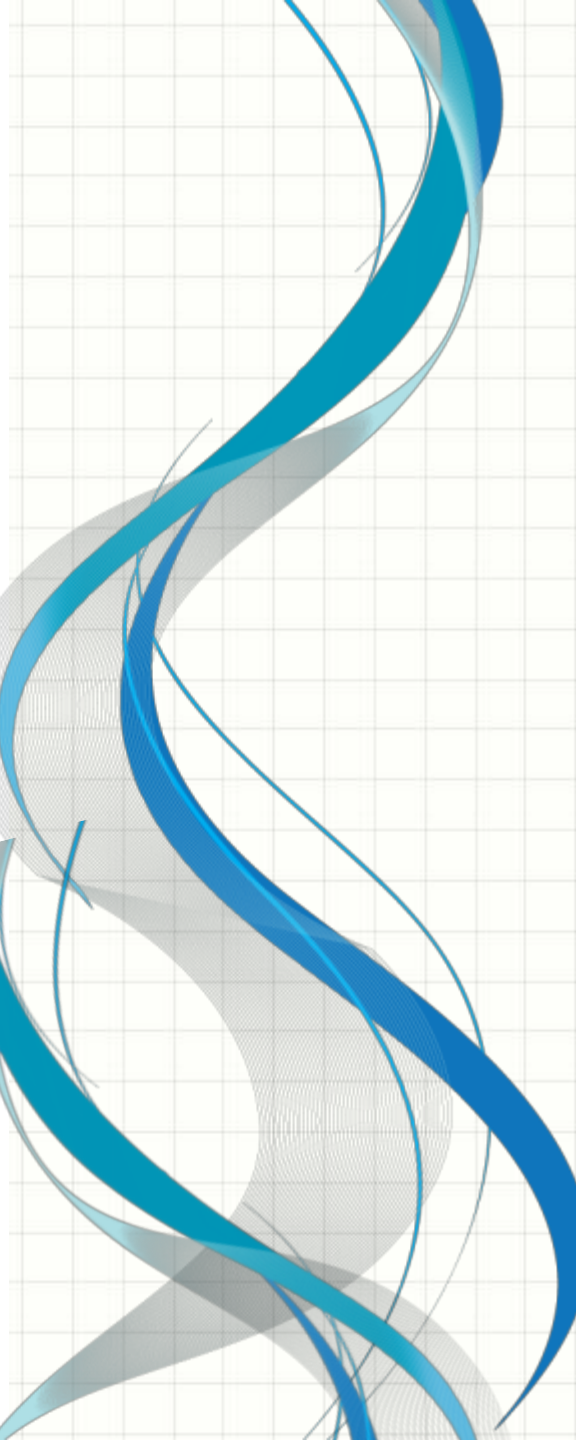


Thermocouple Probe tip demonstrated by K. Luo in 1996

# Thermocouple probe 4/4

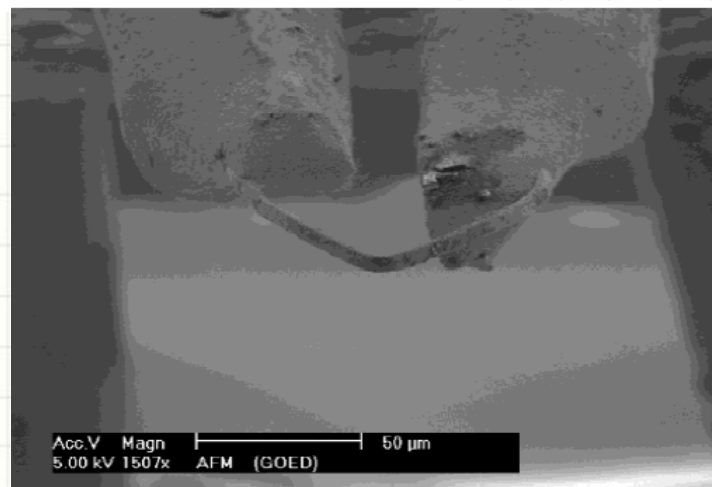
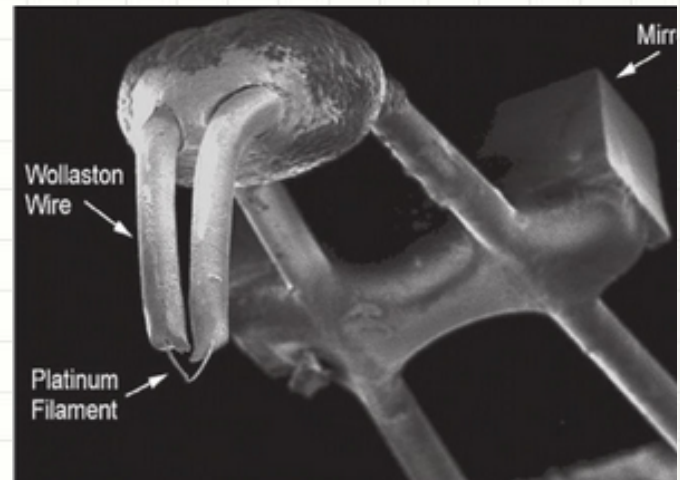
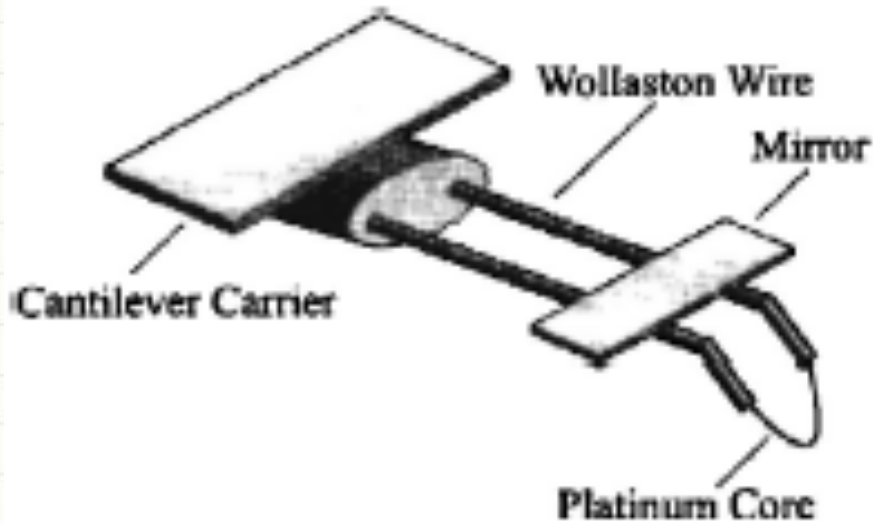


Thermocouple probe demonstrated by K. Kim et al. in 2014

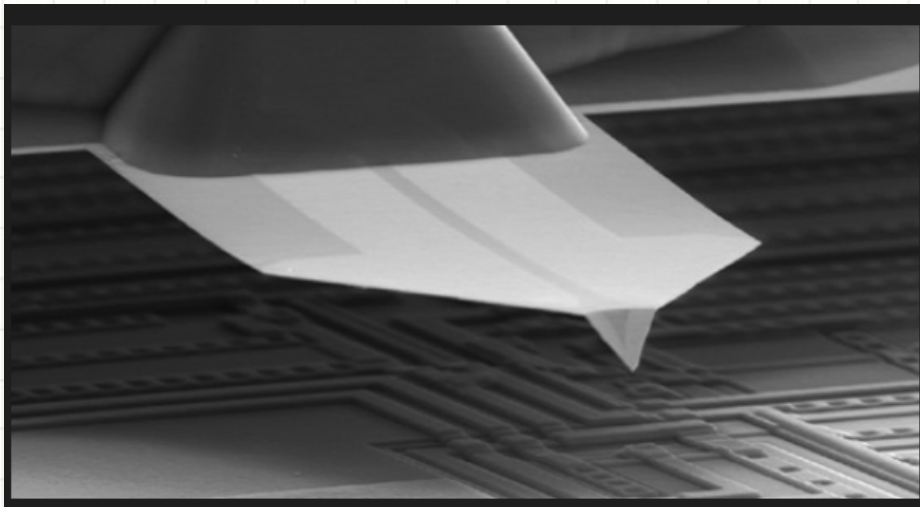
A decorative graphic in the bottom-left corner consists of several thick, flowing lines in shades of blue and grey, set against a light grey grid background.

Active mode: heating  
the probe and  
measuring the  
surface temperature  
→Measuring thermal  
properties

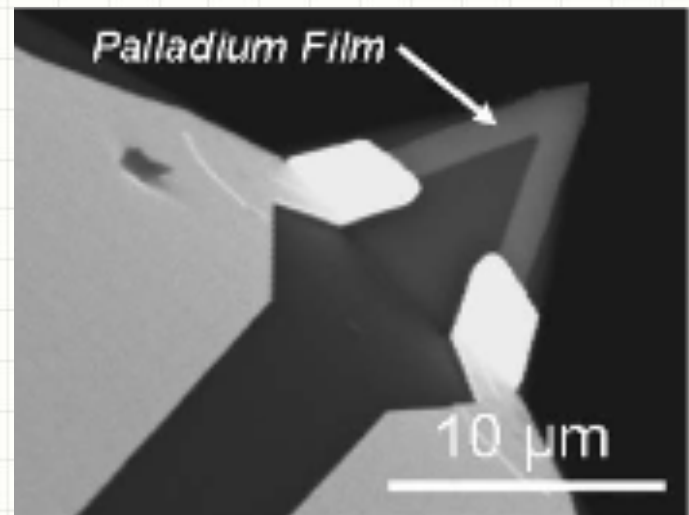
# Thermoresistive Probes 1/4



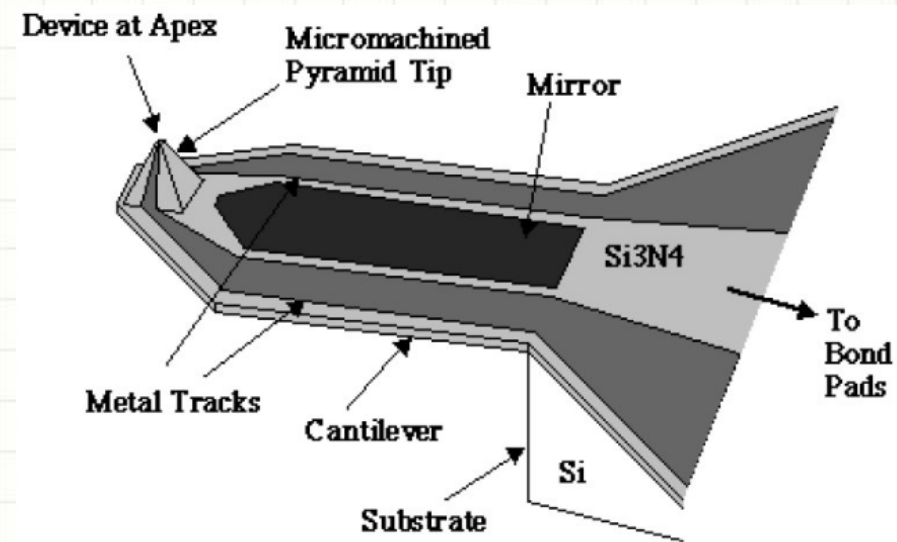
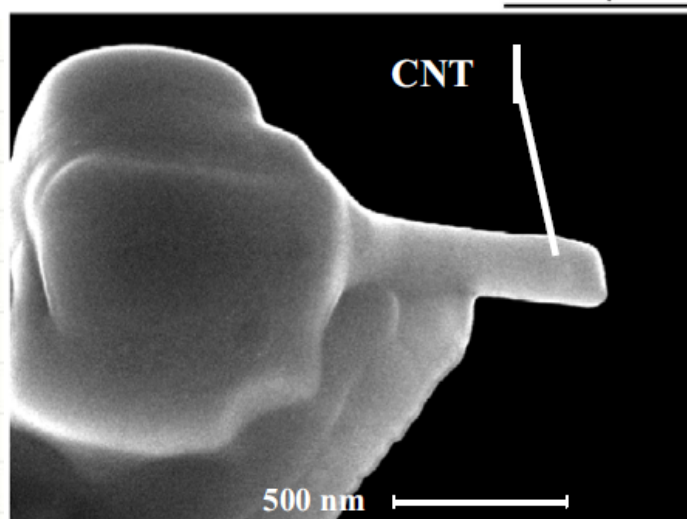
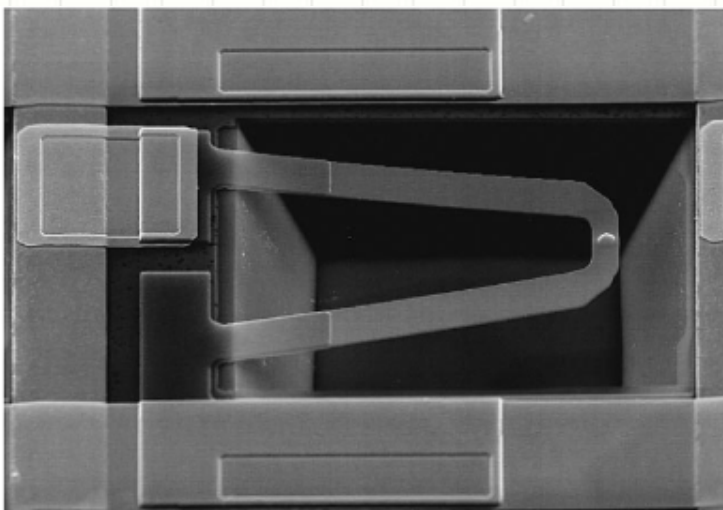
# Thermoresistive Probes 2/4



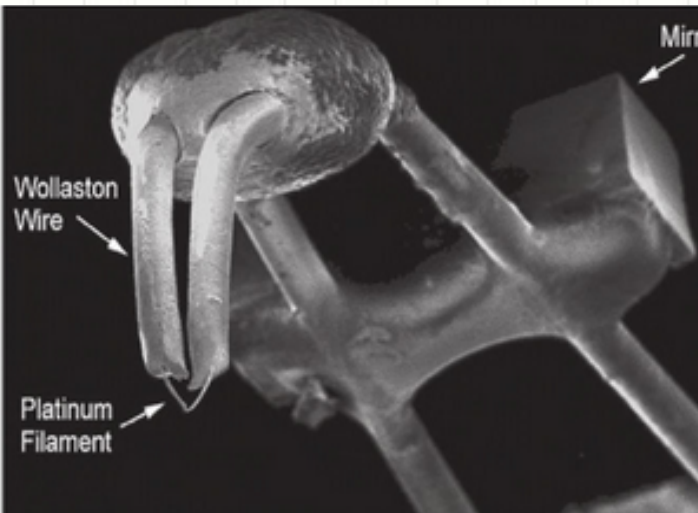
Micro-fabricated probes



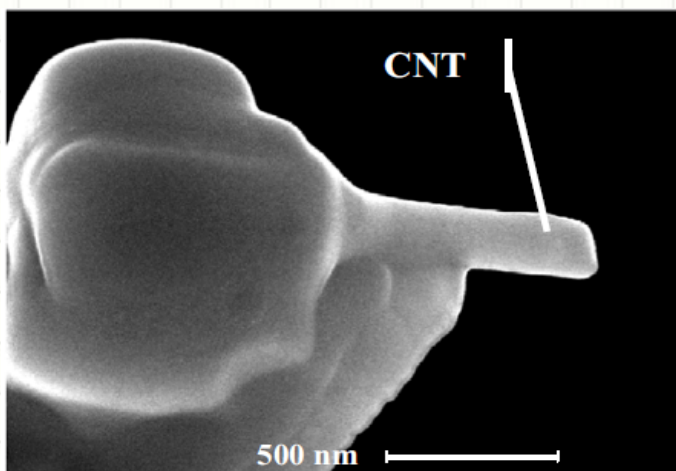
# Thermoresistive Probes 3/4



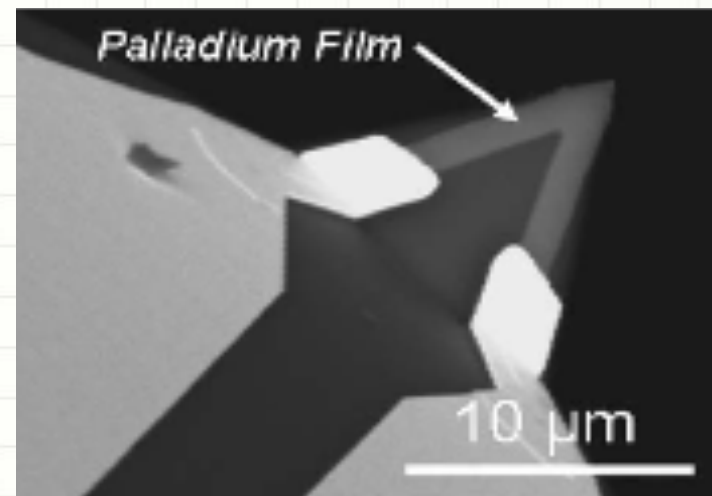
# Thermoresistive Probes 4/4



5  $\mu\text{m}$



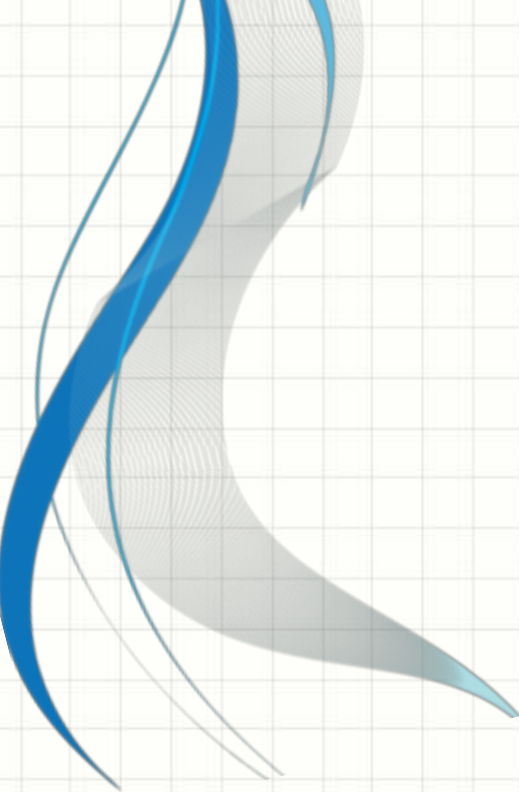
0.01  $\mu\text{m}$



0.1  $\mu\text{m}$

# Type of Probe Used

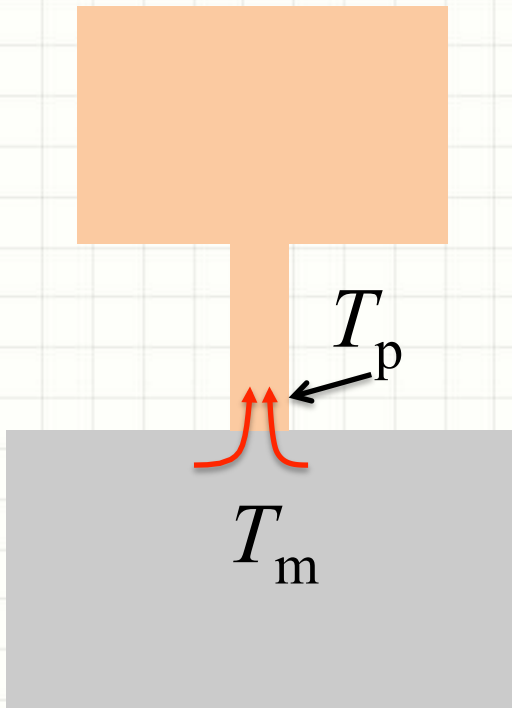
Probe Type	Thermocouple	Thermoresistive	Bimetallic	Fluorescent
Thermal sensor	Chromel-alumel ThC Au-Cr ThC Pt-Cr THc	Pt thermoresistor Pd thermoresistor Si thermoresistor	Al/Si bimetal	Er/Yb co-doped fluoride glass
Temperature change measurement principle	Electrical (Seebeck effect)	Electrical (resistance)	Frequency change	Optical
Mode	Passive	Passive & Active	Passive	Passive
Tip size	Usually < 50 nm	100 nm – 5 µm	<20 nm	200 nm
Spatial resolution	Even below 20 nm	About 100 nm	Unknown	< 1 µm
Durability	Medium	High	Unknown	Unknown



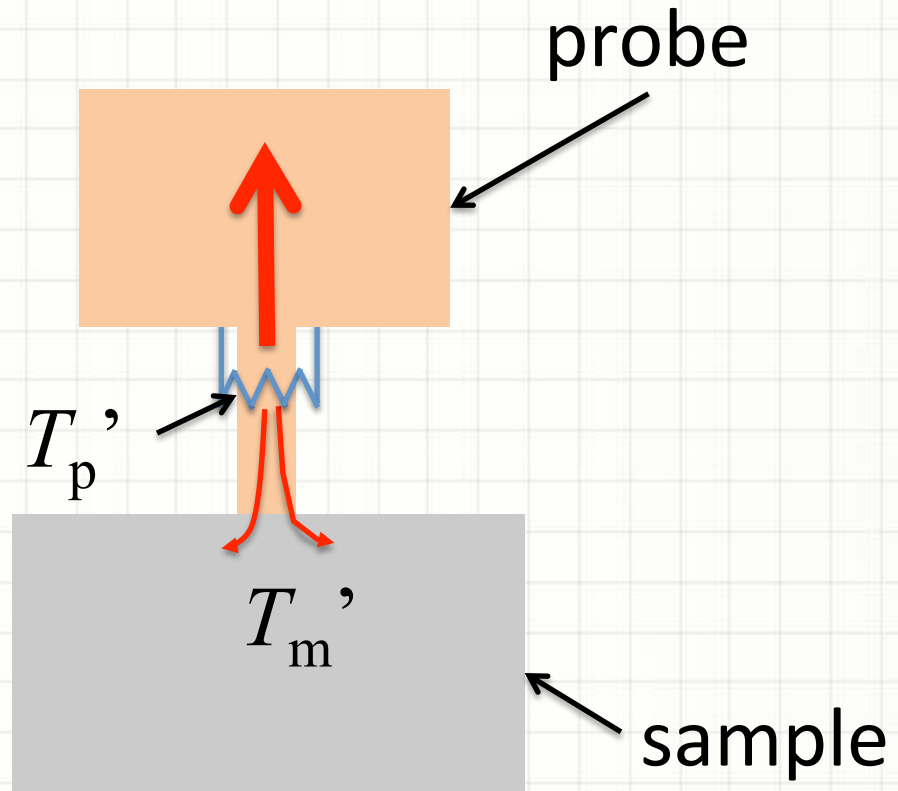
# Heat transfer between probe and sample

# Physical Phenomena at the interface

## 1/2



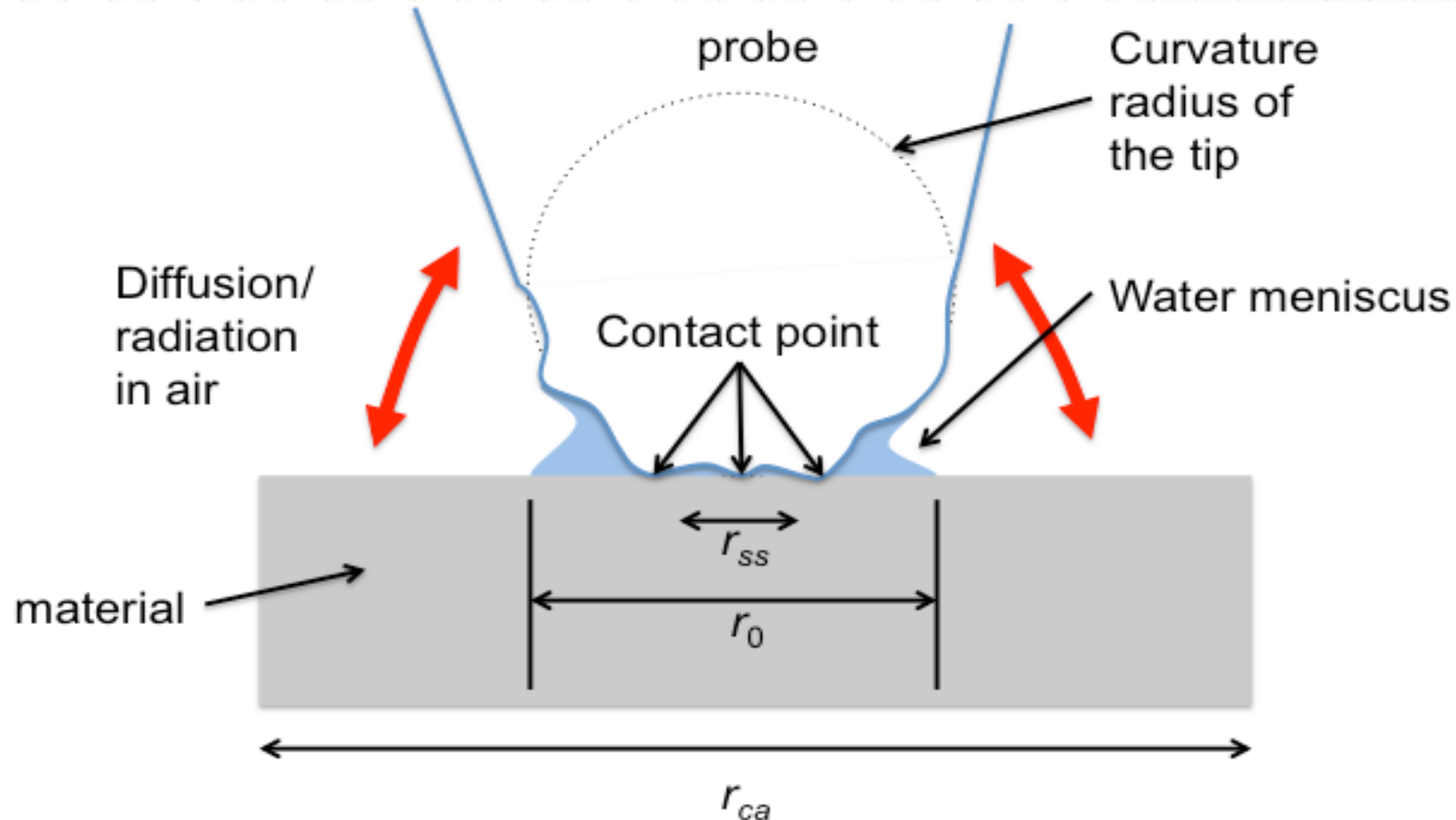
Passive mode



Active mode

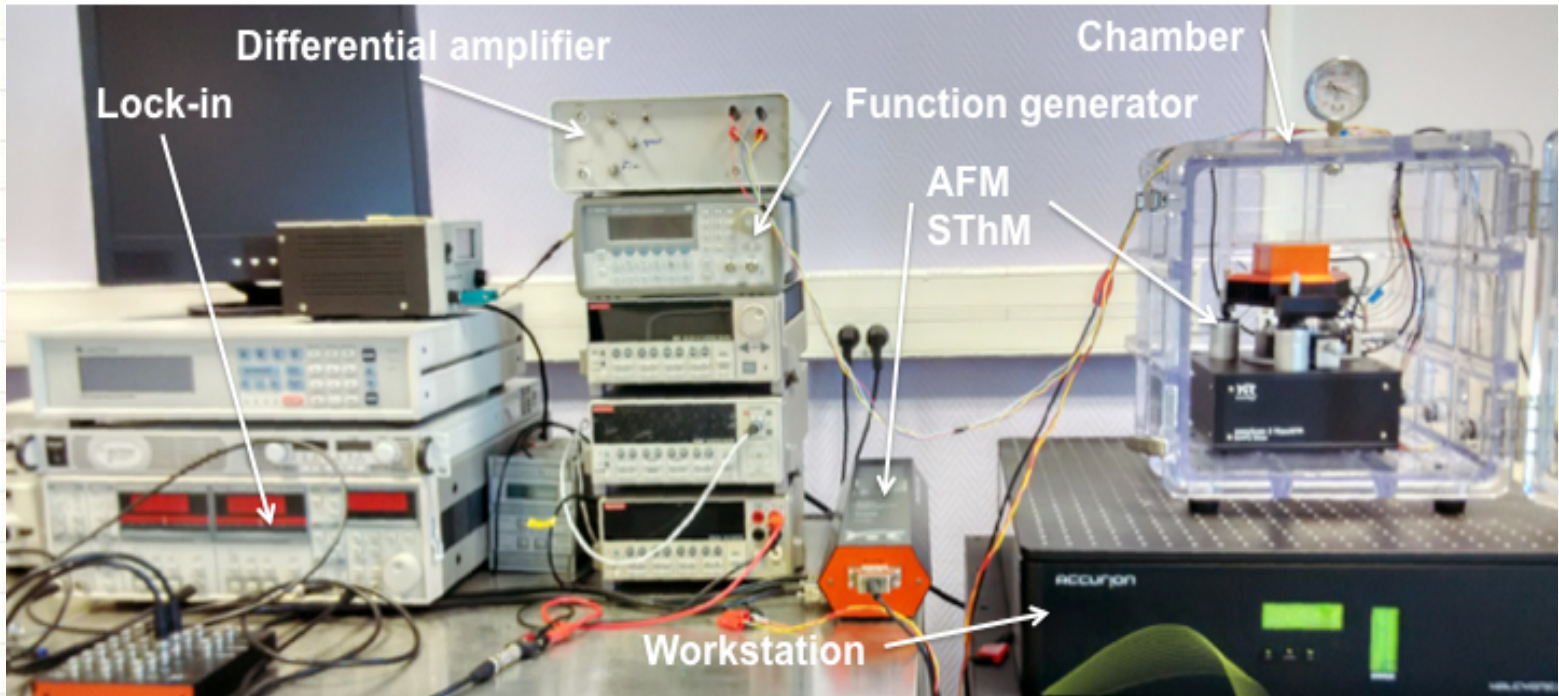
# Physical Phenomena at the interface

## 2/2



# **EXPERIMENTAL SETUP**

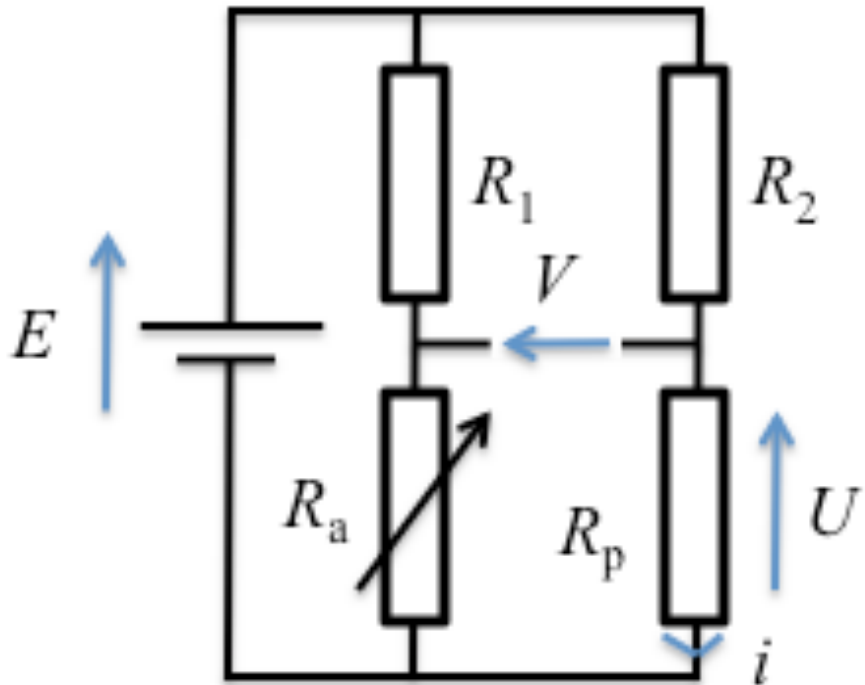
# SThM Setup



AFM Nanosurf  
Easyscan 2



# SThM passive mode



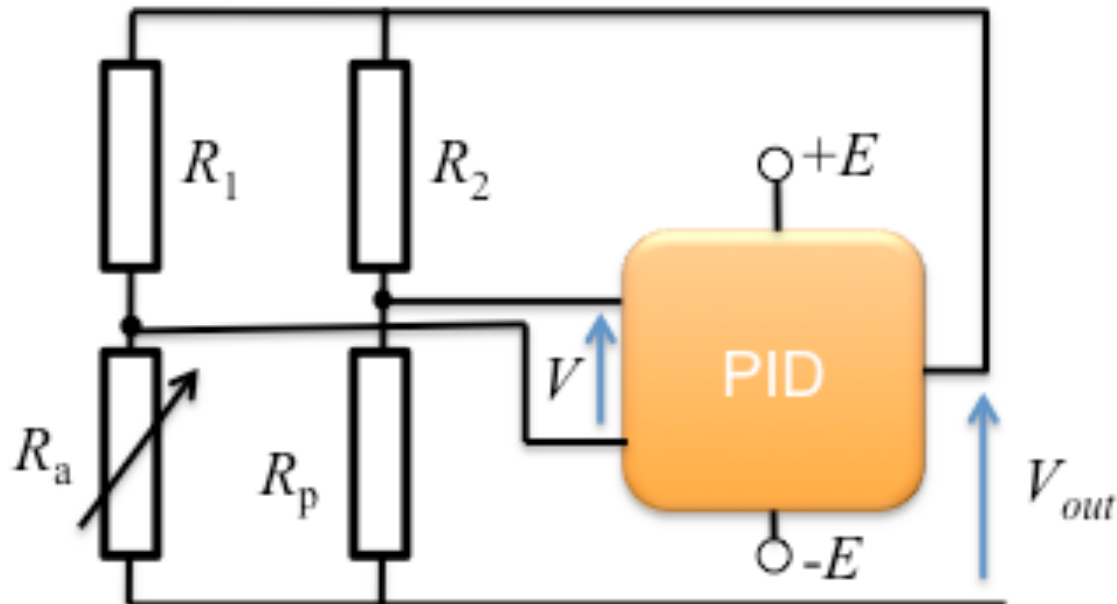
$$\Delta T = \frac{1}{\alpha_R} \frac{4V}{E - 2V}$$

$$\alpha_R = (1/R_0) dR/dT$$

Temperature  
coefficient (TCR)

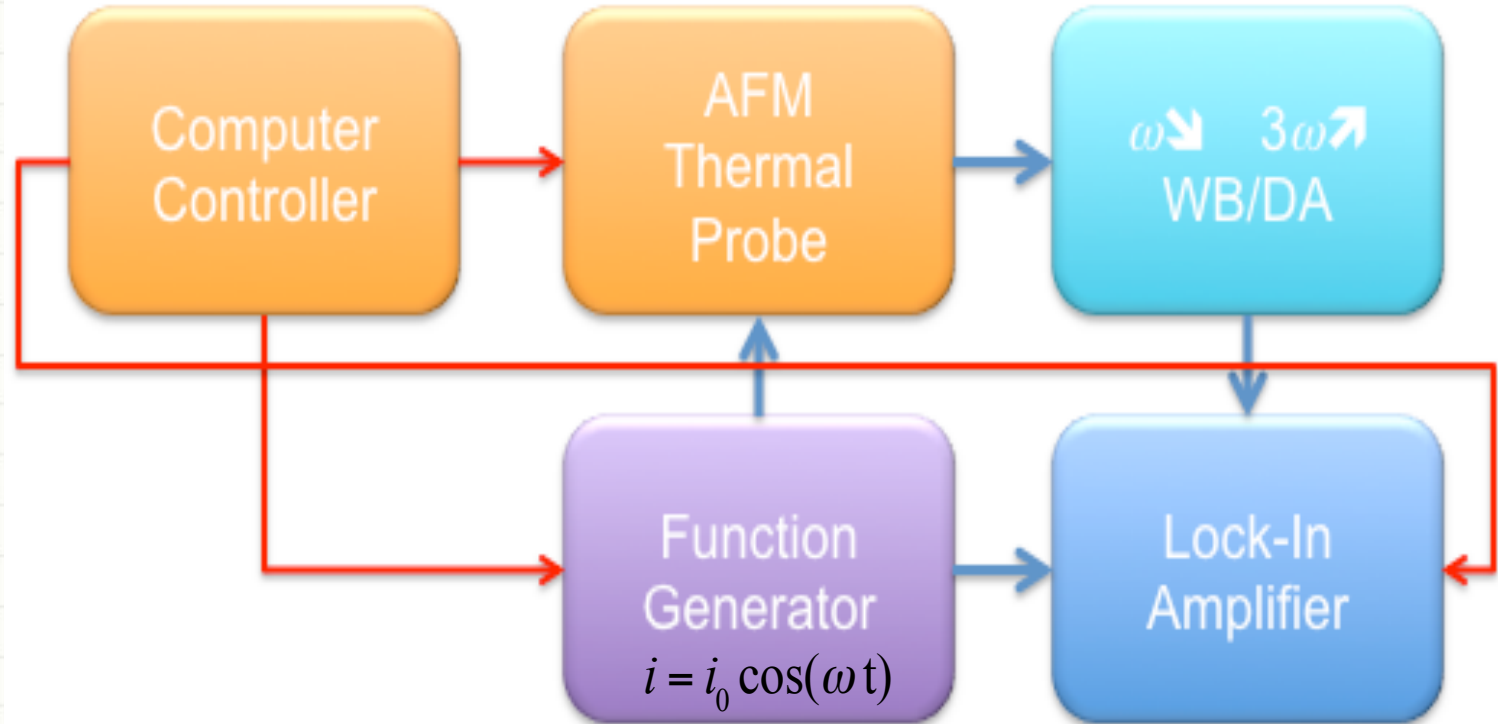
# SThM active mode and continuous wave

$$\frac{P_{in} - P_{out}}{P_{in}} = \frac{\Delta P}{P_{in}} = \frac{V_{sec}^2 - V_{shc}^2}{V_{sec}^2} = f(k_m)$$



The probe in the probe is adjusted in order to have its temperature constant  
 $k_m$  is the sample thermal conductivity

# SThM active mode and 3-omega signal

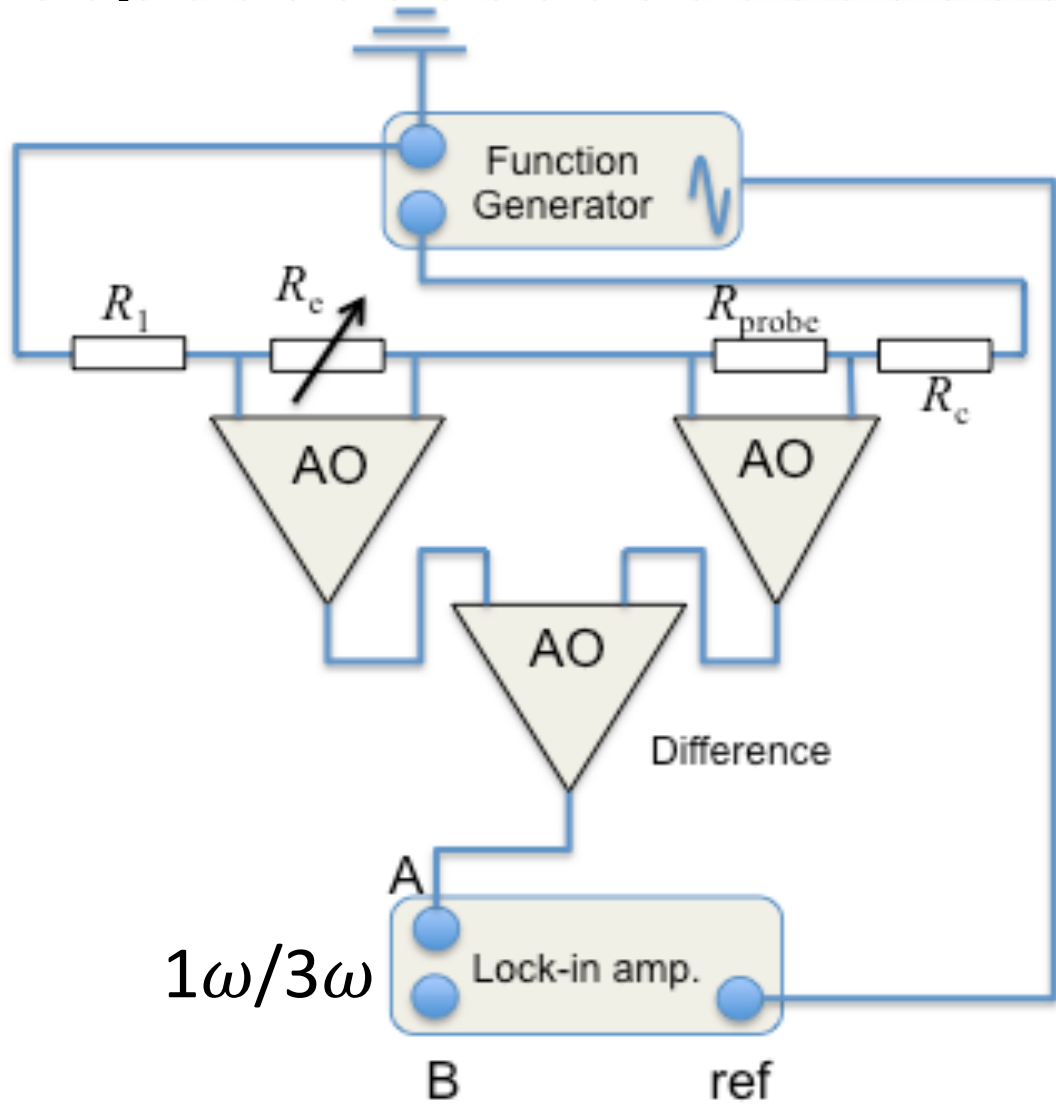


$$\Delta T_{2\omega} = \frac{2}{\alpha_R R_0 i_0} V_{3\omega} = \frac{2}{\alpha_R} \frac{V_{3\omega}}{V_0} = f(k_m)$$

# Differential amplifier and lock-in

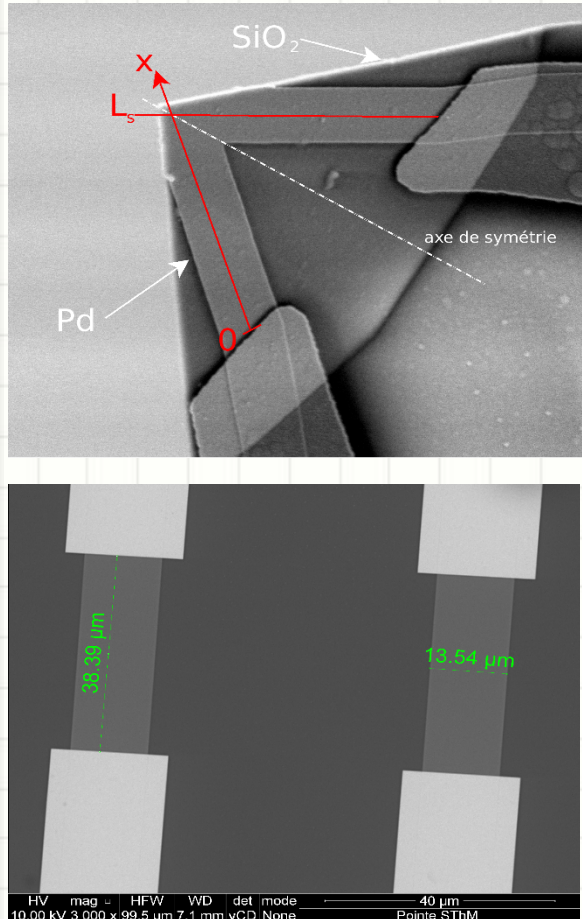
The goal is to minimize the  $1\omega$  component with respect the  $3\omega$  one

The lock-in leads to the amplitude and phase with the  $3\omega$  harmonic



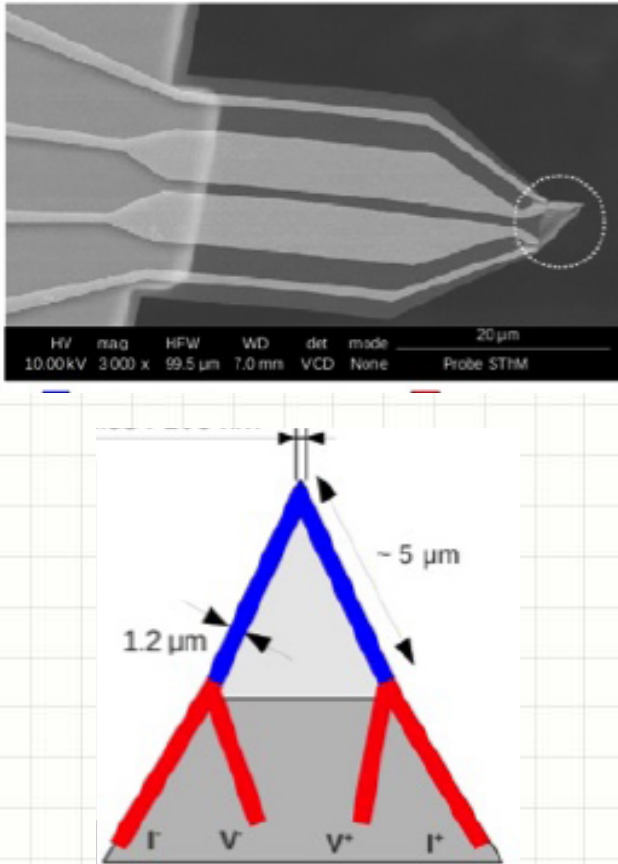
# CALIBRATION

# 2-point probe



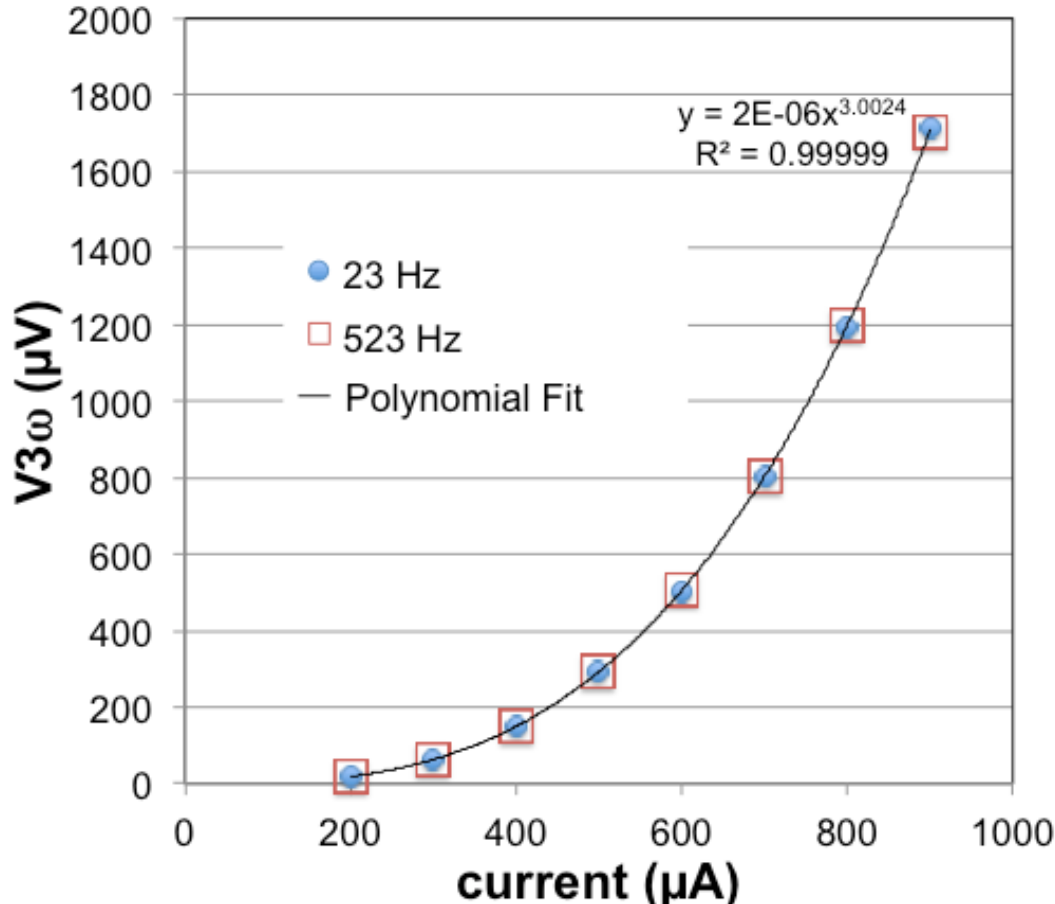
Provider	Anasys/ NanoAndMore	NT-MDT
<b>Cantilever</b>	$\text{Si}_3\text{N}_4$	$\text{SiO}_2$
<b>Resistance metal</b>	5 nm NiCr – 40 nm Pd	5 nm NiCr – 40 nm Pd
	5 nm NiCr – 140 nm Au	5 nm NiCr – 140 nm Au
<b>Length x width</b>	$150 \times 60 \mu\text{m}$	$150 \times 60 \mu\text{m}$
<b>Thickness</b>	$0.4 \mu\text{m}$	$1 \mu\text{m}$
<b>Tip Height</b>	$10 \mu\text{m}$	$10 \mu\text{m}$
<b>Spring Constant</b>	$0.25 \text{ N/m}$	$0.45 \text{ N/m}$
<b>Resonant Frequency</b>	$50 \text{ kHz}$	$48 \text{ kHz}$
<b>Resistance</b>	250-400 W (typ. 320 W)	300-500 W
<b>Sensitivity</b>	Approx. 1 W/ $^{\circ}\text{C}$	Approx. 1 W/ $^{\circ}\text{C}$
<b>Tip Radius</b>	< 100 nm	< 100 nm
<b>Maximum controllable temperature</b>	$160 ^{\circ}\text{C}$	$160 ^{\circ}\text{C}$

# 4-point probe



<b>Probe base</b>	<b>2 mm x 3 mm</b>
<b>Cantilever (<math>\text{Si}_3\text{N}_4</math>)</b>	$150 \mu\text{m} \times 60 \mu\text{m} \times 1 \mu\text{m}$
<b>Resistor metal</b>	$5 \text{ nm NiCr} - 40 \text{ nm Pd}$
<b>Track and pad metal</b>	$5 \text{ nm NiCr} - 140 \text{ nm Au}$
<b>Resistance</b>	$300 - 500 \text{ Ohm}$
<b>Tip Radius</b>	$< 100 \text{ nm}$
<b>Maximum Temperature</b>	$160^\circ\text{C}$
<b>Tip height</b>	$10 \mu\text{m}$
<b><math>\text{Si}_3\text{N}_4</math> Spring Constant</b>	$0.25 \text{ N/m}$
<b>Fo</b>	$48 \text{ kHz}$
<b>Sensitivity</b>	app. $1 \text{ Ohm}/^\circ\text{C}$

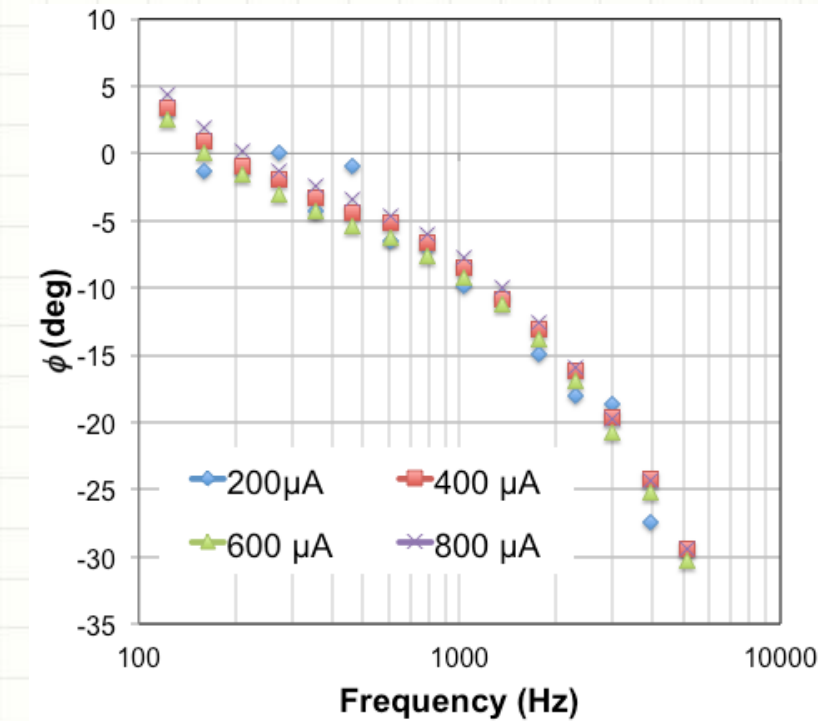
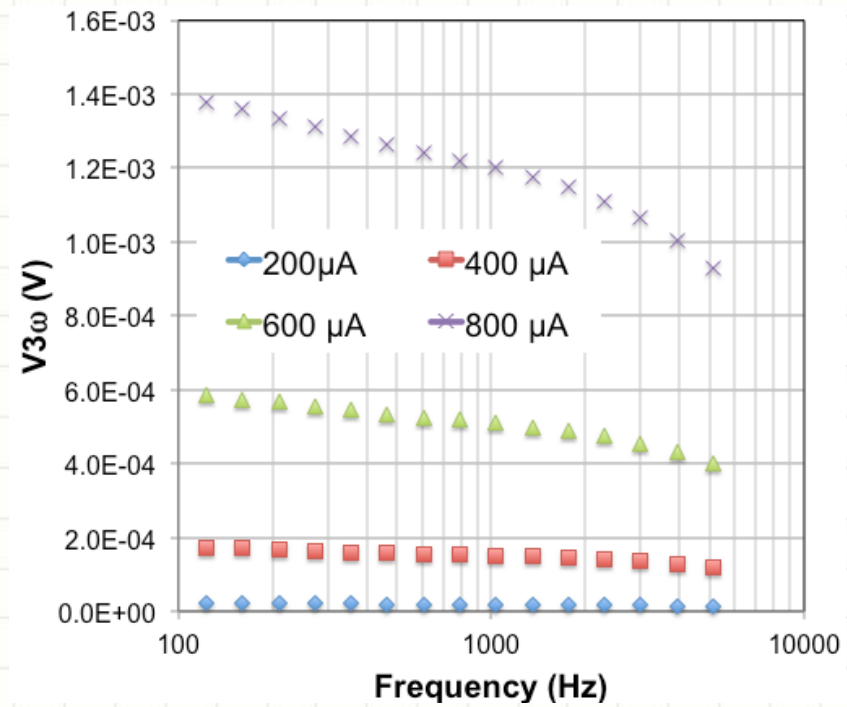
# Checking the $3\omega$



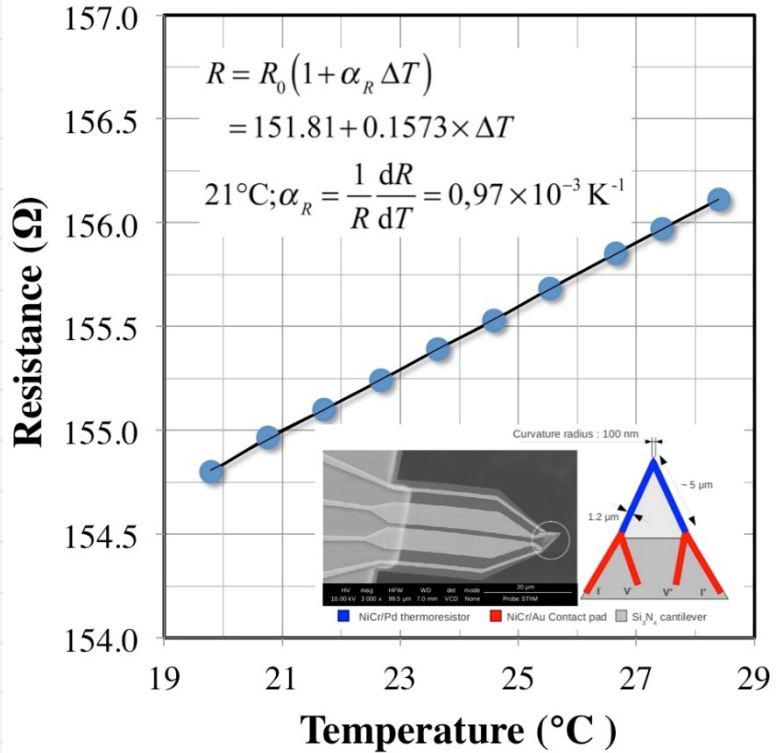
$$\left. \begin{aligned} \Delta T_{2\omega} &\propto P = \frac{R i^2}{2} \\ R i^2 &\propto \frac{V_{3\omega}}{R i} \end{aligned} \right\} \Rightarrow V_{3\omega} \propto i^3$$

$$V_{3\omega} = 2 \times 10^{-6} i^{3.0024}$$

# Checking the linearity



# TCR calibration

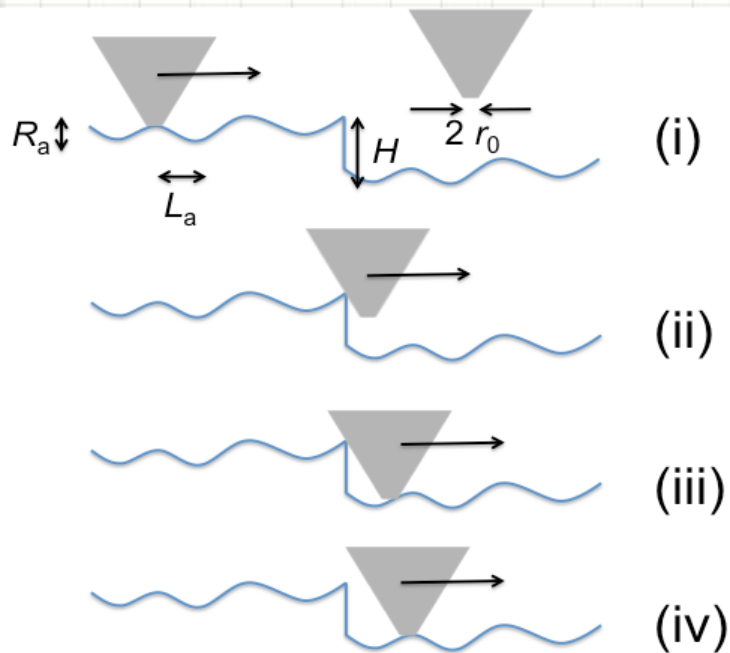


$$\alpha_R(Pd_{bulk}) = 3 \times 10^{-8} \text{ K}^{-1}$$

TCR	Associated Work	Manufacturer
$(1.3-1.6) \times 10^{-3} \text{ K}^{-1}$	Present work (2 point probe)	Anasys Instruments & NanoandMore
$1.2 \times 10^{-3} \text{ K}^{-1}$	Puyoo et al.	Anasys Instruments
$1.37 \times 10^{-3} \text{ K}^{-1}$	A. Assy et al.	Kelvin Nanotechnology
$0.97 \times 10^{-3} \text{ K}^{-1}$	Present Work (4 point probe)	Kelvin Nanotechnology

# Scanning → Surface preparation

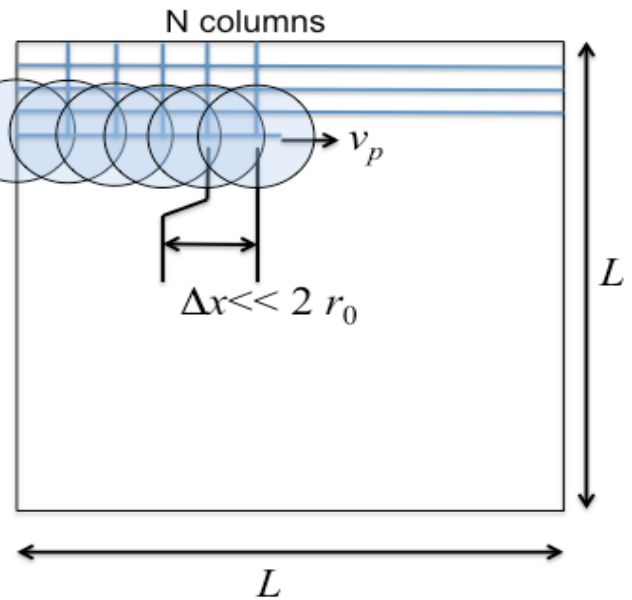
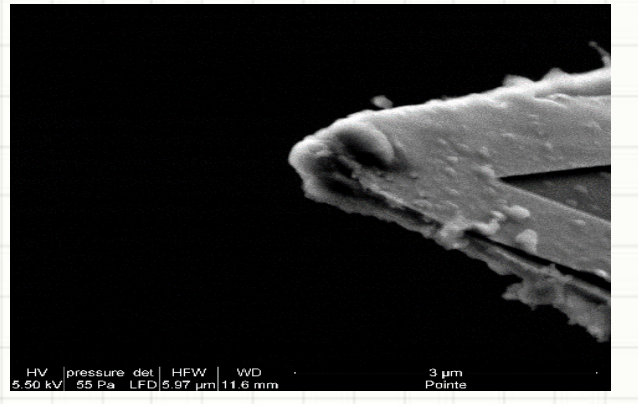
## Sample Irregularities

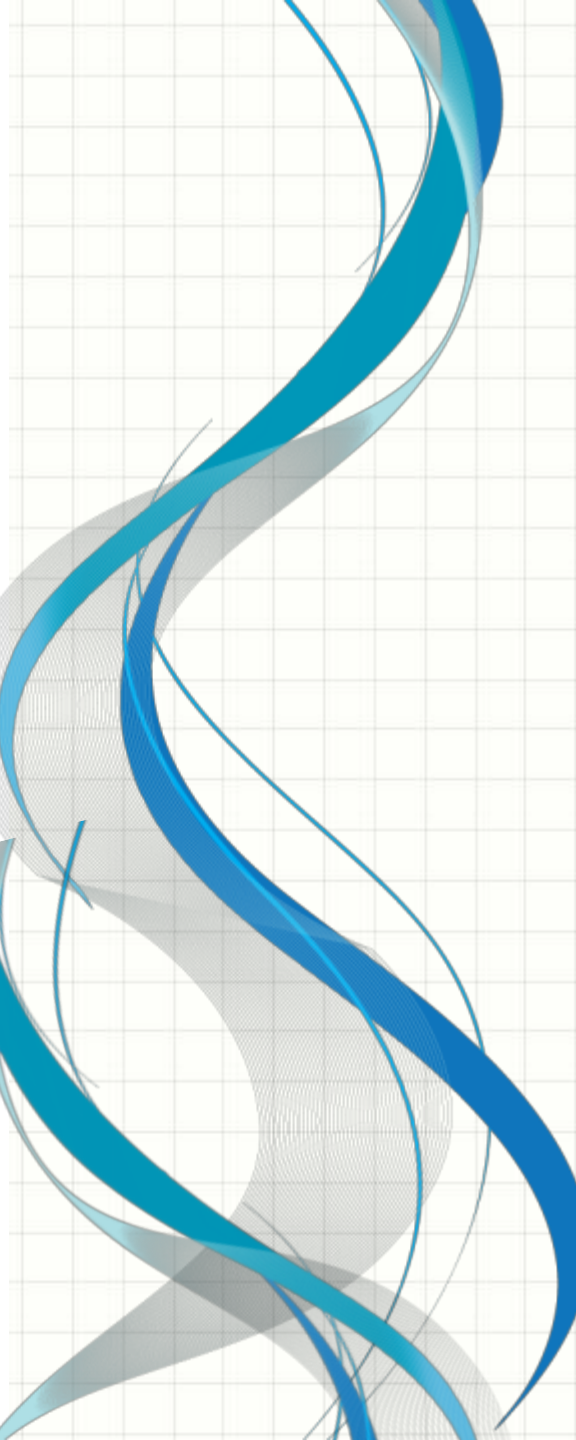


Classic solid-solid contact

$$\begin{cases} 2r_0 < L_a \\ 2r_0 > R_a \end{cases}$$

Probe After Use  
Overlapping  
 $N_{\text{rows}}$

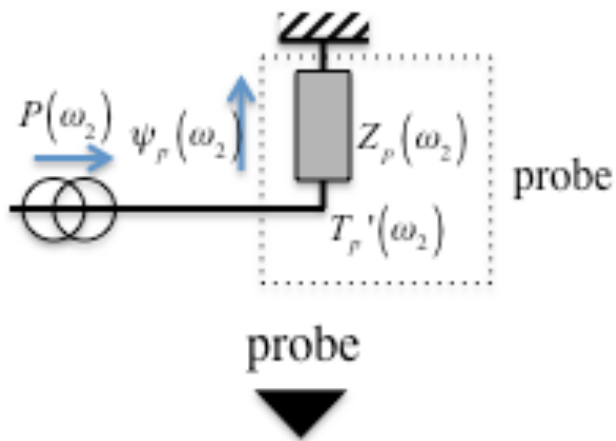




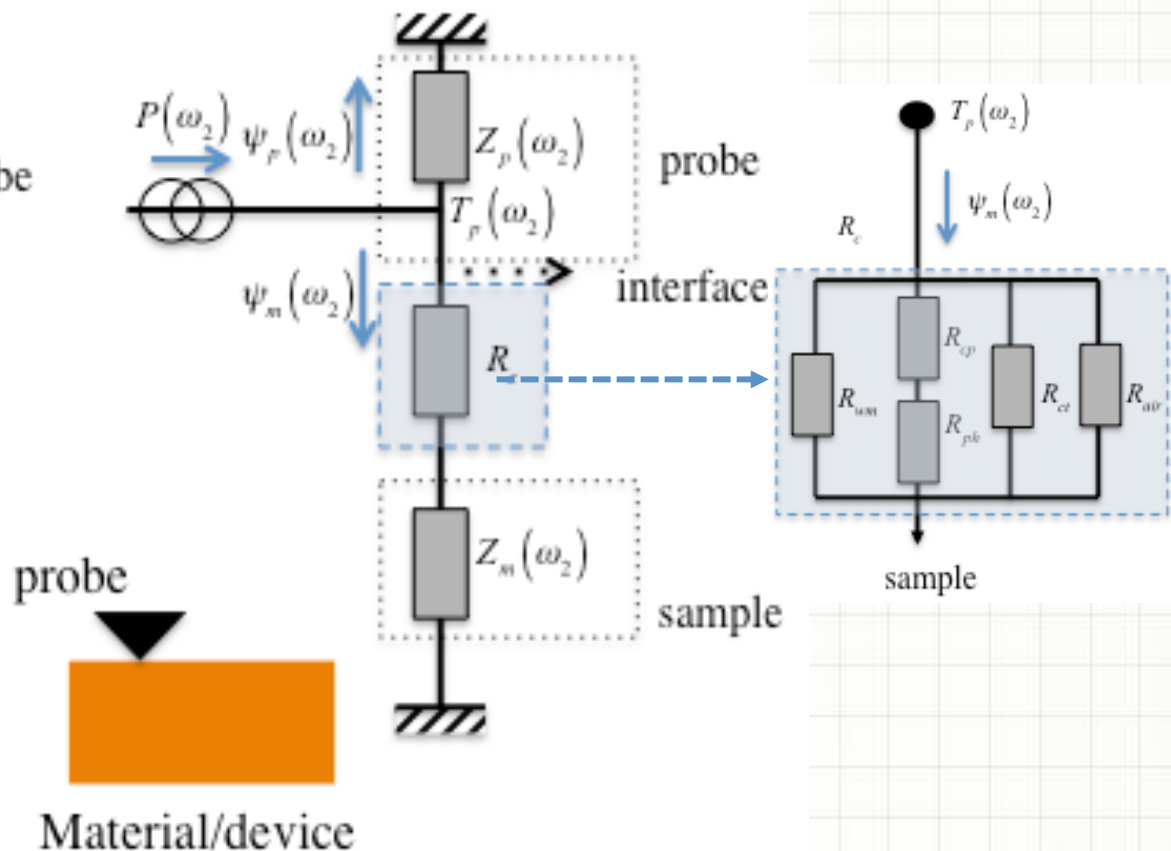
# Heat transfer model

# Heat Transfer Model

**Non Contact mode**



**Contact mode**



$$\|T_p(\omega)\| = \left\| \frac{P_0}{1/Z_p + 1/(R_c + Z_m)} \right\|$$

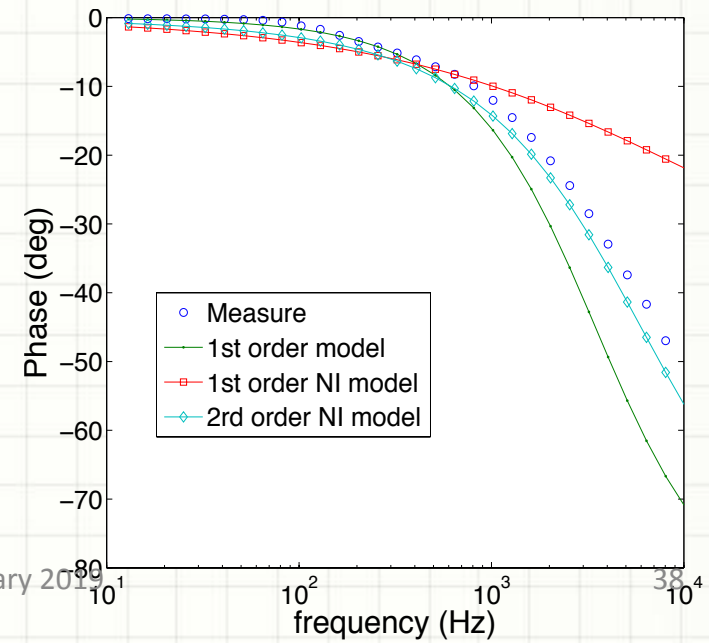
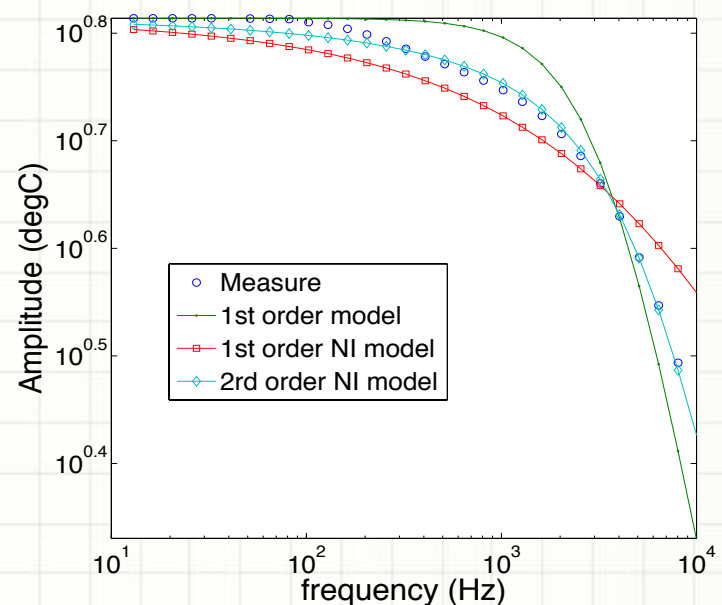
$$\delta(\omega) = \arg \left( \frac{P_0}{1/Z_p + 1/(R_c + Z_m)} \right)$$

# $Z_p(\omega)$ and $Z_m(\omega)$

- The probe thermal impedance is identified experimentally (out-of-contact mode). We showed that

$$Z_p(\omega) = \frac{a_0}{1 + b_0 \sqrt{j\omega} + b_1 j\omega}$$

- The probe thermal impedance can be slightly modified when in contact with the surface → we assumed this additional constriction resistance is included within  $R_c$ .
- The material thermal impedance is either analytical (integral transforms) or discrete (FEA with semi infinite behavior)



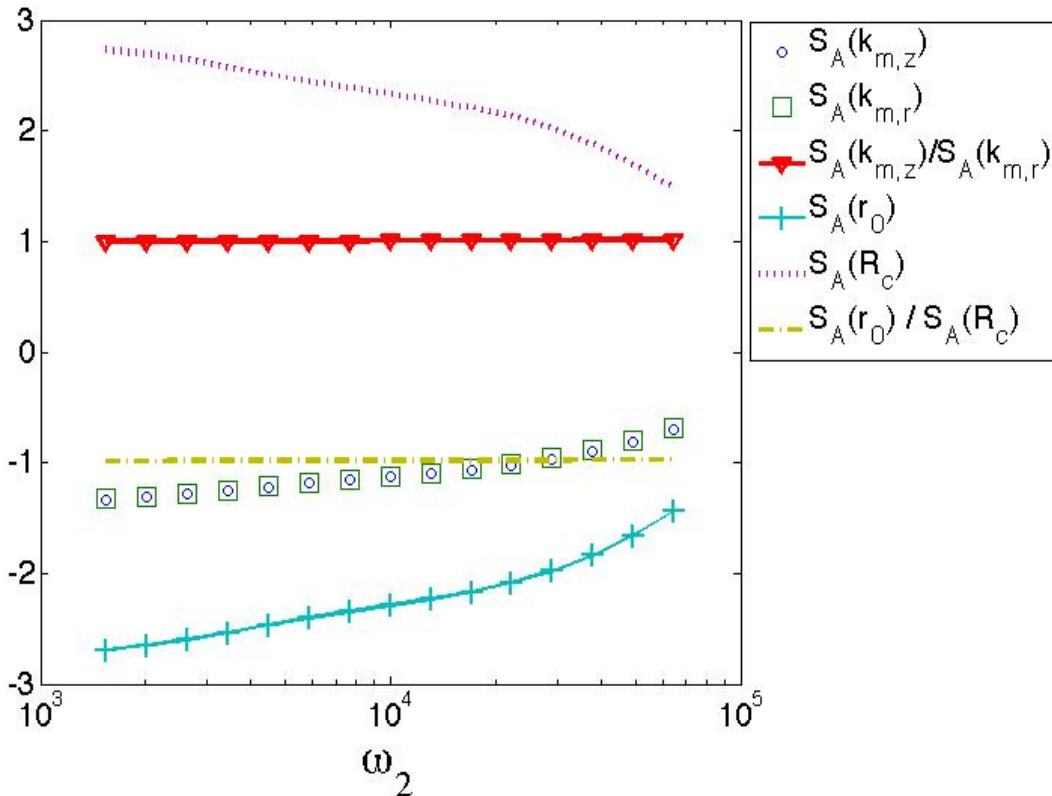
# Unknown Parameters - Sensitivity analysis

Related to probe & sample contact

$$r_0, R_c$$

Related to sample properties

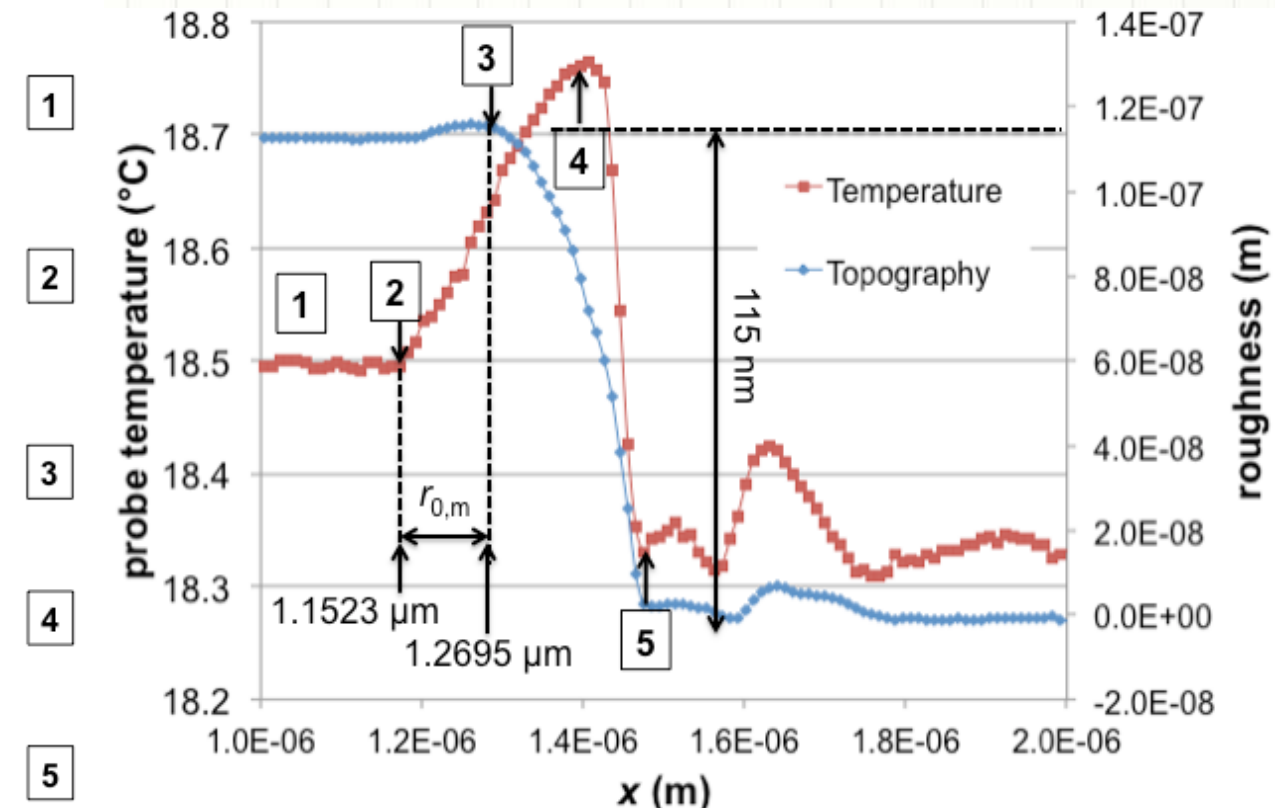
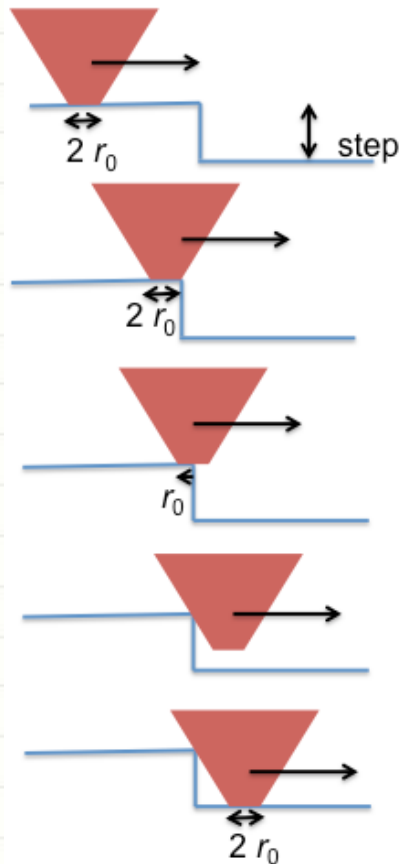
$$k_m, \text{TBR}$$



The sensitivity functions are linearly dependent → The simultaneous identification of the parameters is impossible

We need to define a way to identify them separately or using another set of experimental data

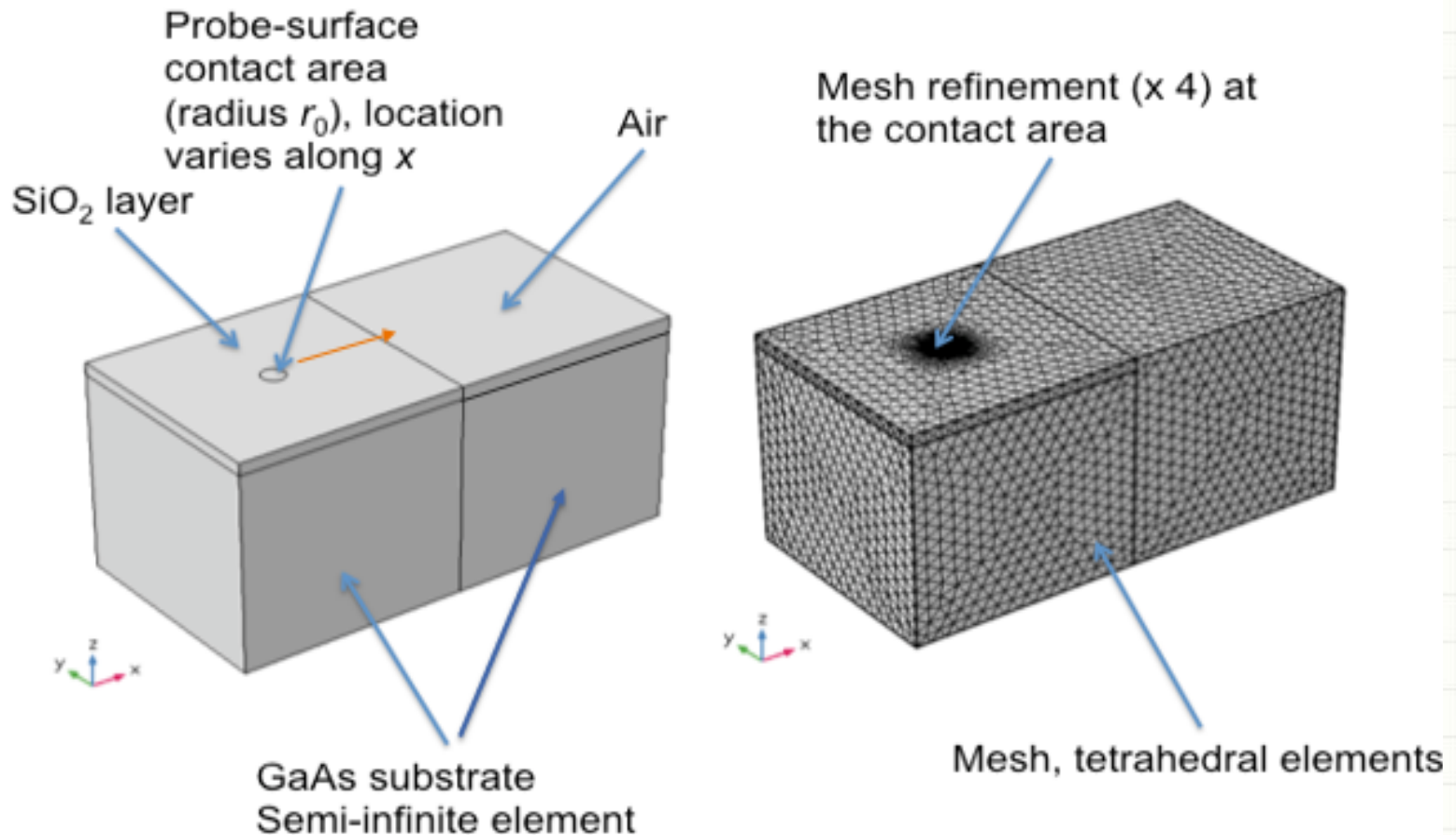
# Radius direct measurement



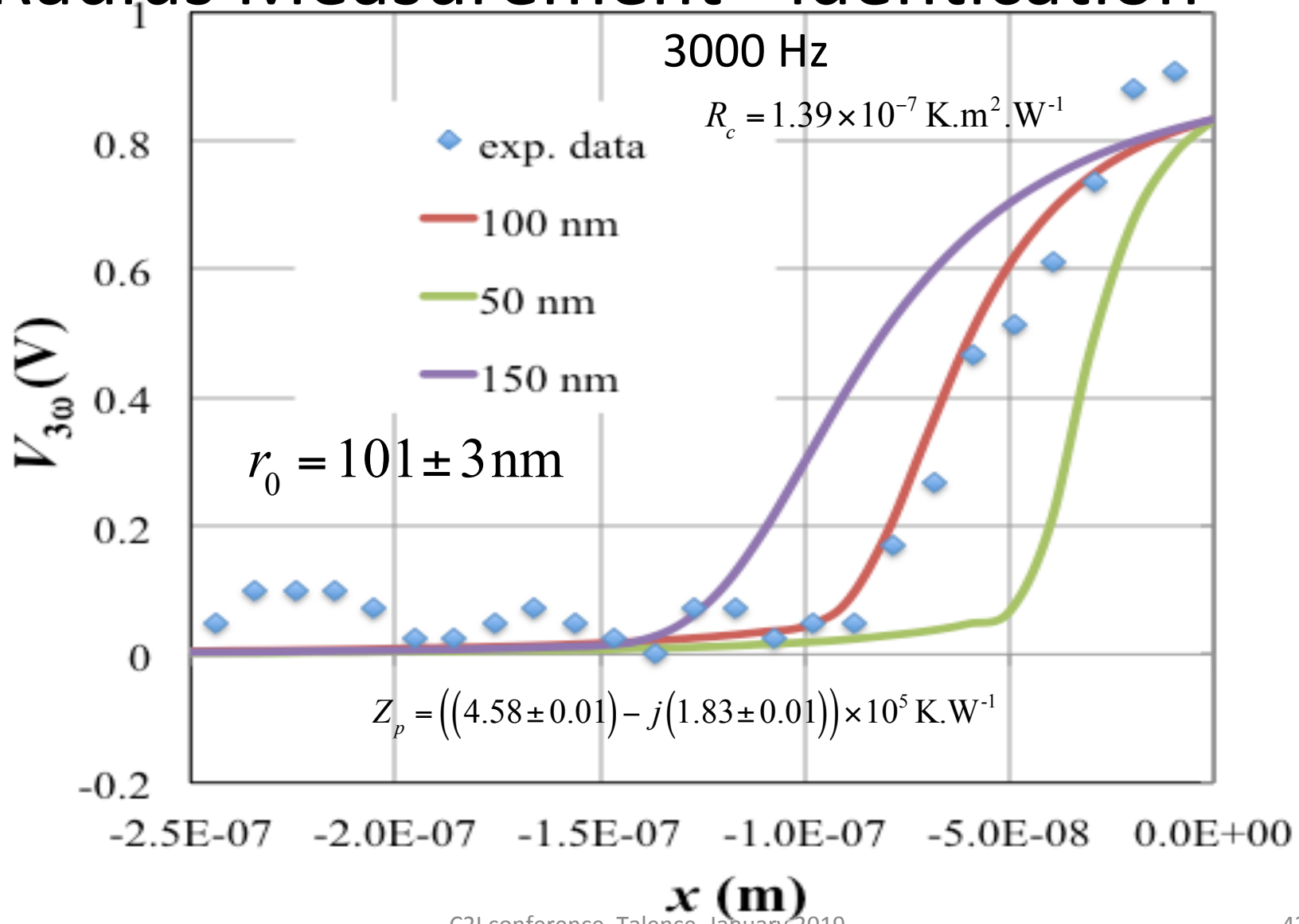
$$r_0 = 117 \text{ nm}$$

# Radius Measurement – Identification

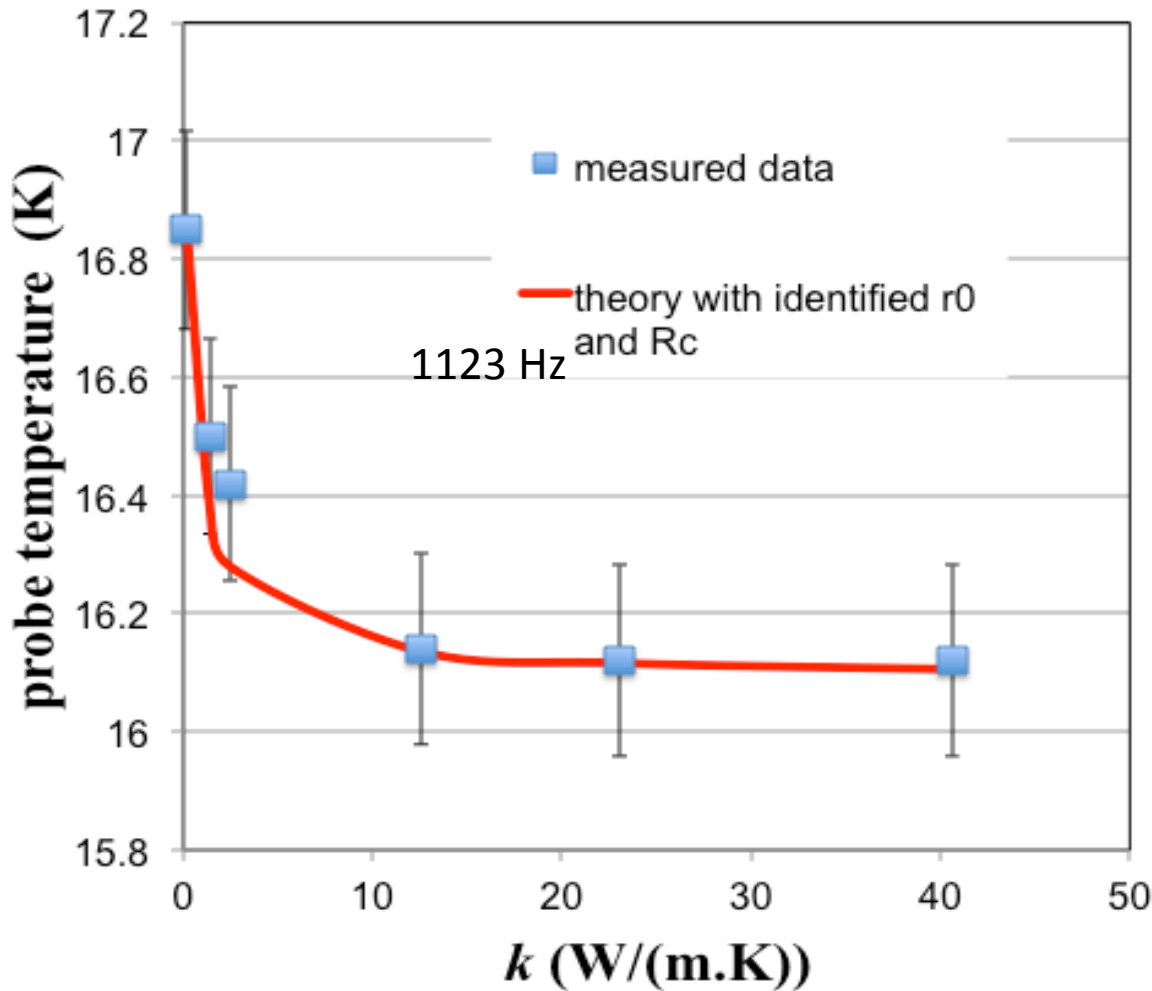
## 1/2



# Radius Measurement - identification

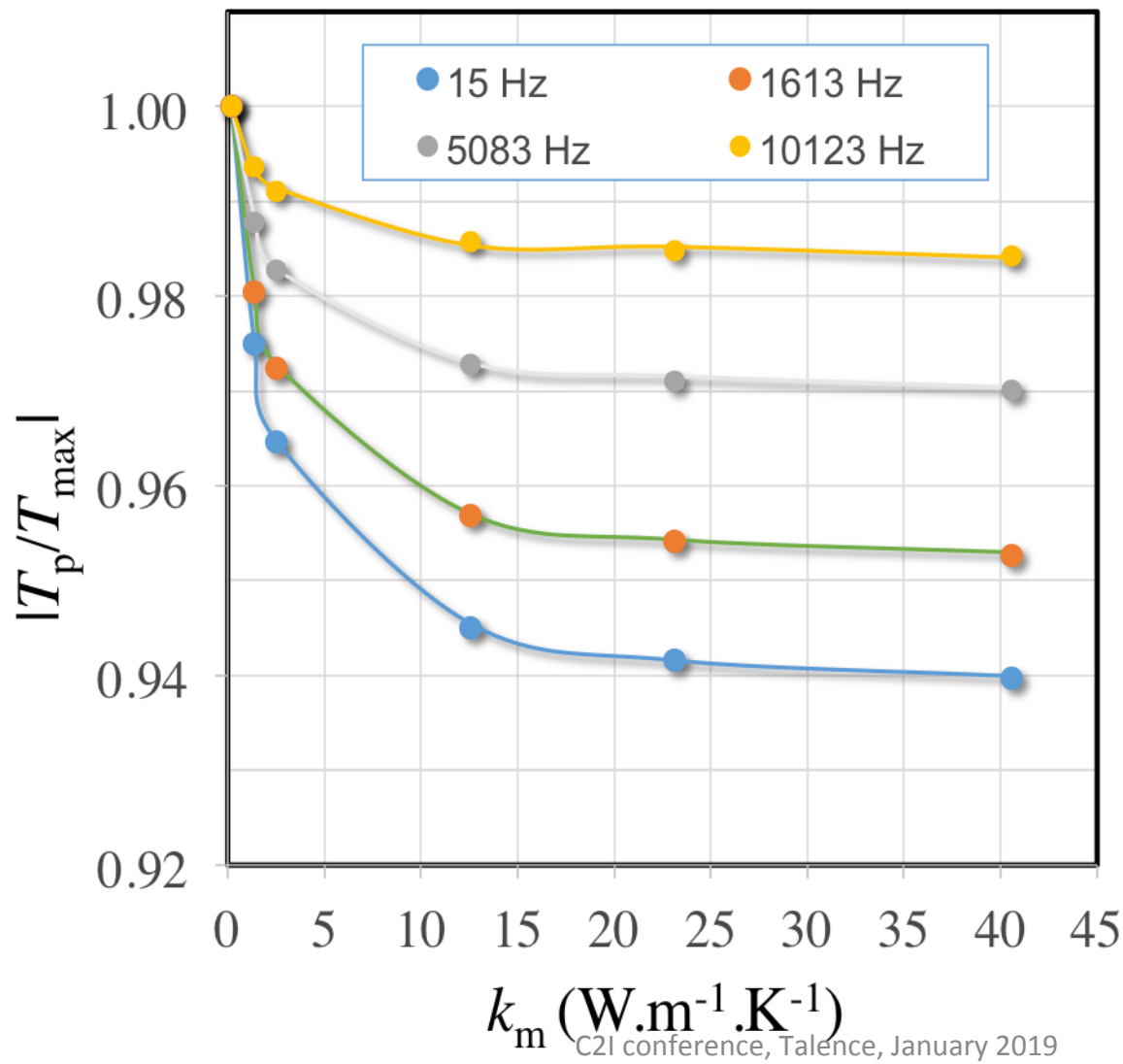


# Sensitivity



Probe: 2 point  
Status: Motion  
Condition:  
Atmosphere

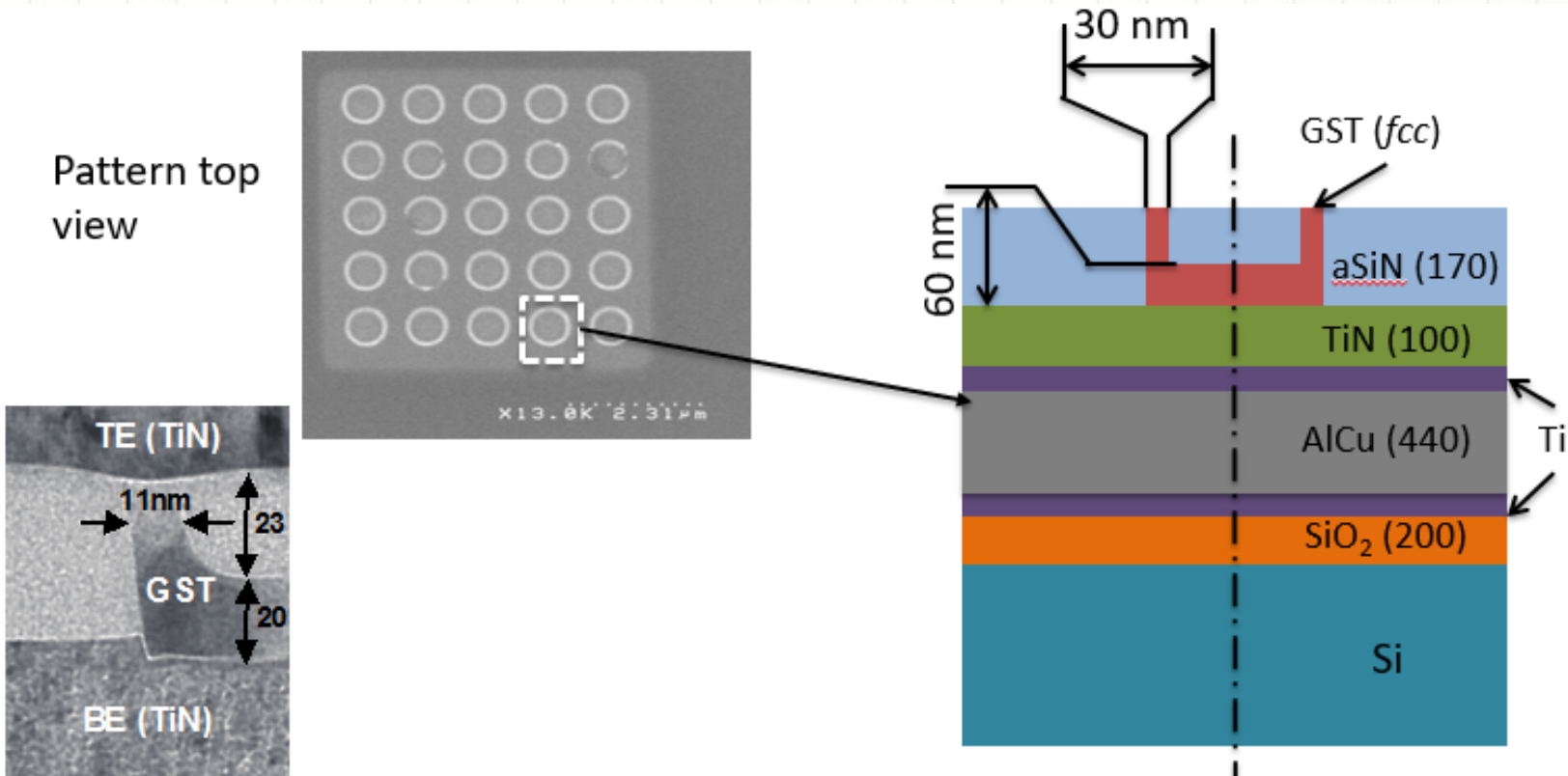
# Sensitivity



Probe: 4 point  
Status:  
Motionless  
Condition:  
Vacuum

# Applications

# Application: Phase Change Memory Device



S. C. Lai et al., Symp. VLSI Tech Dig., p.132-133,  
2013

Cell cross section view

# Known parameters

TBR *fcc*GST-SiN vert

TBR *fcc*GST-SiN hor

$$\left| \begin{array}{l} \{2-4\} \times 10^{-8} \text{ K.m}^2.\text{W}^{-1} \quad \Theta_D(\text{SiN}) > \Theta_D(\text{TiN}) > \Theta_D(\text{GST}) \\ 5.3 \times 10^{-9} \text{ K.m}^2.\text{W}^{-1} \quad \text{DMM} \end{array} \right.$$



TBR *fcc*GST-TiN

$$\left| \begin{array}{l} 2.5 \times 10^{-8} \text{ K.m}^2.\text{W}^{-1} \quad \text{measure} \\ 1.15 \times 10^{-8} \text{ K.m}^2.\text{W}^{-1} \quad \text{DMM} \end{array} \right.$$

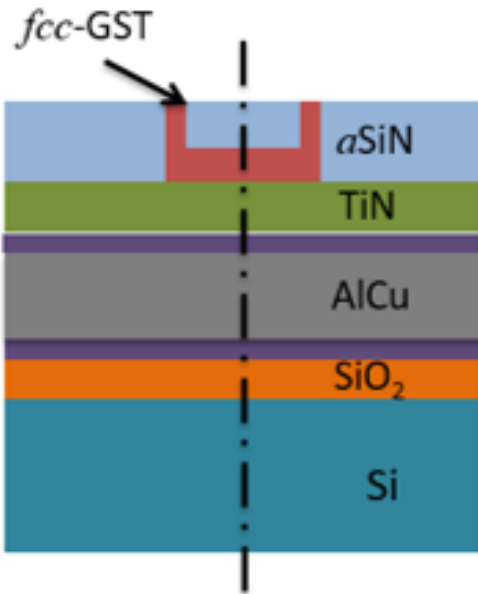
$$R_{\text{TiN-SiN}}^{\text{DMM}} = \frac{4}{\tau_{\text{SiN,TiN}} \rho_{\text{TiN}} C_{p,\text{TiN}} v_{\text{TiN}}}$$

$$\tau_{\text{SiN,TiN}} = \frac{\sum_{j=1}^3 v_{g,j,\text{SiN}}^{-2}}{\sum_{j=1}^3 v_{g,j,\text{SiN}}^{-2} + \sum_{j=1}^3 v_{g,j,\text{TiN}}^{-2}}$$

Reifenberg J. P., Kencke D. L. and Goodson K. E., *IEEE Electron. Device Lett.* **29** 1112–4 (2008).

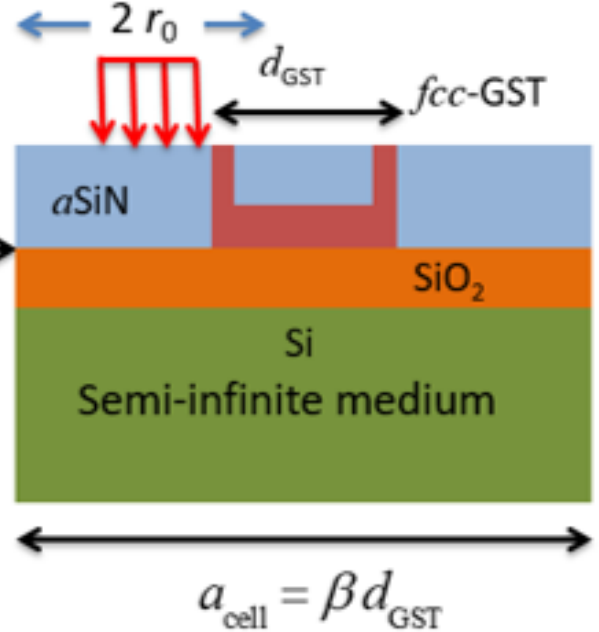
J.-L. Battaglia et al., *Appl. Phys. Lett.* **105**, 121903 (2014).

# Geometry simplification



$$R_i = \frac{e_{\text{TiN}}}{k_{\text{TiN}}} + \frac{e_{\text{AlCu}}}{k_{\text{AlCu}}} + \sum TBR$$

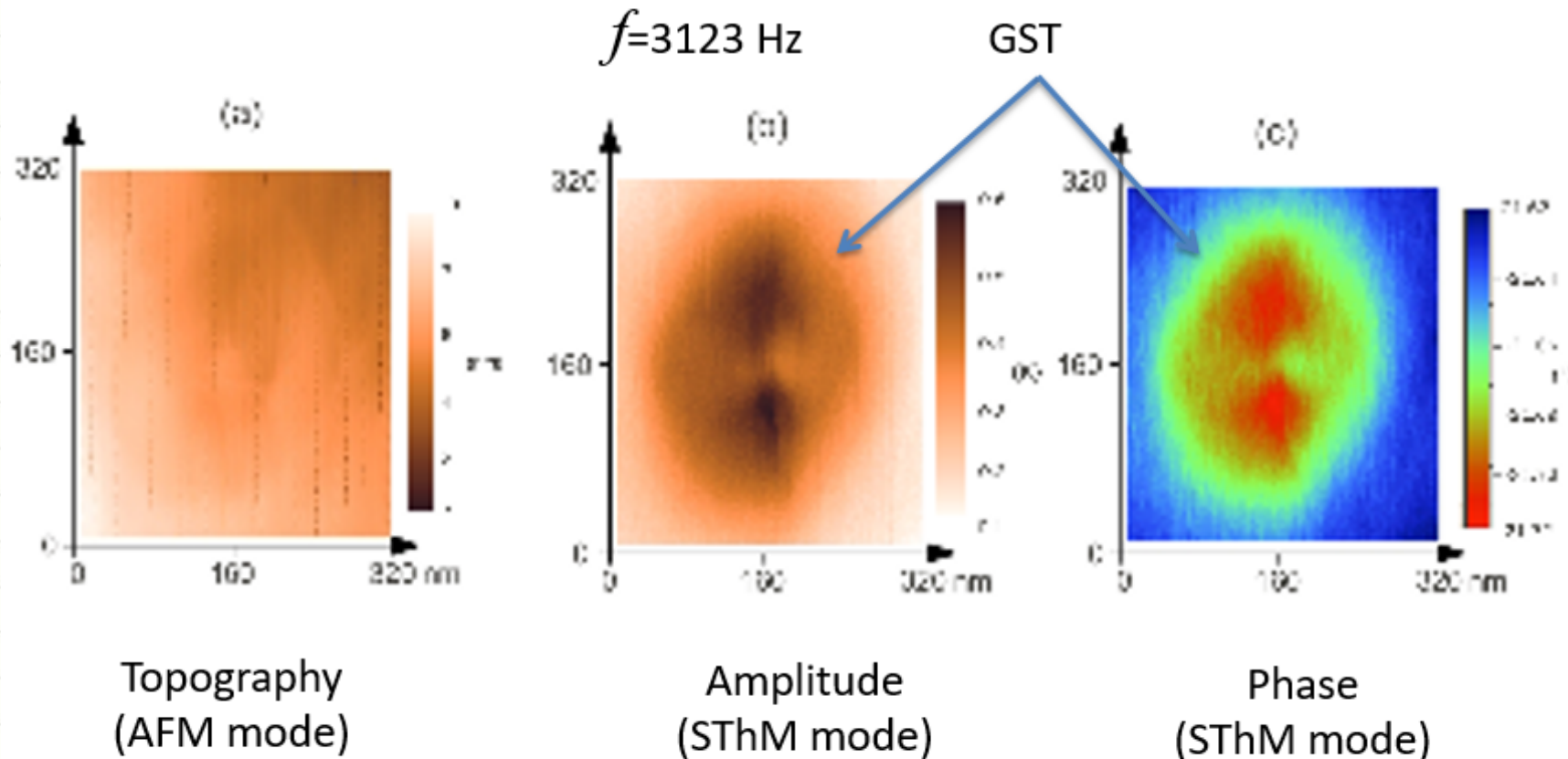
Ti



$Z_m(\omega)$  is calculated using the FEM

- Tetrahedral elements (458096 DoF)
- Multi-Grid solver (GMRES, with Newton scheme for convergence)
- Integration over the heated area  $\pi r_0^2$  (order 4)

# Experimental measurements

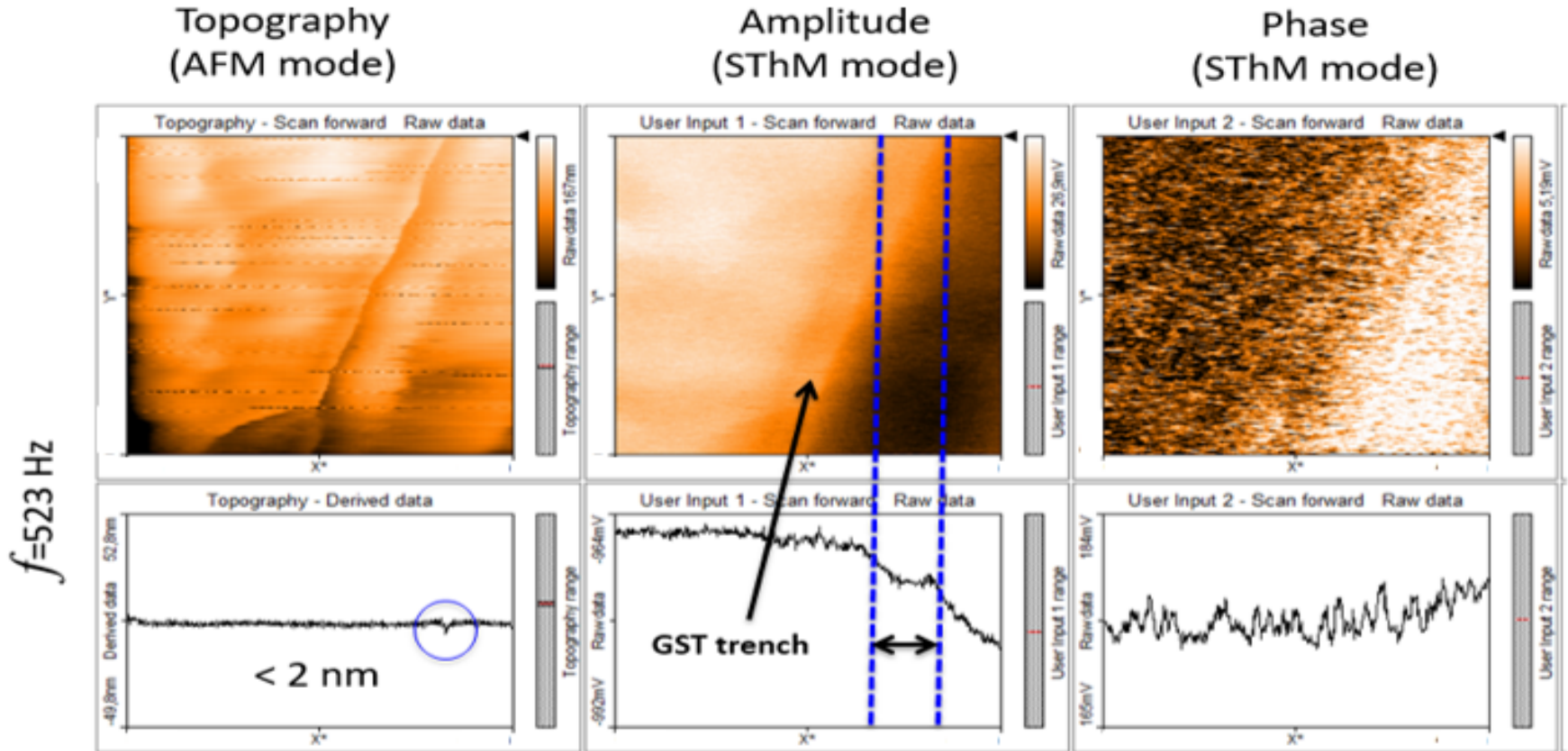


Topography  
(AFM mode)

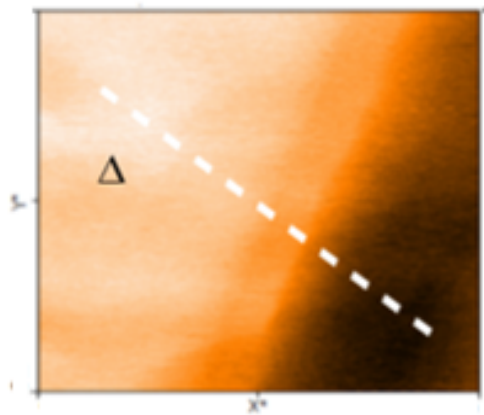
Amplitude  
(SThM mode)

Phase  
(SThM mode)

# Zoom on the trench



# Simulation results



Identified parameters

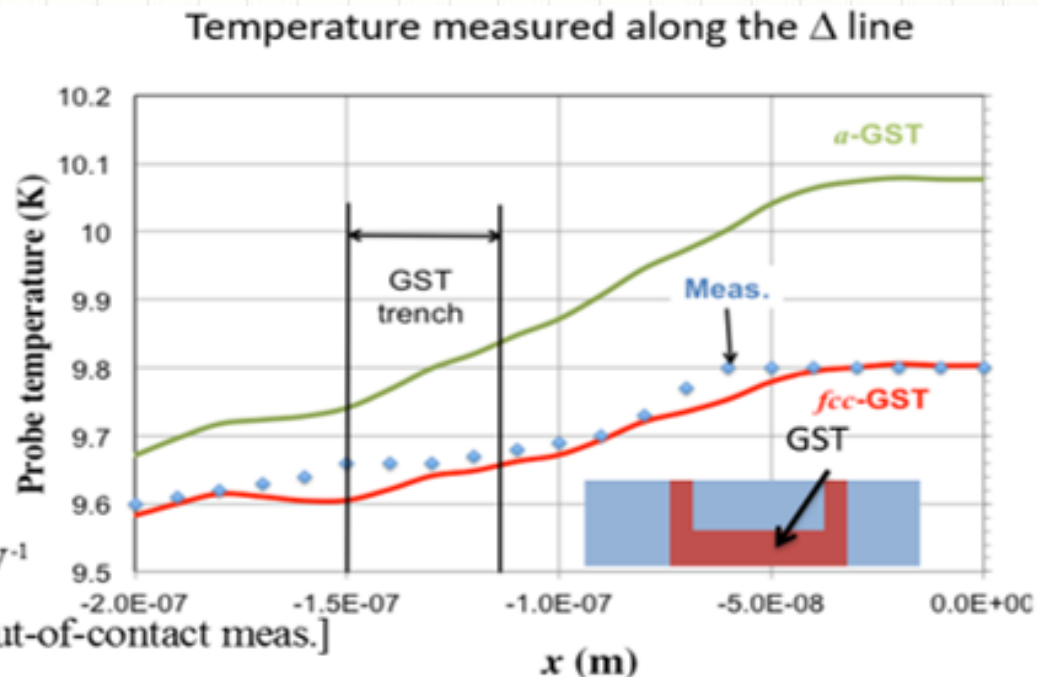
$$Z_p(523\text{Hz}) = (11.10 \pm 0.025) / P_0 \text{ K.W}^{-1}$$

$[(11.11 \pm 0.1) / P_0 \text{ K.W}^{-1}$  out-of-contact meas.]

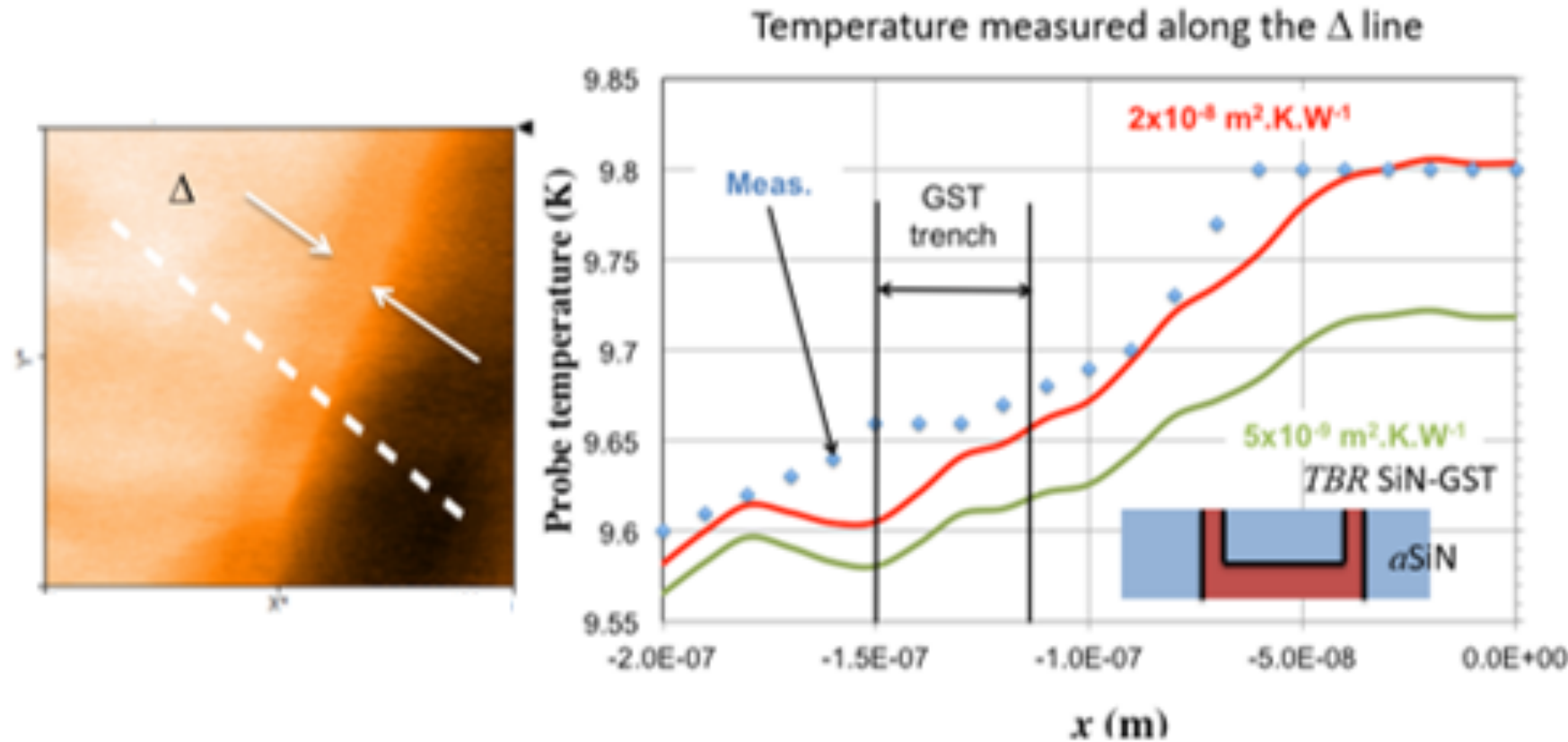
$$TBR_{\text{SiN-GST}} = (2.0 \pm 0.2) \times 10^{-8} \text{ K.m}^2.\text{W}^{-1} > \text{DMM value}$$

$$k_{\text{GST}} = 0.46 \pm 0.1 \text{ W.m}^{-1}.\text{K}^{-1} \text{ (fcc-GST)}$$

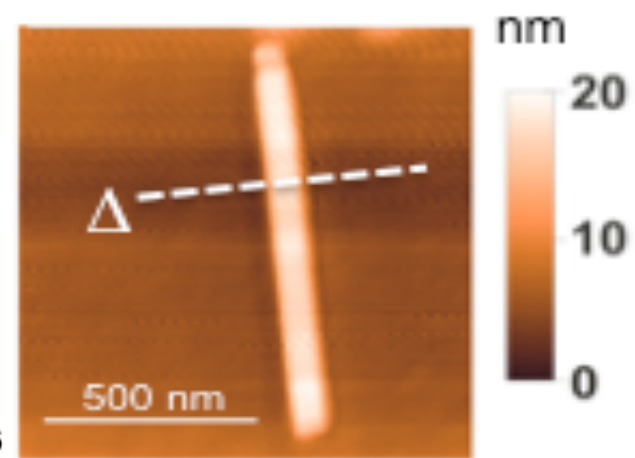
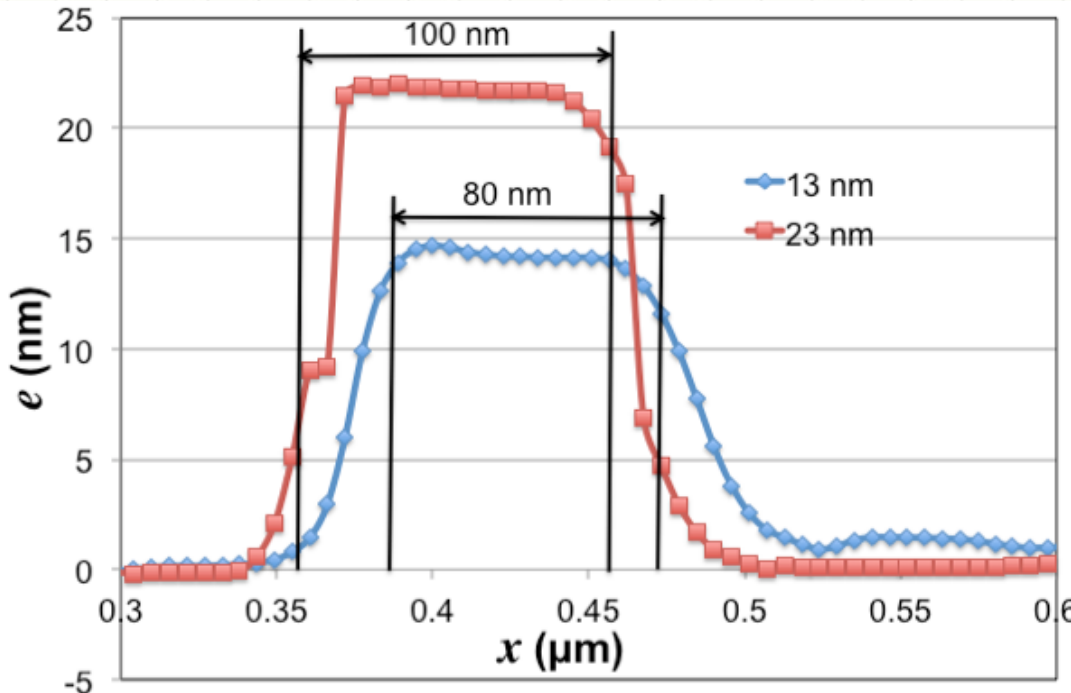
$$\beta = 3.3 \pm 0.1$$



# Sensitivity on the TBR

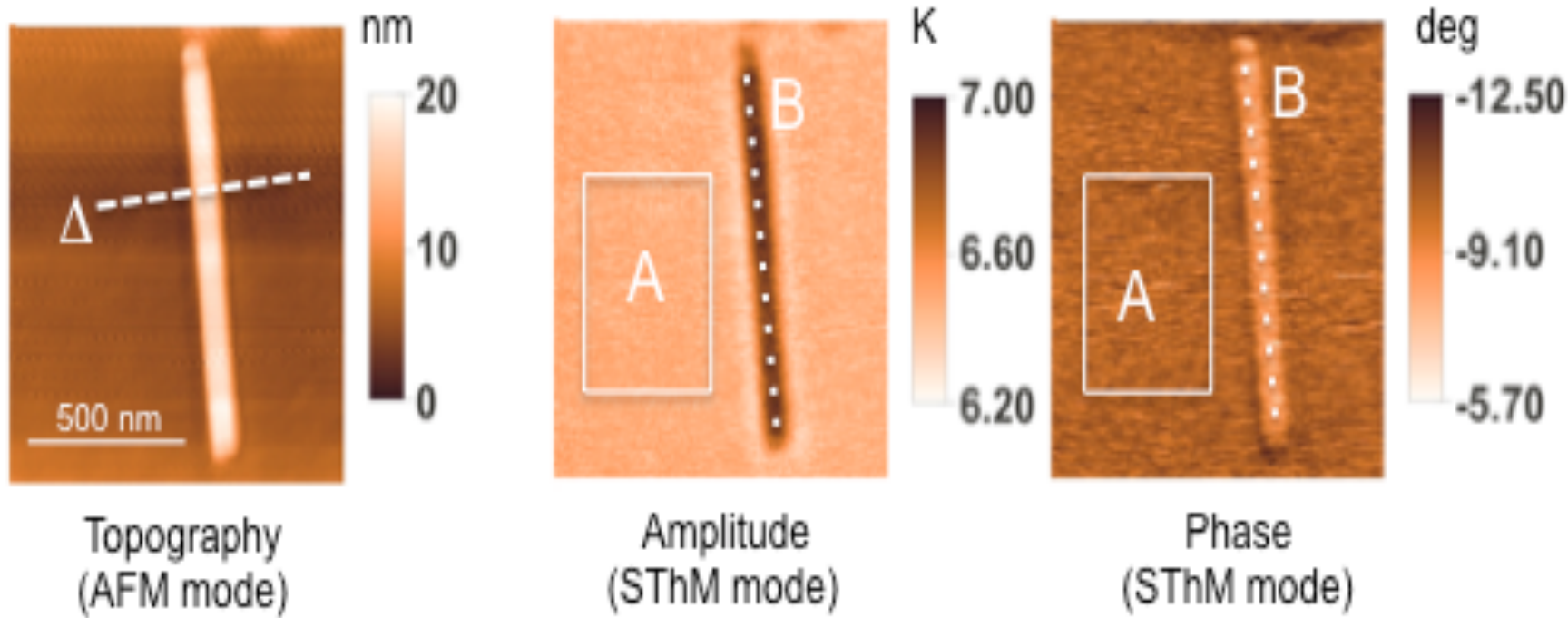


# Application – $\text{In}_3\text{SbTe}_2$ Nanowires



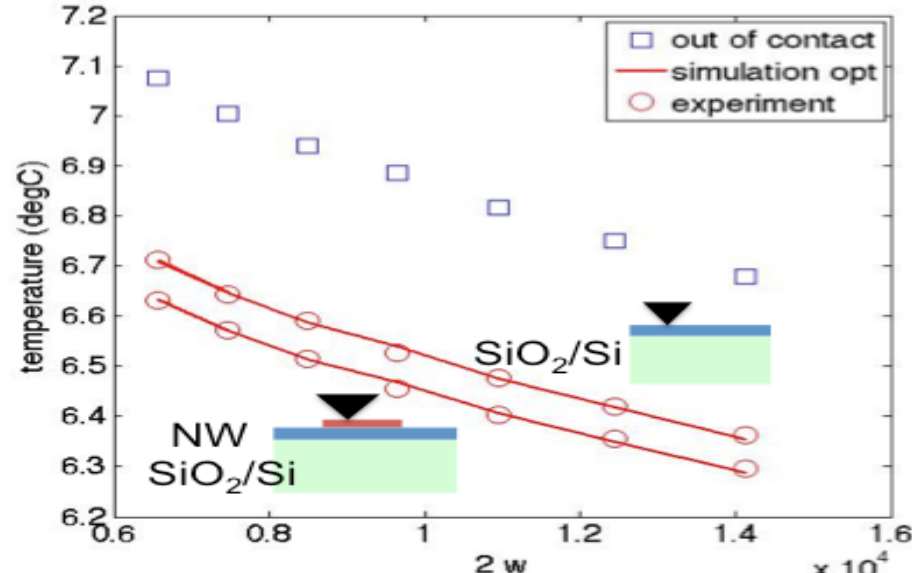
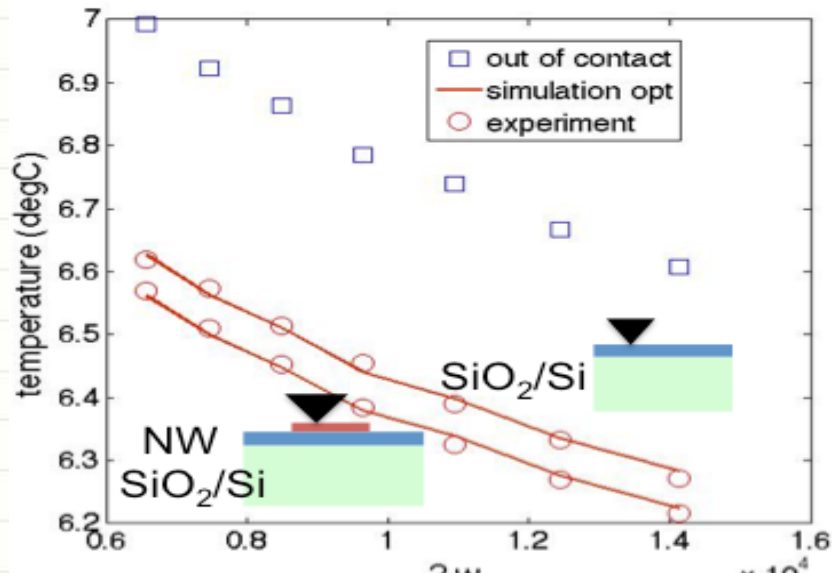
Cross-sectional area measurement of the Nanowire across the  $\Delta$  line

# Application – $\text{In}_3\text{SbTe}_2$ Nanowires



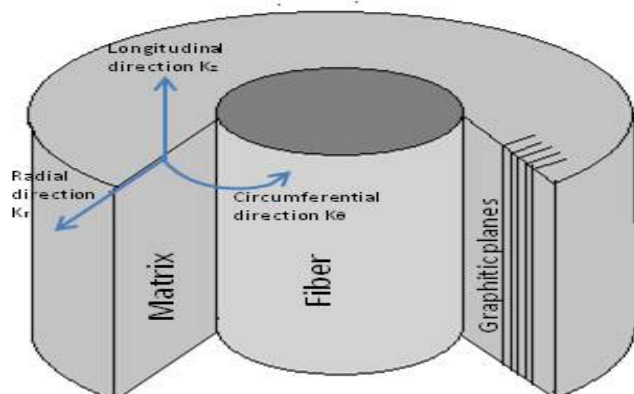
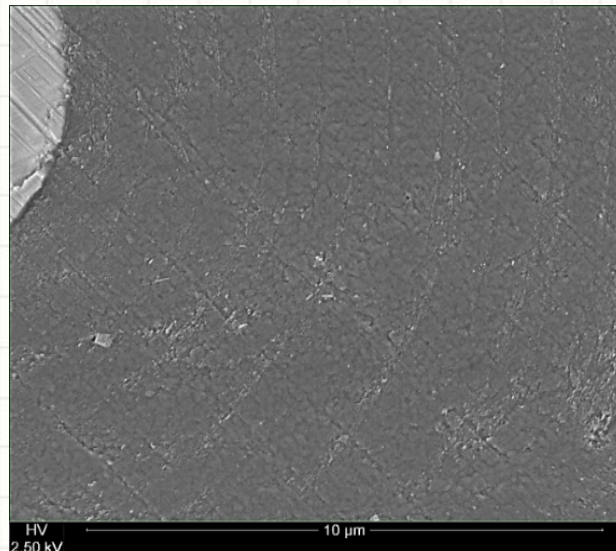
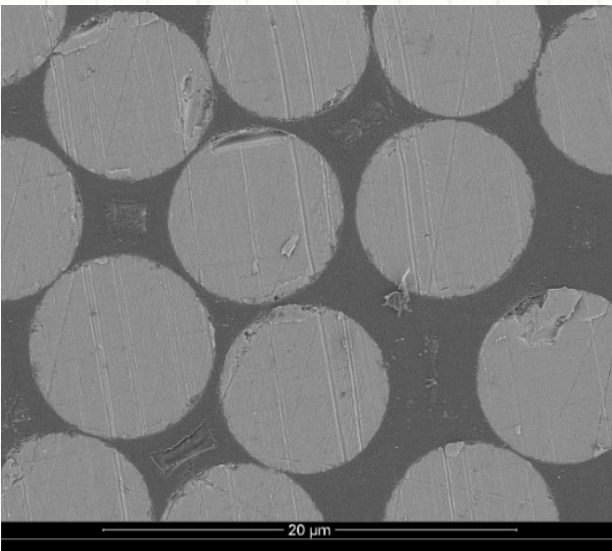
Topography, Amplitude and Phase at 523Hz. The dotted line ( $\Delta$ ) has been used to plot the 23 nm thick nanowire cross-section profile. Areas A and B are used to average the measured temperature with the probe in contact with the  $\text{SiO}_2/\text{Si}$  layer and the NW respectively

# Application – $\text{In}_3\text{SbTe}_2$ Nanowires



	13 ( $l_{\text{NW}}=80$ nm)	23 ( $l_{\text{NW}}=100$ nm)
$R_{\text{NW}}$ (K.m <sup>2</sup> .W <sup>-1</sup> )	$(3.4 \pm 0.7) \times 10^{-9}$	$(6.4 \pm 1.3) \times 10^{-9}$
$R_{\text{NW}}$ (K.m <sup>2</sup> .W <sup>1/K</sup> )	$6.19 \times 10^{-10}$	$1.09 \times 10^{-9}$

# Application – Pyro-Carbon Composite



## Glass Fiber Properties

<b>Thermal conductivity (k)</b>	<b>1.1 W.m<sup>-1</sup>.K<sup>-1</sup></b>
<b>Density (ρ)</b>	<b>2200 Kg.m<sup>-3</sup></b>
<b>Specific heat (C<sub>p</sub>)</b>	<b>748 J.kg<sup>-1</sup>.K<sup>-1</sup></b>

# Application – Pyro-Carbon Composite

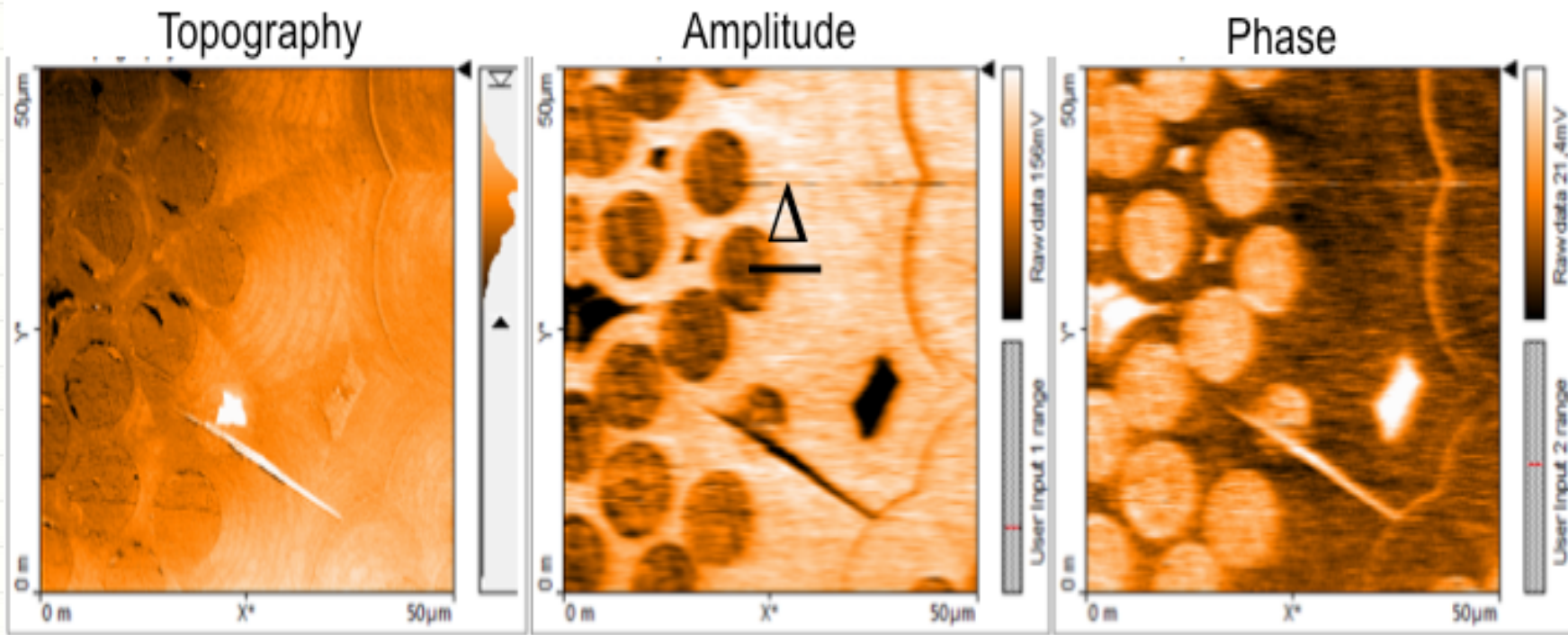
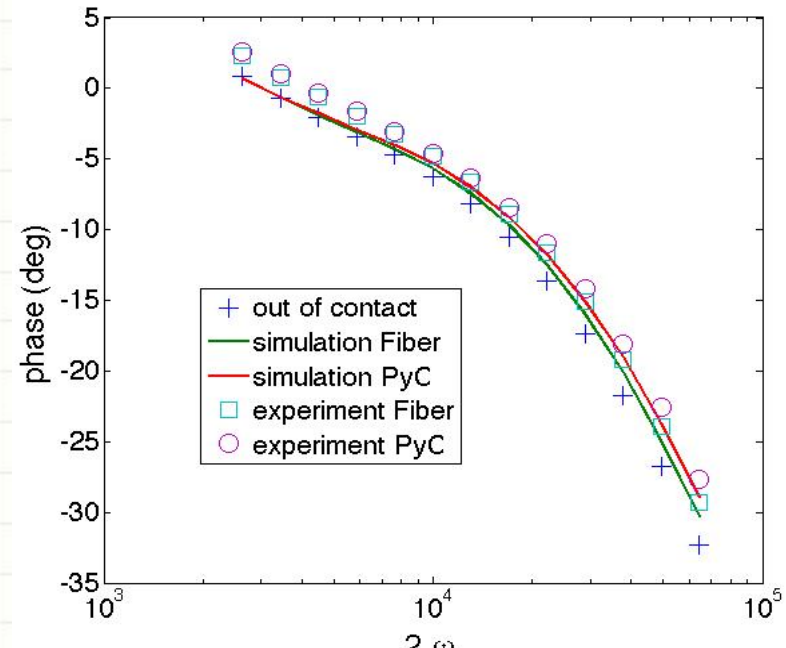
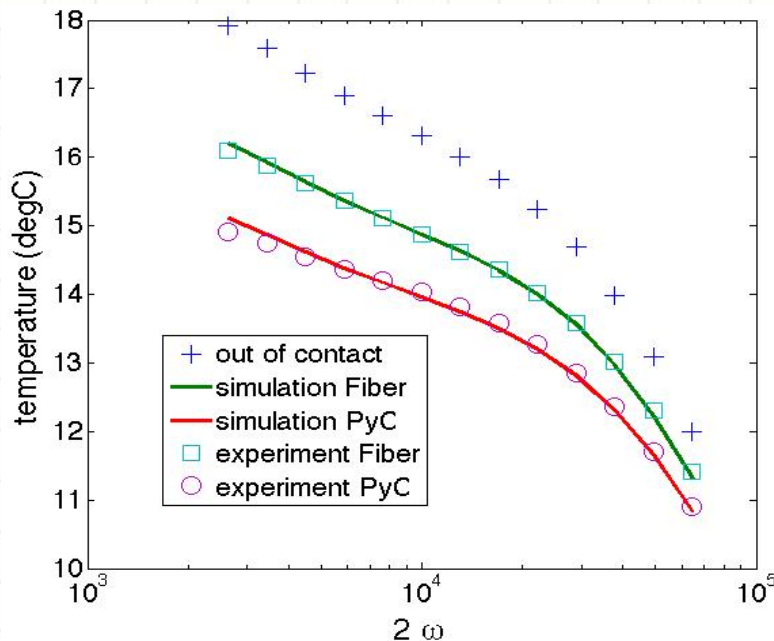


Image Size: 50μm  
Contact Force: 10 nN  
Current: 750 μA  
Frequency : 1125 Hz

# Application – Pyro-Carbon Composite

## *Simulated Results*



Measured temperature (left) and phase (right) against  $2\omega$ . Plain lines are simulations using the identified  $R_c$  when the probe is in contact with the silica fiber and the identified  $k_{eff}$  of the PyC when the probe is in contact with the PyC.

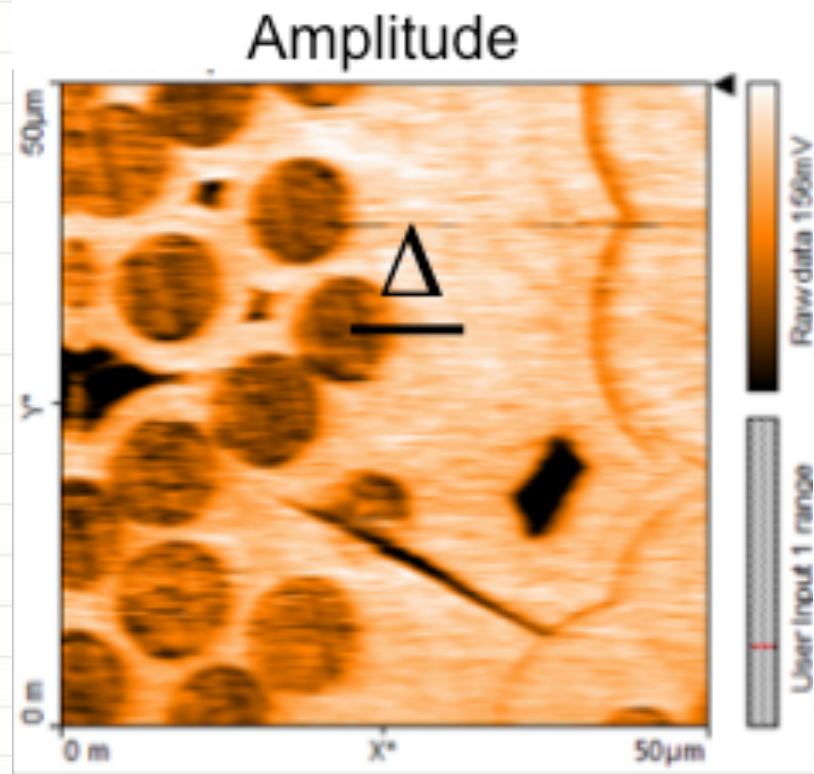
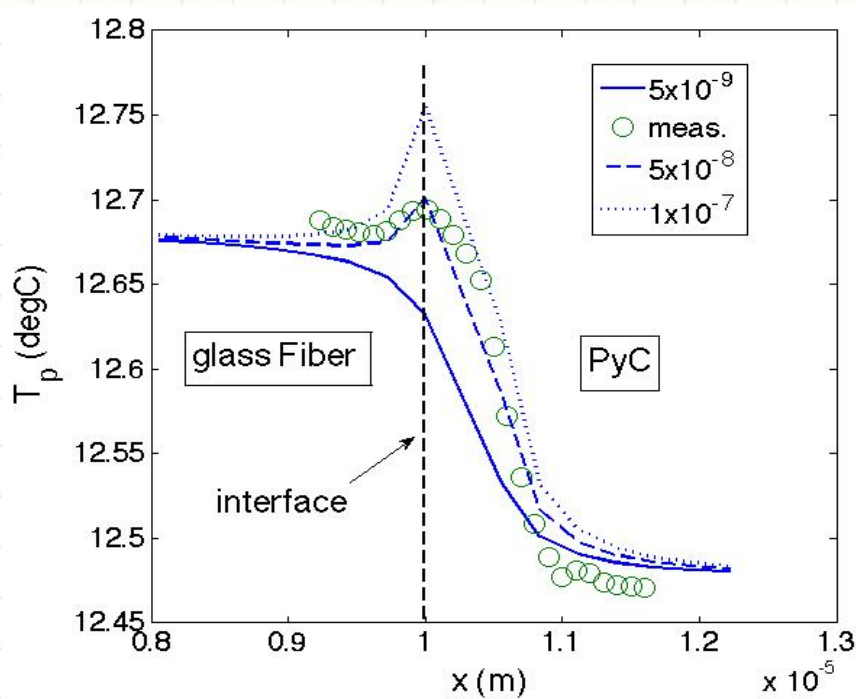
### Probe in Contact with Fiber

$$R_c = (8.80 \pm 0.3) \times 10^{-8} \text{ K.m}^2.\text{W}^{-1}$$

### Probe in Contact with PyC Matrix

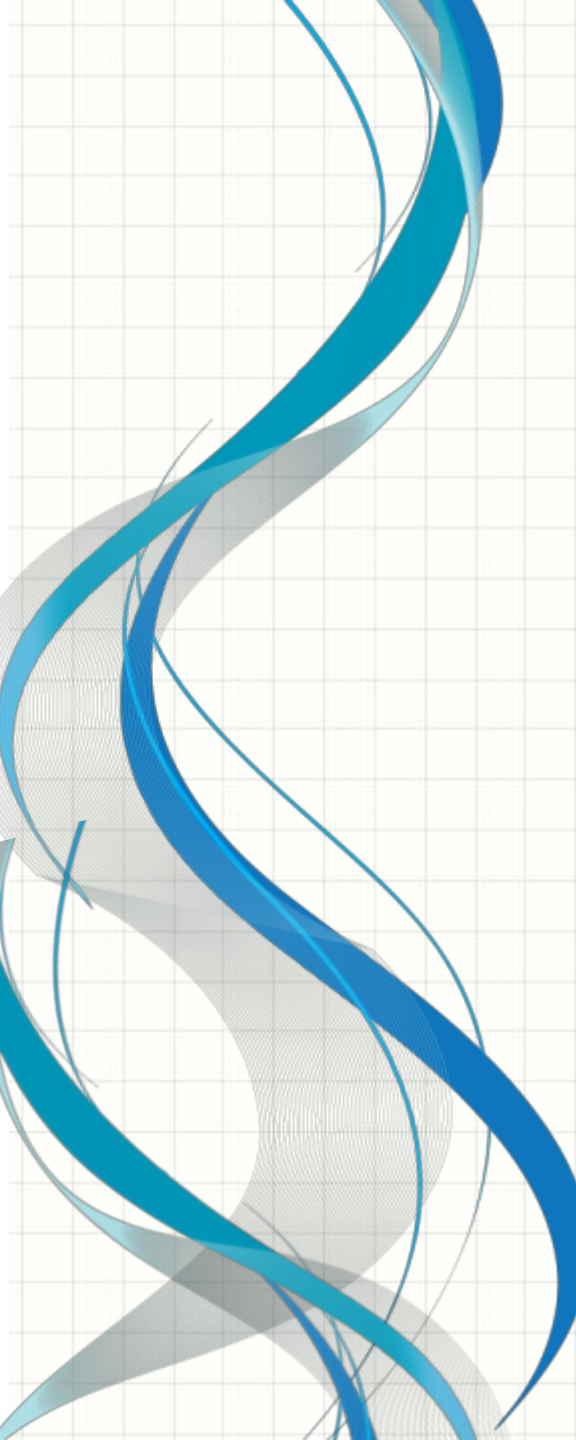
$$k_{eff} = 21.01 \pm 4.2 \text{ W.m}^{-1}.\text{K}^{-1}$$

# Application – Pyro-Carbon Composite



Measured probe temperature along the  $\Delta$  line and simulated probe temperature values considering three different values for Effective Thermal Boundary Resistance (RTH) (in  $\text{K} \cdot \text{m}^2 \cdot \text{W}^{-1}$ )

$$RTH = (5 \pm 1) \times 10^{-8} \text{ K} \cdot \text{m}^2 \cdot \text{W}^{-1}$$

A decorative graphic in the bottom-left corner consists of several thick, flowing lines in shades of blue and grey. The lines are rendered with a slight transparency and overlap, creating a sense of depth and motion. They curve from the bottom left towards the center of the slide.

# Conclusions Perspectives

# Conclusions 1/2

- The probe are micro-fabricated thermoresistive devices that allow to heat the investigated surface and measure the temperature change of the resistive element with spatial accuracy of 100 nm (atmos. Cond.) and lower (overlapping and/or vacuum)
- The probe thermal impedance is derived experimentally from the out-of-contact configuration when the probe is far away from the investigated surface
- The thermal contact resistance at the interface between the probe and the surface includes all the physical phenomena occurring in this region (solid-solid contact, water meniscus formation, diffusion and radiation through the air in ambient configuration) as well as the influence of the contact on the probe thermal impedance

# Conclusions 2/2

- We demonstrated a constant contact area and thermal contact resistance when the probe scan heterogeneous surface. This seems to be true with a class of materials including dielectrics and semiconductors.
- The unknown parameters are identified from the resolution of the inverse heat conduction problem using the frequency and spatial dependent probe temperature.
- Quantitative SThM has been achieved in three applications involving very different configurations.

# Perspectives

- The main improvements reside in the quantification and sensitivity
- Development of new probes in order to make the heating very local at the tip and then increasing the heat flux part into the sample.
- Multi-probes development for in-plan thermal characterization

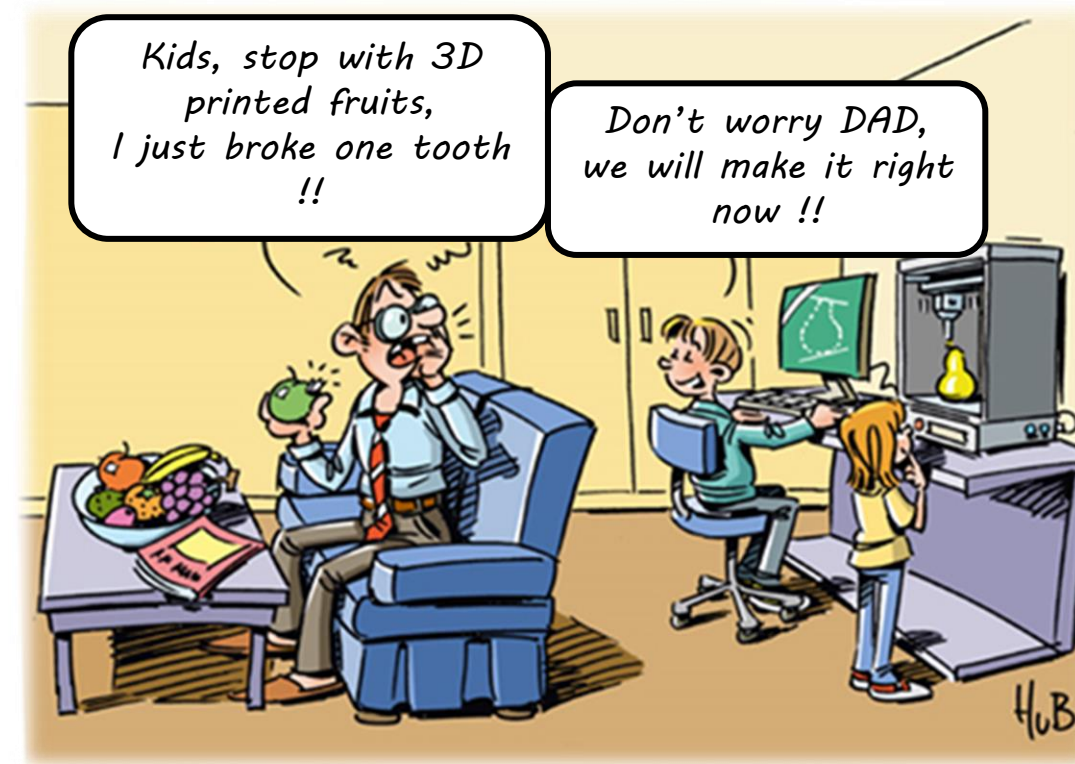
# Short Introduction to the Additive Manufacturing

Robin KROMER, Associate Professor



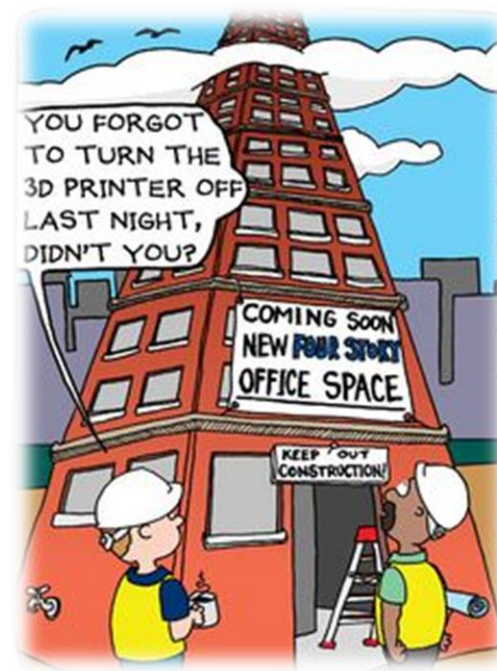
# What if ...

... anyone could make almost **anything** they need, **anywhere** ?



# What if ...

... all it took to set up an advanced manufacturing facility was **electricity**, access to some **raw materials**, and a **computer**?



# What if ...

... an entrepreneur could **start selling** a new product **without** ever needing to buy a **machine**, purchase a **tool** or prove out a **mold**; and could **start shipping** products the day after the design is finalized?



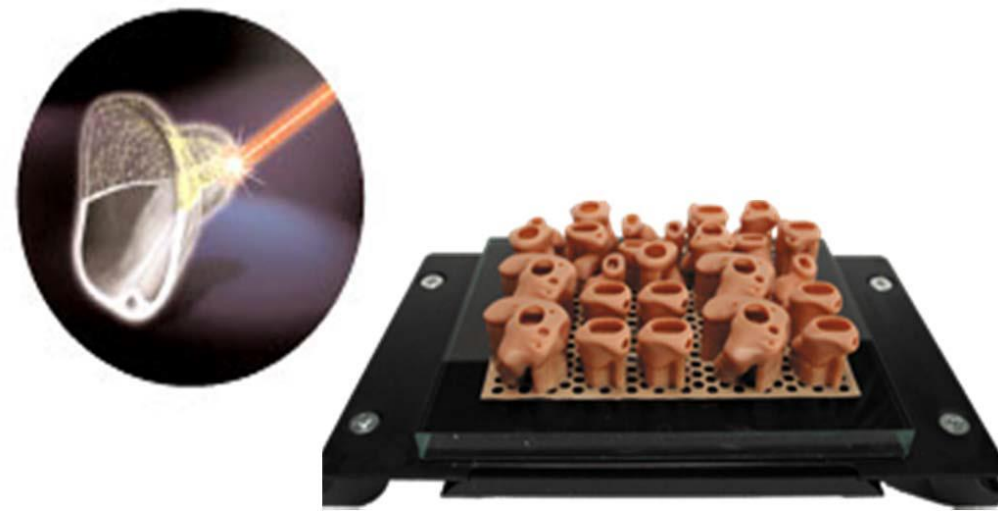
# What if ...

... part of your watch broke and you don't want to buy a new watchband, so you use a free sketching tool to design a replacement, which you upload on a website and which is **shipped to your house a couple of days later, in the material of your choosing, for less than \$5?**



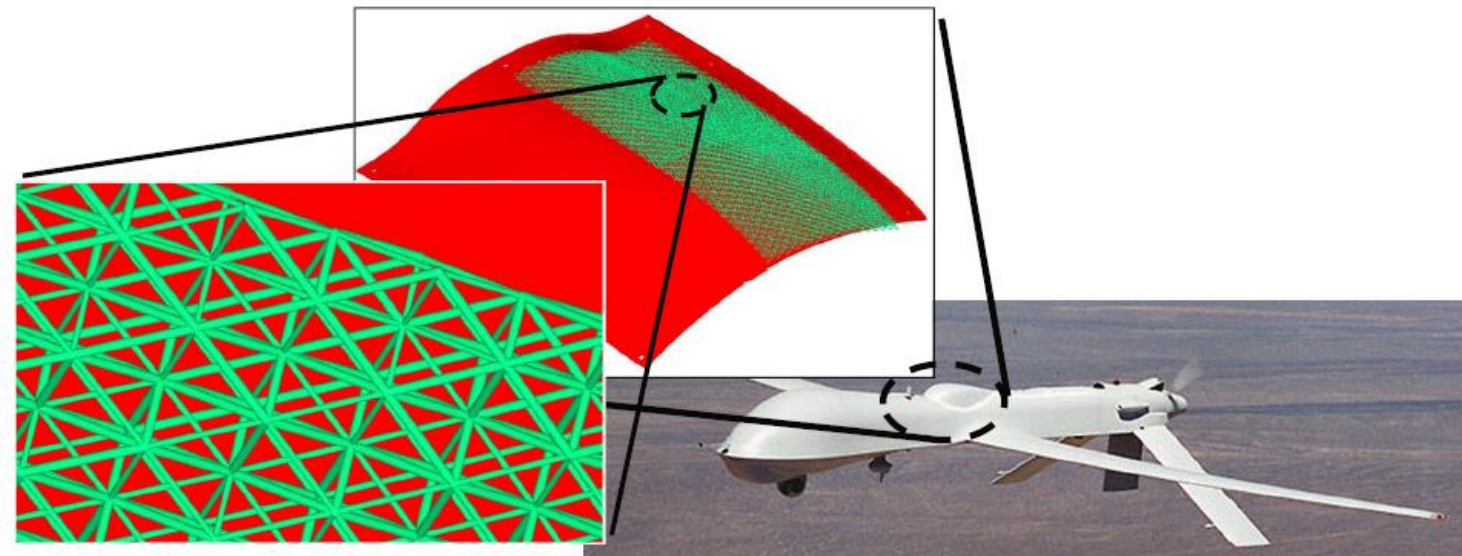
# What if ...

... you automated the manufacture of hearing aids so that you simply scanned the ear, printed out a custom-fitted hearing aid, inserted the electronics, and shipped them by the millions?



# What if ...

... you wanted to **control** the overall **geometry** of a part, which is made up of a **truss** network, where each truss has an **optimized thickness** and could have an individually **controllable microstructure or material**?



# What if ...

... all of these activities were already happening and most people had no clue?

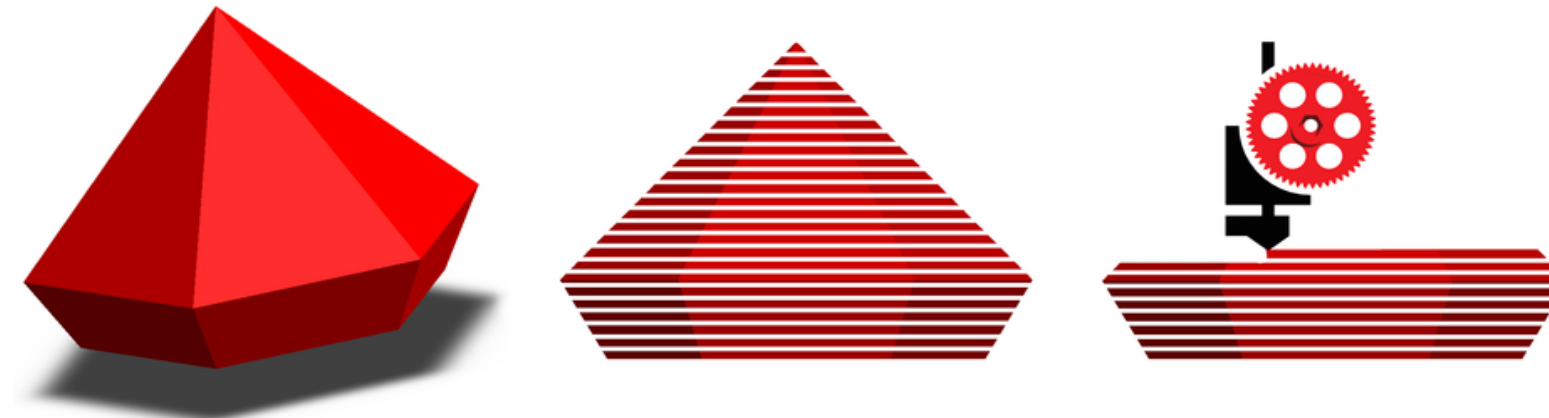


All of this is possible and is currently being done with  
**Additive Manufacturing Technologies**

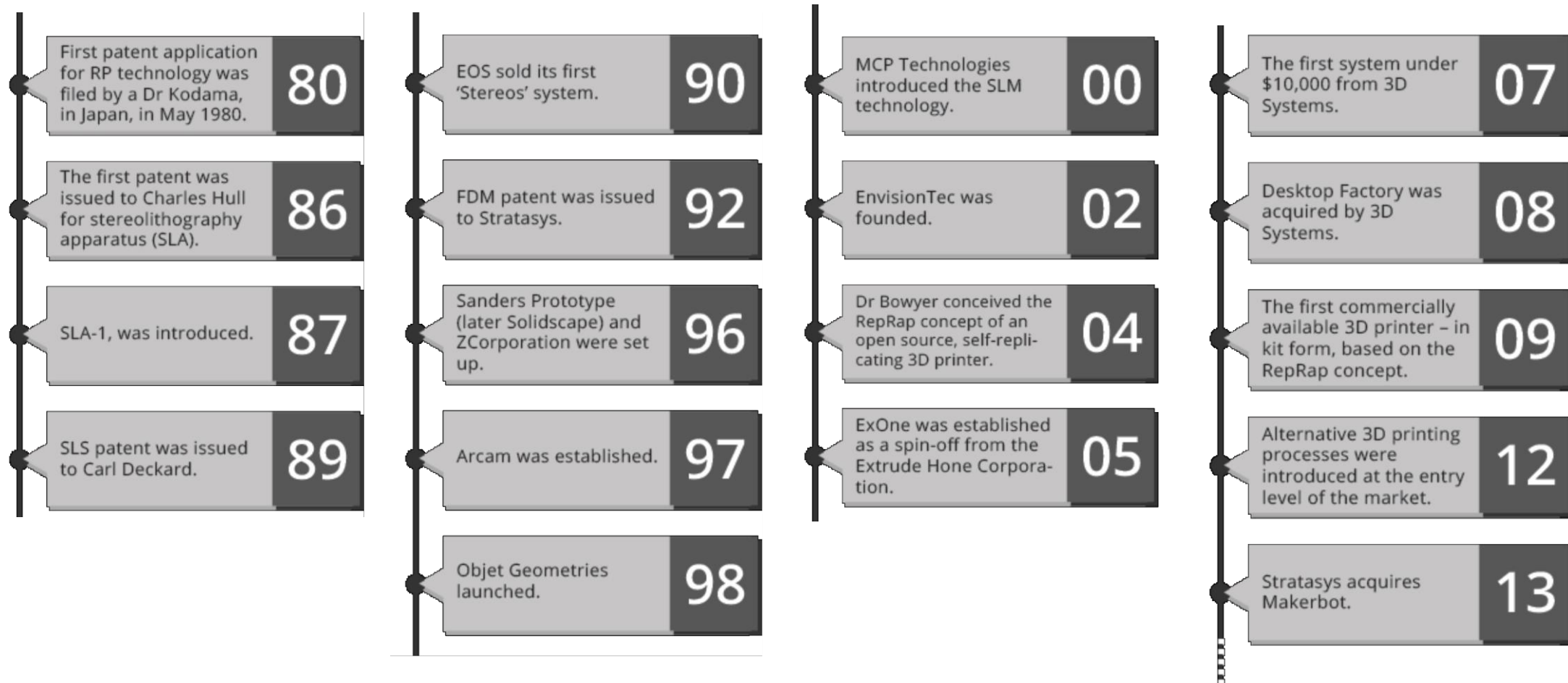
« *The right quantity of the right material at the right place  
and for the good reason* »

# Introduction

- Additive Manufacturing by ASTM (American Society for Testing and Materials ): “Process of joining materials to make objects from 3D model data, usually layer upon layer, as opposed to subtractive manufacturing methodologies, such as traditional machining”

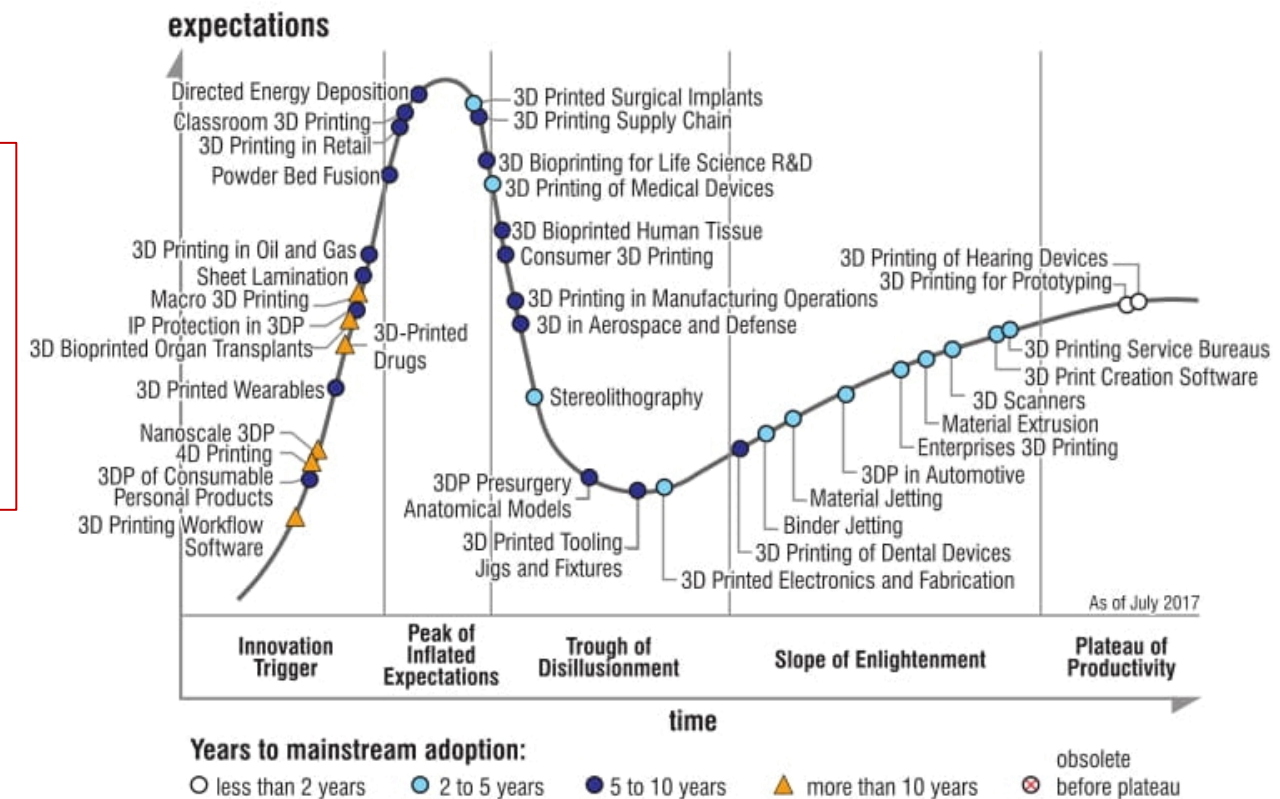


# History



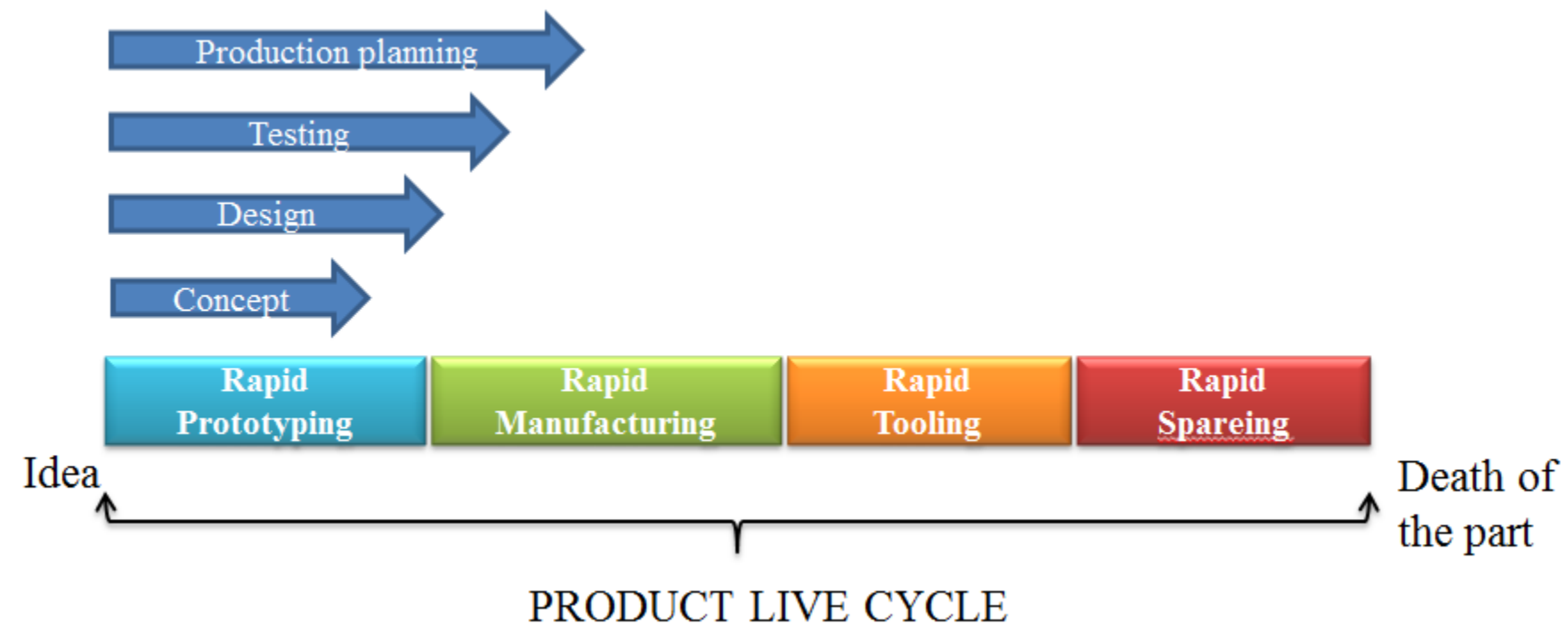
# Development

“3D PRINTING’S POTENTIAL TO REVOLUTIONIZE MANUFACTURING IS QUICKLY BECOMING A REALITY.”

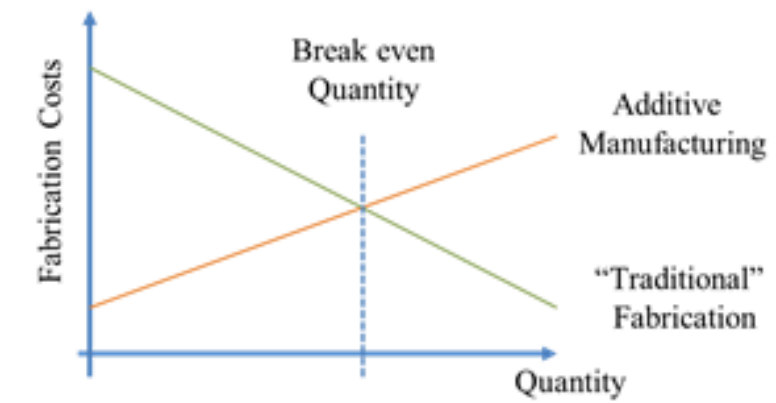
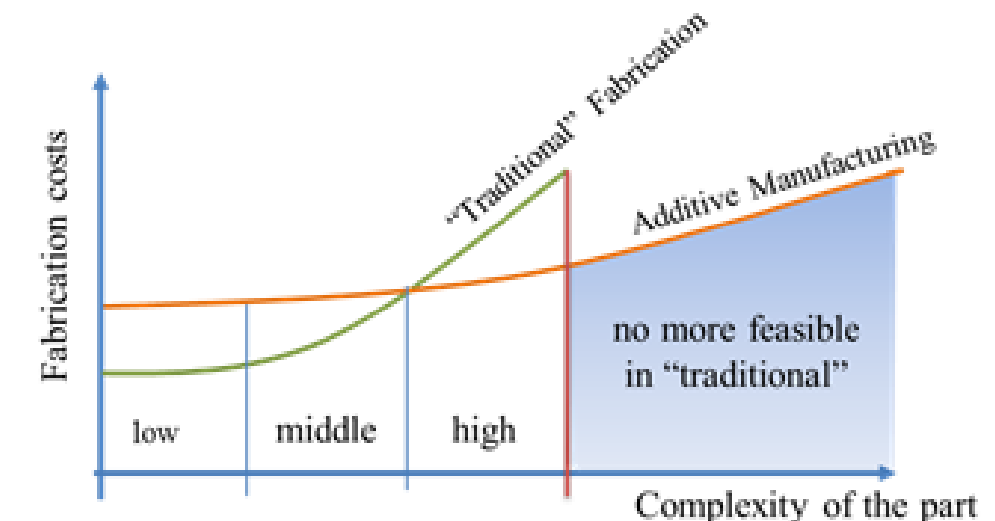
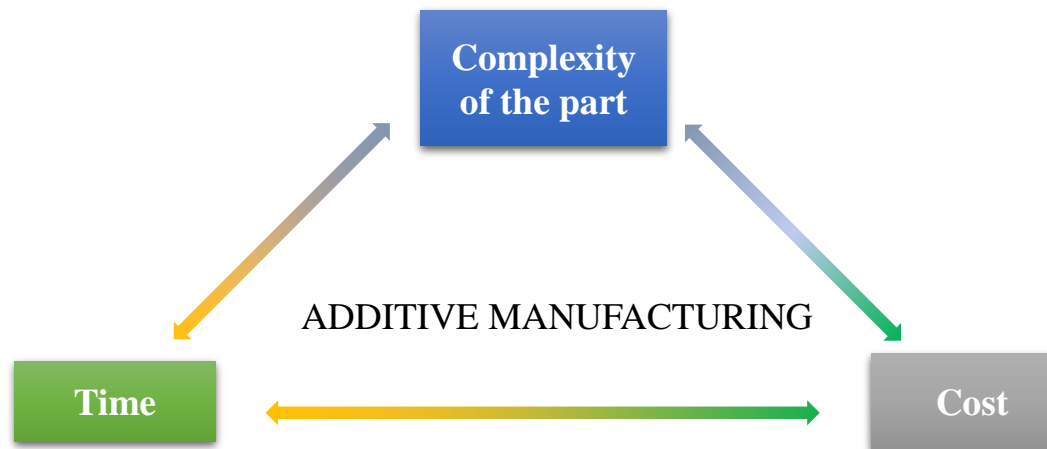


# Past ...

- Over the last years, AM technology became valid for the whole lifecycle of a product



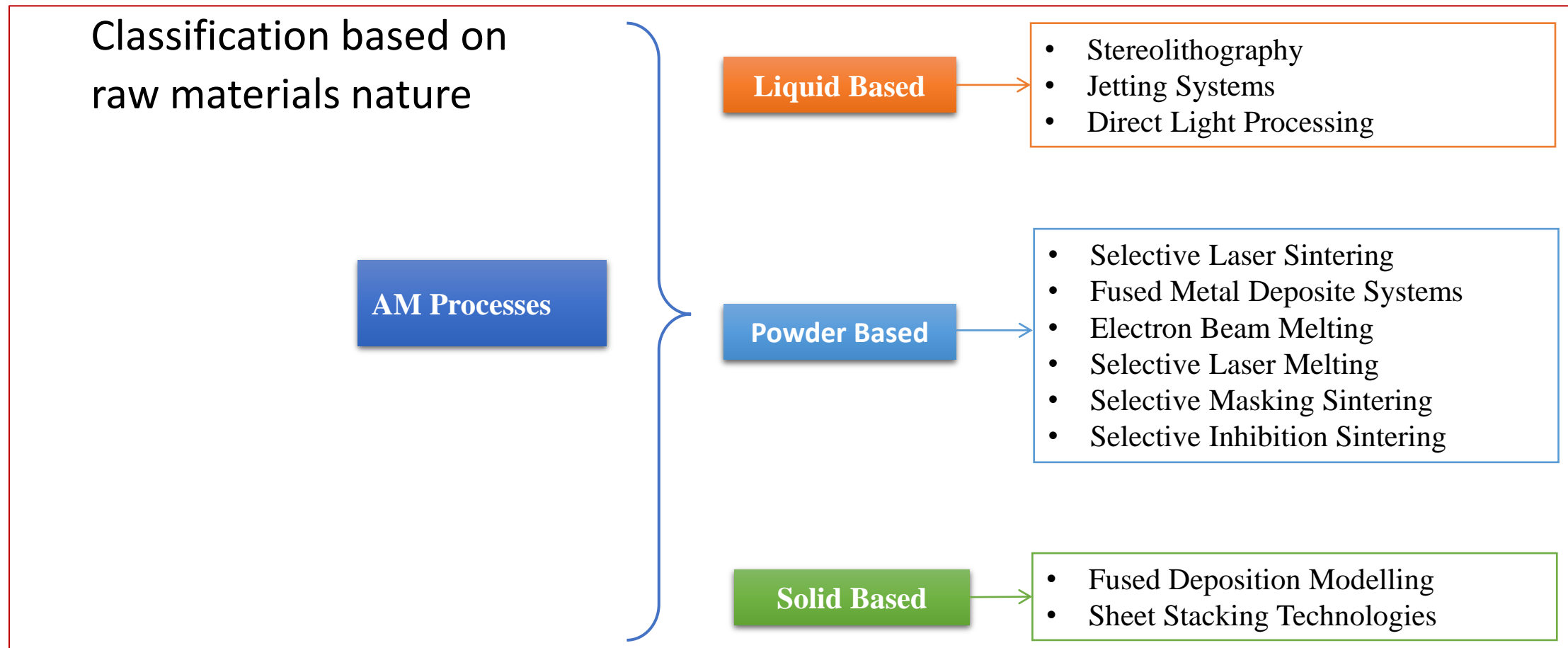
# Now ...



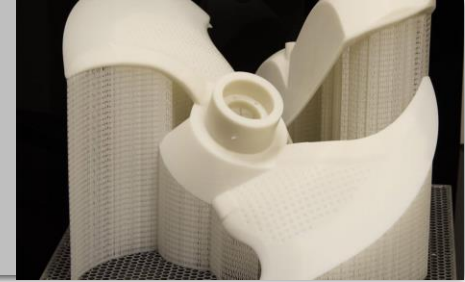
# Table of contents

- 1. Process**
- 2. Design**
- 3. Perspectives**

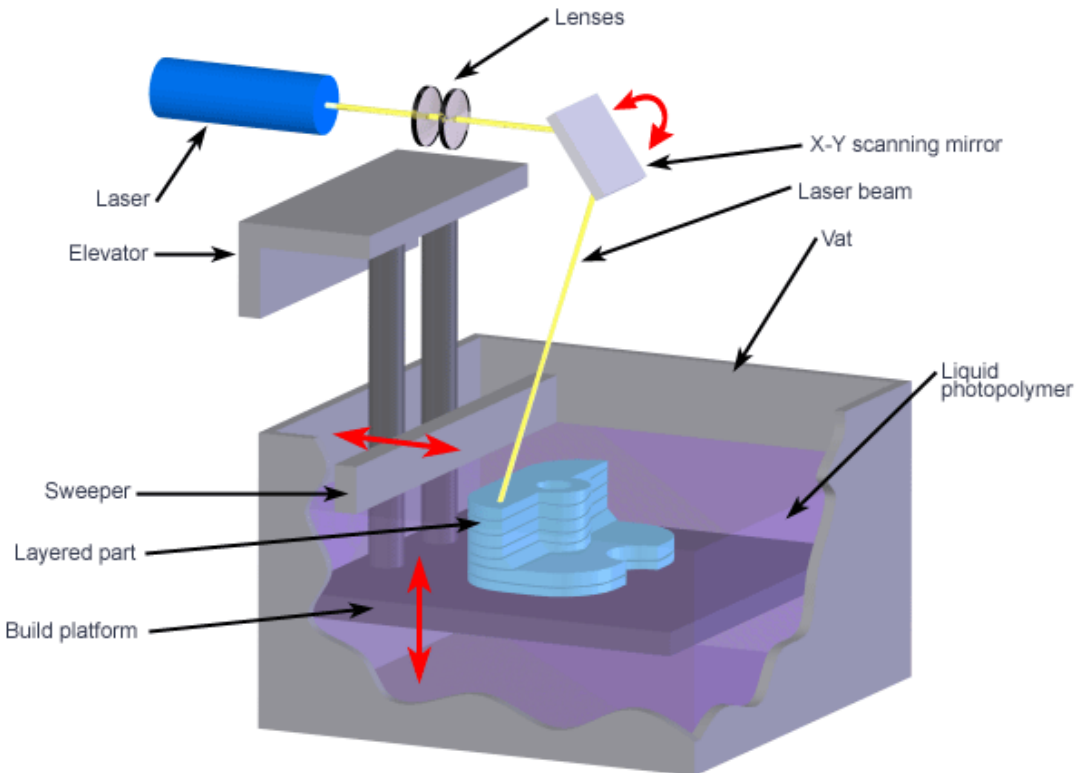
# Process



# Stereolithography



- UV laser cures resin
  - Build platform lowers with the part into the resin vat (or rises from it in some cases)
  - New layer of resin is cured and process repeated
- 
- Materials:
    - UV curable resins
    - Waxes
    - Ceramic
  - Manufacturers:
    - 3D Systems, DWS, Lithoz...

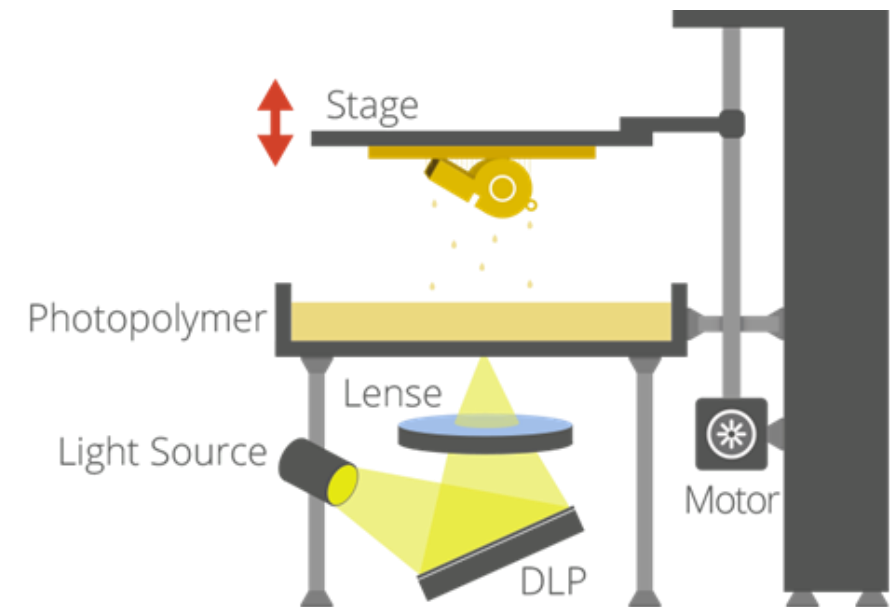


Copyright © 2008 CustomPartNet

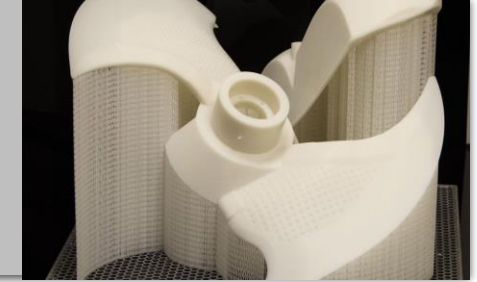
# Direct Light Processing



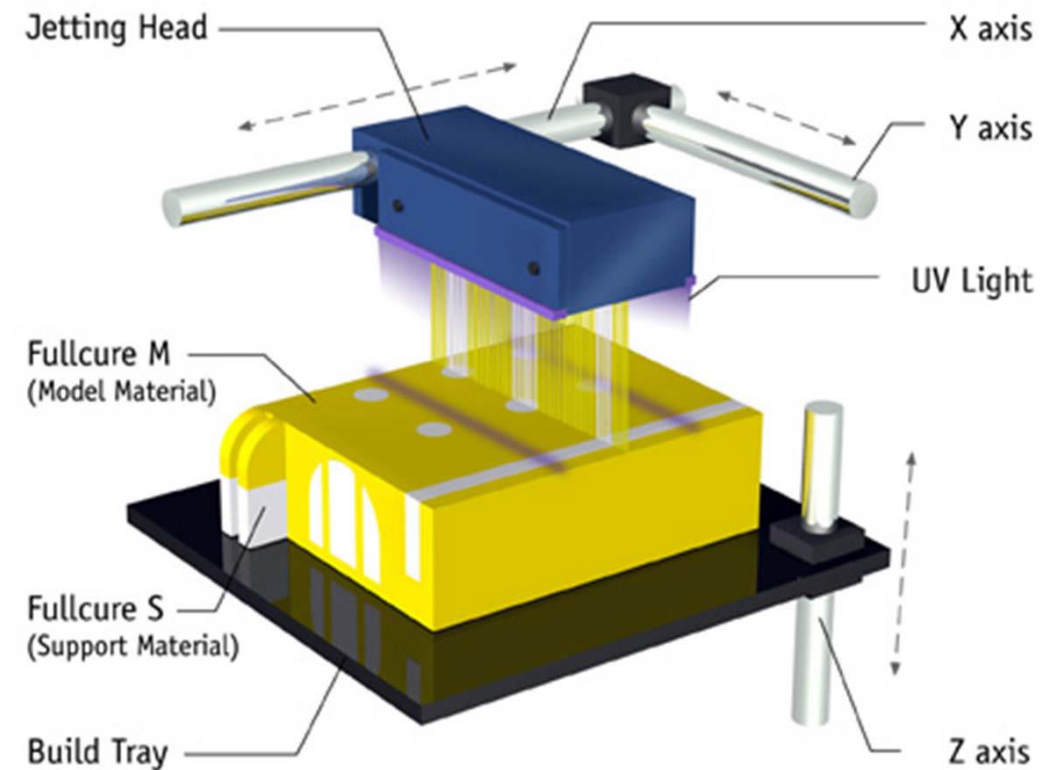
- The major difference is the light source: conventional light source
- Liquid crystal display panel or a deformable mirror device (DMD): apply entire surface of the vat of photopolymer resin
- Materials:
  - UV curable resins
  - Waxes
  - Ceramic
- Manufacturers:
  - 3D Systems, DWS, Lithoz,
  - +few hobbyist oriented



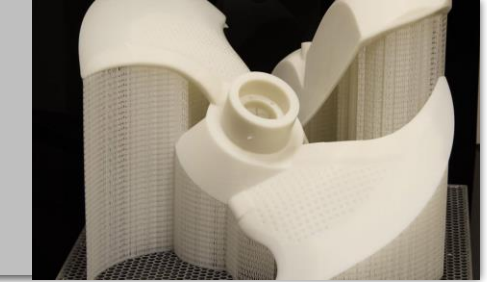
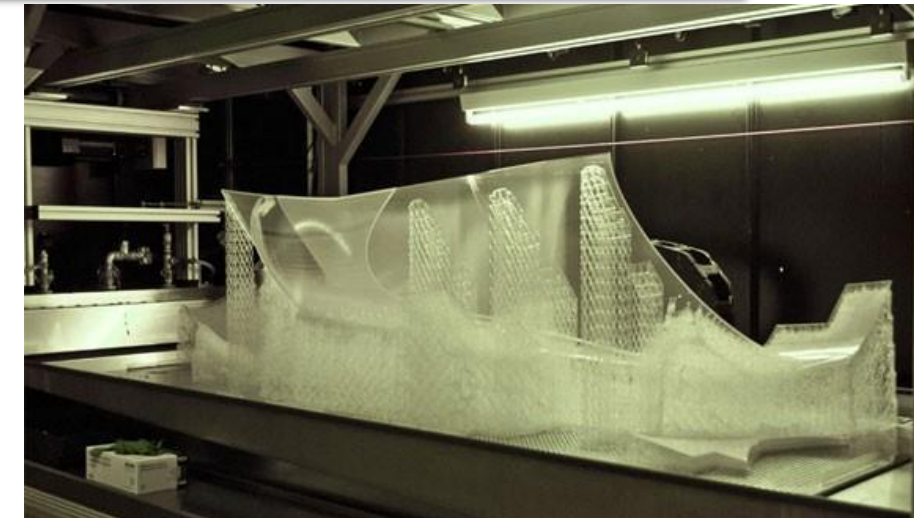
# Jetting System



- Droplets are selectively deposited
- Materials layers are cured and hardened using UV light
- Bi-material: support & model
- Materials:
  - Photopolymers
  - Waxes
- Manufacturers:
  - Trimaker, Rapishare



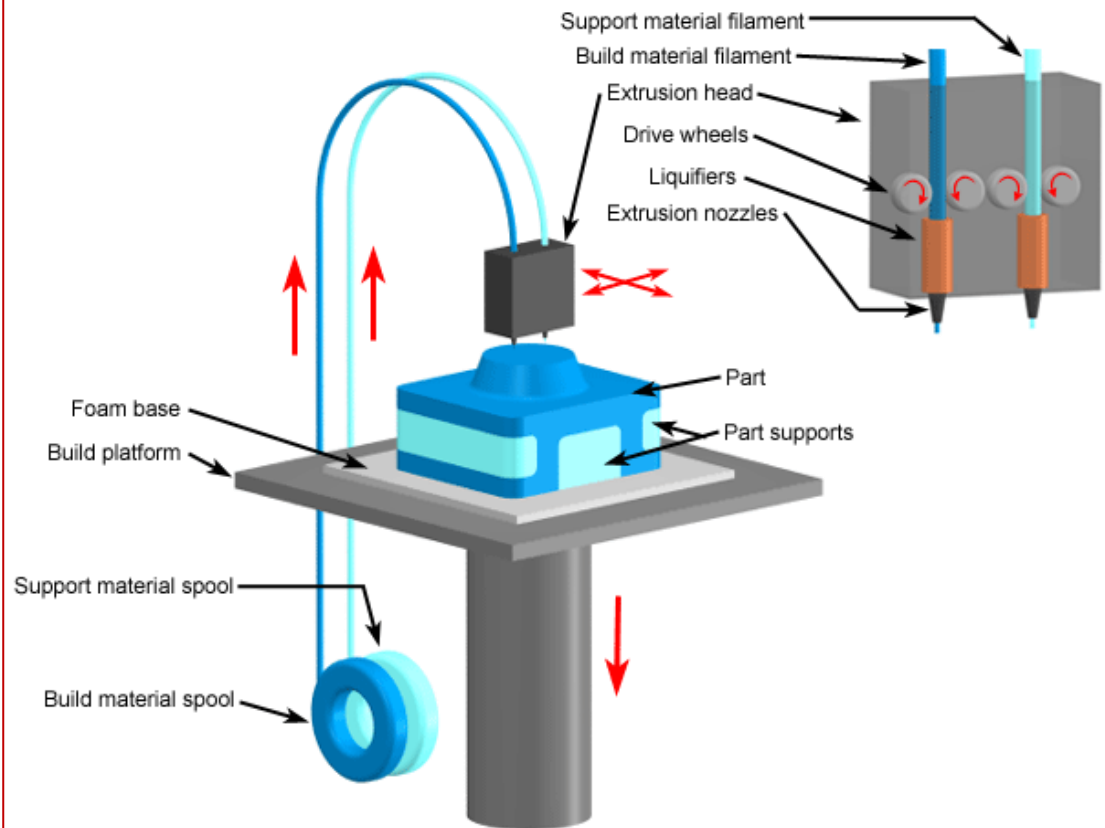
# Stereolithography



# Fused Deposition Modeling

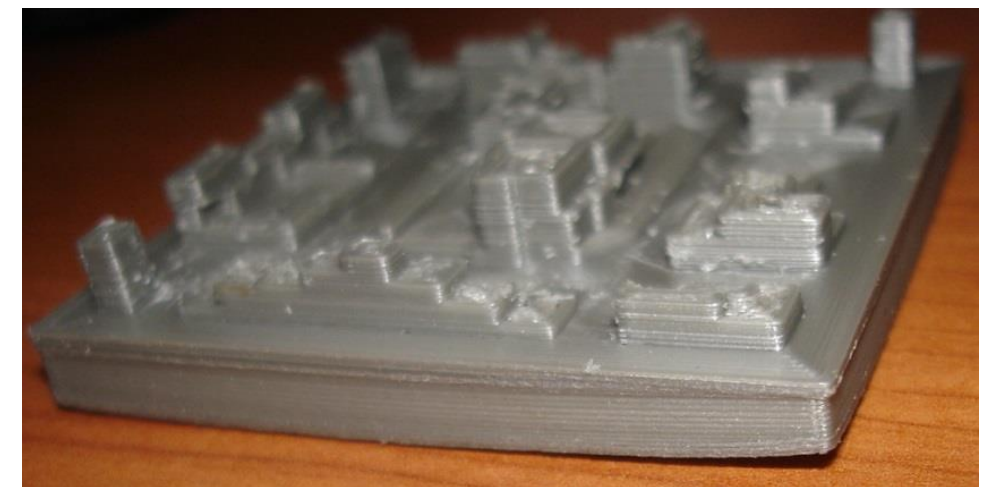
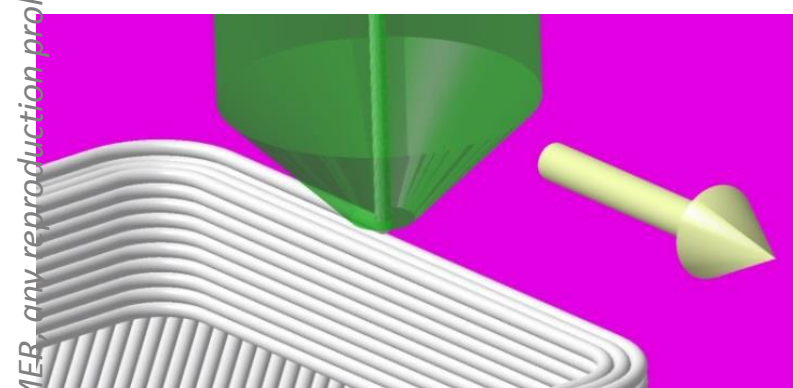
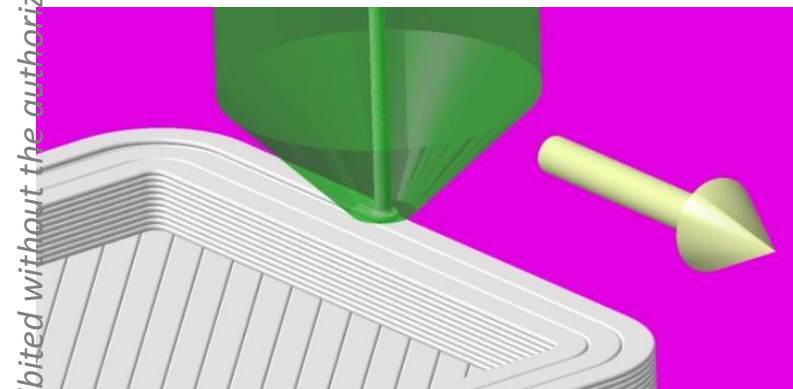


- Molten plastic is extruded to form a layer of the part (or matter droplet)
  - Build platform lowers with the part and process repeats
  - Special support material with second nozzle – washed away
- 
- Materials:
    - ABS
    - Polycarbonate
    - Nylon
  - Manufacturers:
    - Stratasys, 3D systems, Mixshop



Copyright © 2008 CustomPartNet

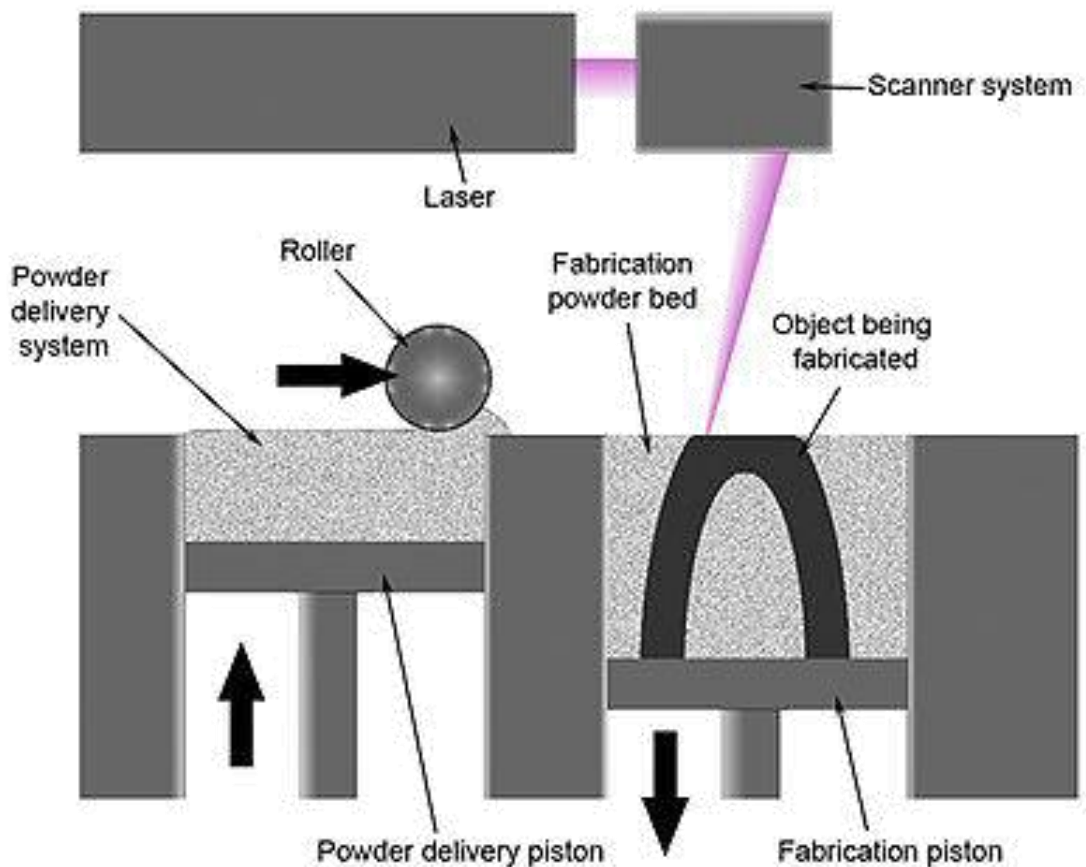
# Fused Deposition Modeling



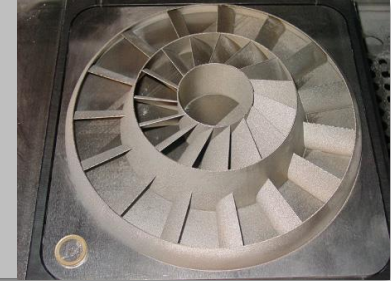
# Selective Laser Sintering/Melting



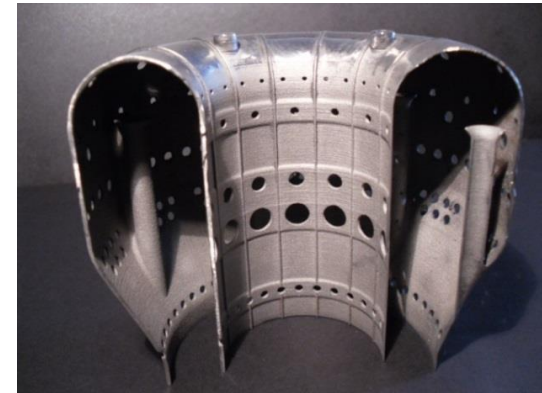
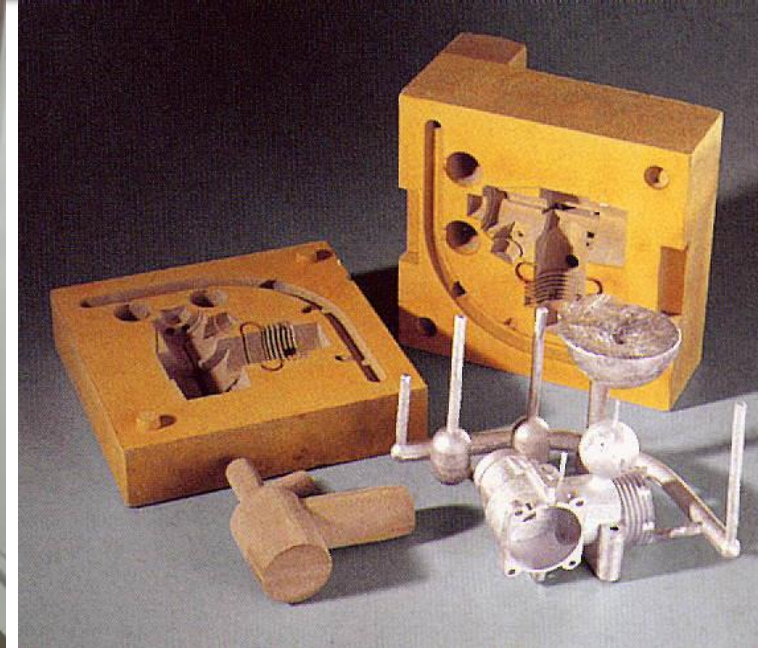
- Laser track is traced across a powder bed according to the 3D data in the X-Y axes.
  - As the laser interacts with the surface of the powdered material it sinters, or fuses, the particles to each other forming a solid.
  - Powder bed is layered and next pass of the laser fused with the previous layer.
  - Build chamber is completely sealed (temperature, environment)
- 
- Materials:
    - Thermoplastic : ABS, PA, PEEK,
    - Metallic : Al, Ti, Ni, SS , Cr and alloys
    - Sand
  - Manufacturers:
    - SLM, EOS, Renishaw...



# Selective Laser Sintering/Melting



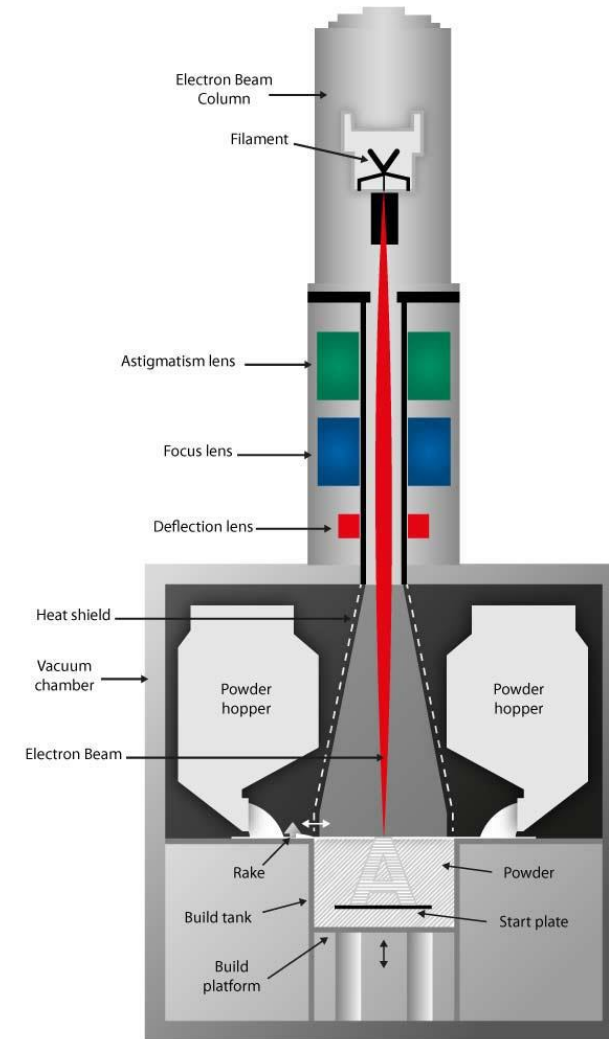
- + Precision and tolerance
- + Mechanical properties
  
- - Volume max.
- - Residual stress
- - Support



# EBM



- Similarities with SLM but the energy source is electron beam
- Powder bed sintering before melting
- Materials:
  - Metallic : Al, Ti, Ni, SS and alloys
- Manufacturers:
  - ARCAM



# EBM



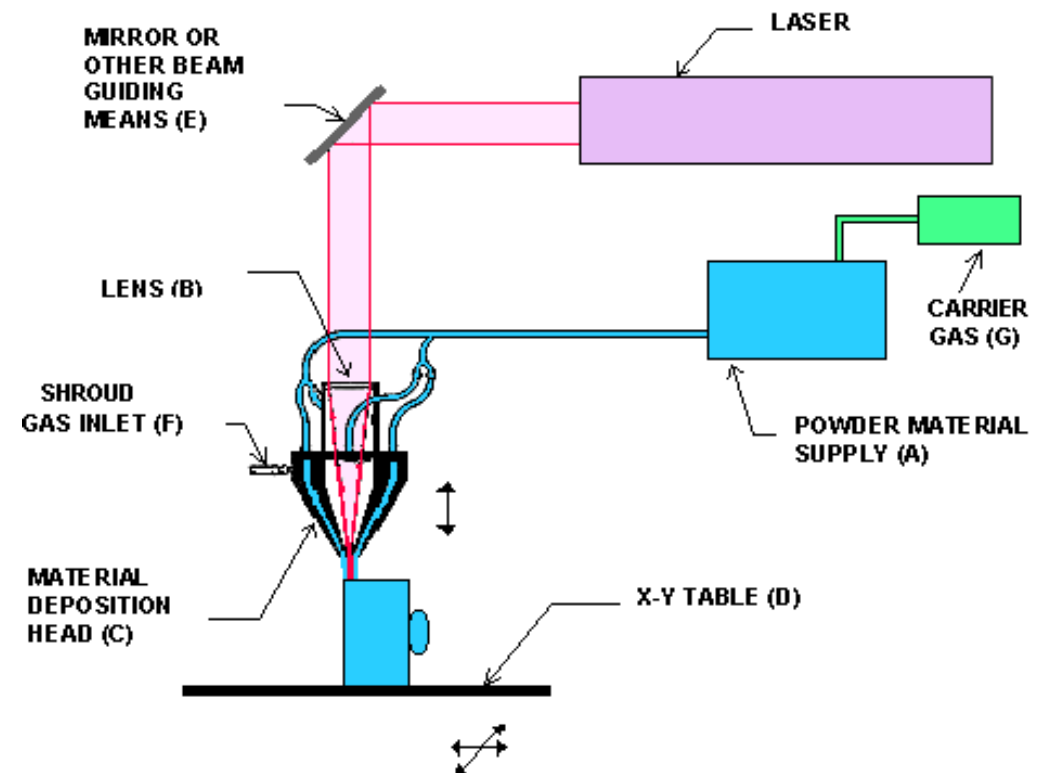
- + Process faster (2x/SLM)
- + Better homogeneity (20%/SLM)
  
- - In-situ analysis
- - Roughness
- - Residual stresses



# Laser Powder Forming



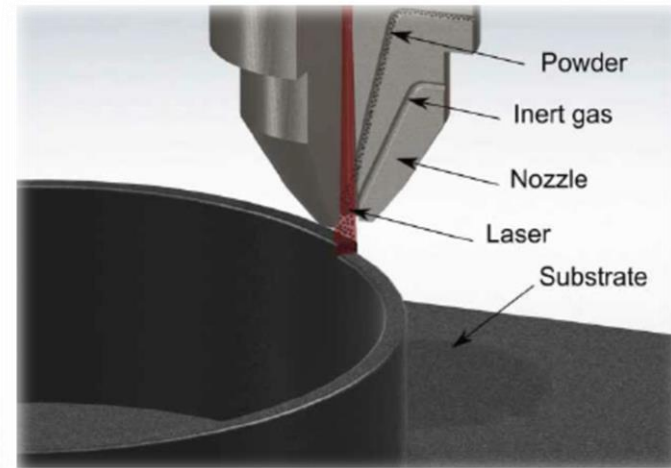
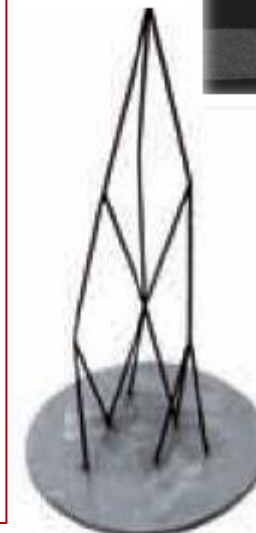
- Consists of a nozzle mounted on a multi axis arm
- Material is provided (wire or powder)
- And melted upon deposition with a laser or electron beam
- Materials:
  - Metallic : Al, Ti, Ni, SS and alloys
- Manufacturers:
  - BeAM, Optomec, InssTek



# Laser Powder Forming



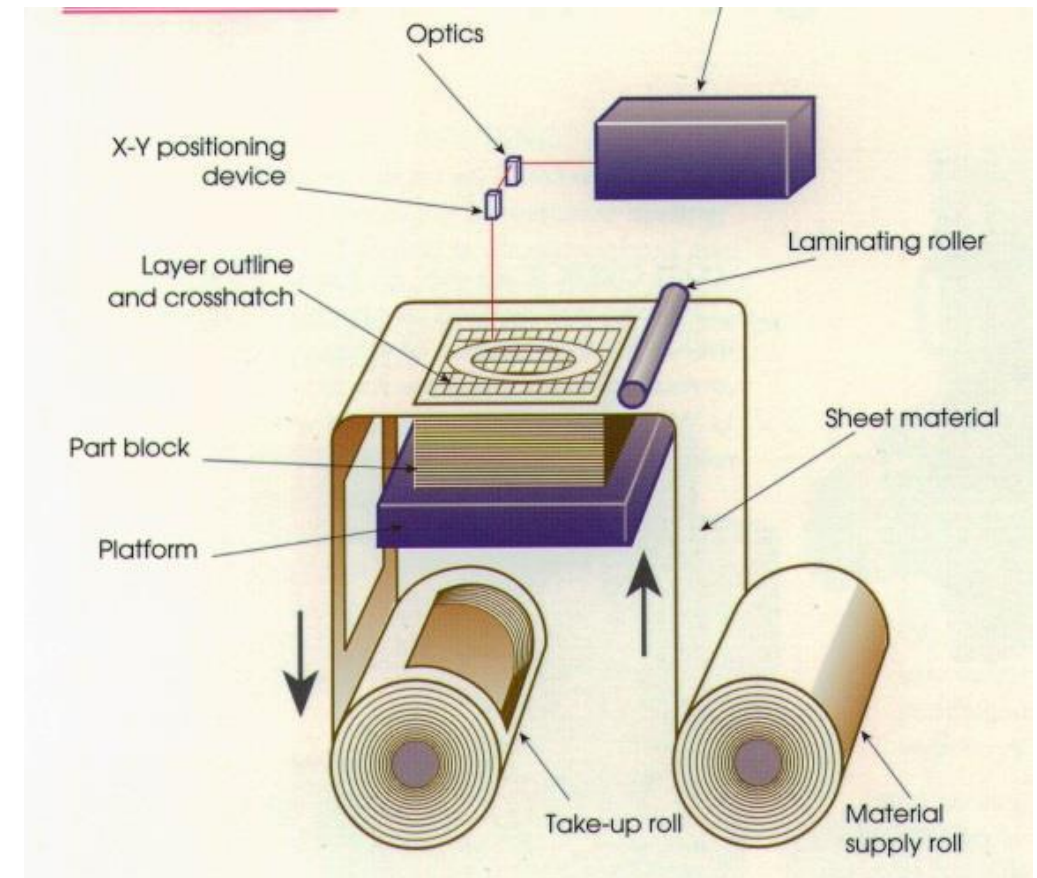
- + no support, multi-material and coating
- + Dimension and Fast (4x/SLM)
- - Roughness and residual stress
- - Fatigue endurance
- - In-situ control complex



# Sheet Stacking Technology



- Sheets are used
- Laser beam cuts the contour of each layer
- Glue activated by hot rollers
- Materials:
  - Metal, Wood, Plastic
- Manufacturers:
  - Amkor, 3D systems, EOS



CATEGORIES	TECHNOLOGIES	PRINTED "INK"	POWER SOURCE	STRENGTHS / DOWNSIDES
Material Extrusion	Fused Deposition Modeling (FDM)	Thermoplastics, Ceramic slurries, Metal pastes	Thermal Energy	<ul style="list-style-type: none"> <li>Inexpensive extrusion machine</li> <li>Multi-material printing</li> <li>Limited part resolution</li> <li>Poor surface finish</li> </ul>
	Contour Crafting			
Powder Bed Fusion	Selective Laser Sintering (SLS)	Polyamides /Polymer	High-powered Laser Beam	<ul style="list-style-type: none"> <li>High Accuracy and Details</li> <li>Fully dense parts</li> <li>High specific strength &amp; stiffness</li> <li>Powder handling &amp; recycling</li> <li>Support and anchor structure</li> </ul>
	Direct Metal Laser Sintering (DMLS)	Atomized metal powder (17-4 PH stainless steel, cobalt chromium, titanium Ti6Al-4V), ceramic powder		
	Selective Laser Melting (SLM)	Atomized metal powder (17-4 PH stainless steel, cobalt chromium, titanium Ti6Al-4V), ceramic powder		<ul style="list-style-type: none"> <li>Fully dense parts</li> <li>High specific strength and stiffness</li> </ul>
	Electron Beam Melting (EBM)	Electron Beam		
Vat Photopolymerization	Stereolithography (SLA)	Photopolymer, Ceramics (alumina, zirconia, PZT)	Ultraviolet Laser	<ul style="list-style-type: none"> <li>High building speed</li> <li>Good part resolution</li> <li>Oversizing, scanned line shape</li> <li>High cost for supplies and materials</li> </ul>
Material Jetting	Polyjet / Inkjet Printing	Photopolymer, Wax	Thermal Energy / Photocuring	<ul style="list-style-type: none"> <li>Multi-material printing</li> <li>High surface finish</li> <li>Low-strength material</li> </ul>
Binder Jetting	Indirect Inkjet Printing (Binder 3DP)	Polymer Powder (Plaster, Resin ), Ceramic powder, Metal powder	Thermal Energy	<ul style="list-style-type: none"> <li>Full-color objects printing</li> <li>Require infiltration during post-processing</li> <li>Wide material selection</li> <li>High porosities on finished parts</li> </ul>
Sheet Lamination	Laminated Object Manufacturing (LOM)	Plastic Film, Metallic Sheet, Ceramic Tape	Laser Beam	<ul style="list-style-type: none"> <li>High surface finish</li> <li>Low material, machine, process cost</li> <li>Decubing issues</li> </ul>
Directed Energy Deposition	Laser Engineered Net Shaping (LENS) Electronic Beam Welding (EBW)	Molten metal powder	Laser Beam	<ul style="list-style-type: none"> <li>Repair of damaged / worn parts</li> <li>Functionally graded material printing</li> <li>Require post-processing machine</li> </ul>

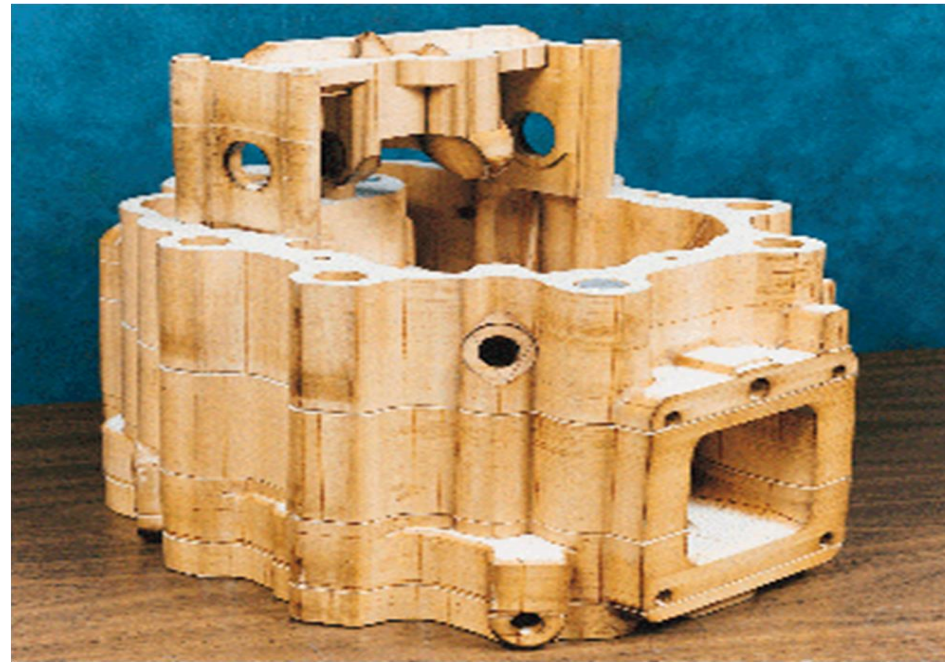
# Touch and Feel



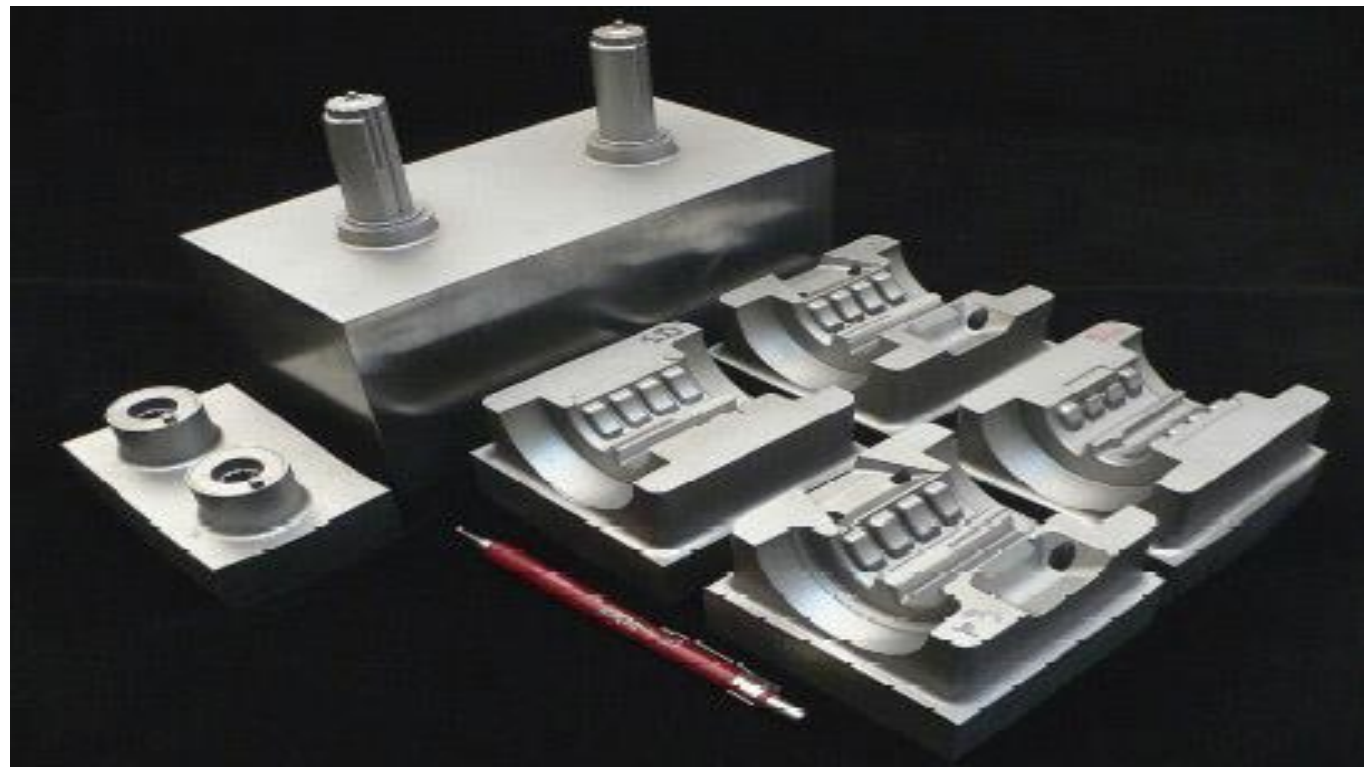
# Form, Fit and Function



# Patterns or Molds for Casting



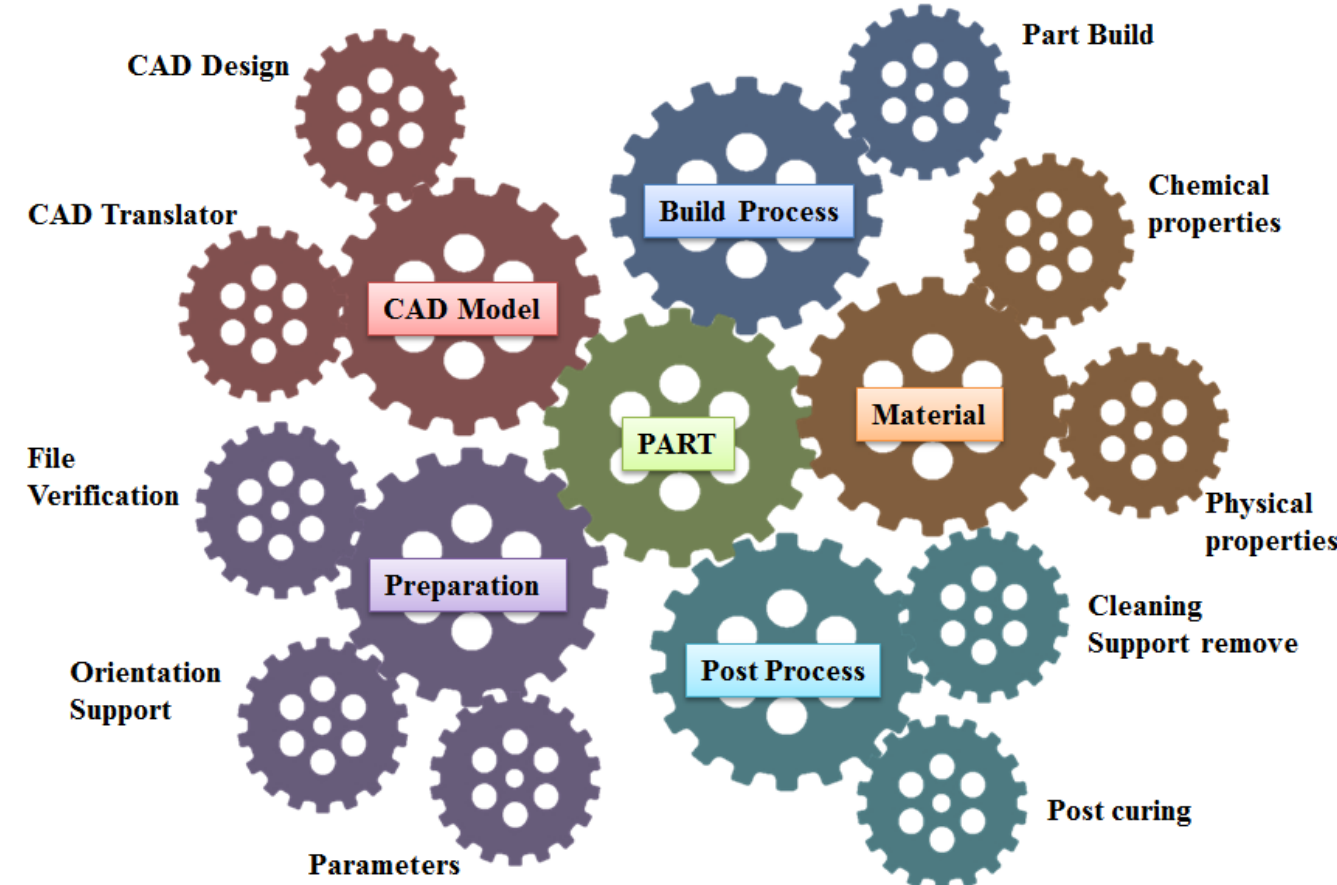
# Direct Tooling and Prototypes



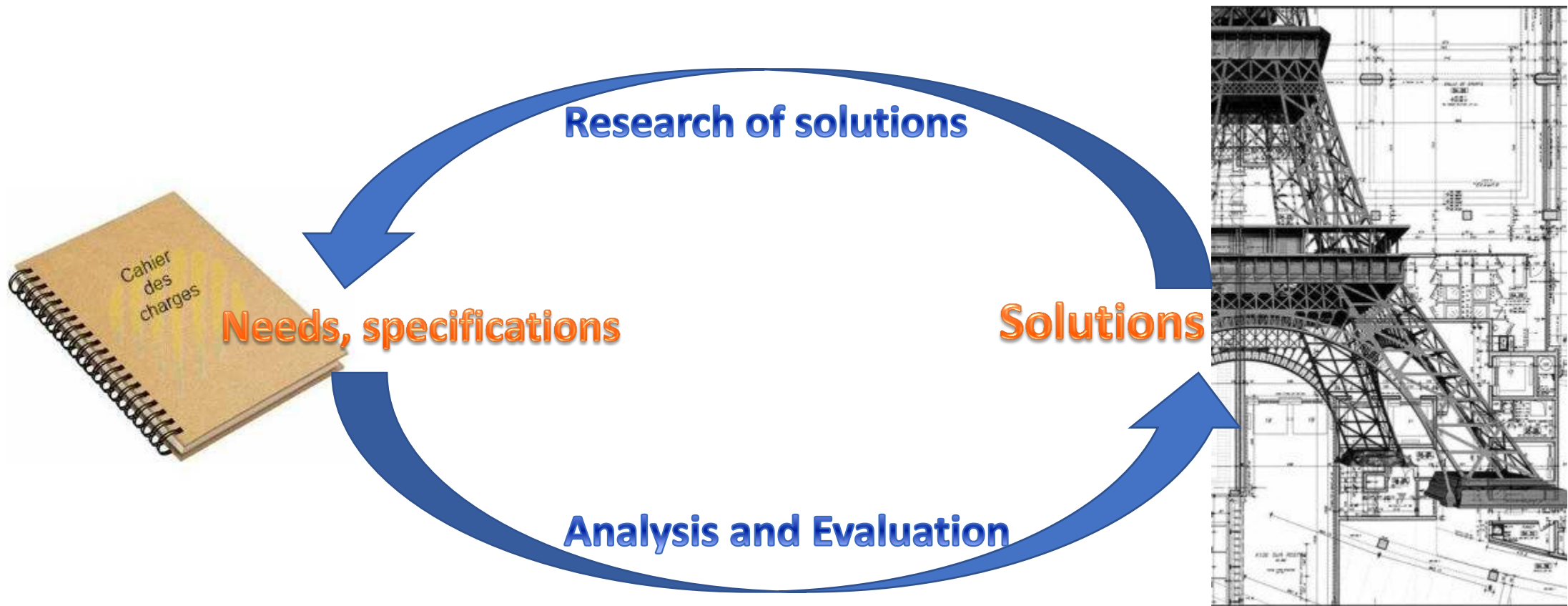
# Table of contents

- 1. Process**
- 2. Design**
- 3. Perspectives**

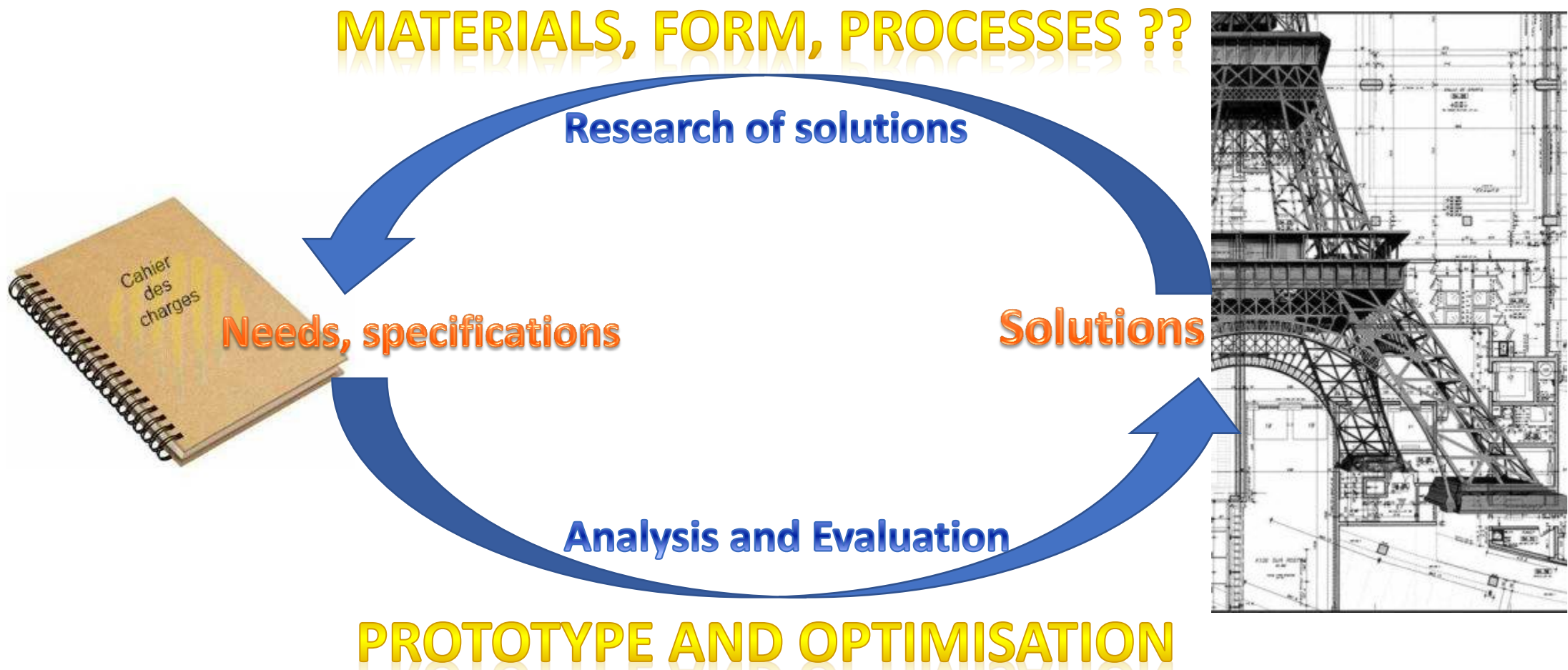
# Application Design



# Design phases: past



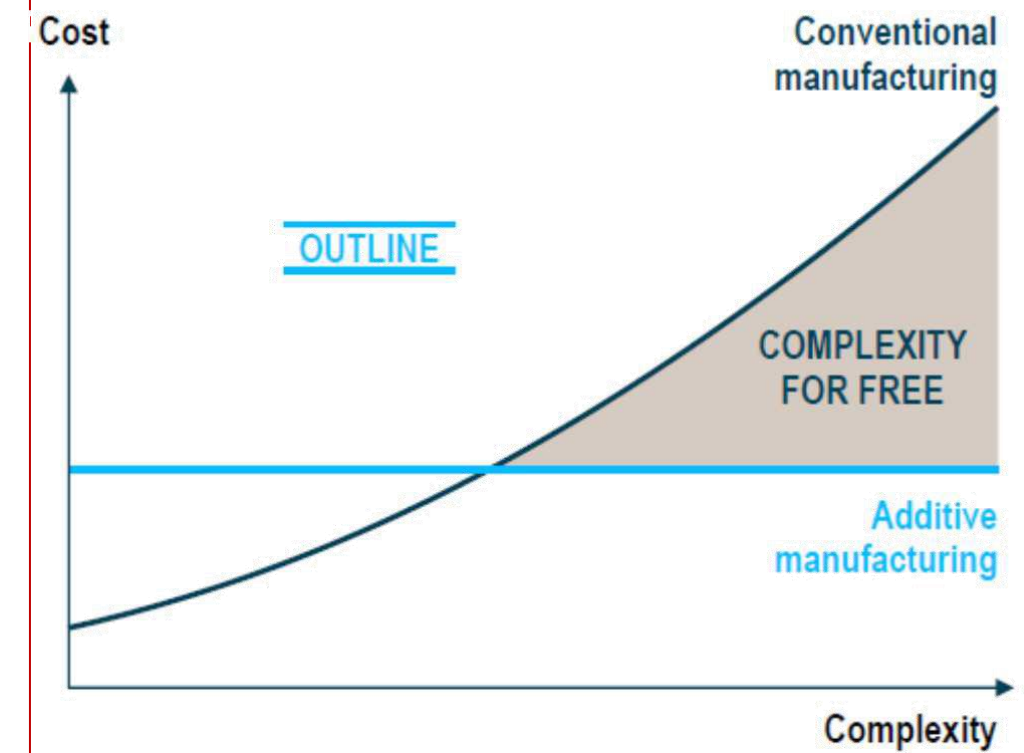
# Design phases : now



# Value optimisation

1. Regroup parts
2. New functions
3. Personalization
4. Energy saving
5. Mass reduction
6. Esteem

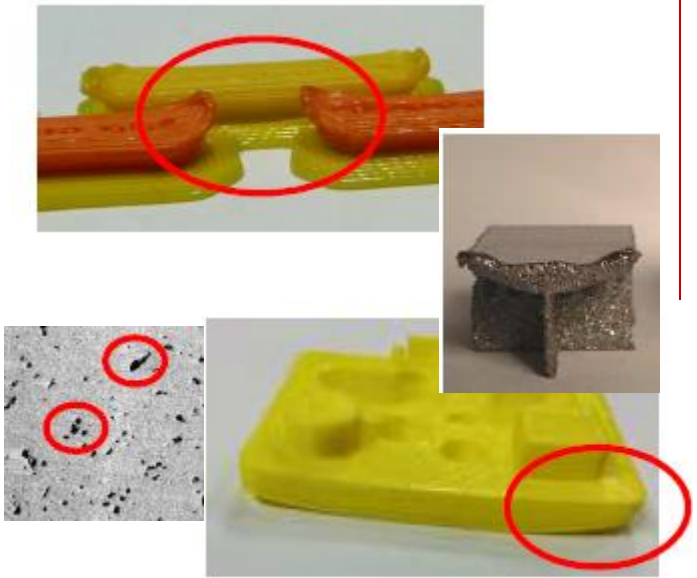
→ Complexity does not change the Cost



# Design methodology

Freedom without rules doesn't work → Material & Process !

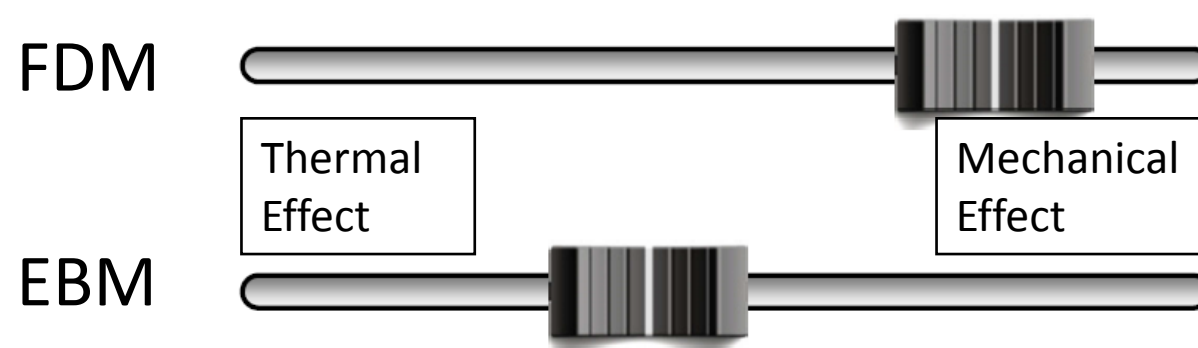
- Direction of process and reference
- Link between shape and properties
- Supports
- Post-treatments
- → Curling, Warping, Porosity, Cracks, Shape deviation...



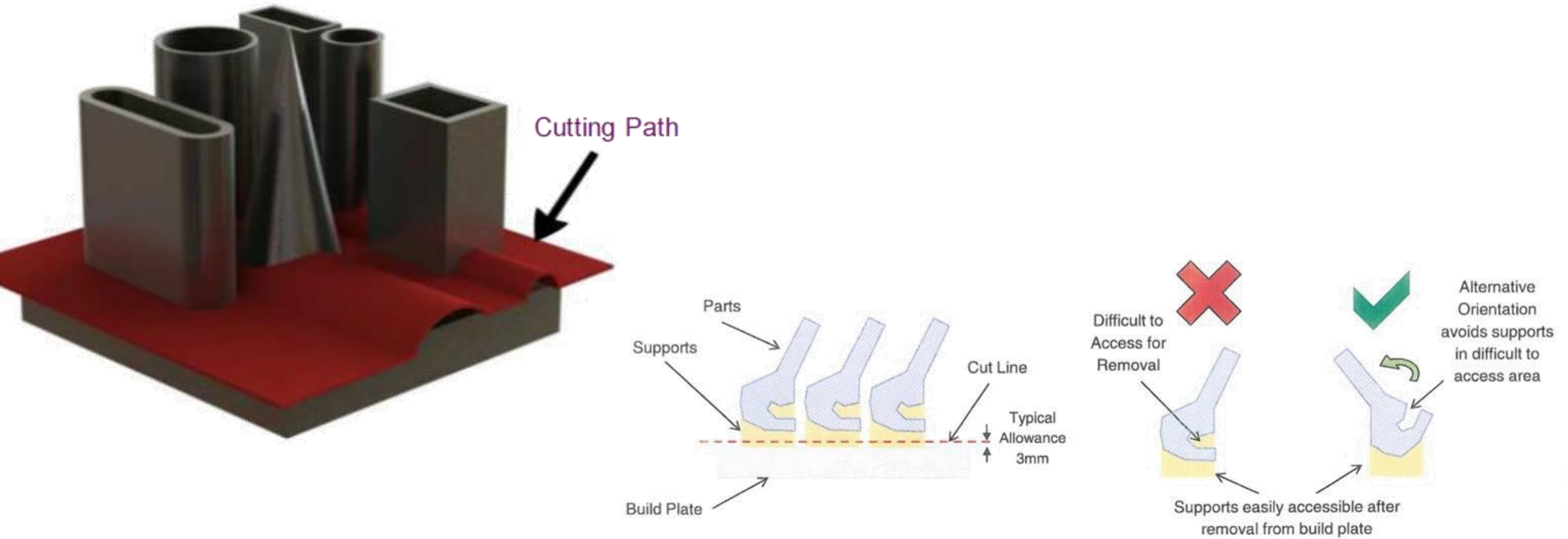
# Design Methodology

1. Rules not well defined
2. Not formalized
3. Strong link to a process, a machine, material even manufacturer

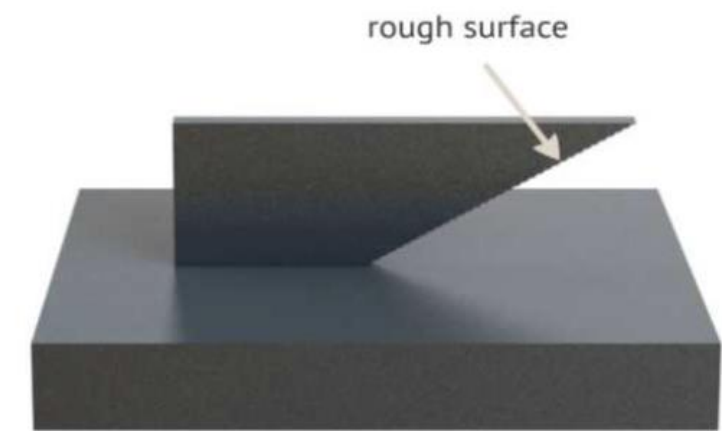
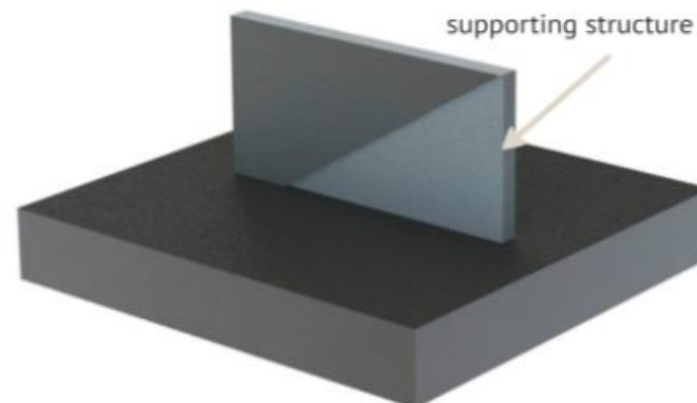
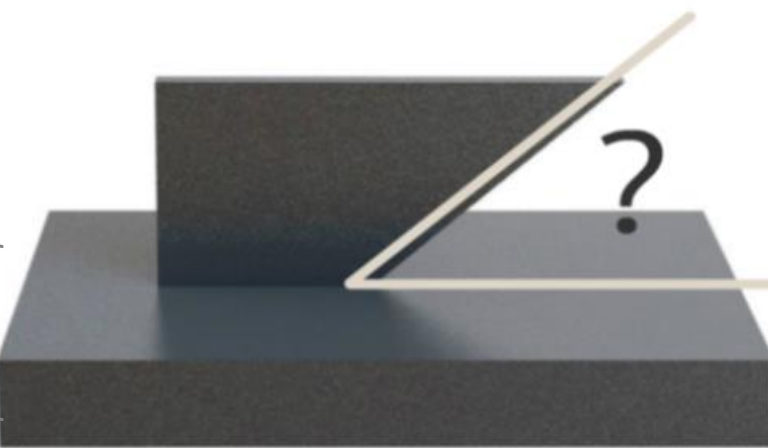
Ex:



# Examples



# Examples



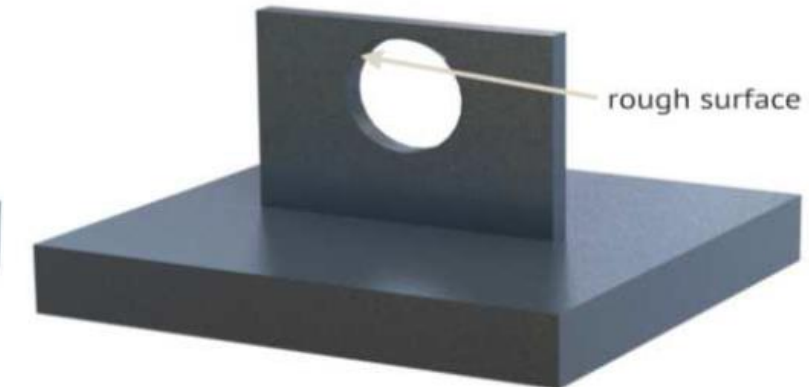
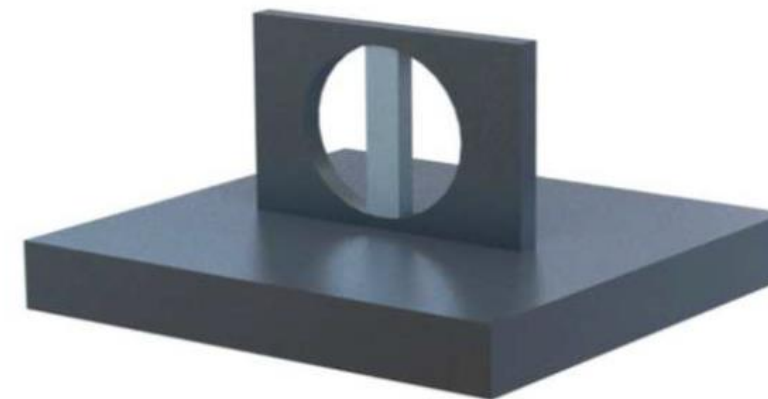
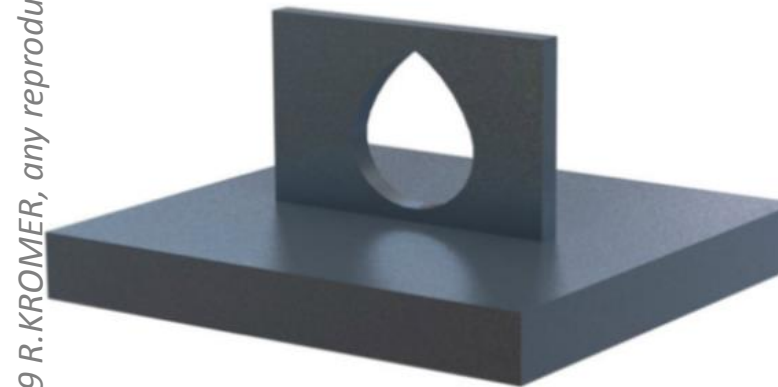
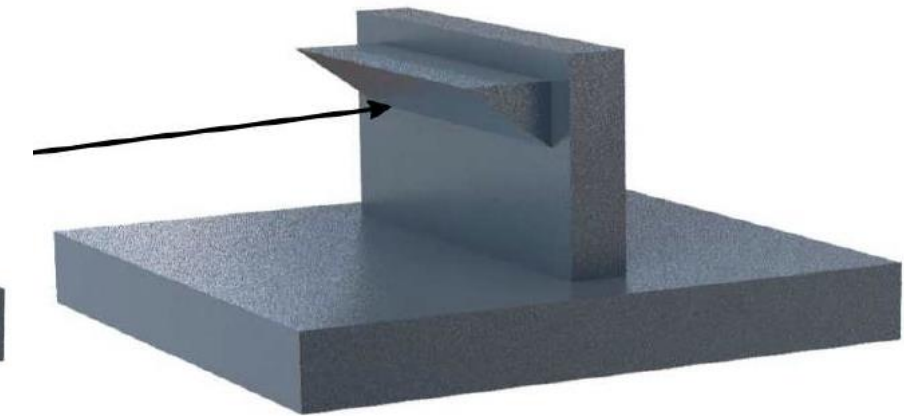
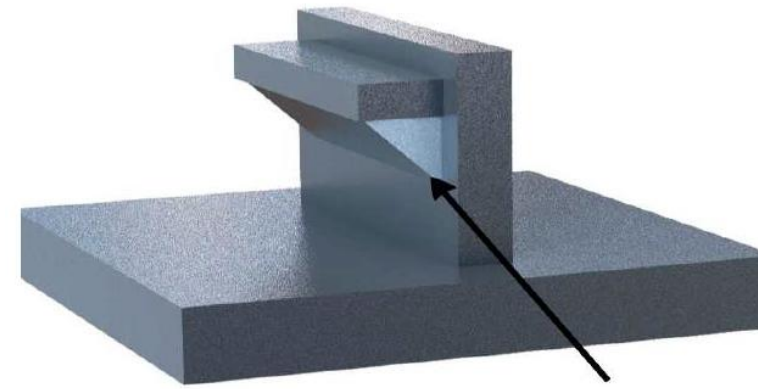
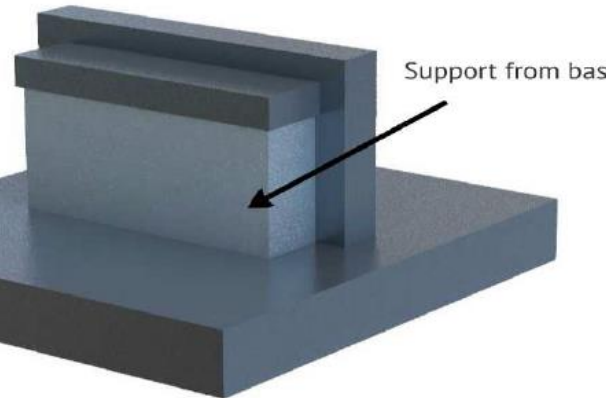
IN718

C2I 2019

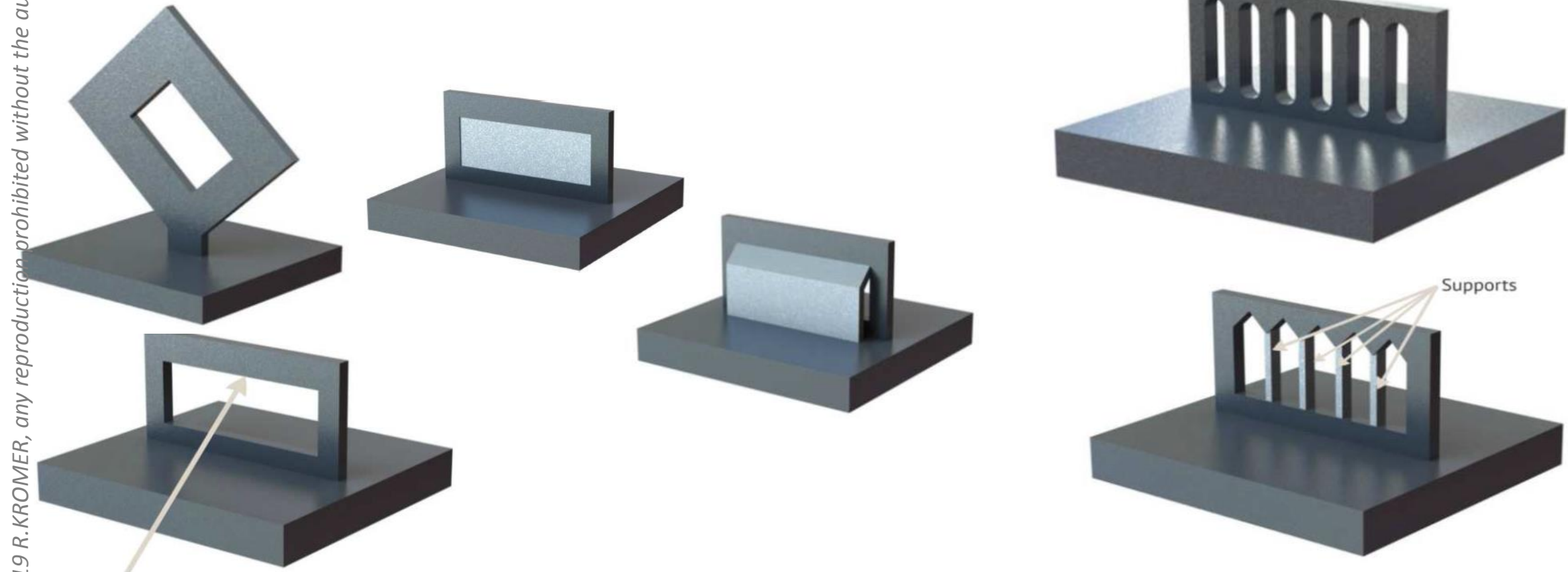


Ti64

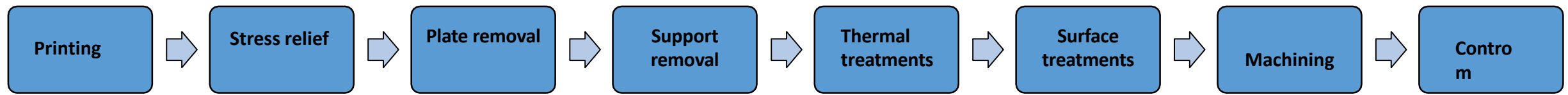
# Examples



# Examples

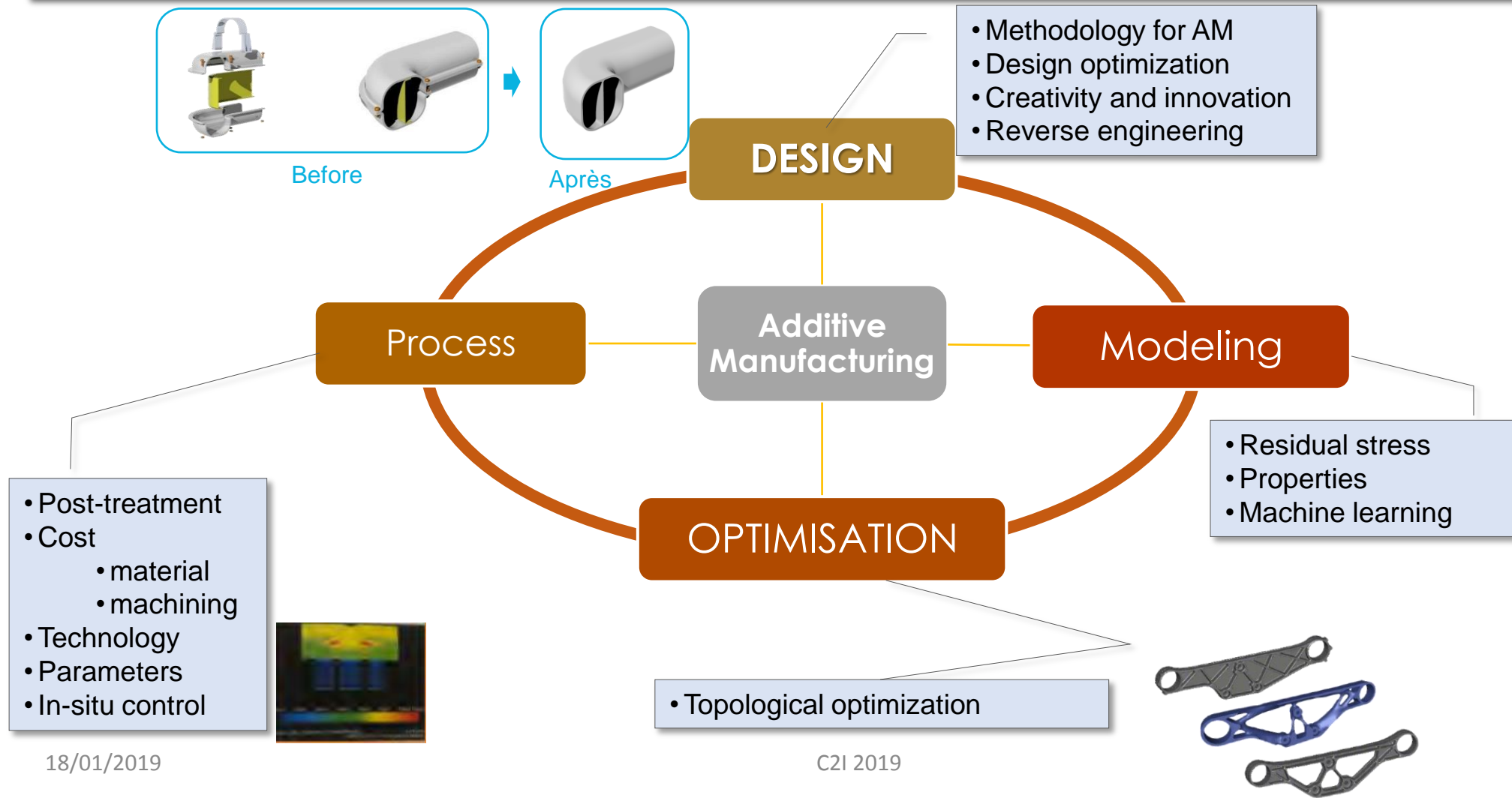


# Design for Additive Manufacturing

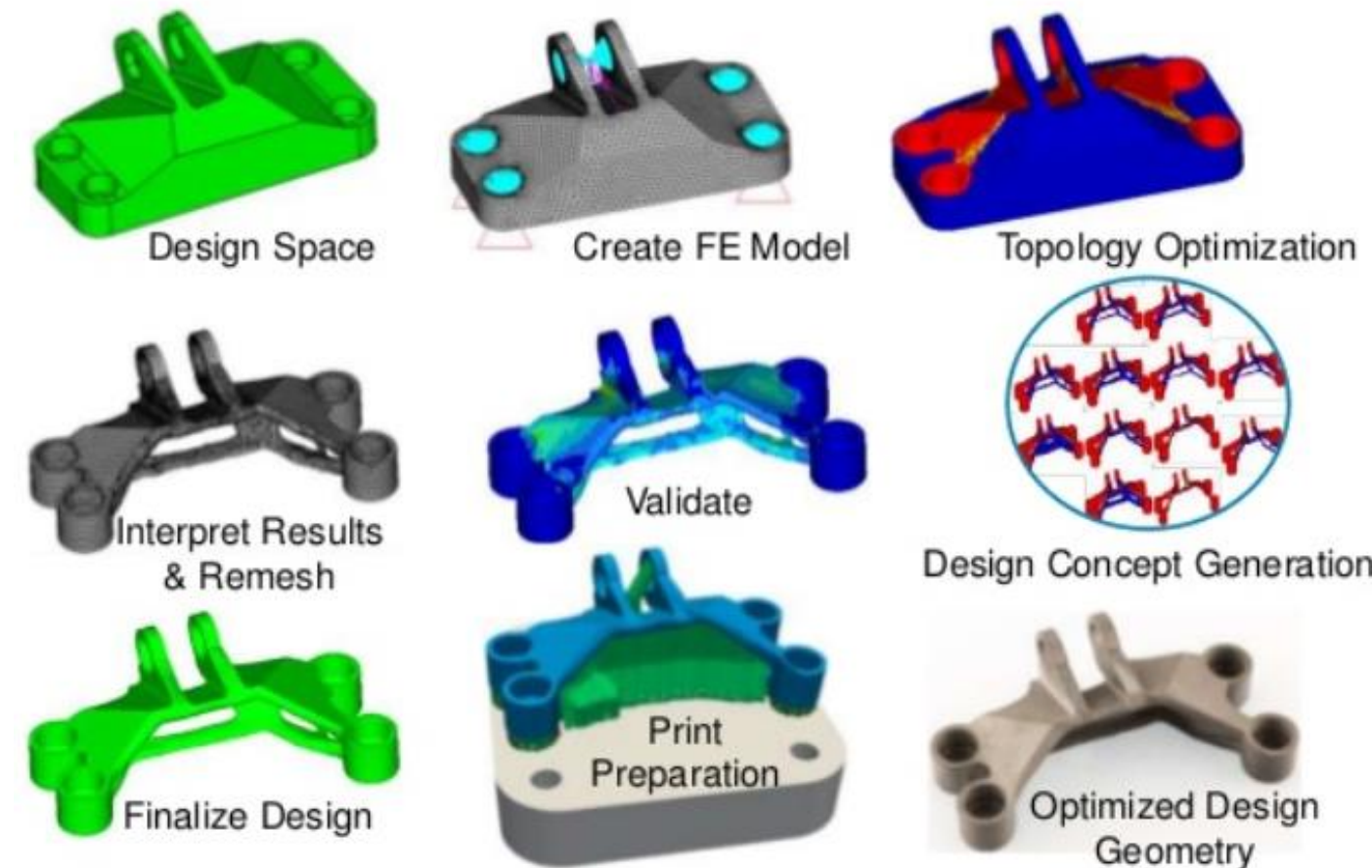


Steps need to be anticipated at the design phase due to limitation according to the process, the machine and the materials

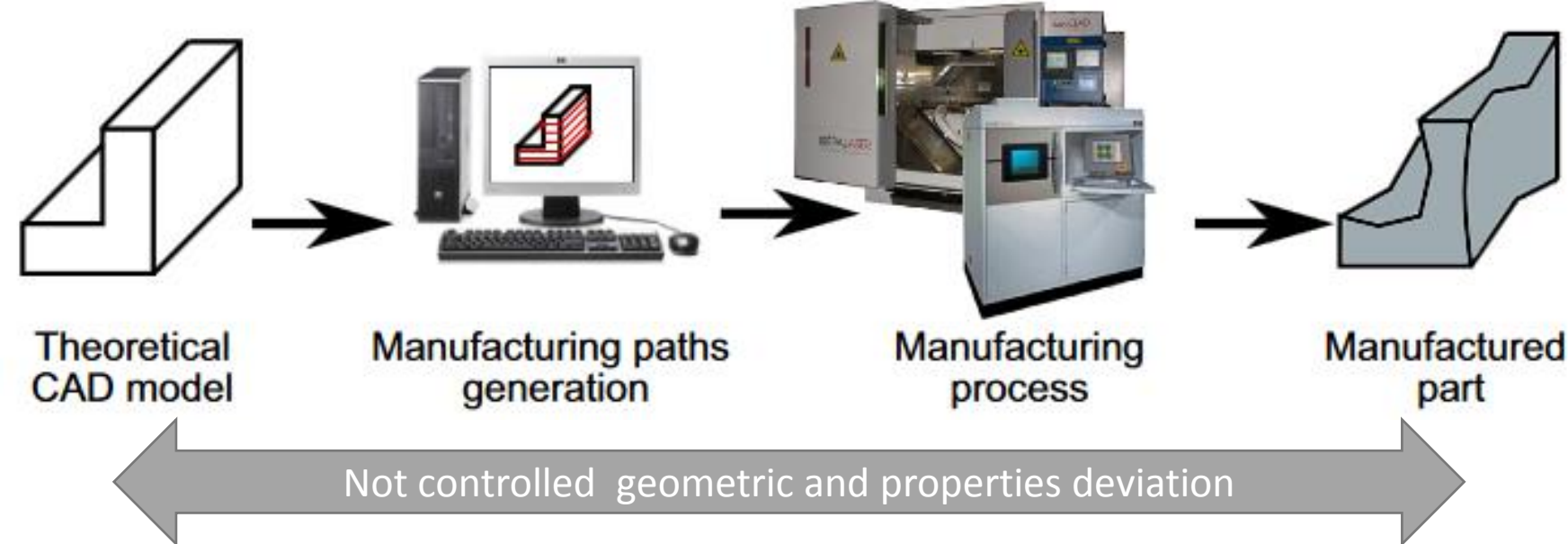
# Design for Additive Manufacturing



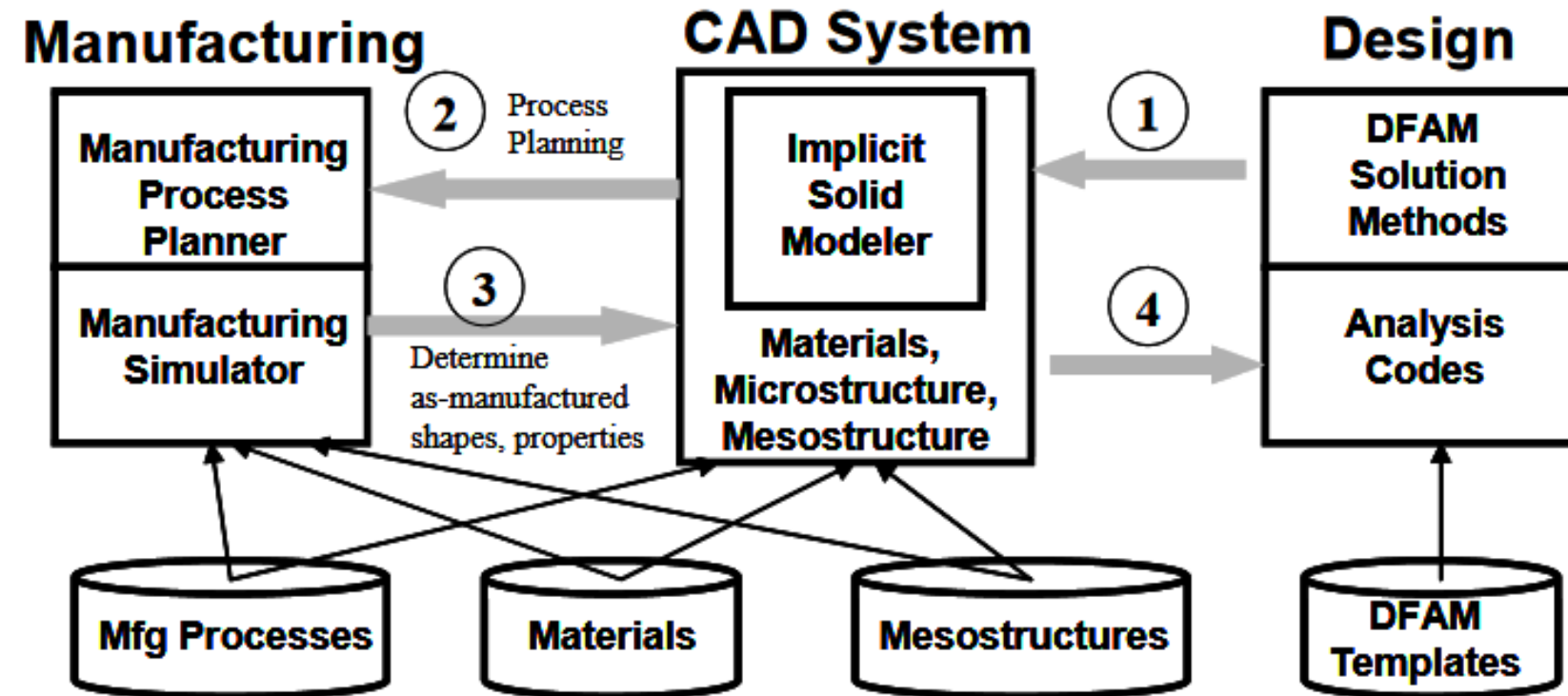
# Perspective : Take advantage for optimization



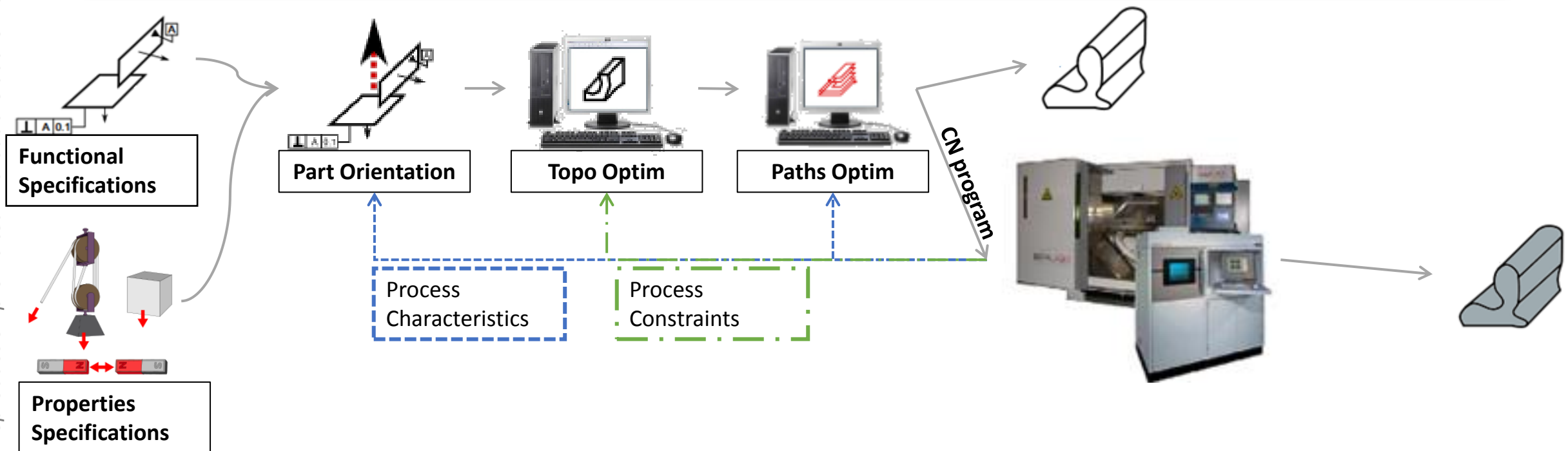
# Perspectives : links ??



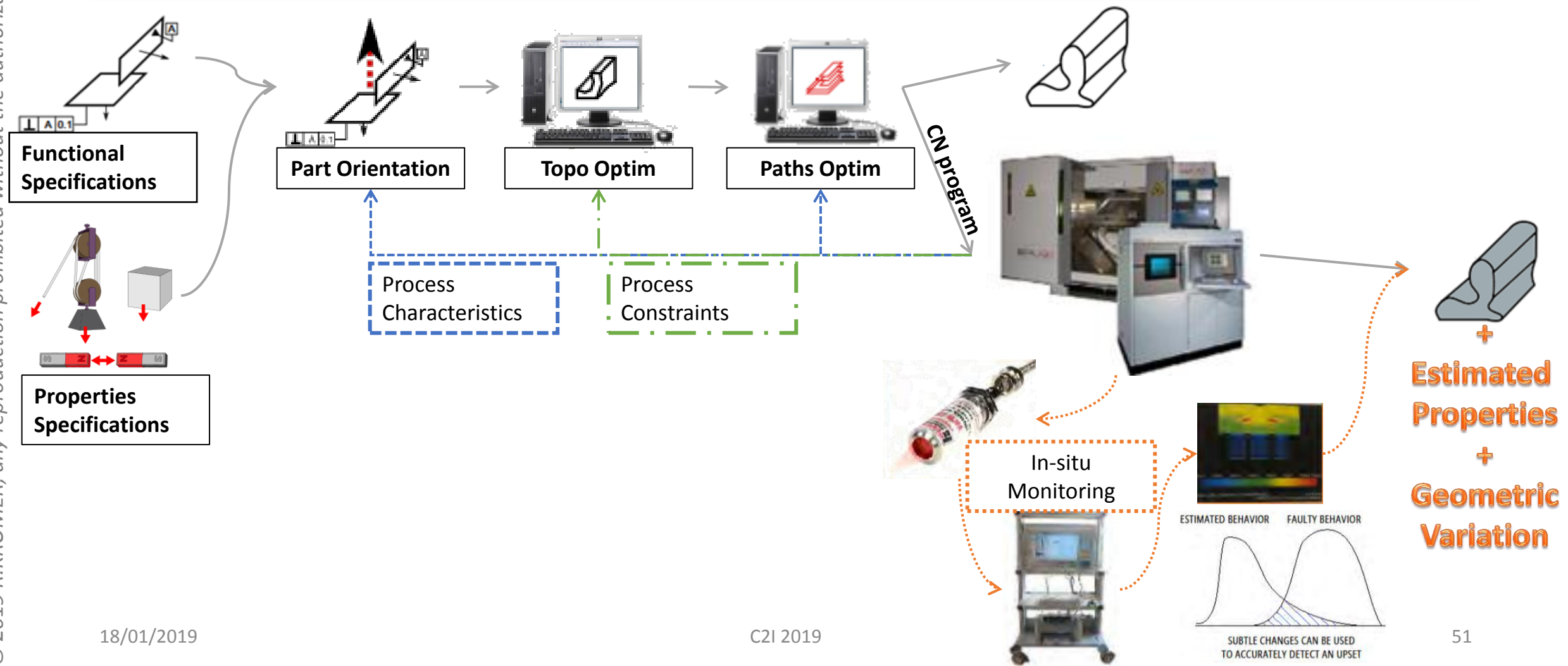
# Perspectives : Design Methodology for Additive Manufacturing



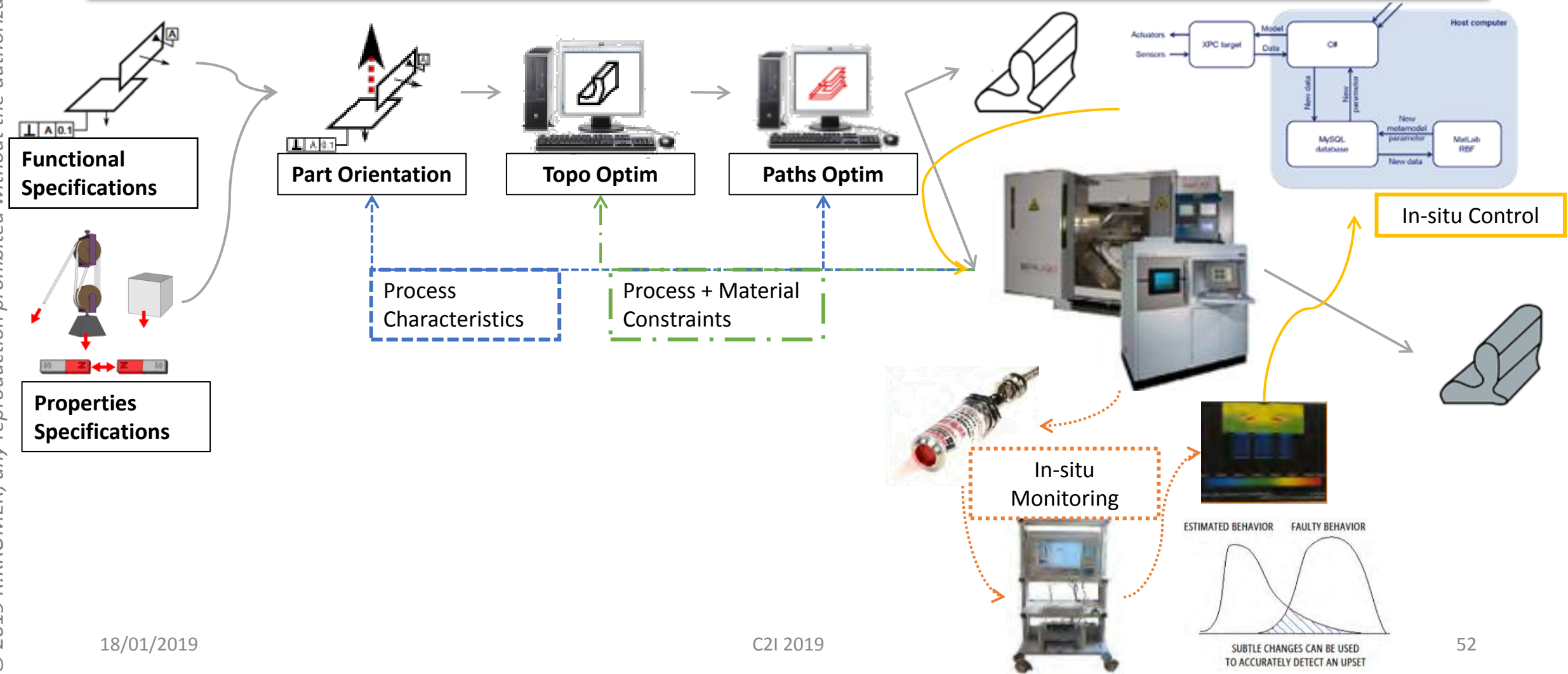
# Perspectives : DFAM Example



# Perspectives : In-situ Analysis



# Perspectives : In-situ Controlled → Cyber-Enabled Manufacturing Systems



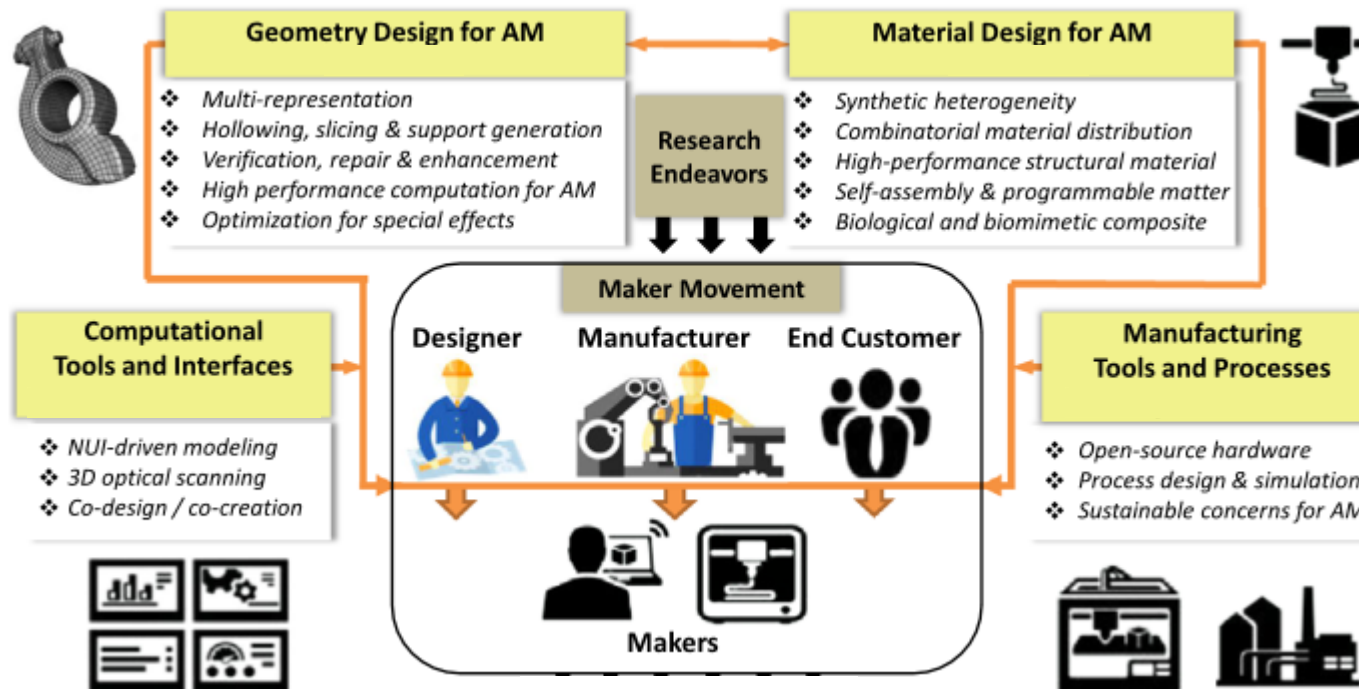
# Perspectives : To day needs

1. Physical phenomena understanding
2. Sensors implementation in machine
3. Transfer function from data to properties
4. Link process/material with geometry
5. Accurate physics-based dynamics models for control and defect detection

- Lab bench for LPBF
- Machine learning development + physical modeling
- In-situ evaluation and data mining
- Prediction tools

# Conclusion

Additive Manufacturing is an **exciting** and emerging field, but there is much yet to do to reach its **potential** ...



**"WHEN OBSTACLES  
ARISE, YOU CHANGE  
YOUR DIRECTION TO  
REACH YOUR GOAL;  
YOU DO NOT CHANGE  
YOUR DECISION TO  
GET THERE."** - ZIG ZIGLAR

# Merci !

Robin KROMER, Associate Professor



# REFERENCE

- <http://aim.gov.in/>
- Metal binder jetting: de la production unitaire à la fabrication série, P.Calves
- Impression 3D, de l'idée au produit, A. Bernard
- Conception pour la fabrication additive, GSCOP, F.Pourroy
- Fabrication additive, ENSIL, IUT Limoges

# CONTRÔLE NON DESTRUCTIFS PAR ULTRASONS

**ANISSA MEZIANE**

MAÎTRE DE CONFÉRENCES À L'UNIVERSITÉ DE BORDEAUX  
INSTITUT DE MÉCANIQUE ET D'INGÉNIERIE DE BORDEAUX (I2M, UMR5295)

- **Généralités sur les ondes acoustiques**
- **Ultrasons pour la caractérisation mécanique**
  - ✓ Caractérisation par ondes de volumes
  - ✓ Caractérisation par ondes guidées
- **Contrôle non destructif par ultrasons**
  - ✓ Ondes de volumes
  - ✓ Ondes guidées
  - ✓ Acoustique non-linéaire

## Définition d'une onde élastique

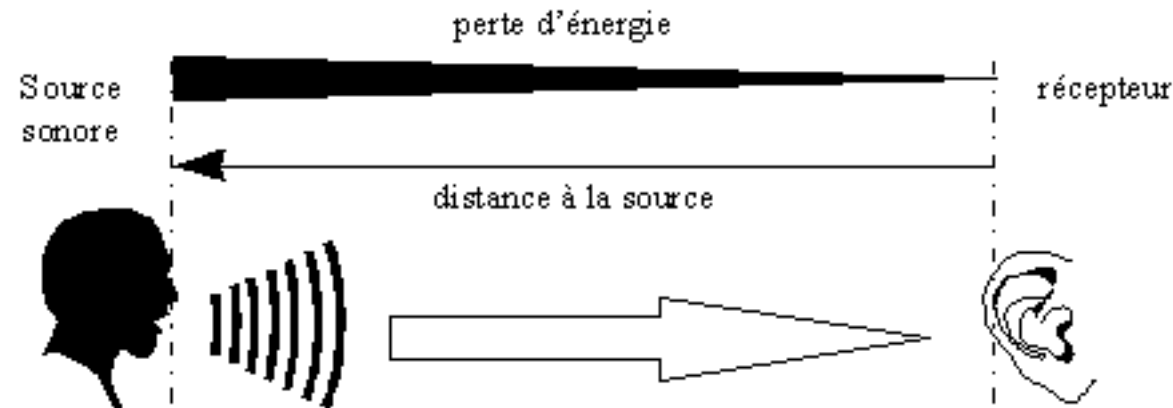
Contrairement aux ondes électromagnétiques (lumière, rayons X,...), les **ondes élastiques** (ou ondes mécaniques) ne peuvent pas exister dans le vide. Elles requièrent un support matériel (fluide ou solide) pour se propager. En effet, l'onde élastique est une **perturbation mécanique de la matière** (dilatation, compression, cisaillement, vibration,...) qui se propage de proche en proche *via* des **forces d'interaction** entre les particules du milieu.

L'existence d'une onde élastique requiert donc une **source excitatrice** et un **milieu matériel de propagation**. Un **récepteur** complète alors ce système pour assurer la détection, voire l'analyse, de l'onde propagée.

## Propagation du son (parole, musique, bruits divers)

Le son est généré par **nos cordes vocales** (un instrument ou tout objet susceptible de faire vibrer localement l'air).

=> Le son **se propage** via les particules d'air qui bougent tour à tour autour de leur position d'équilibre, jusqu'au **récepteur** qui peut être notre tympan, un microphone, les ailes ou antennes d'un insecte, etc...



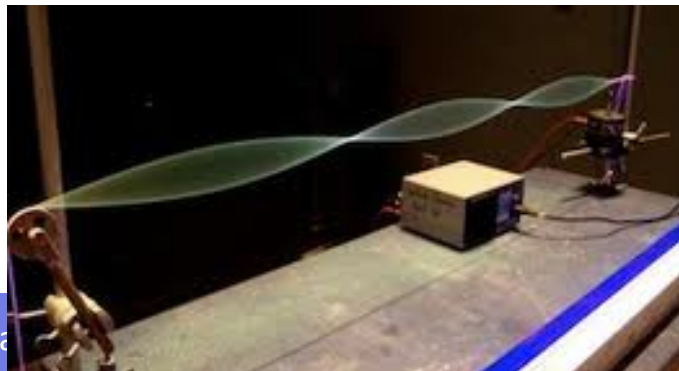
On est en présence d'une **onde dite « acoustique »** à cause du côté audible des fréquences associées à ce son (voir plus loin la définition des domaines en fréquence).

## La propagation d'une vibration le long d'une corde de guitare

La source sera le **pincement par les doigts du guitariste**, le milieu de propagation est la **corde**, le détecteur est **notre oreille** qui reçoit le son (acoustique) rayonné par la corde vibrante.

L'onde élastique se propage le long de la corde, sous la forme d'une **onde stationnaire** car ce sont une infinité d'ondes qui font des allers et retours le long de cette corde pour la faire entrer en résonance et la faire vibrer à sa fréquence propre.

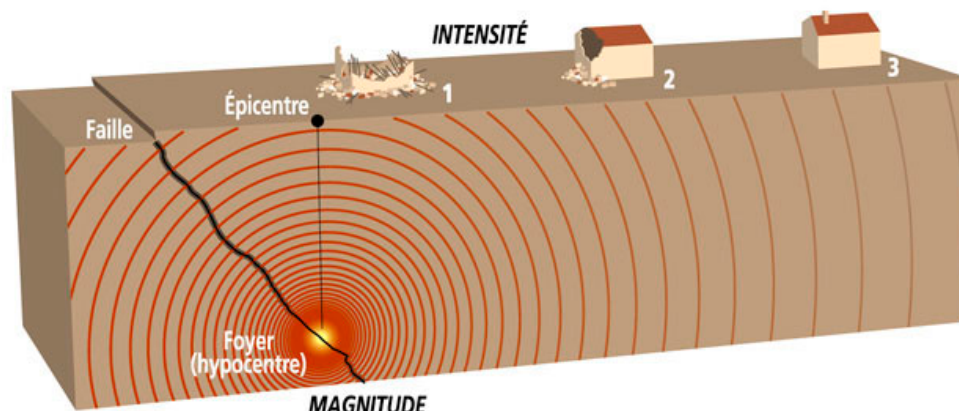
Le couplage mécanique entre cette corde (solide) et l'air environnant (fluide) entraîne la vibration des particules d'air situées au voisinage immédiat de la corde. Le mouvement de ces particules d'air se transmet donc aux particules voisines, via les forces de contact évoquées plus haut, jusqu'à notre tympan.



## La propagation d'une onde sismique dans le sol

La source est **l'hypocentre** (ou foyer) qui est activé par une rupture/glissement de faille (par exemple). Les onde sismiques proviennent du foyer et se dirigent (entre autres) vers la surface de la terre. Le **sol** constitue donc le milieu de propagation.

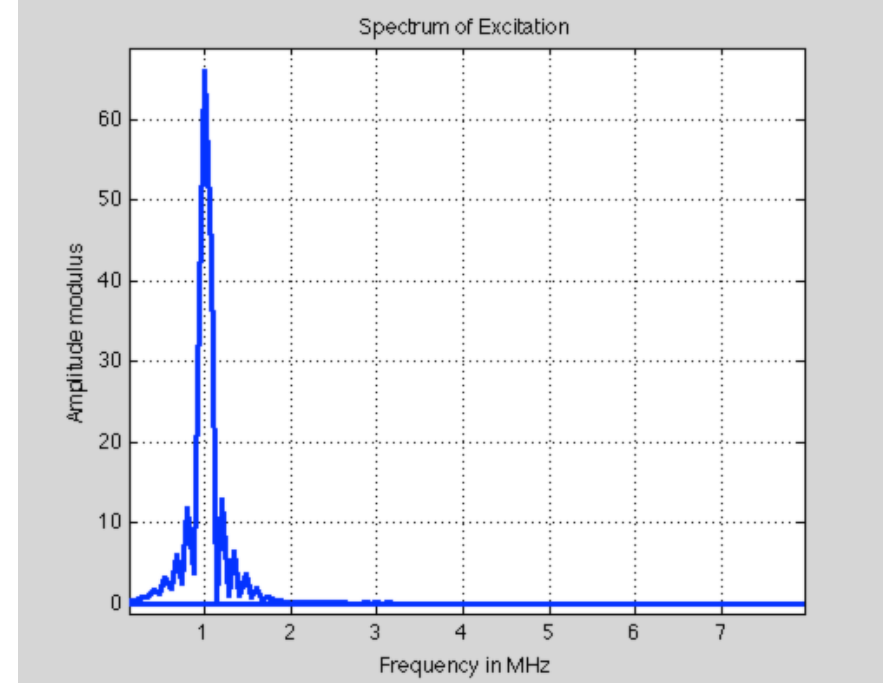
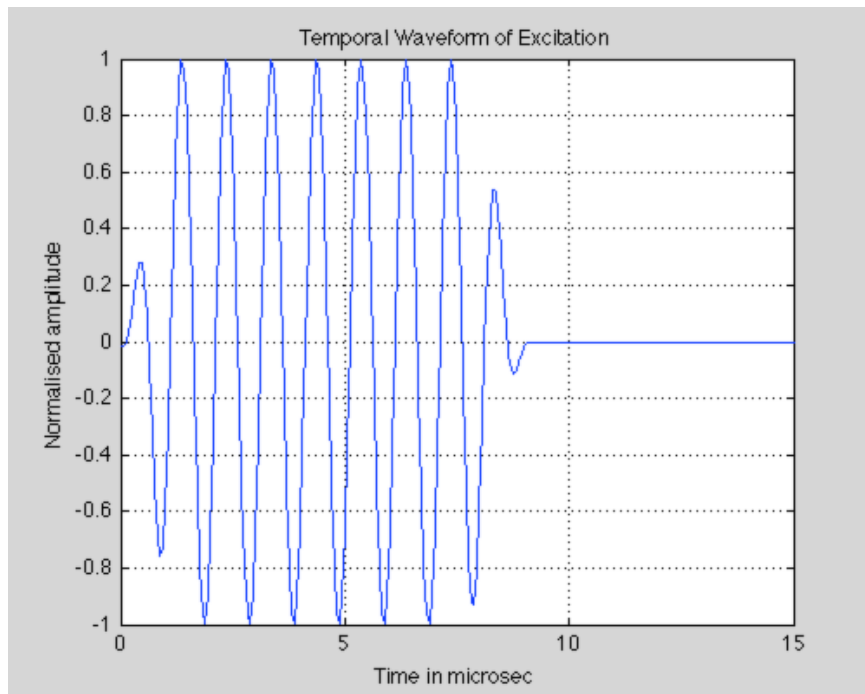
Les détecteurs sont les personnes ou habitations en surface, les sismographes qui surveillent et mesurent les ondes terrestres, etc...



Onde sismique

<http://www.mementodumaire.net/les-risques-naturels/rn-6-seismes-et-tsunami/>

La perturbation possède une certaine **forme temporelle** (puisque les particules oscillent autour de leur position d'équilibre). Si cette forme est sinusoïdale et de durée infinie, alors le phénomène est dit harmonique ou monochromatique (une seule fréquence).



Elle peut aussi comporter plusieurs harmoniques ; elle est alors périodique mais avec plusieurs fréquences superposées.

Dans tous les cas, on distingue trois domaines de fréquences :

$f \leq 20 \text{ Hz}$  – Ondes basses fréquences – Domaine des **infrasons**

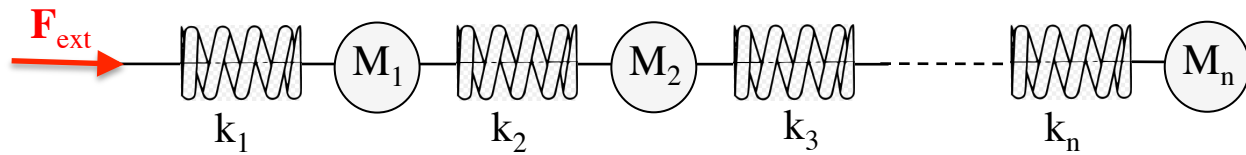
$20 \text{ Hz} \leq f \leq 20 \text{ kHz}$  – Fréquences audibles – Domaine de **l'acoustique**

$f \geq 20 \text{ kHz}$  – Ondes hautes fréquences – Domaine des **ultrasons**

### *Exemples de régimes fréquentiels (valeurs approximatives)*

- $1 \mu\text{Hz} - 1 \text{ Hz}$  : Physique du globe, Sismologie TBF
- $10 \text{ Hz} - 100 \text{ Hz}$  : Géologie, Sismique
- $20 \text{ Hz} - 20 \text{ kHz}$  : Audible
- $10 \text{ kHz} - 100 \text{ kHz}$  : Nettoyage par US (façades, dents, ...)
- $1 \text{ kHz} - 30 \text{ kHz}$  : Génération d'US par micro-ondes
- $10 \text{ kHz} - 100 \text{ kHz}$  : Acoustique sous-marine, sonars
- $50 \text{ kHz} - 500 \text{ kHz}$  : CND ultrasons à couplage par air
- $500 \text{ kHz} - 20 \text{ MHz}$  : CND contact ou couplage eau, Emission acoustique, Médical, Echographie
- $20 \text{ MHz} - 100 \text{ MHz}$  : Microscopie acoustique (imagerie fine)
- $100 \text{ MHz} - 1 \text{ GHz}$  : Acousto-optique, Acousto-électronique
- $1 \text{ GHz} - 1 \text{ TeraHz}$  : Etude de la matière à l'échelle microscopique

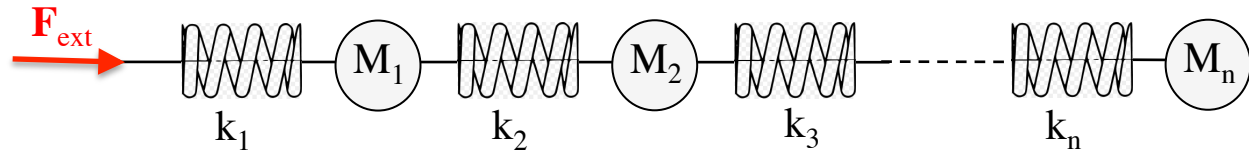
Le milieu de propagation peut être assimilé à une chaîne finie de N masses  $M_i$  reliées entre elles par des ressorts de raideurs  $k_i$ .



On a alors à faire à un **milieu discret à N degrés de liberté**.

**force extérieure** => compression du premier ressort  $k_1$  relié à la masse  $M_1$   
=> compression du ressort  $k_2$  qui la relie à la masse  $M_2$   
=> ....

=> **propagation d'une perturbation** dans un milieu discret à N ddl.



Si excitation extérieure **sinusoïdale, de période T**

=> variation temporelle des masses M de la même forme temporelle (si milieu linéaire).

=>**dimension spatiale** de la perturbation = **longueur d'onde  $\lambda = C T$**

où **C** est la vitesse à laquelle se propage la perturbation, le long de la chaîne atomique.

Si la **distance** entre les masses adjacentes de la chaîne est **de l'ordre de grandeur, ou plus grande, que la longueur d'onde  $\lambda$**

=> alors le système est « vu », par la perturbation qui se propage, comme un **milieu discret**.

*Il faut donc autant d'équations qu'il y a de masses pour modéliser le phénomène vibratoire qui se propage. Mathématiquement, on écrit et on résout un système de  $N$  équations à  $N$  inconnues. Quand  $N$  est grand, on peut avoir recours à des méthodes numériques (différences finies par exemple ...) pour résoudre.*

Si la **distance** entre les masses adjacentes de la chaîne peut être considérée comme **petite devant la longueur d'onde  $\lambda$** ,

=> alors le système peut être assimilé à un **milieu continu**.

*Une seule équation, appelée **équation de propagation**, est alors nécessaire et suffisante pour modéliser le phénomène.*

- **Equation de la dynamique :**

$\mathbf{u}$  vecteur déplacement,  $\mathbf{T}$  : Tenseur des contraintes

$$\rho \frac{\partial^2 u_i}{\partial t^2} = \frac{\partial T_{ij}}{\partial x_j}$$

- **Loi de comportement matériaux**

=> Ex : Loi de Hooke pour un matériau élastique linéaire anisotrope  
( $\mathbf{C}$  : tenseur des rigidités élastiques rang 4)

$$T_{ij} = C_{ijkl} \frac{\partial u_l}{\partial x_k}$$

=> **Equation du mouvement**

$$\rho \frac{\partial^2 u_i}{\partial t^2} = C_{ijkl} \frac{\partial^2 u_l}{\partial x_j \partial x_k}$$

$$\Rightarrow \text{Equation du mouvement} \quad \rho \frac{\partial^2 u_i}{\partial t^2} = C_{ijkl} \frac{\partial^2 u_l}{\partial x_j \partial x_k}$$

Dans un solide infini : recherche de solution sous forme **d'une onde plane progressive** se propageant dans une direction  $\mathbf{n}(n_1, n_2, n_3)$  et recherche de la vitesse de phase V et polarisation  ${}^0\mathbf{u}({}^0u_1, {}^0u_2, {}^0u_3)$ .

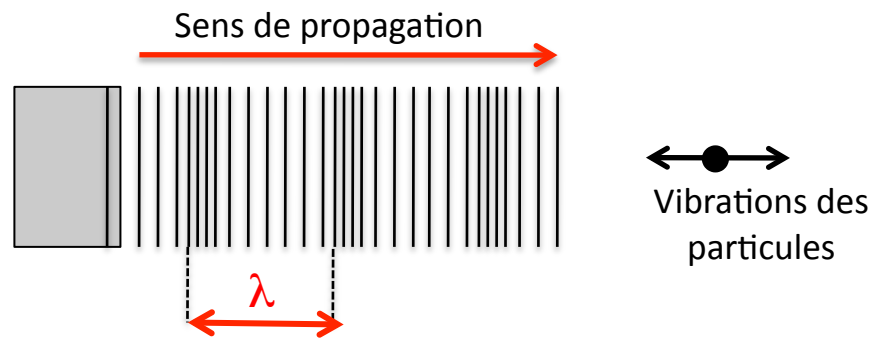
$$\Rightarrow \text{Equation de Christoffel : } \rho V^2 {}^0u_i = C_{ijkl} n_j n_k {}^0u_l$$

Vitesses de phase et polarisation des ondes planes se propageant dans la direction  $\mathbf{n}$  sont les valeurs propres et vecteurs propres du tenseur  $\Gamma_{ij} = C_{ijkl} n_j n_k$

Il y a en général 3 solutions : **1 onde longitudinale et 2 ondes transversales**  
(ou 1 quasi longitudinale et 2 ondes quasi transversales si le matériau est anisotrope).

## Mouvement de compression-traction

Le déplacement des particules est parallèle à la direction le long de laquelle se propage la perturbation . On parle alors d'onde **longitudinale** ou onde de **compression**, généralement notée L.



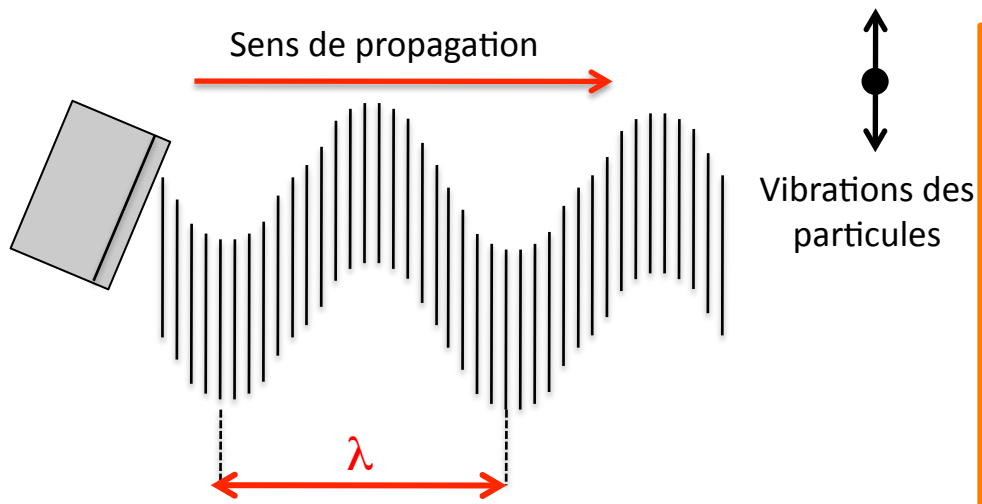
- Déplacement des particules // à la direction de propagation
- Propagation dans les fluides ou dans les solides
- Vecteurs  $\mathbf{n}$  et  $\mathbf{P}$  (ou  $\mathbf{k}$  et  $\mathbf{P}$ ) sont **colinéaires**.  
On écrit alors :  $\mathbf{k}_L \wedge \mathbf{P}_L = 0$ .

## Formalisme :

- **relatif à la propagation** : vecteur d'onde  $\mathbf{k} = k \mathbf{n}$ , direction de propagation  $\mathbf{n}$  (vecteur unité),  $k$  le nombre d'onde =  $\omega/C$ , avec la pulsation  $\omega = 2 \pi f$ , ( $f$  = fréquence;  $C$  la célérité de l'onde).
- **relatif au mouvement des particules** : vecteur polarisation noté  $\mathbf{P}$ .

## Mouvement de cisaillement – Ondes transversales

Le déplacement des particules est **perpendiculaire** à la direction de propagation de la perturbation (mouvement transverse que subirait une corde tendue, par exemple). On parle alors d'onde **transversale** ou onde de **cisaillement**, généralement notée **T**.



- Déplacement des particules perpendiculaires à la direction de propagation
- Propagation dans les solides uniquement
- Dans le cas de l'onde T, les vecteurs **n** et **P** (ou **k** et **P**) sont **orthogonaux**. On écrit alors :  $\mathbf{k}_T \cdot \mathbf{P}_T = 0$ .

## Formalisme :

- **relatif à la propagation** : vecteur d'onde  $\mathbf{k} = k \mathbf{n}$ , direction de propagation  $\mathbf{n}$  (vecteur unité),  $k$  le nombre d'onde =  $\omega/C$ , avec la pulsation  $\omega = 2 \pi f$ , ( $f$  = fréquence;  $C$  la célérité de l'onde).
- **relatif au mouvement des particules** : vecteur polarisation noté  $\mathbf{P}$ .

## Remarques :

- Généralement, ces ondes sont appelées « **ondes de volume** » car leur propagation est considérée dans un milieu infini (pas de réflexion par les bords du milieu au point où cela modifierait leur nature L ou T). Ainsi elles sont supposées exister dans un volume infini par opposition aux ondes de plaques, de structures, de surface ou d'interface qui nous verrons par la suite.
- Les ondes transversales ne peuvent pas exister dans les **fluides parfaits** (non visqueux) car le phénomène de cisaillement ne se produit pas dans ces milieux. Dans un fluide visqueux, le cisaillement se produit donc l'onde T peut exister mais elle est généralement très fortement amortie au cours de sa propagation.

Milieu **infini** (ou du moins de dimensions suffisantes par rapport aux longueurs d'onde => **Ondes de volumes (L ou T)**

Structures solides **réelles** (même de géométrie simple), il peut y avoir certaines fréquences pour lesquelles les longueurs d'ondes ne sont pas négligeables devant les dimensions.

=> **Ondes de surface, Ondes d'interface ou Onde de résonance d'épaisseur**

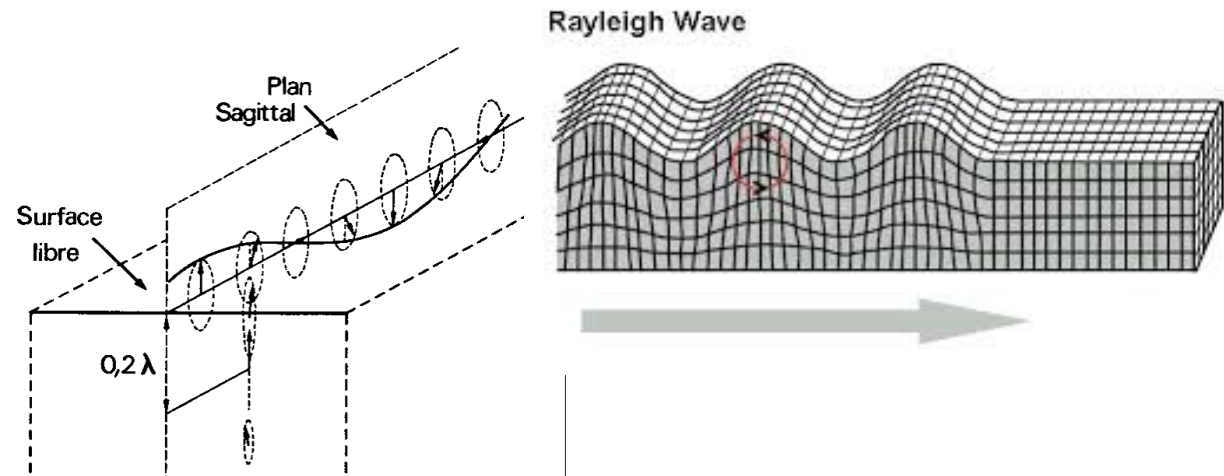
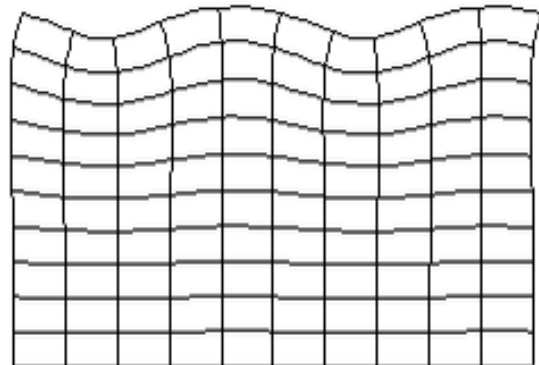
qui résultent en fait d'une superposition complexe de plusieurs ondes L et T sous des conditions particulières.

$$\Rightarrow \text{Equation du mouvement} \quad \rho \frac{\partial^2 u_i}{\partial t^2} = C_{ijkl} \frac{\partial^2 u_l}{\partial x_j \partial x_k}$$

+ **Conditions aux limites**

## Ondes de Rayleigh (découverte en 1885 par Lord Rayleigh)

Dans le cas simple d'un milieu isotrope couplé avec le vide, elle est constituée d'une composante **longitudinale** et d'une composante **transversale**, déphasées de  $\pi/2$  et contenues dans le plan sagittal qui est formé par le vecteur d'onde et la normale à la surface.

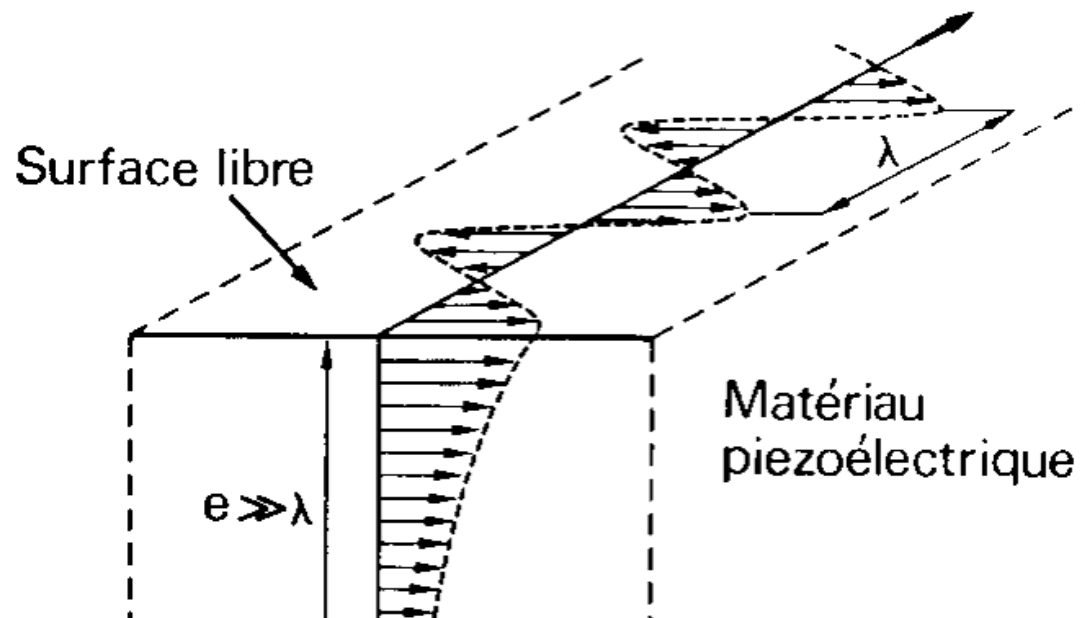


L'extremite du vecteur polarisation décrit une **ellipse**. La composante L s'annule puis change de signe à une profondeur de  $0.2 \lambda$ . A cette profondeur, la polarisation est donc purement transversale. Au delà, elle devient à nouveau elliptique. Le déplacement de matière devient définitivement nul à une profondeur de  $2\lambda$ .

## Ondes de Bleustein-Gulyaev

A la surface d'un matériau piézoélectrique, la propagation d'une onde transversale, de polarisation parallèle à la surface, est possible.

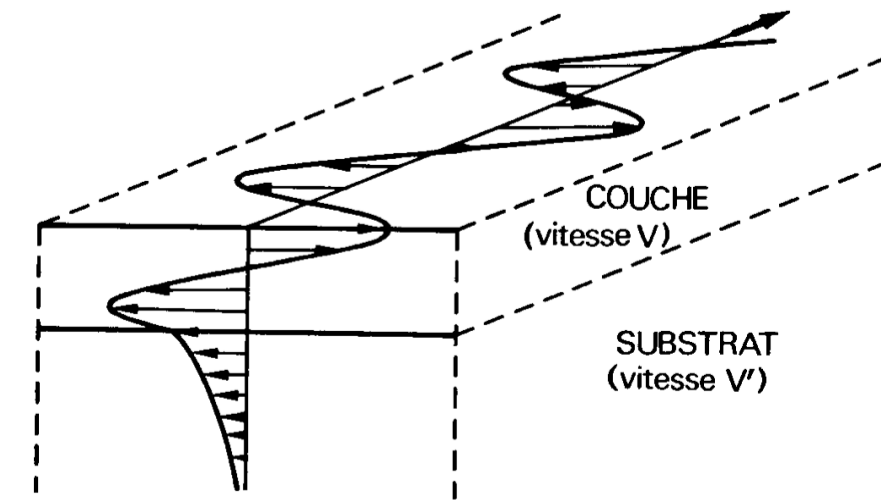
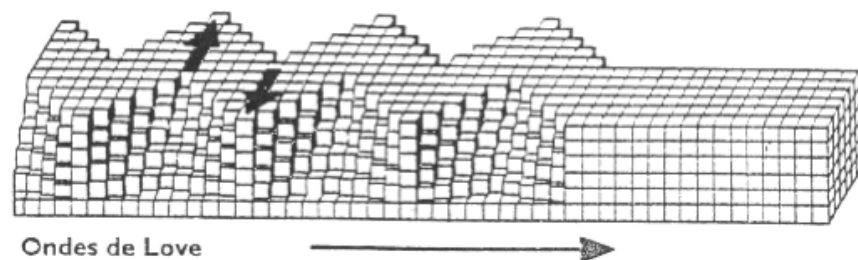
La profondeur de pénétration est d'autant plus petite que la piézoélectricité du matériau est élevée. L'épaisseur de matière mise en vibration par cette onde, appelée onde de Bleustein-Gulyaev, est de l'ordre de  $100 \lambda$ .



## Ondes de Love

Lorsque le milieu est composé d'une couche mince déposée sur un substrat, une onde de surface à polarisation **transverse**, appelée onde de Love, peut se propager le long de l'interface séparant les deux milieux.

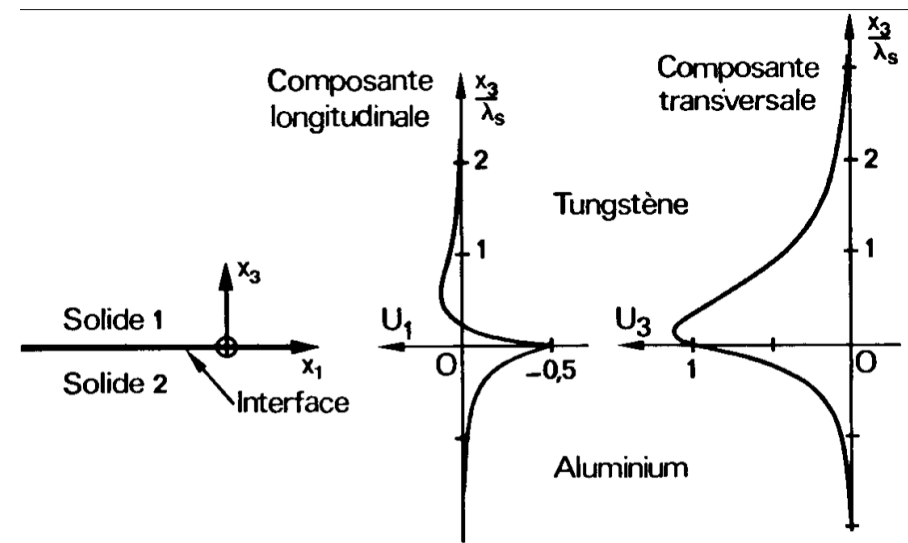
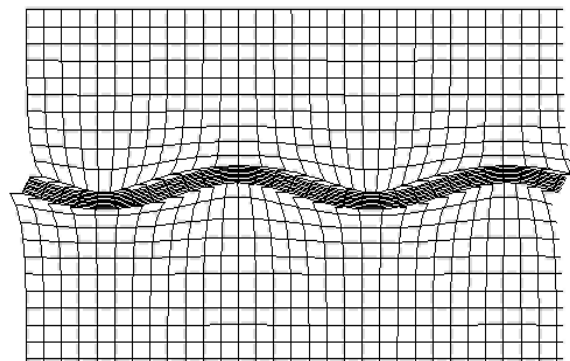
Pour que cette onde existe, il faut que la vitesse de l'onde de volume transversale dans la couche mince soit inférieure à la vitesse de l'onde de volume transversale dans le substrat.



## Onde de Stoneley

Lorsque les deux matériaux sont isotropes et semi-infinis, on peut avoir à faire à une onde qui produit un déplacement de matière situé dans le plan **sagittal**, et qui décroît de part et d'autre de la surface de séparation.

Cette onde comporte 2 composantes : une **longitudinale** et une **transversale**. Ce phénomène s'apparente à la propagation d'une onde de Rayleigh de part et d'autre de l'interface solide/solide.



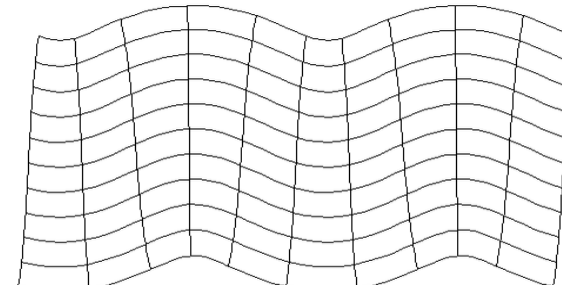
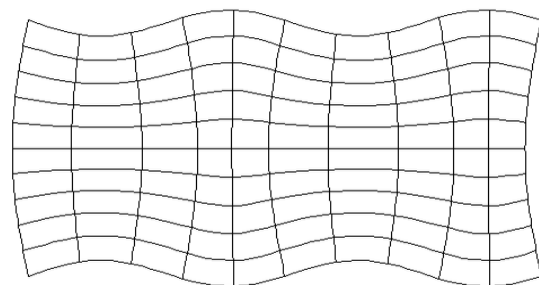
## Onde de Lamb

Lorsque le matériau est limité par deux plans parallèles et libres de contraintes (matériau placé dans le vide), les ondes fondamentales L et T se multi-réfléchissent indéfiniment entre ces deux plans.

Si l'épaisseur du matériau est **de l'ordre de grandeur de la longueur d'onde  $\lambda$** , le milieu devient alors fini (ou borné) : plaque, paroi d'un cylindre, ... => **Ondes de Lamb**

Ondes de Lamb = **ondes guidées** se propageant le long de la structure et produisant un déplacement de matière dans toute son épaisseur.

Il existe **une infinité de modes de Lamb**, divisés en deux familles : les modes **symétriques** et les modes **antisymétriques**.



## Ondes guidées par les cylindres

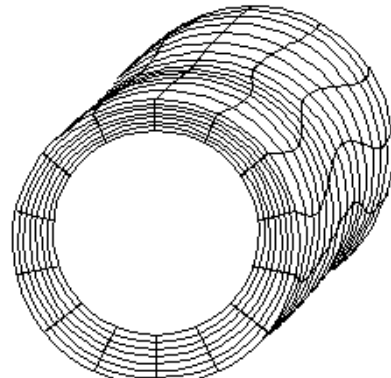
Les modes antisymétriques deviennent des modes de flexion :  $F(m,n)$

Les modes symétriques deviennent des modes de compression :  $L(m,n)$

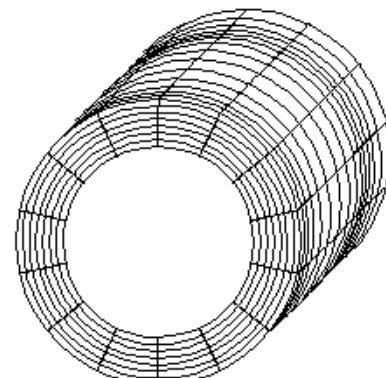
Les modes SH deviennent des modes de torsion :  $T(m,n)$

$m$  : nombre de longueurs d'onde contenues dans la circonférence

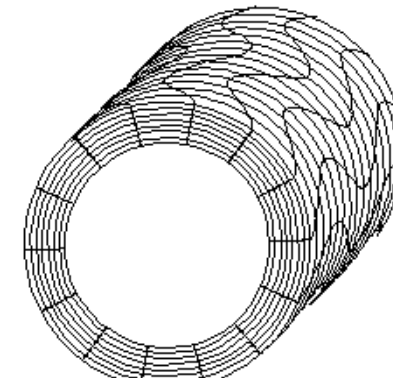
$n$  : ordre du mode



*Mode de flexion*



*Mode de compression*



*Mode de torsion*

### Remarques :

- Même type de modes pour les barres cylindriques pleines.
- Les modes guidés existent aussi, sous des variantes diverses, pour des guides à géométries variables : les barres à section rectangulaire ou autres, les rails de chemin de fer, raidisseurs (sections en T, en L, ...), etc.

## Dispersion :

Un milieu dispersif est un milieu où la vitesse de phase de l'onde (vitesse de propagation) dépend de la fréquence :

- vitesse de phase  $V_\phi = \omega/k$  ( $k =$  nombre d'onde  $2\pi/\lambda$ )
- vitesse de groupe  $V_g = (d\omega/dk)_{k_0}$

Si un paquet d'onde se propage dans une milieu dispersif

=> « déformation » au cours de sa propagation car son déphasage dépend de la fréquence.

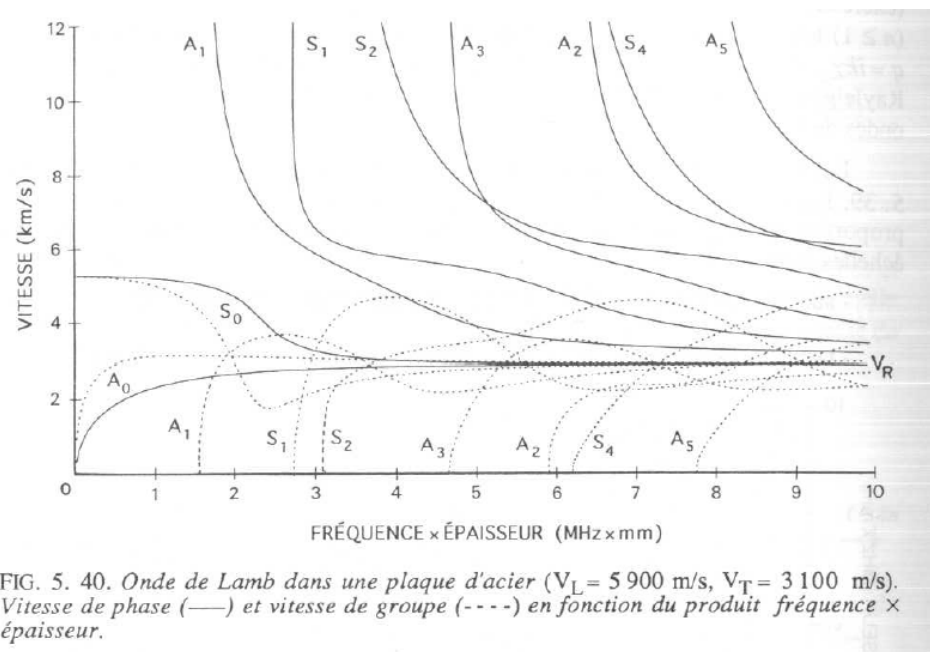
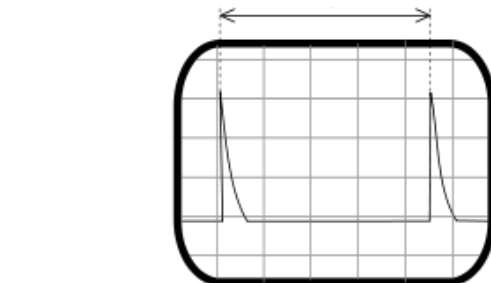
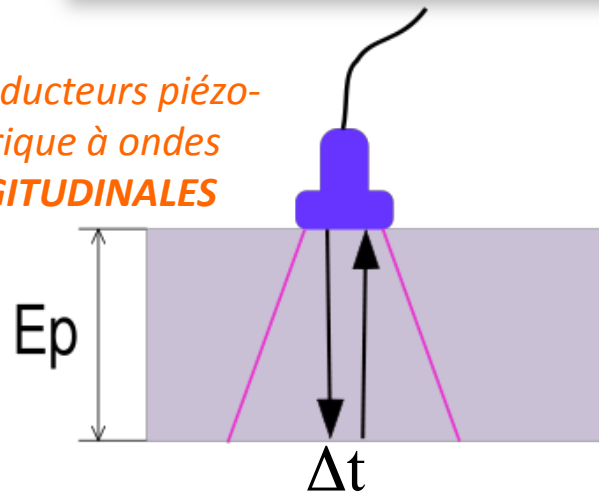


FIG. 5. 40. Onde de Lamb dans une plaque d'acier ( $V_L = 5900 \text{ m/s}$ ,  $V_T = 3100 \text{ m/s}$ ).  
Vitesse de phase (—) et vitesse de groupe (----) en fonction du produit fréquence × épaisseur.

COURBE DE DISPERSION DES  
ONDES DE LAMB DANS L'ACIER  
*(extrait du ROYER & DIEULESAINT  
Tome 1)*

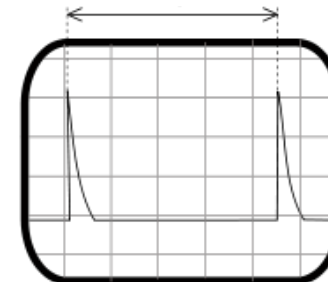
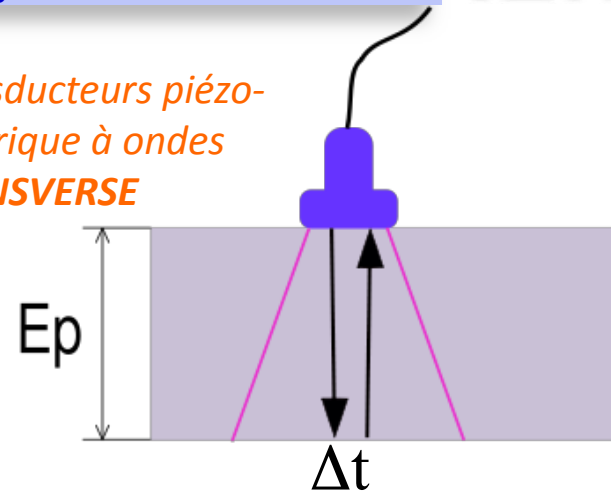
- Généralités sur les ondes acoustiques
- **Ultrasons pour la caractérisation mécanique**
  - ✓ Caractérisation par ondes de volumes
  - ✓ Caractérisation par ondes guidées
- Contrôle non destructif par ultrasons
  - ✓ Ondes de volumes
  - ✓ Ondes guidées
  - ✓ Acoustique non-linéaire

Transducteurs piézo-  
électrique à ondes  
**LONGITUDINALES**



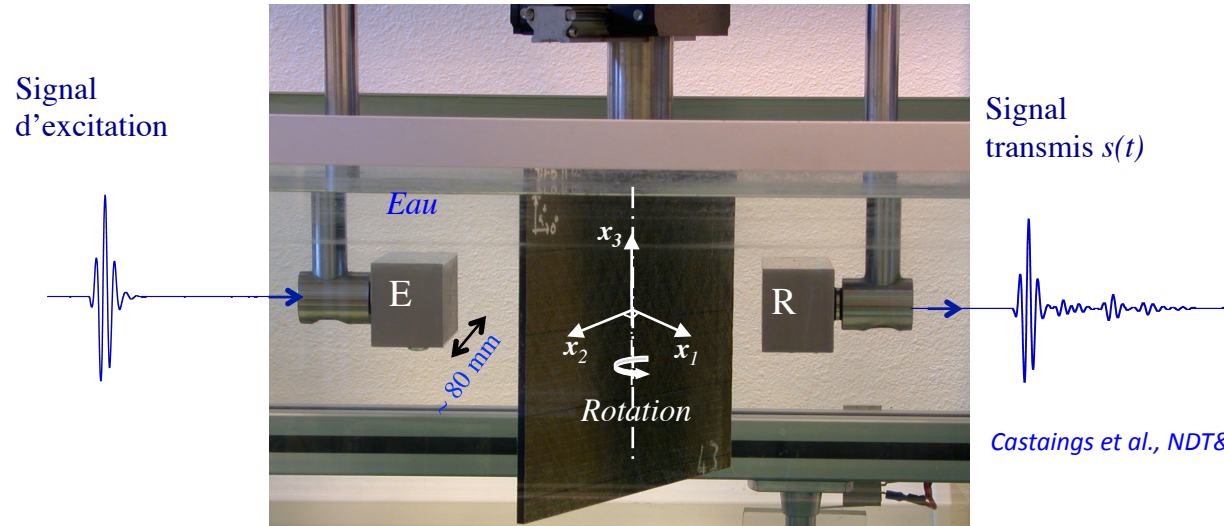
$$V_L = \sqrt{\frac{E(1-\nu)}{\rho(1+\nu)(1-2\nu)}}$$

Transducteurs piézo-  
électrique à ondes  
**TRANSVERSE**



$$V_T = \sqrt{\frac{E}{2\rho(1+\nu)}}$$

Détermination de E et ν (si on connaît ρ)

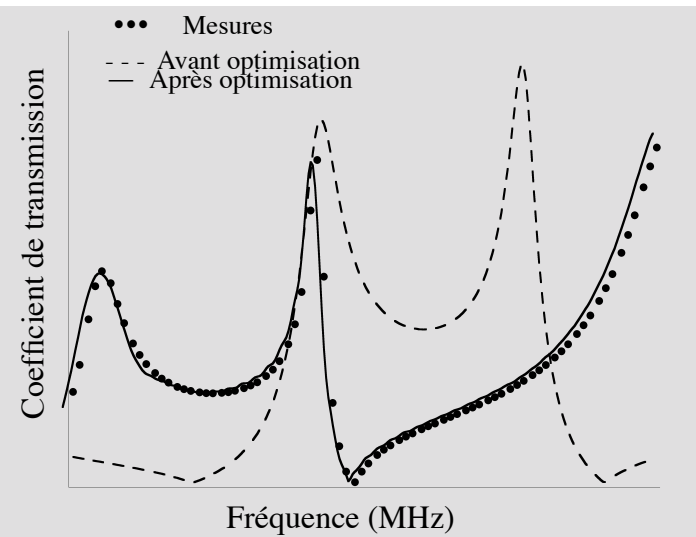


Coefficients de transmission mesurés :

$$|T^{\text{Exp}}(f_n, \theta_m)| = \frac{|A_T^{\text{Exp}}(f_n, \theta_m)|}{|A_I^{\text{Exp}}(f_n)|}$$

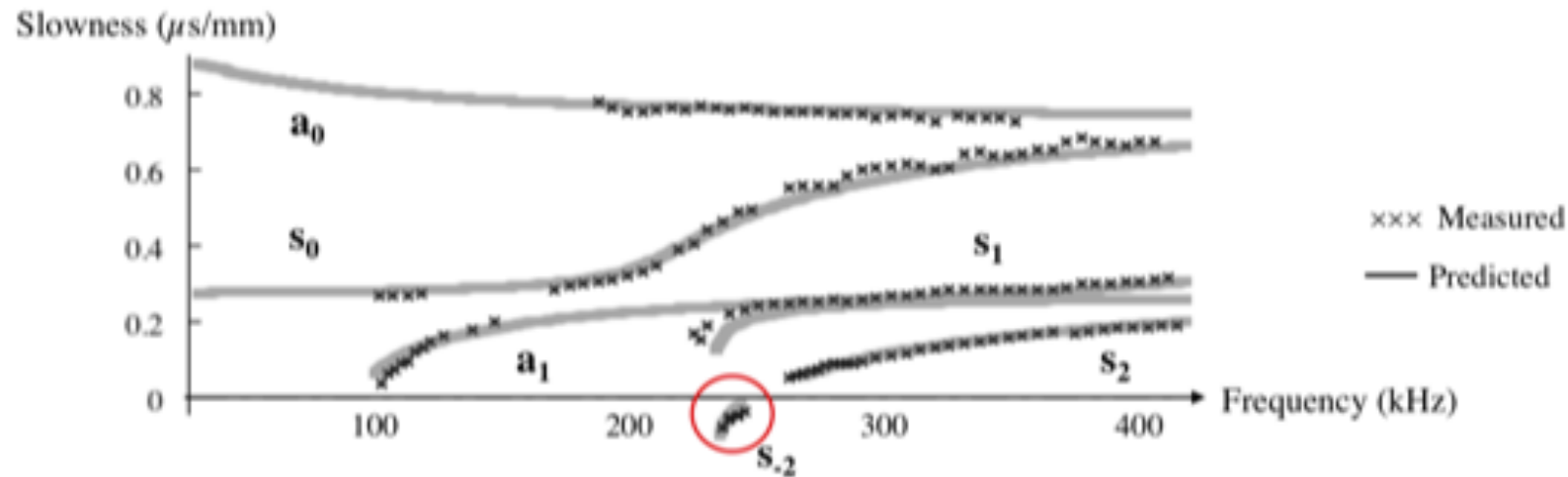
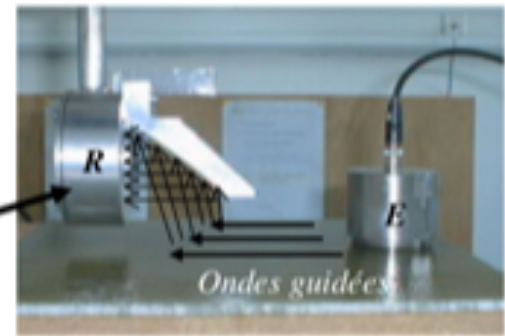
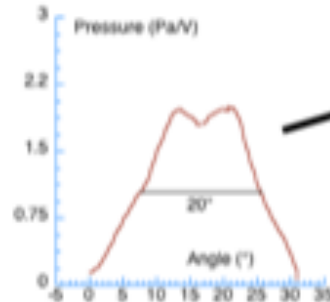
Calcul des coefficients de transmission théoriques grâce à la méthode des matrice d'impédances de surfaces (*Hosten et al., Ultrasonics 41, 2003*)

Une routine d'optimisation (*méthode du simplex*) est utilisée pour évaluer les modules  $C_{11}$ ,  $C_{22}$ ,  $C_{12}$  et  $C_{66}$  de la colle dans le plan  $P_{12}$



## Air-coupled guided waves - Material characterization

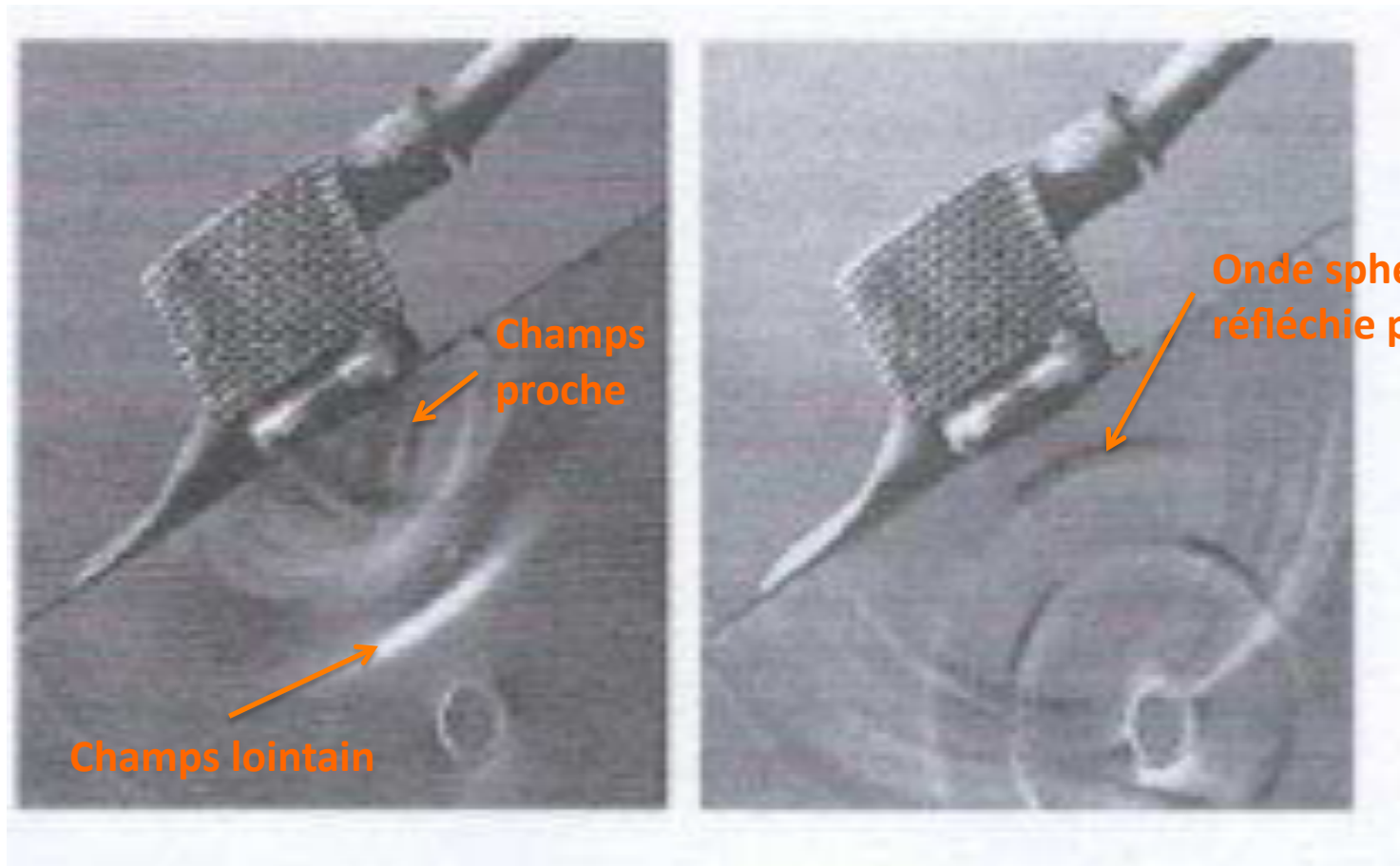
Ex. : Crossed-ply Carbone Epoxy - 5 mm



$C_{11}$	$C_{12}$	$C_{22}$	$C_{66}$	$C_{13}$	$C_{33}$	$C_{55}$
14	8.2	32	3.5	8.1	30	3.4

GPa

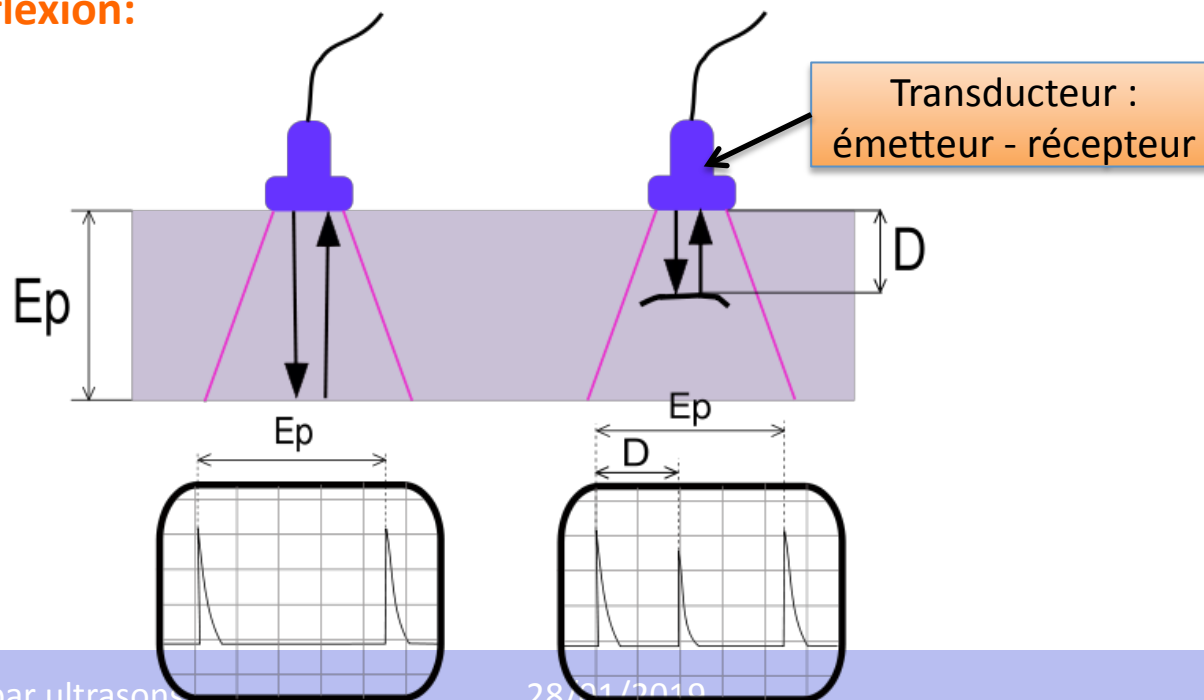
- **Généralités sur les ondes acoustiques**
- **Ultrasons pour la caractérisation mécanique**
  - ✓ Caractérisation par ondes de volumes
  - ✓ Caractérisation par ondes guidées
- **Contrôle non destructif par ultrasons**
  - ✓ Ondes de volumes
  - ✓ Ondes guidées
  - ✓ Acoustique non-linéaire

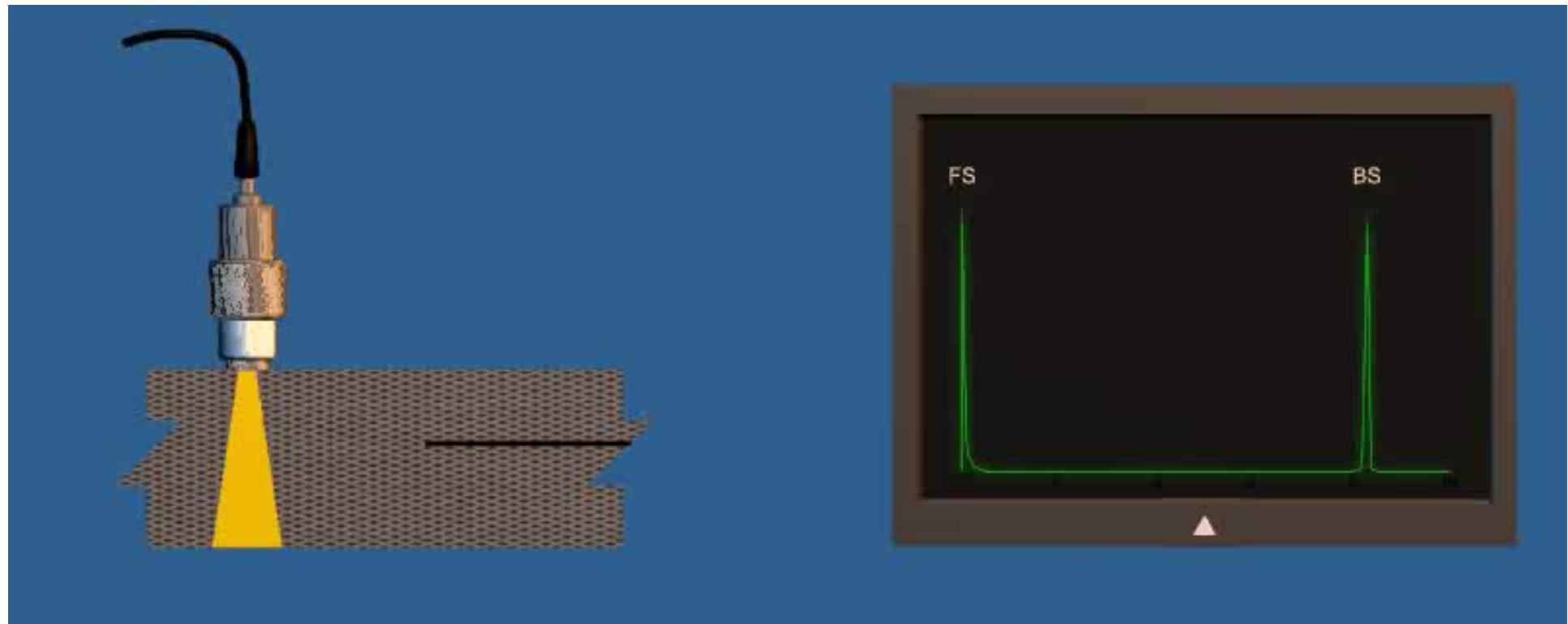


- Précautions:

- Nécessite la présence d'un **agent de couplage** entre la pièce et le transducteur pour éviter toute atténuation du signal à cause de l'air.
- L'interface air/pièce se comporte comme un miroir pour les ultrasons (près de 90% de l'énergie est réfléchie si il y a 1µm d'air entre la pièce et le transducteur)

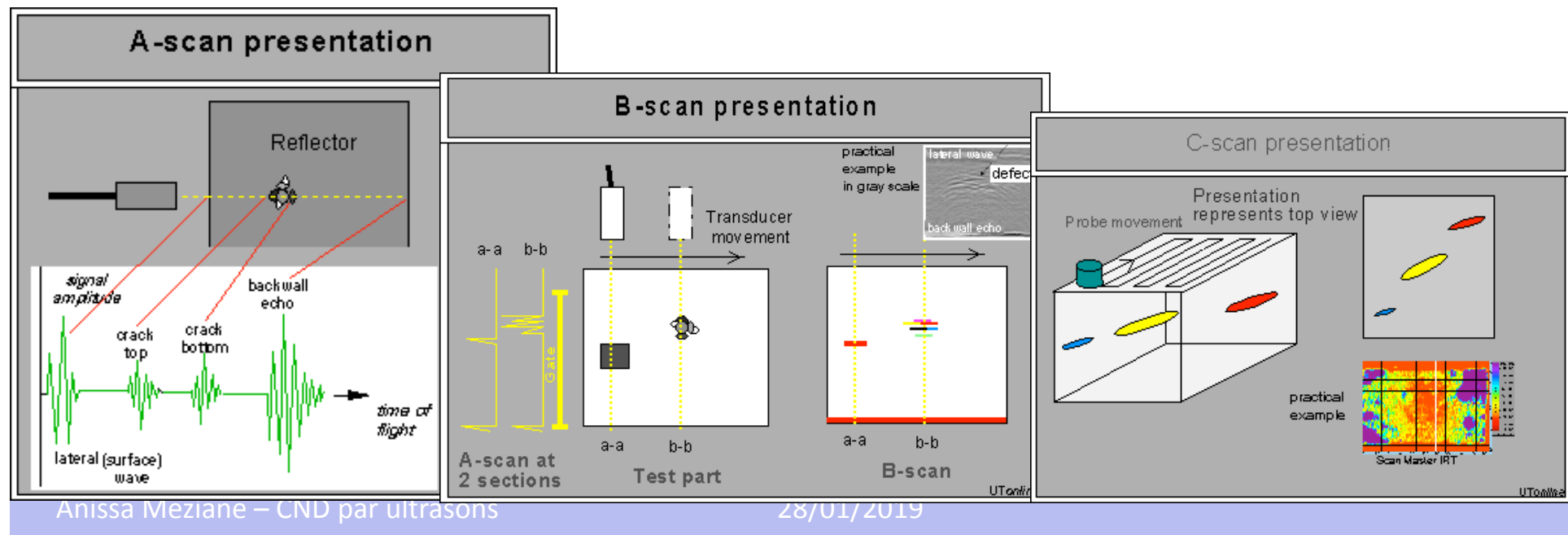
- Examen par réflexion:



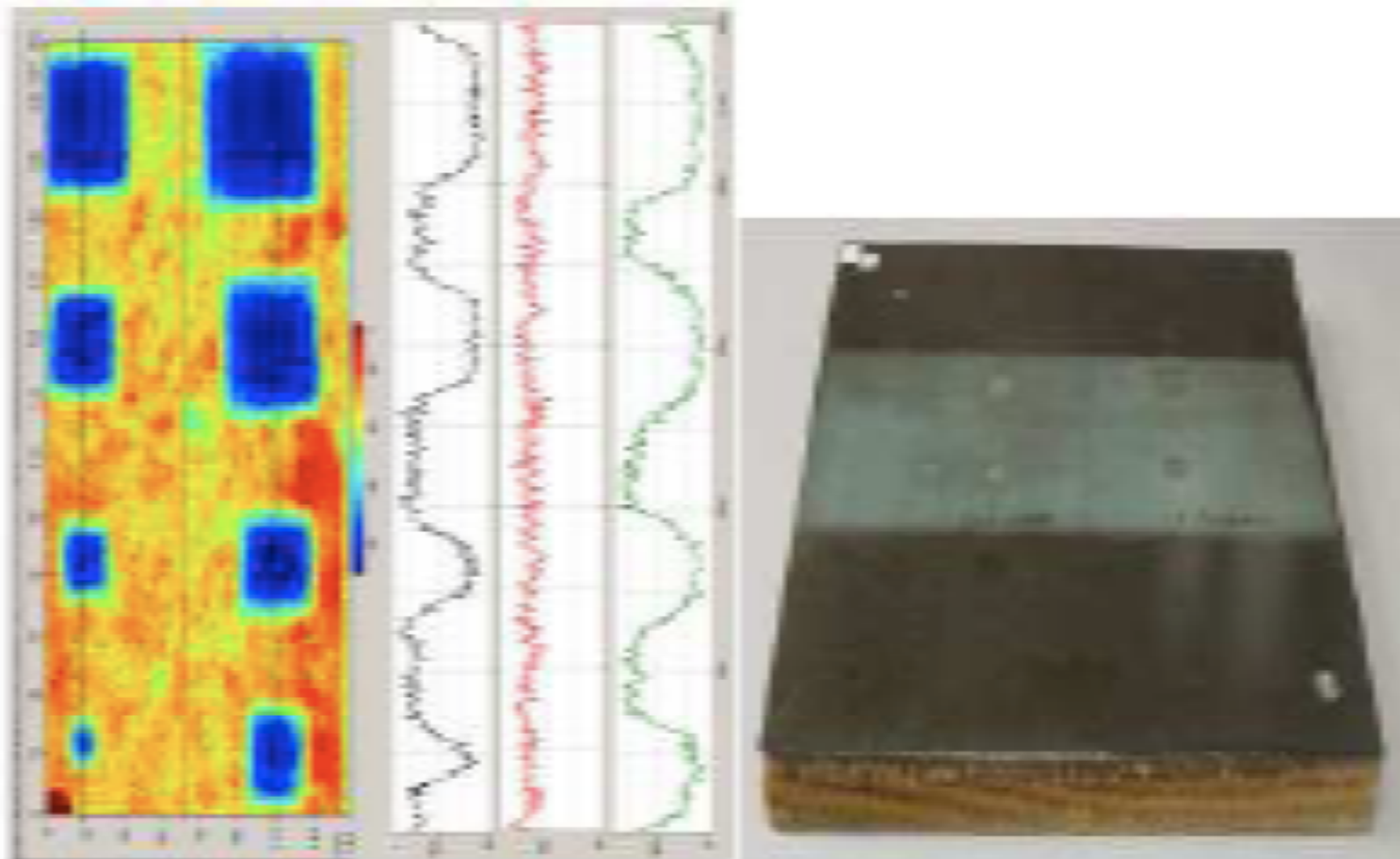


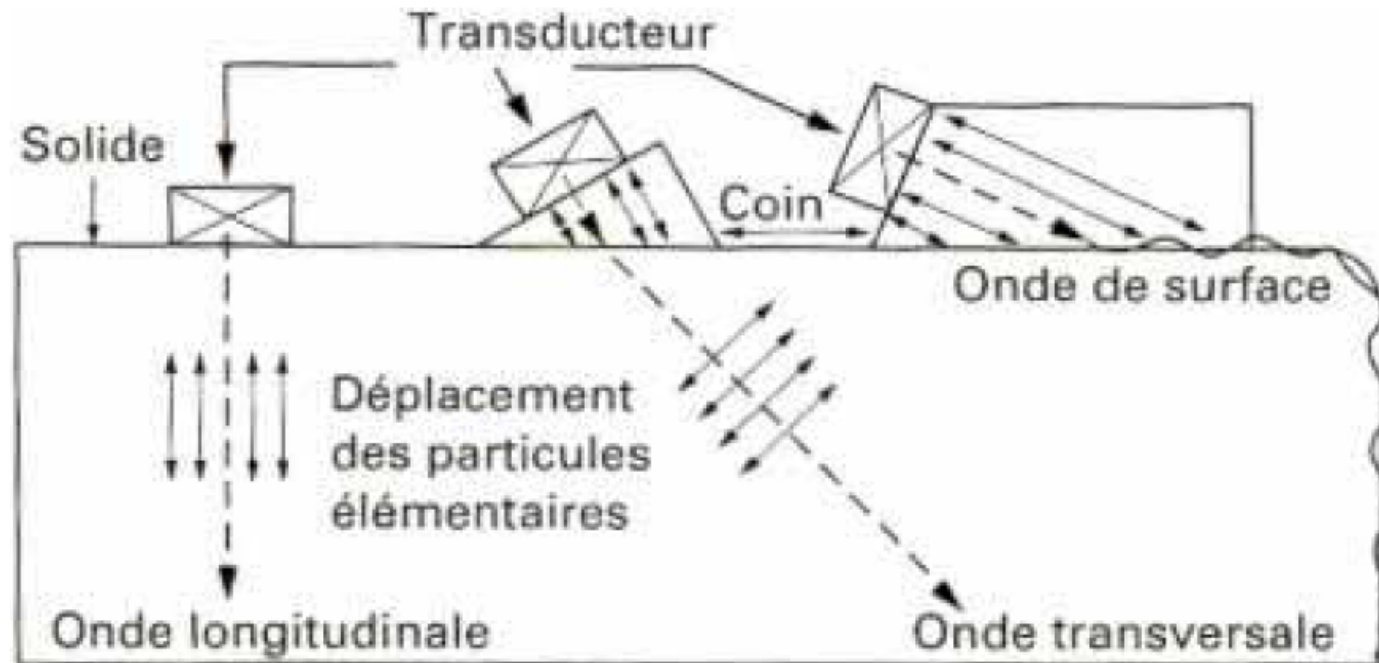
- Trois grands types d'examen par US:

- **Visualisation de type A (A-scan)** : représentation par échos amplitude/temps.  
L'amplitude = énergie reçue, le temps = distance parcourue
- **Visualisation de type B (B-scan)** : vue en coupe de la pièce examinée
- **Visualisation de type C (C-scan)** : vue en plan et de dessus de la pièce



C-SCAN d'une plaque en composite contenant des inserts





$$V_L = \sqrt{\frac{E(1-\nu)}{\rho(1+\nu)(1-2\nu)}}$$

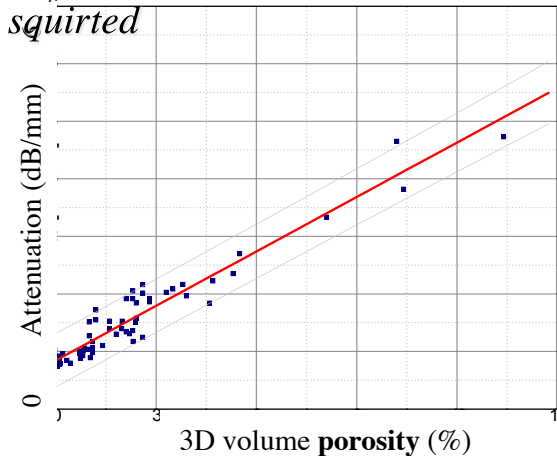
$$V_T = \sqrt{\frac{E}{2\rho(1+\nu)}}$$

## Through-transmission ultrasonic technique

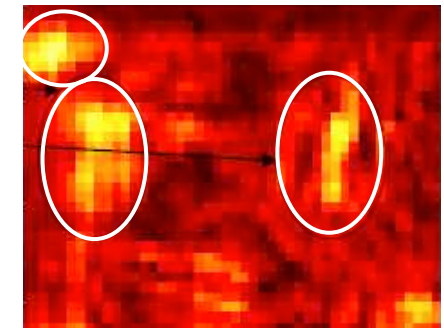
### Water jet



*Ultrasonic Attenuation coefficient  
Sensor 1MHz, 4mm jet of water,  
squirted*



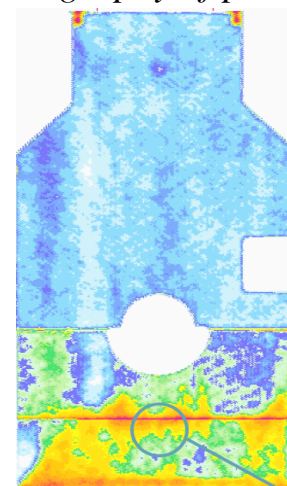
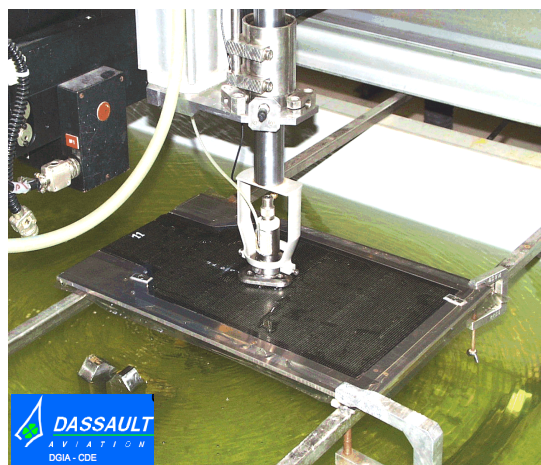
*Detection of delaminations*



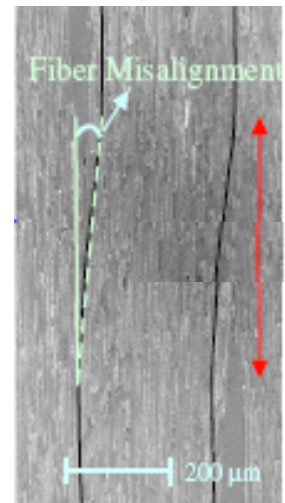
<http://www.wavelength-ndt.com/composites.htm>

### Pulse-echo ultrasonic technique / Immersion tank

*US cartography of porous zone of RTM*



*Detection of fibres misalignment*



J. Cho, Scripta Materialia 56, 2006

Ex. : Impacted 3 mm Carbon Kevlar plate samples

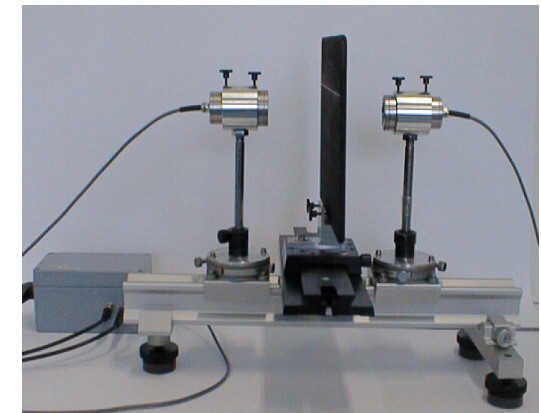
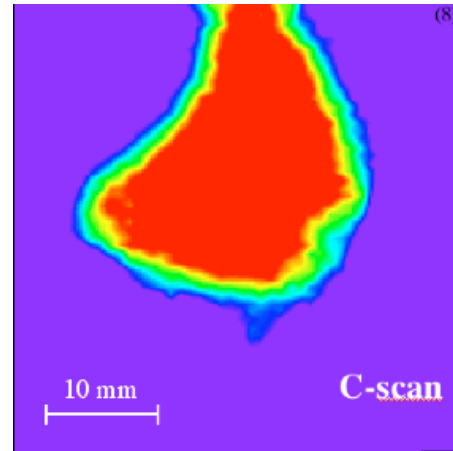


*Photo*

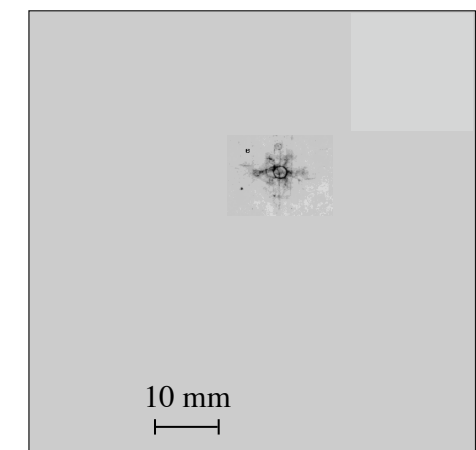
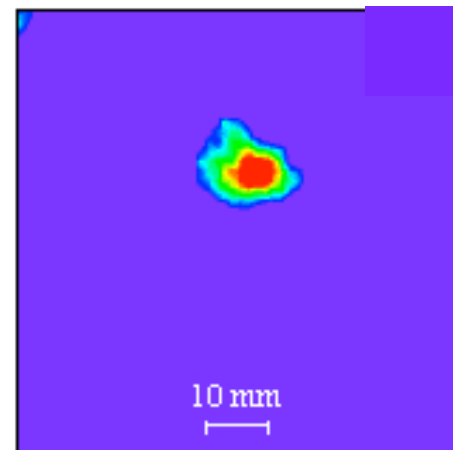


*Impact 2J*

*Ultrasonic C-scan / 250 kHz*



*X-Ray inspection*



## Principe :

Utilisation de plusieurs éléments piézoélectriques pour focaliser et/ou générer différents types d'ondes.



Figure 1-3 Typical phased array probe assemblies

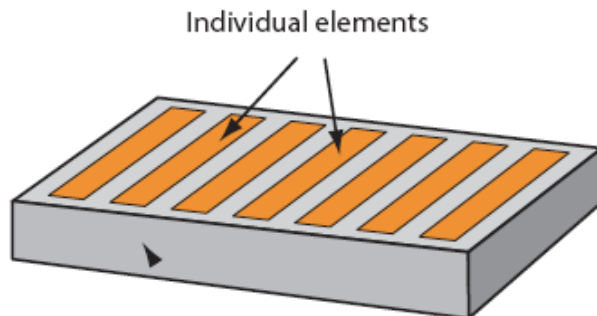


Figure 1-4 Typical multielement construction

S-SCAN d'une cale étalon



Echographie : S-SCAN



Figure 1-2 Phased arrays used for medical diagnoses

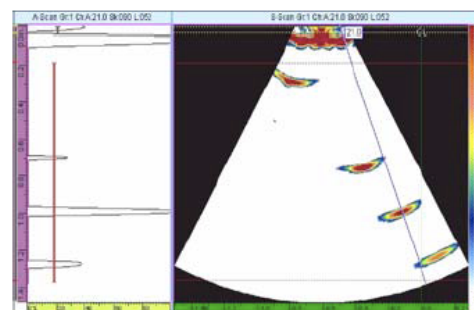


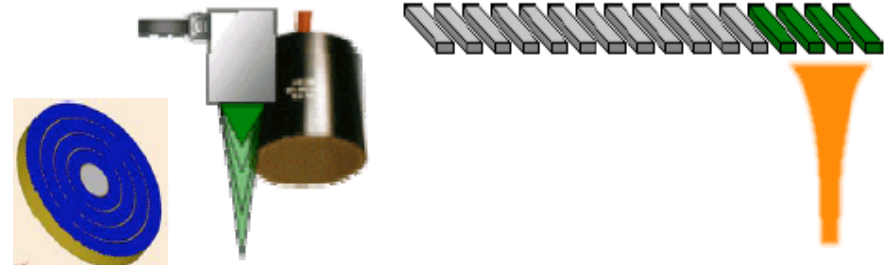
Figure 3-8 -30° to +30° S-scan

## Ultrasonic Phased-array systems : application on composite material

Various types of contact probes including smart flexible Transducer



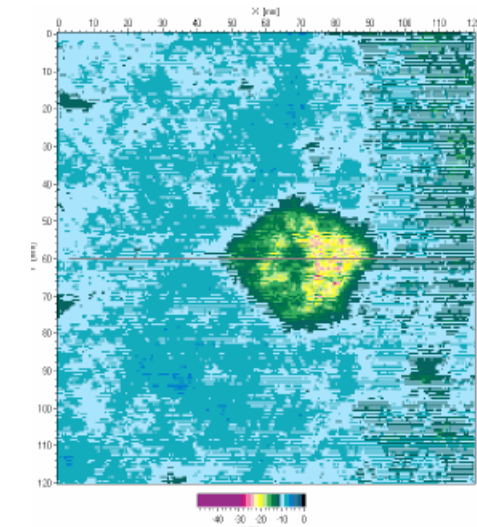
Focussing and/or linear scanning by setting properly phase delay for each channel



Ex. Ultrasonic imaging for defects in curved composite components / German Aerospace centre



Deutsches Zentrum  
für Luft- und Raumfahrt e.V.  
in der Helmholtz-Gemeinschaft



Shows defect size and location

- Lamb waves can penetrate large areas (long-range inspection)
- No time consuming scanning

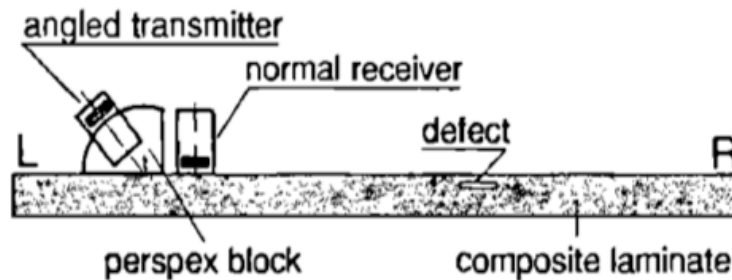
But

- For each frequency, at least two wave modes exist
- Modes are often dispersive

Therefore

- Modes have to be carefully selected depending on the type of damage and on the material of the tested component
- Specific signal processing is often required due to mode conversion phenomenon

N. Guo, P. Cawley JASA. 94 (4) 1993

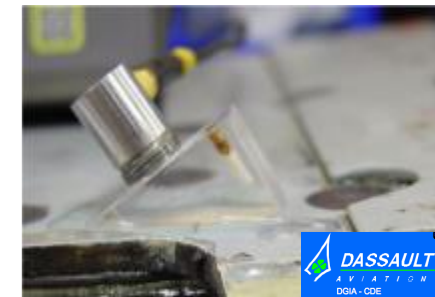


[0/90]<sub>2s</sub> Carbon Epoxy 1mm thick plate

F=0.5 MHz / Incident S<sub>0</sub> mode

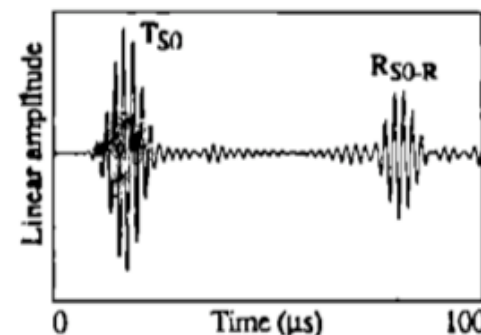
Defect is delamination like at various positions thru-thickness

*Mono-element transducers*

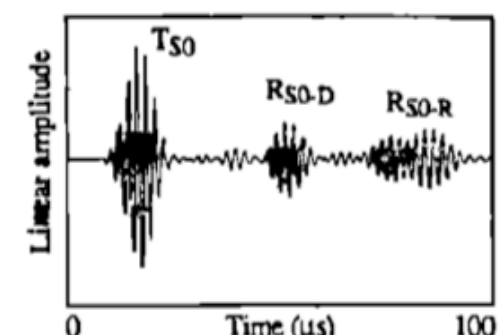


DASSAULT  
AVIATION  
DGIA-COE

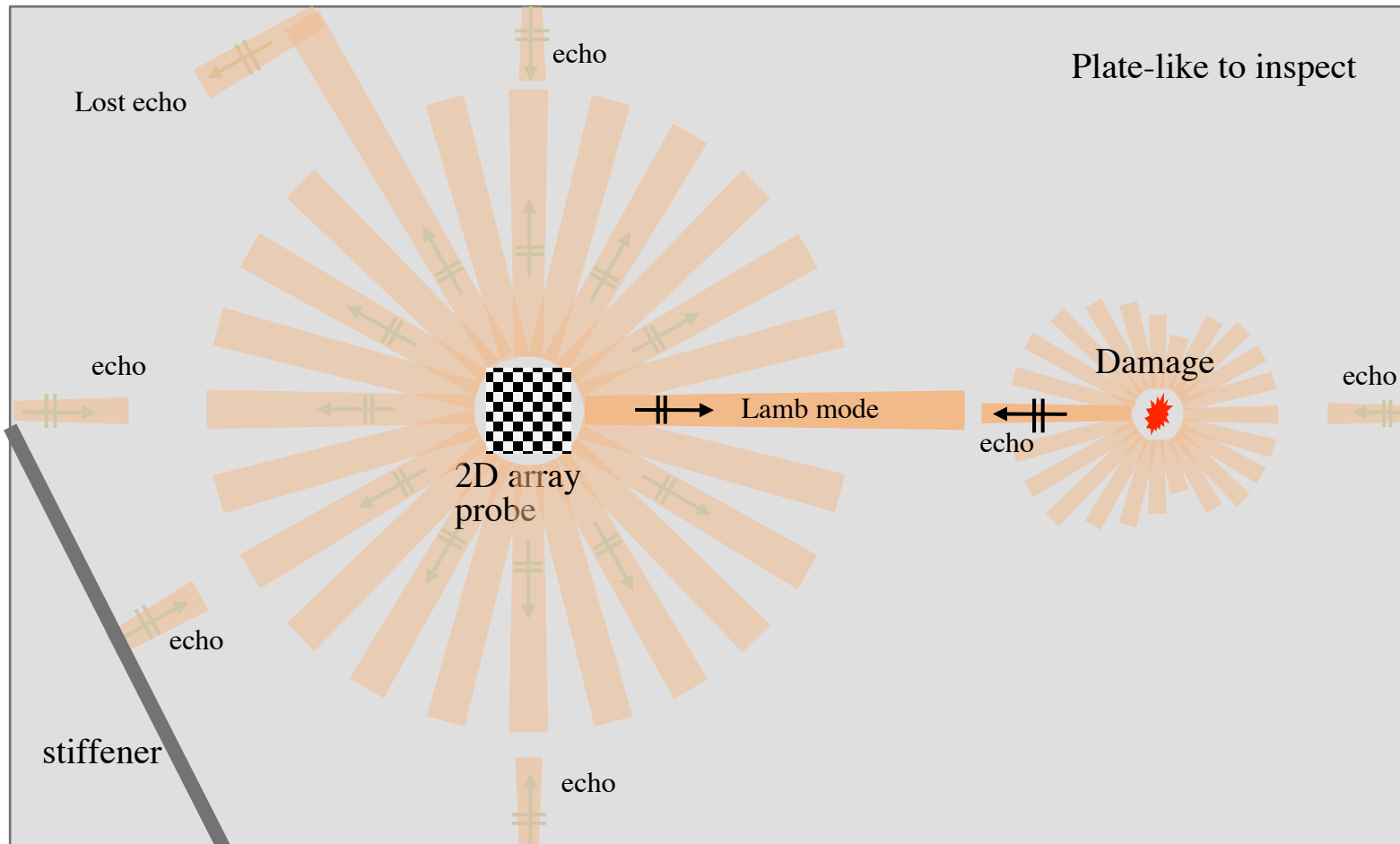
Measured time traces - No defect



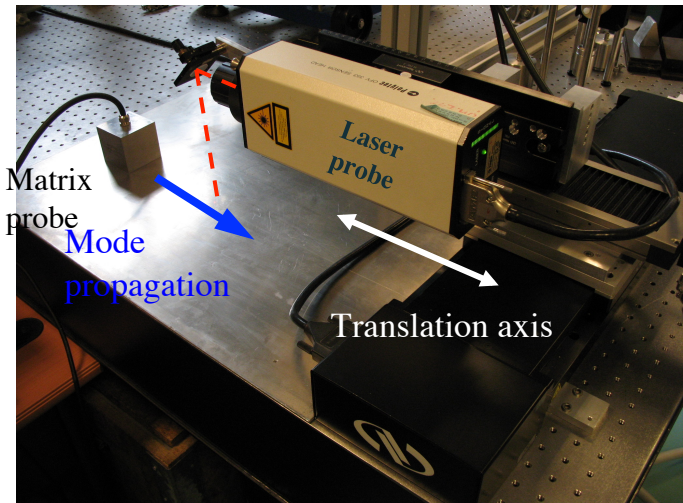
Measured time traces - Defect 7/8



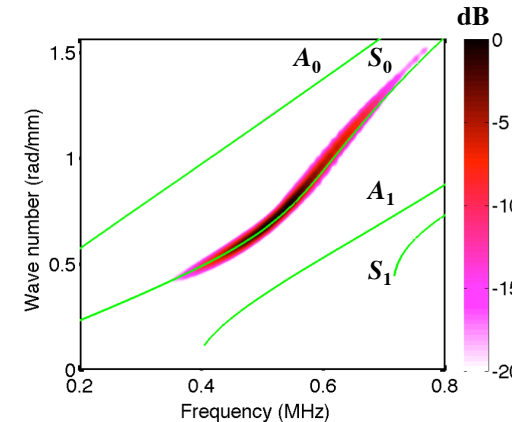
To use single, compact, removable, PZT, matrix probe for selecting pure Lamb mode sent toward (received from) given directions and for quickly inspecting these directions over long distances.



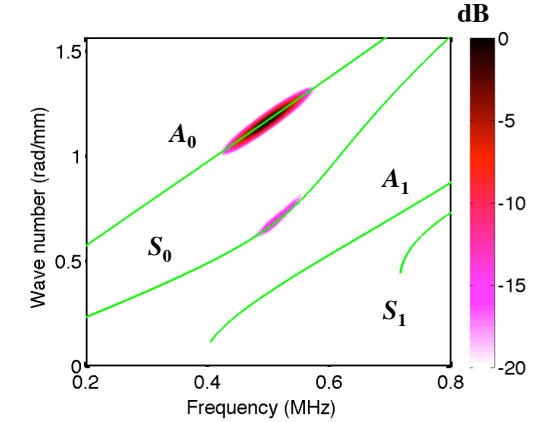
- Need to do 2D beam steering + modal selectivity + compensate modes dispersion for large structures.



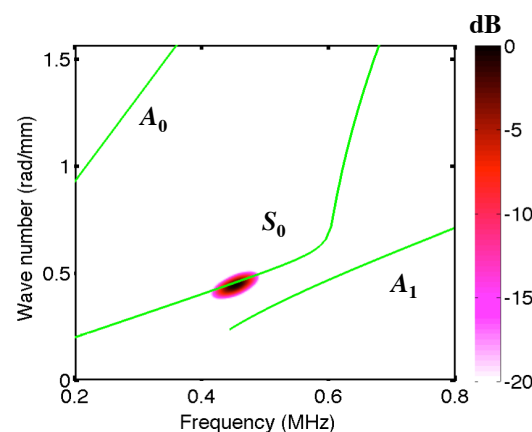
$S_0$  from 0.4 to 0.8 MHz (dispersive mode) in 4 mm aluminium plate



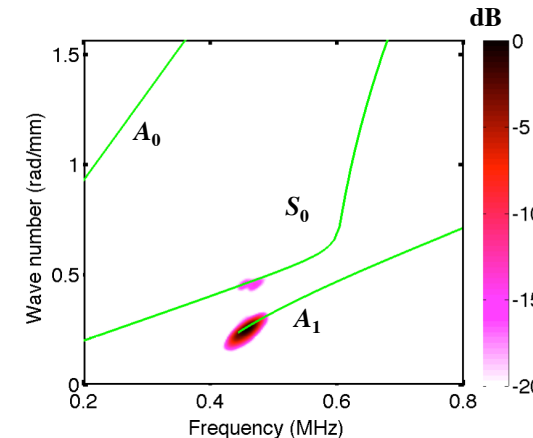
$A_0$  from 0.4 to 0.6 MHz (non dispersive mode) in 4 mm aluminium plate



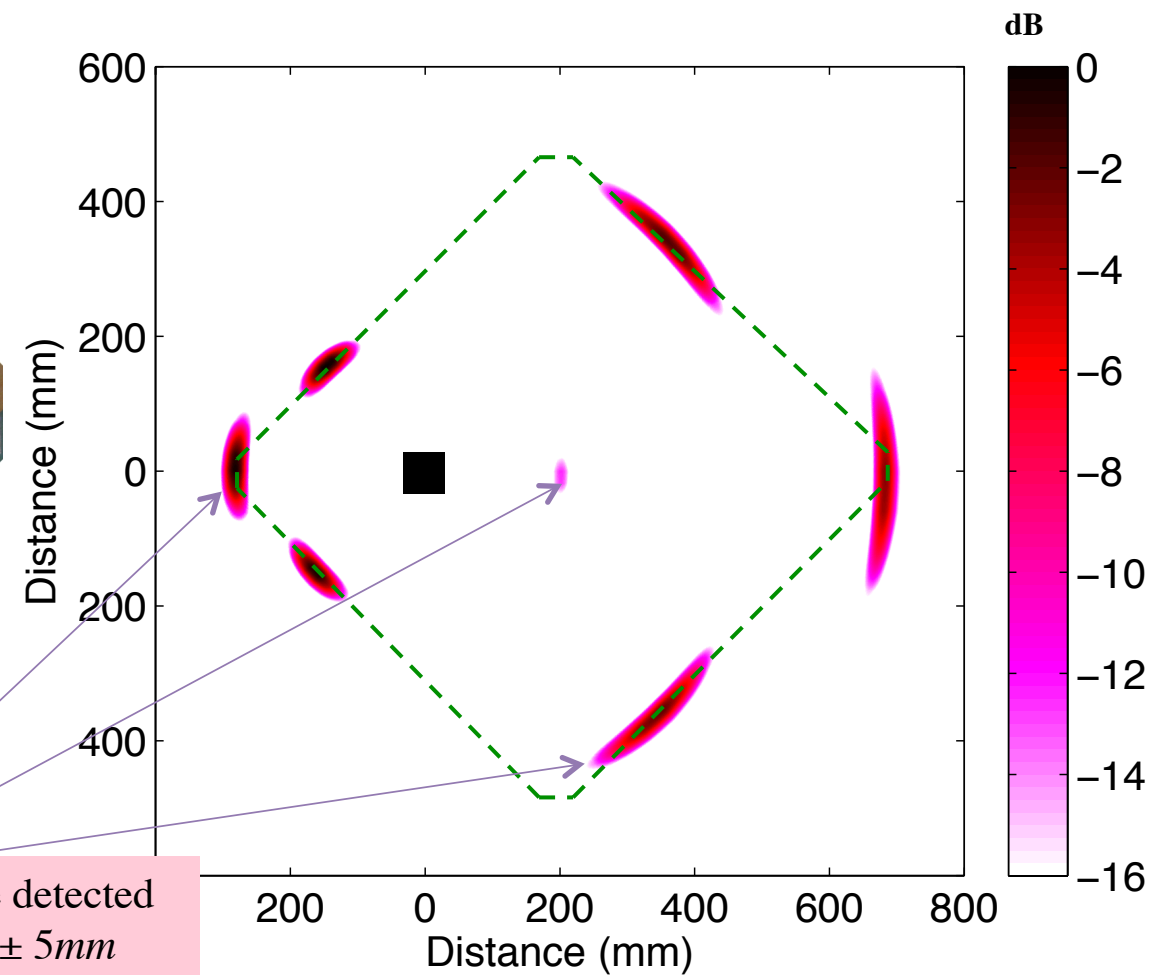
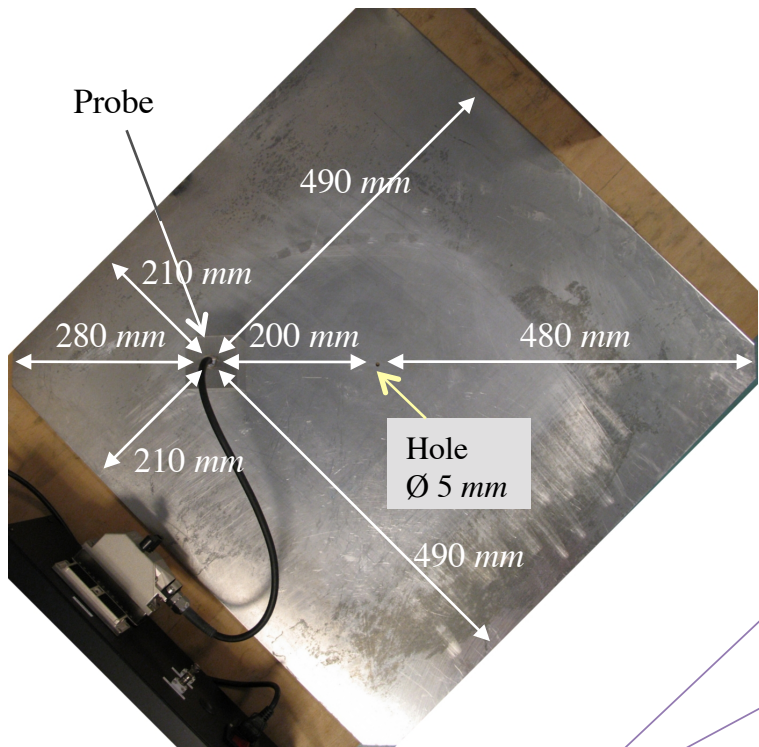
$S_0$  from 0.4 to 0.5 MHz (non dispersive mode) in 2.1 mm carbon epoxy [0°/90°]4s composite plate – Along fibre direction



$A_1$  from 0.4 to 0.5 MHz (dispersive mode) in 2.1 mm carbon epoxy [0°/90°]4s composite plate – Along fibre direction



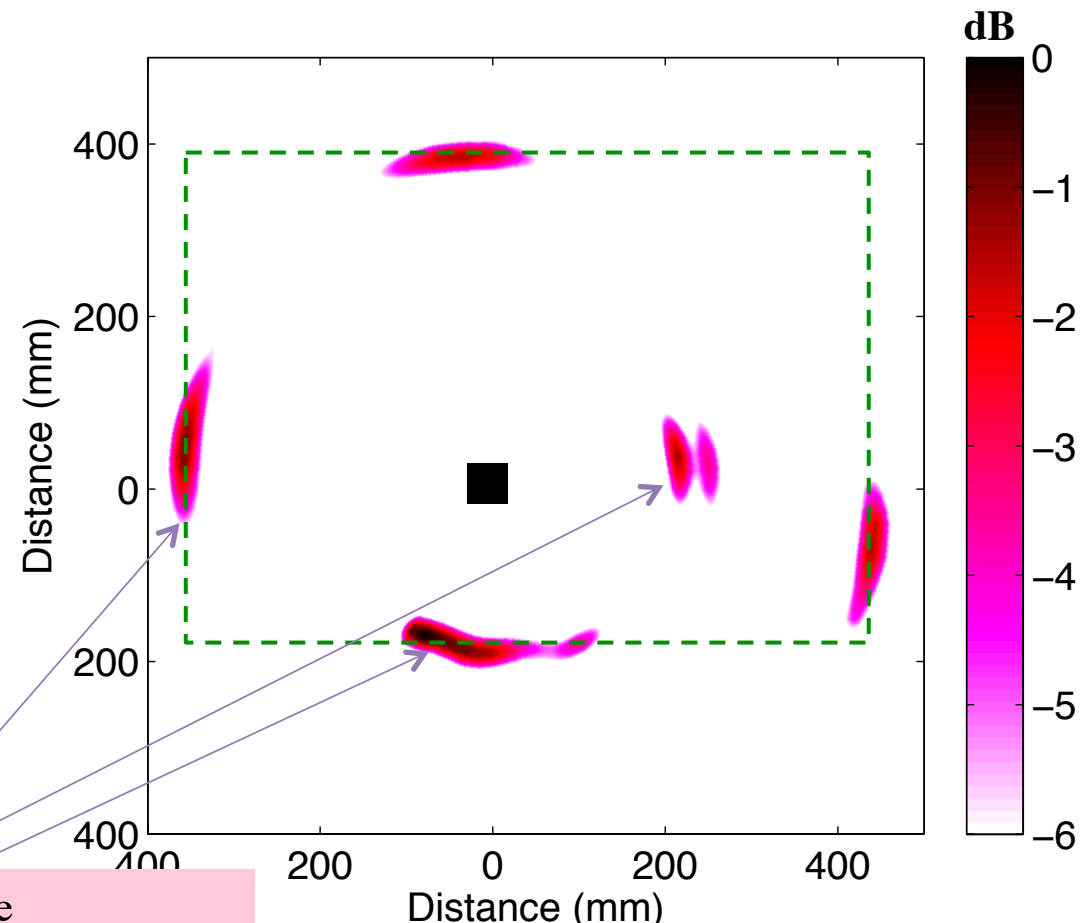
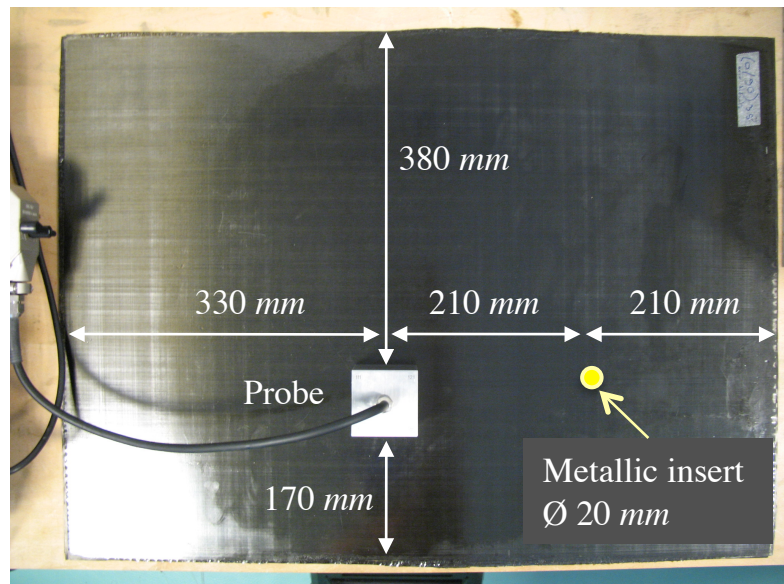
Sample = 4 mm thick Aluminium plate; Defect = Corrosion-like;  
 Excitation = 12-cycle, 0.35 MHz centre frequency toneburst;  
 Guided wave =  $S_0$  mode –  $\lambda \approx 15 \text{ mm}$  – Excited in and received from all directions.



Sample = 1.6 mm thick [0°/90°]3s Carbon Epoxy plate

Excitation = 12-cycle, 0.35 MHz centre frequency toneburst

Guided wave =  $S_0$  mode –  $\lambda \approx 18$  mm – Excited in and received from all principal directions



→ Edges and delamination-like defect are detected and located with maximum error =  $\pm 10$  mm

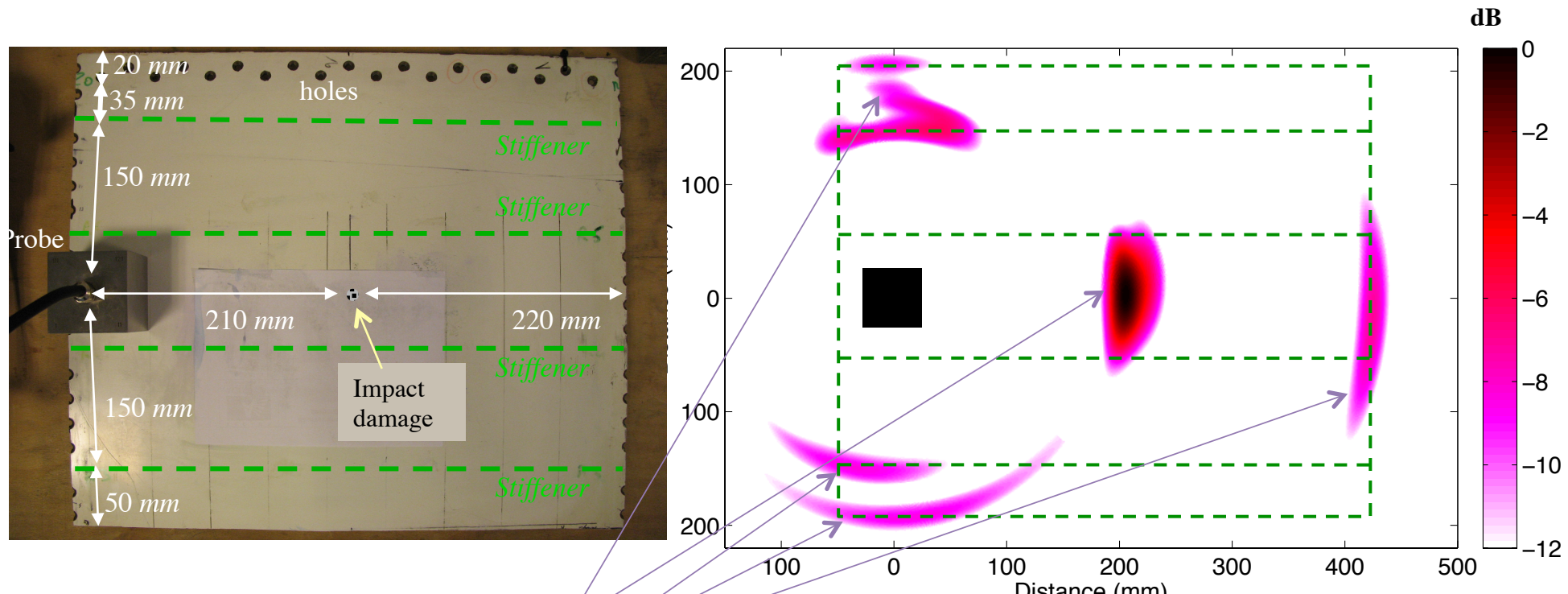
A. Leleux, P. Micheau, M. Castaings, Journ. of NDE 32, p. 200, 2013

Sample = 4 mm thick Carbon Epoxy curved plate with 4 composite stiffeners

Defect = Impact damage

Excitation = 12-cycle, 0.5 MHz centre frequency toneburst

Guided wave =  $S_0$  mode –  $\lambda \approx 14$  mm – Excited in and received from all principal directions



→ Edges, "far" stiffeners, holes and impact damage are detected and located with maximum error =  $\pm 10$  mm

A. Leleux, P. Micheau, M. Castaings, Journ. of NDE 32, p. 200, 2013

- **Généralités sur les ondes acoustiques**
- **Ultrasons pour la caractérisation mécanique**
  - ✓ Caractérisation par ondes de volumes
  - ✓ Caractérisation par ondes guidées
- **Contrôle non destructif par ultrasons**
  - ✓ Ondes de volumes
  - ✓ Ondes guidées
  - ✓ Acoustique non-linéaire

Dans certains cas, CND linéaire peu sensible :

- Microfissures
- Fissures « fermées »
- Plasticité ...



Comportement  
mécanique NON LINÉAIRE

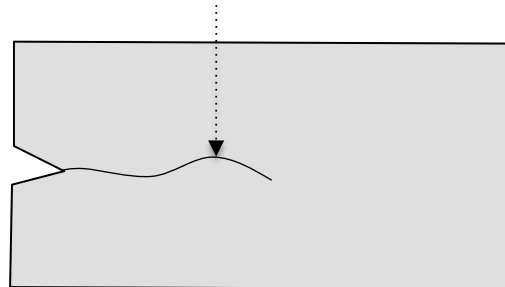
Phénomènes spécifiques lors de la propagation  
d'ondes dans des milieux possédant ces défauts



Quelles informations supplémentaires peut-on obtenir en exploitant ces phénomènes ?

### Pourquoi les méthodes linéaires sont peu sensibles ?

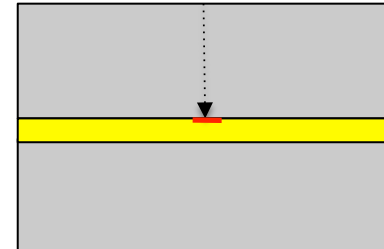
Fissure fermée (/microfissures)



Surfaces conformes entre deux matériaux identiques

- ⇒ Pas de réflexion ...
- ⇒ Pas d'effet notable sur la vitesse de propagation
- ⇒ Peu d'effet sur l'atténuation

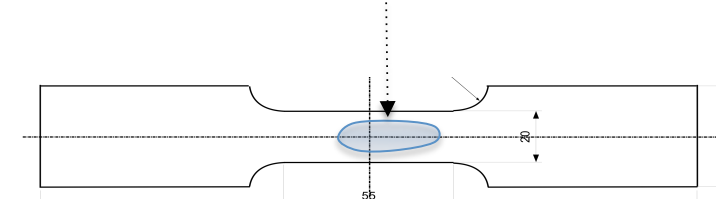
Défaut d'adhésion au niveau d'un joint de colle



Il existe des méthodes linéaires pour caractériser la colle ( $C_{11}$  et  $C_{66}$ ) [1],[2]

mais pas de méthode **linéaire** efficace pour détecter des défauts d'adhésion ...

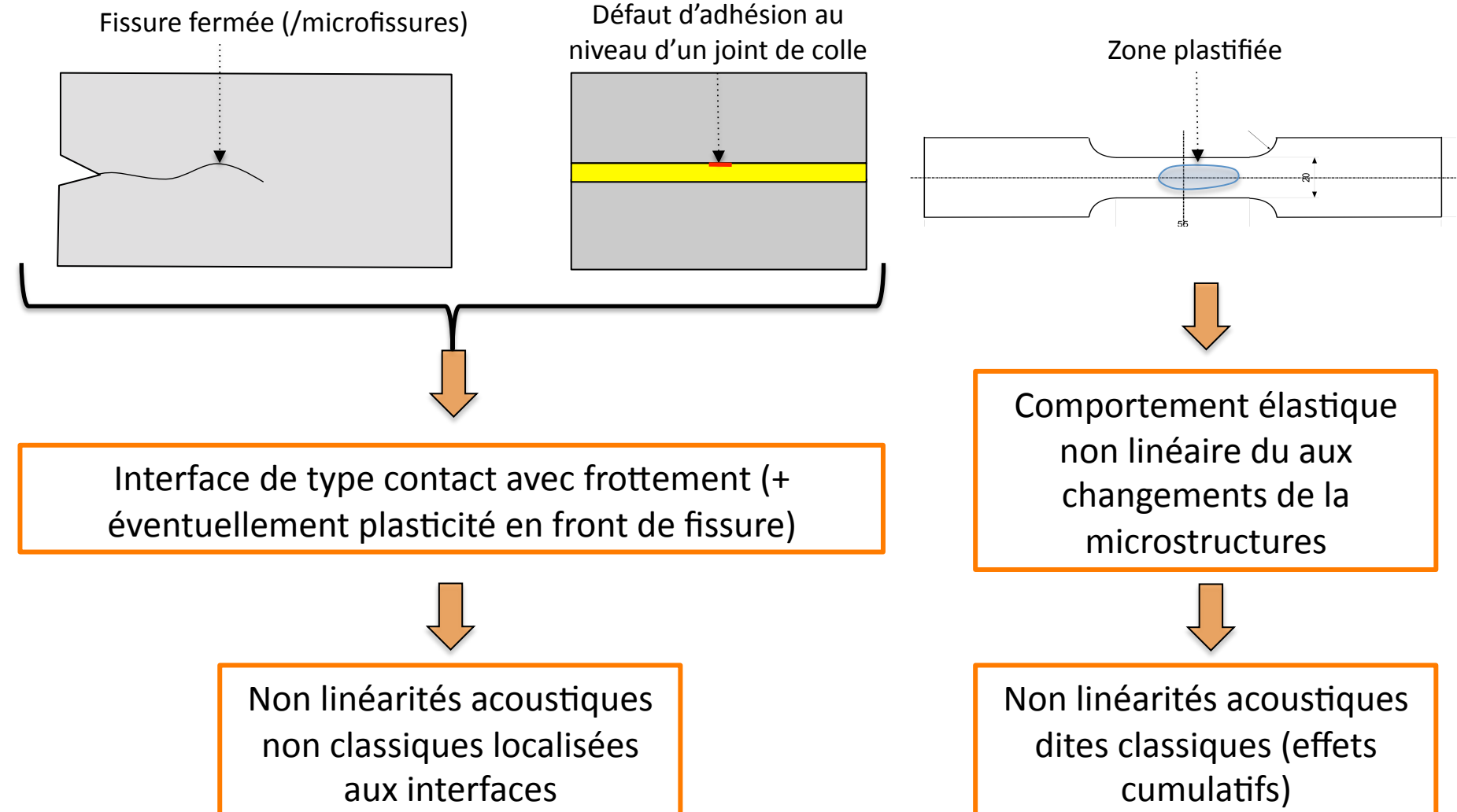
Zone plastifiée



Modification à l'échelle de la micro-structure (Dislocations/ bandes de glissement / ...)

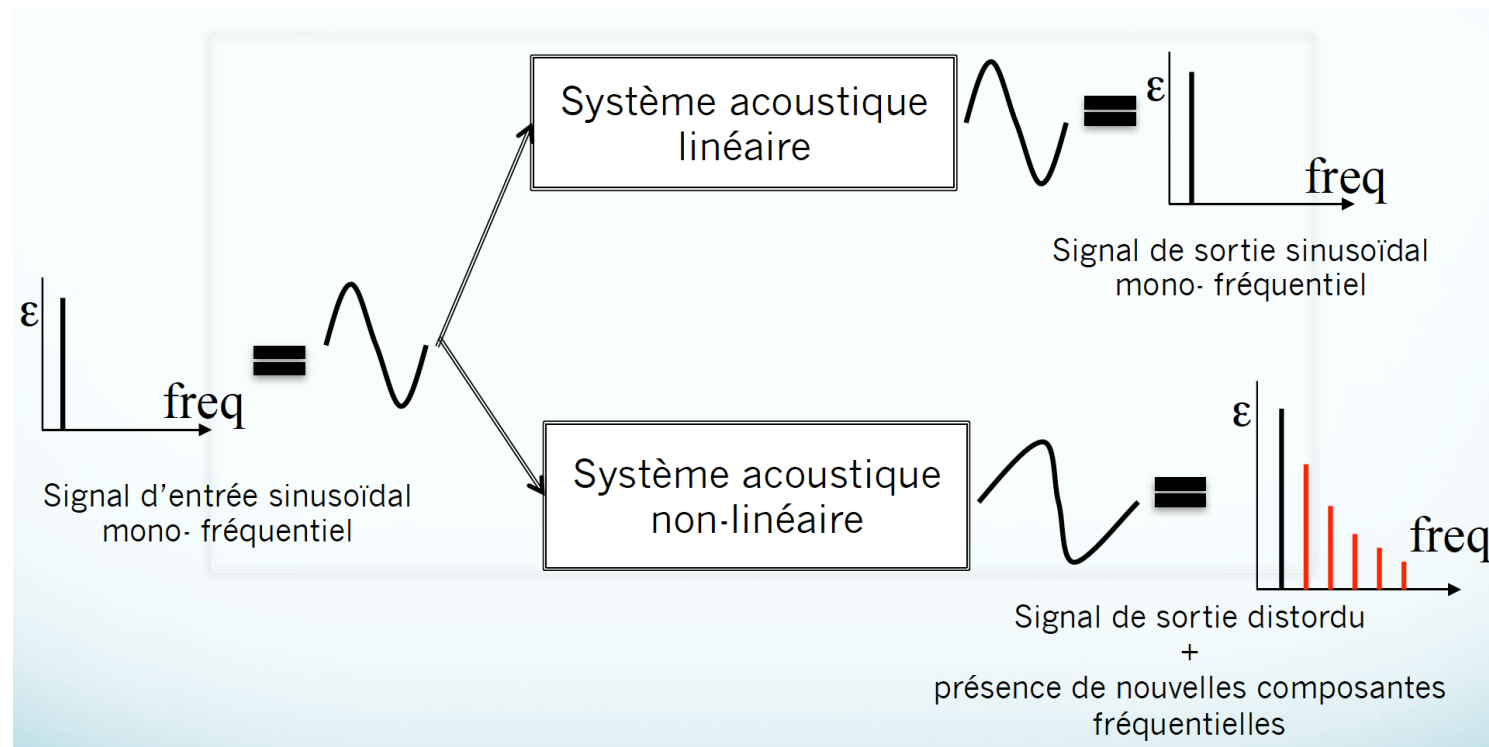
- ⇒ Pas de réflexion ...
- ⇒ Pas d'effet notable sur la vitesse de propagation
- ⇒ Peu d'effet sur l'atténuation

**Pourquoi les méthodes NL sont efficaces ?**



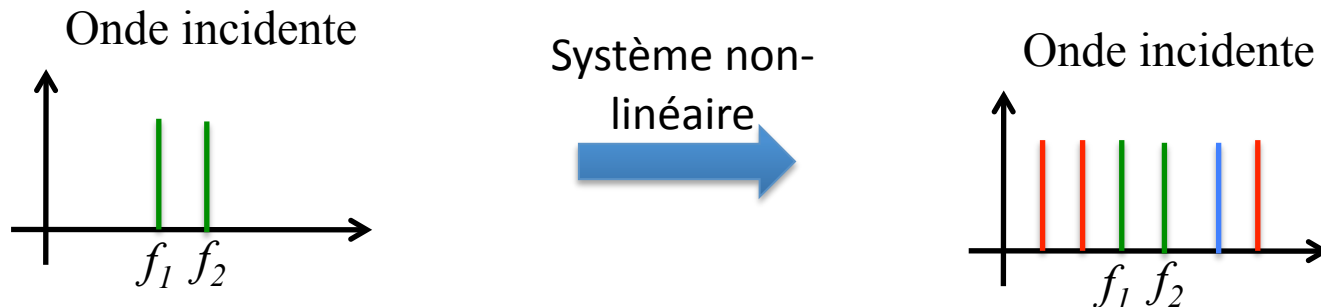
## Générations d'harmoniques :

L'onde incidente a initialement un contenu fréquentiel à  $f$ . Au cours de sa propagation, si elle rencontre une non-linéarité quelconque, son contenu fréquentiel s'enrichit avec des harmoniques  $nf$ .



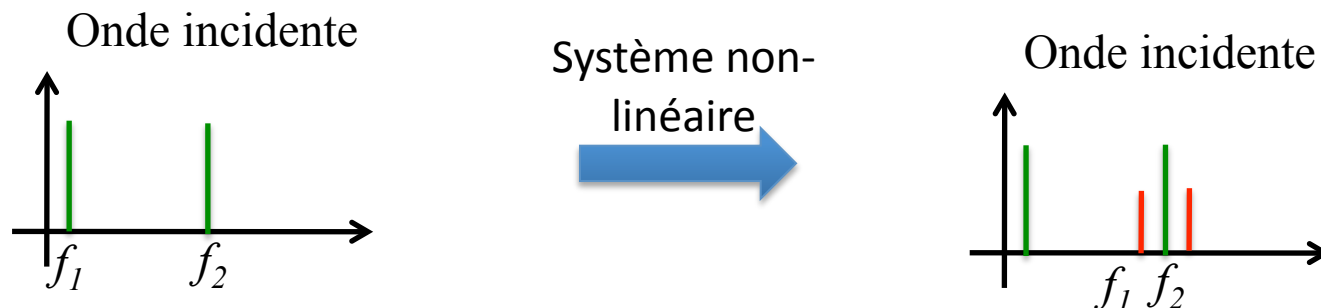
### Interactions fréquentielles:

L'onde incidente a initialement un contenu fréquentiel contenant principalement 2 fréquences  $f_1$  et  $f_2$ . Au cours de sa propagation, si elle rencontre une non-linéarité quelconque, son contenu fréquentiel s'enrichit avec les harmoniques  $nf_1$  et  $nf_2$  mais également avec les fréquences  $nf_1 \pm mf_2$ .



### Modulation de fréquence :

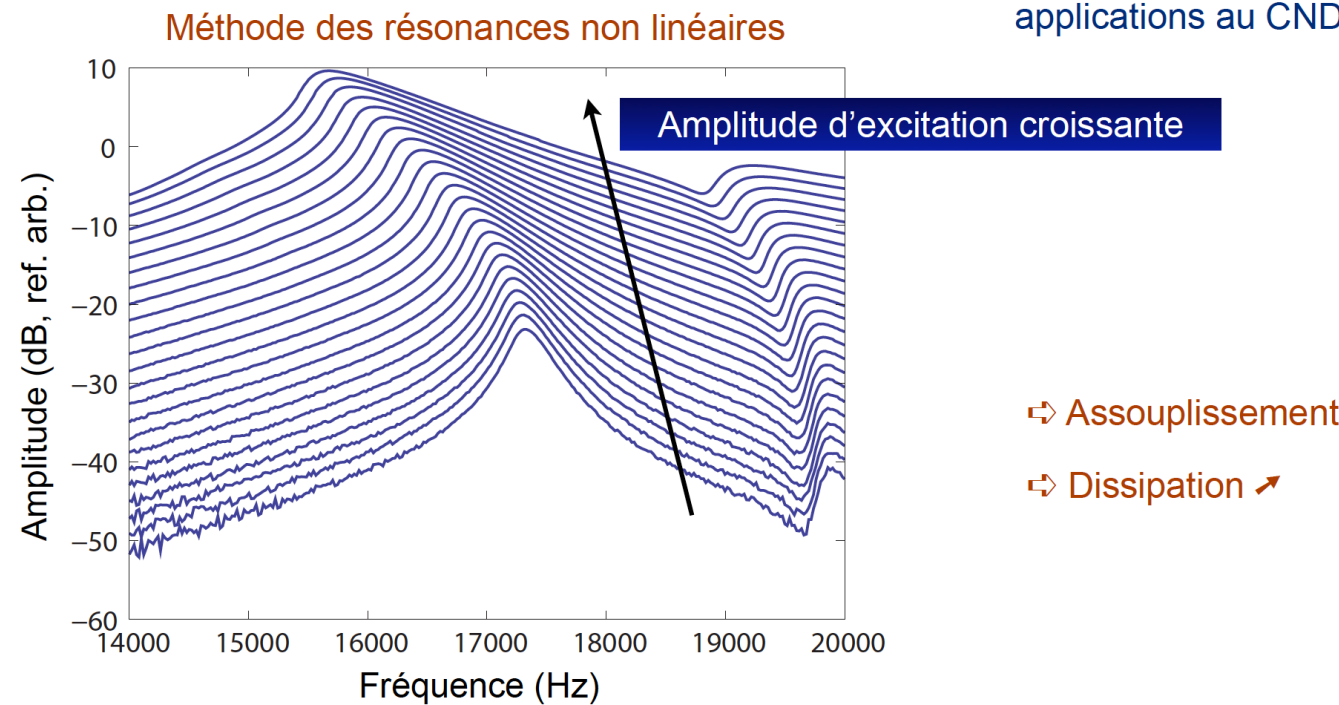
Idem sauf que  $f_1 \ll f_2$ .



## Résonance non-linéaire:

Lorsque le système est non-linéaire, la fréquence de résonnance du système peut dans certains cas varier en fonction de l'amplitude. Ce décalage de la fréquence de résonnance peut être utilisée pour caractériser ou détecter des endommagements.

Processus particuliers,  
propres aux solides  
endommagés initialement  
homogènes ou linéaires :  
applications au CND

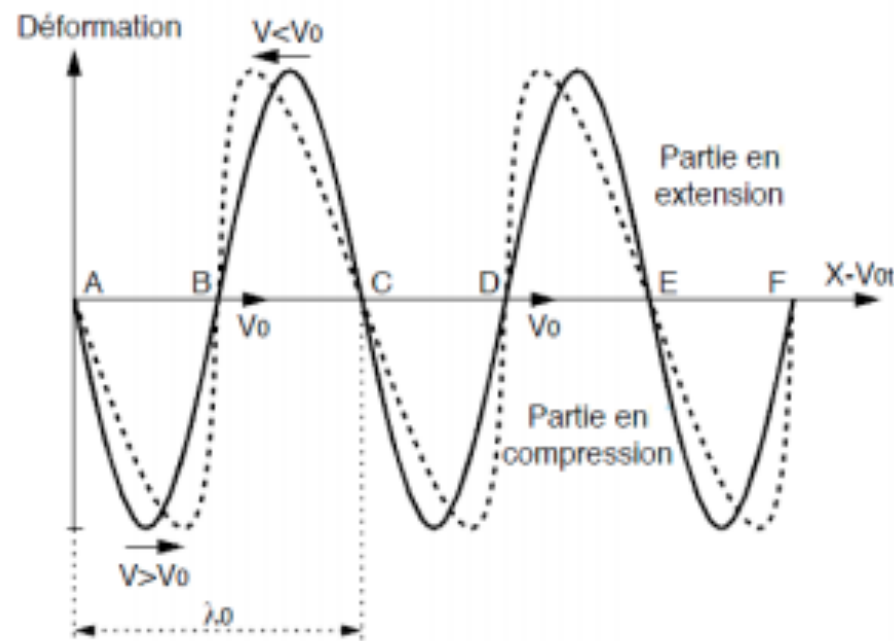


En général, on considère que la relation **contrainte/déformation** est **linéaire**.

=> Vitesse de propagation ne dépend que du milieu de propagation  $V = V_0$

Dans la réalité, la relation **contrainte/déformation** est **non-linéaire**.

=> Vitesse de propagation ne dépend que du milieu de propagation et de la valeur de la déformation :  $V(\epsilon) = V_0(1 + \beta\epsilon)$ , avec  $\beta$  coefficient de non-linéarité,  $\epsilon$  la déformation.



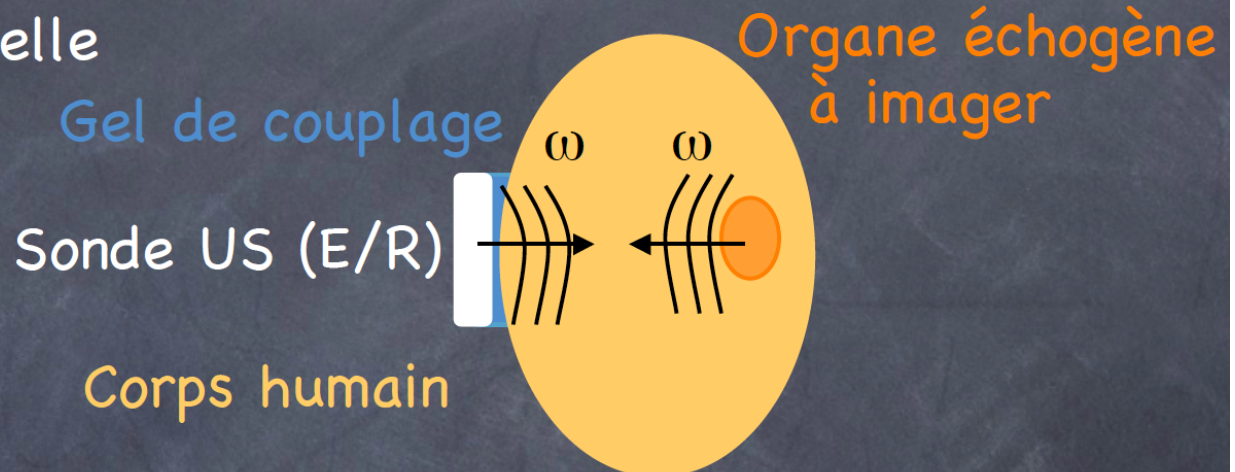
=> Distorsion de l'onde au fur et à mesure de sa propagation

=> Effet **cumulatif**

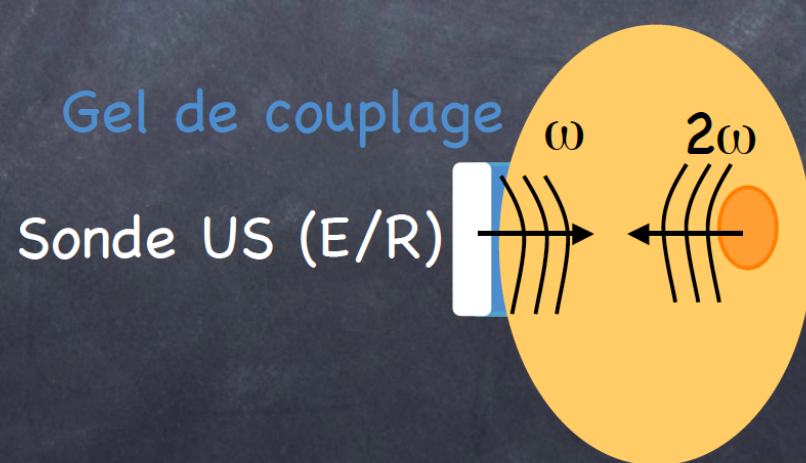
<b>Acier [22]</b>	$\beta = 4.4$
<b>Granite [12]</b>	$\beta = -441$
<b>Béton (1) [13]</b>	$\beta = -157$
<b>Béton (2) [14]</b>	$\beta = -139$
<b>Silice [15]</b>	$\beta = -3.75$
<b>Air [16]</b>	$\beta = 1.2$
<b>Titane [15]</b>	$\beta = 2.5$
<b>Eau distillée à 20°C [16]</b>	$\beta = 3.5$
<b>Duralumine [15]</b>	$\beta = 5.5$
<b>Os trabéculaire [17]</b>	$\beta = 440$

Tableau 1. Différentes valeurs du coefficient de non-linéarité  $\beta$

## Echographie conventionnelle



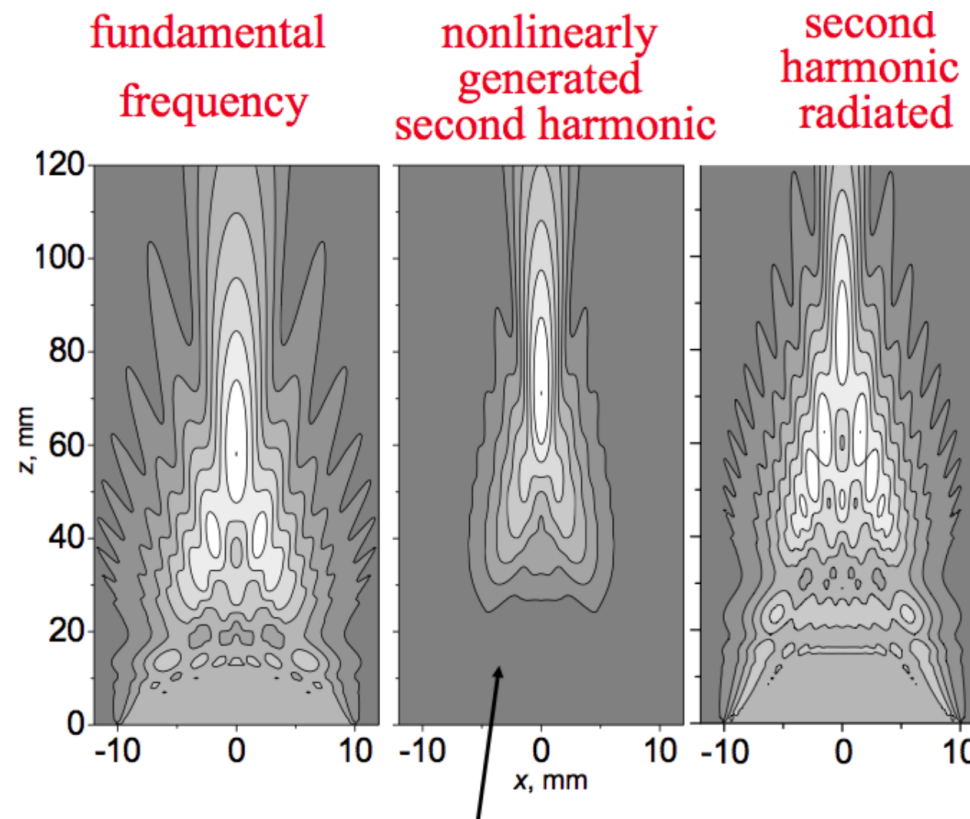
## Echographie harmonique



Cours F. Coulouvrat

### Avantages de l'échographie harmonique :

- Fréquence double => Longueur d'onde /2 => Meilleure résolution axiale
- Proportionnel au carré de l'amplitude => Réduction de lobes secondaires  
=> Meilleure résolution latérale et réduction des artefacts
- Génération progressive => Réduction des artefacts issus de la propagation directe

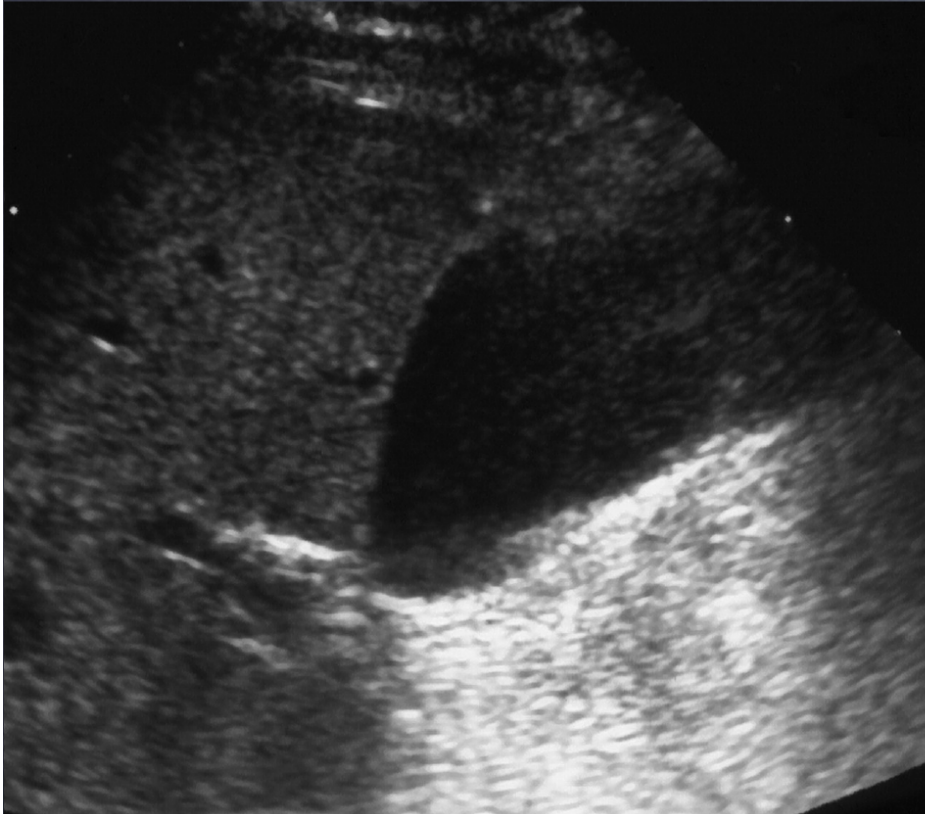


Cours F. Coulouvrat

Echographie conventionnelle (linéaire)

Gallbladder polyp.

Echographie harmonique (non linéaire)



Choudhry S et al. Radiographics 2000;20:1127-1135

RadioGraphics

Imagerie harmonique => composites ayant subi des cycles de fatigue

Image d'amplitude linéaire

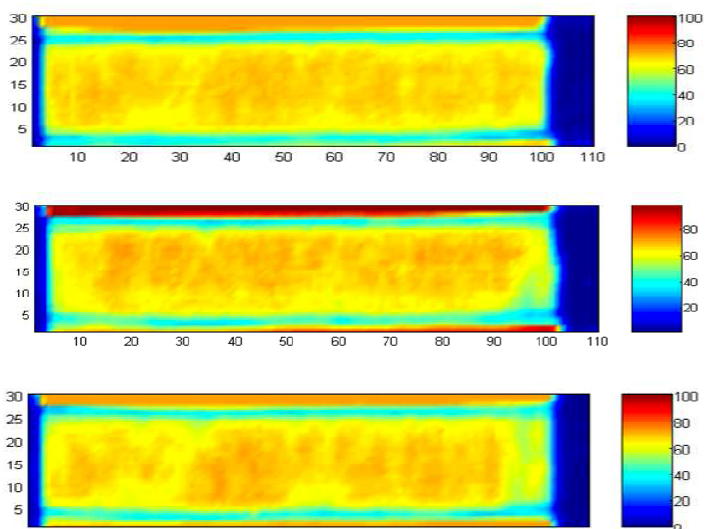
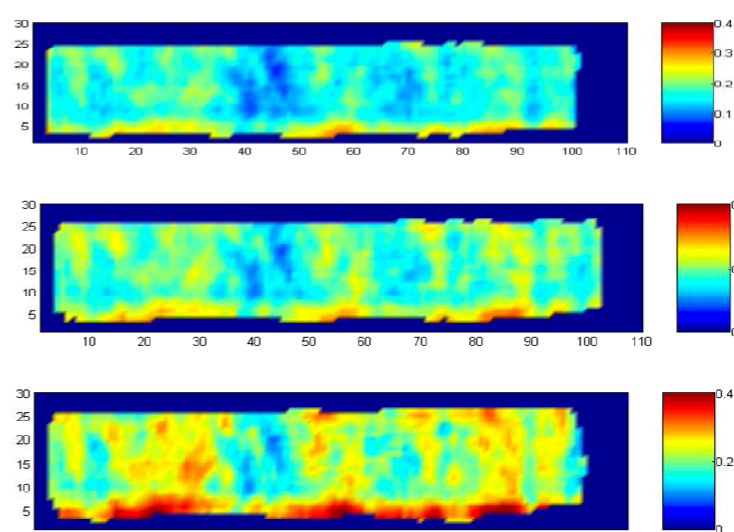


Image du deuxième harmonique  
obtenue par inversion d'impulsion



0 cycles

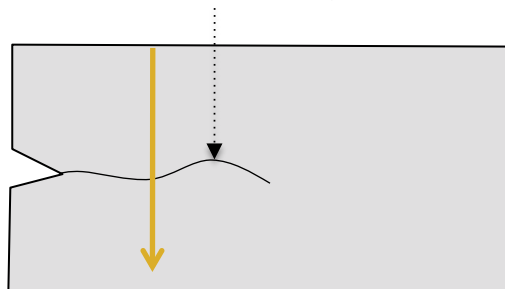
15 000 cycles

17 000 cycles

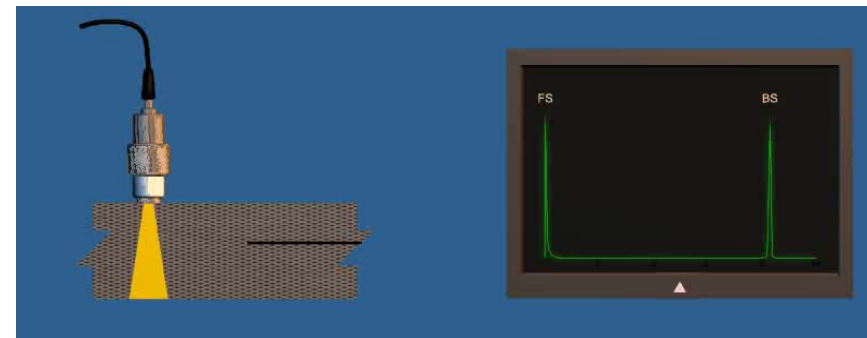
Cours O. BOU MATAR

ECND de fissures fermées ?

Fissures fermées (/microfissures)



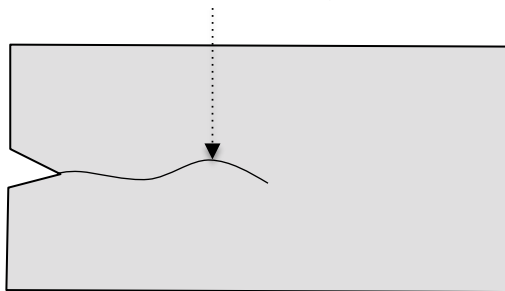
*Techniques US linéaires conventionnelles*



ECND de fissures fermées ?

### *Sensibilité limitée des techniques US linéaires*

Fissures fermées (/microfissures)



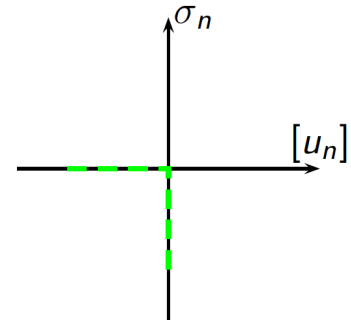
Interfaces avec un comportement NON-LINÉAIRE  
Contact, frottement, adhésion, rugosités, plasticité  
...

Effets non-linéaires lors de la propagation d'ondes acoustiques si les comportements NL sont activés

Effets observés quelque soit la nature de la non-linéarité (locale, cumulative, classique, non classique ...)   
=> Pb ouvert : différencier et caractériser les NL

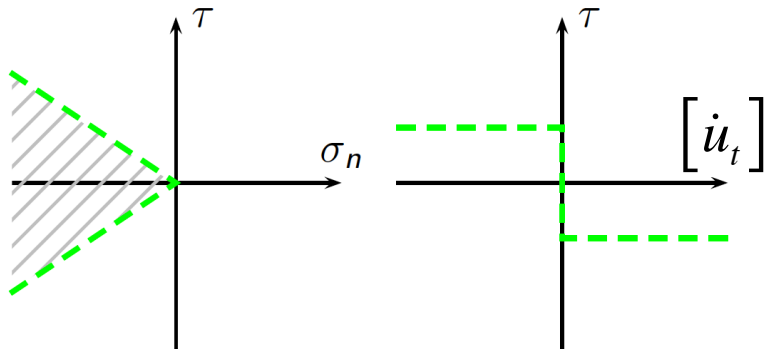
- Génération d'harmoniques
- Modulation de fréquence
- Résonance non linéaire
- ...

Comportement normal :  
**Contact unilatéral**



$$\begin{cases} \sigma_n \leq 0 \\ [u_n] \leq 0 \\ \sigma_n [u_n] = 0 \end{cases}$$

Comportement tangentiel:  
**Frottement de Coulomb**

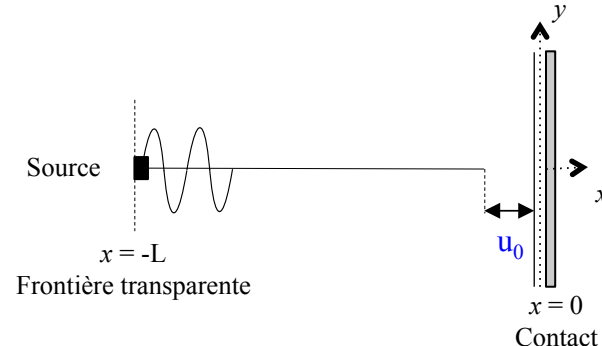


$$\begin{aligned} |\tau| &\leq \mu |\sigma_n| \\ \bullet \text{ si } |\tau| &< \mu |\sigma_n|, \dot{u}_t = 0 \text{ (adhésion)} \\ \bullet \text{ si } |\tau| &= \mu |\sigma_n|, \tau \cdot \dot{u}_t \leq 0 \text{ (glissement)} \end{aligned}$$

Un seul paramètre physique = coefficient de frottement

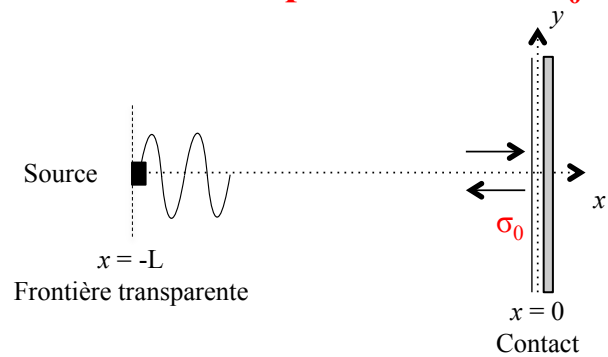
- Lois non-régulières avec résultats partiels concernant l'existence et l'unicité des solutions  
**⇒ Précautions pour l'implémentation numérique de la loi**

Interface initialement ouverte avec un saut de déplacement  $u_0$



Clapping si  $u_{inc\_max} > |u_0|$   
 $\Psi_L = |u_0|/u_{inc\_max}$

Interface initialement fermée avec une précontrainte  $\sigma_0$

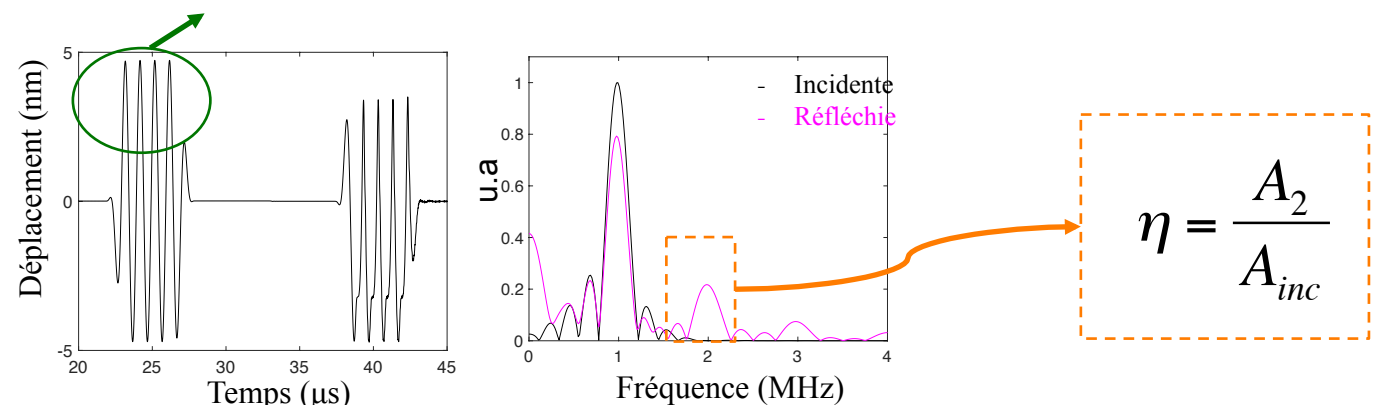


Clapping si  $\sigma_{inc\_max} > |\sigma_0|$   
 $\xi_L = |\sigma_0|/\sigma_{inc\_max}$

Méthode de génération d'harmoniques

Exemple (interface fermée):  $\sigma_0 = -1.4 \text{ MPa}$

Onde incidente :  $f=1\text{MHz}$ ;  $N_c=5$ ;  $\sigma_{inc\_max}=3\text{MPa}$  (fenêtre rectangulaire apodisée).



## Effet du « clapping »

Interface ouverte  $u_0$

Interface fermée  $\sigma_0$

## Effet du « sliding »

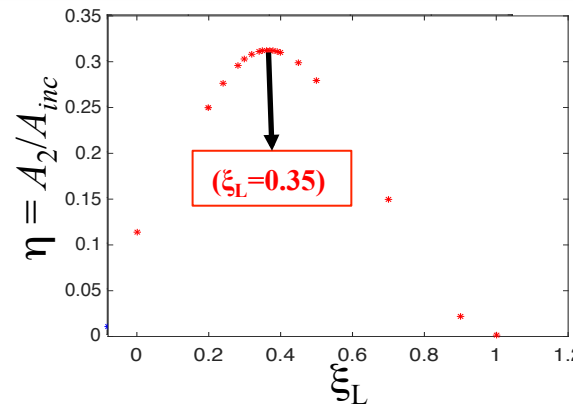
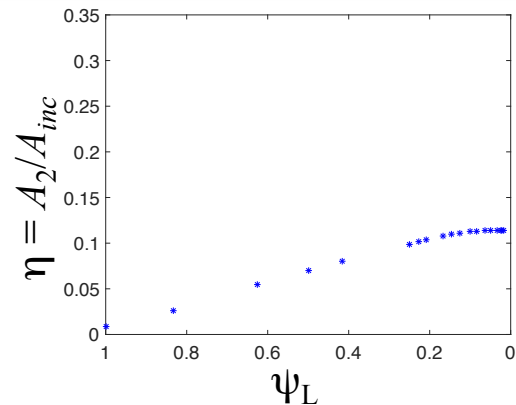
Paramètre important

$$\psi_L = \frac{|u_0|}{u_{inc}^{int}}$$

$$\xi_L = \frac{|\sigma_0|}{\sigma_{inc}^{int}}$$

=> Génération de  $A_2$  liée à l'intensité du « clapping »

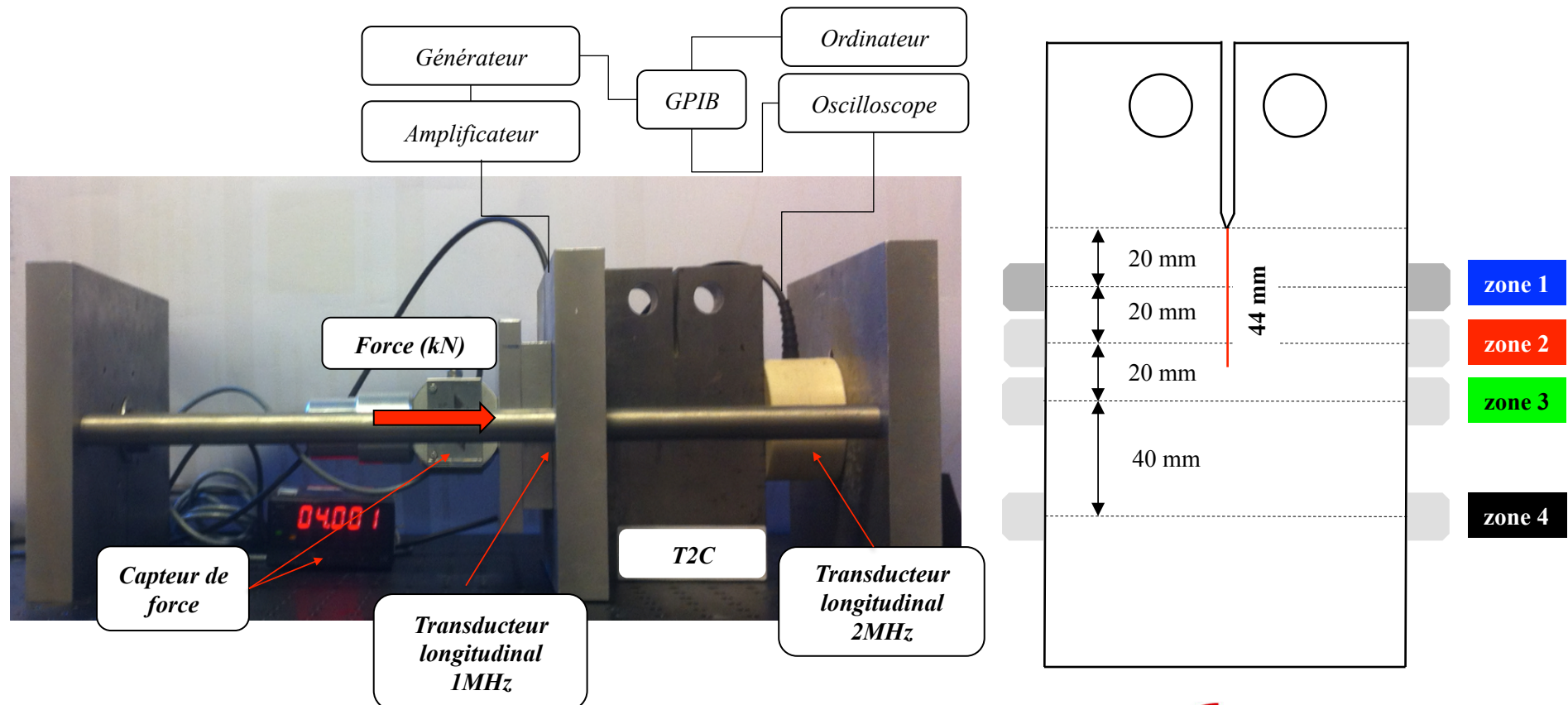
Signature CAN numérique



Signature CAN expérimentale

2 signatures acoustiques non-linéaires différentes

- Dispositif expérimental:



## Effet du « clapping »

Interface ouverte  $u_0$

Interface fermée  $\sigma_0$

## Effet du « sliding »

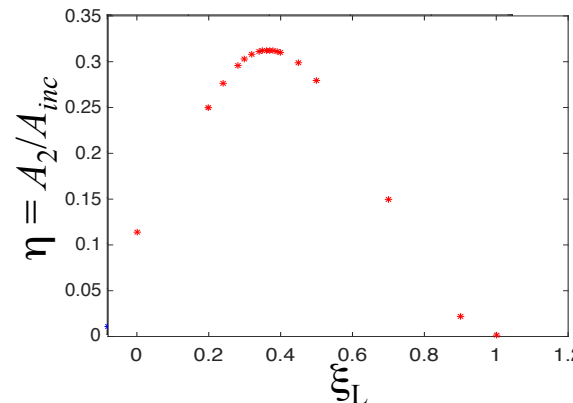
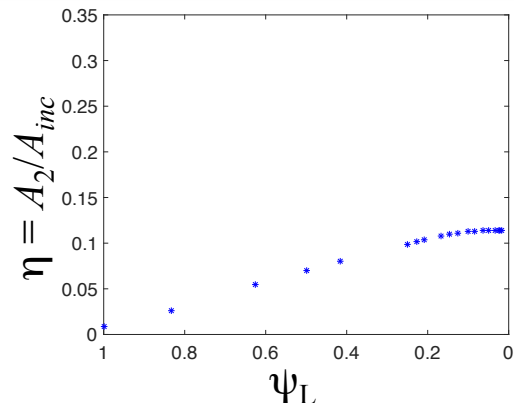
### Paramètre important

$$\psi_L = \frac{|u_0|}{u_{inc}^{\text{int}}}$$

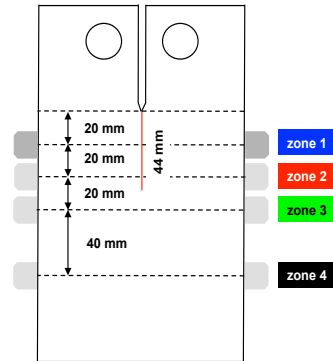
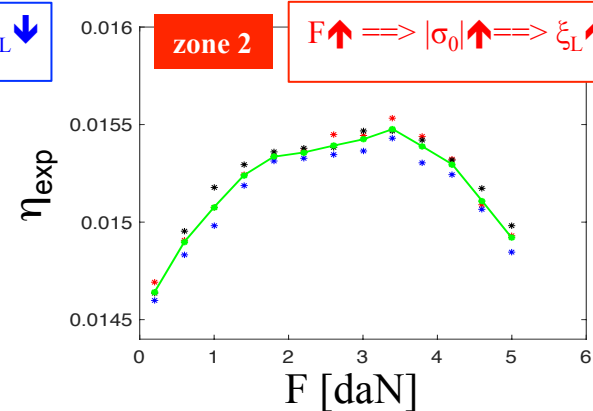
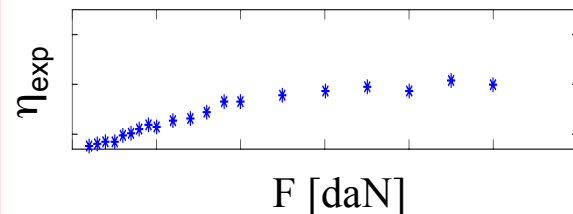
$$\xi_L = \frac{|\sigma_0|}{\sigma_{inc}^{\text{int}}}$$

=> Génération de  $A_2$  liée à l'intensité du « clapping »

### Signature CAN numérique



### Signature CAN expérimentale



Interface ouverte  $u_0$

Interface fermée  $\sigma_0$

### Effet du « clapping »

Paramètre important

$$\psi_L = \frac{|u_0|}{u_{inc}^{\text{int}}}$$

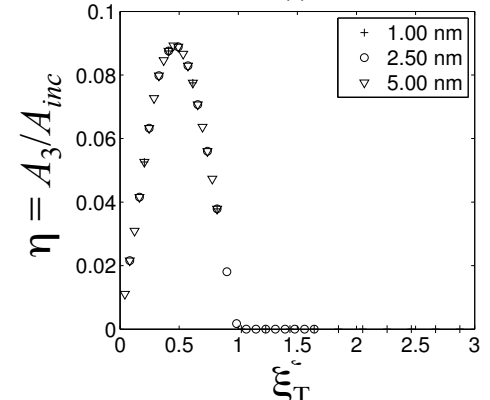
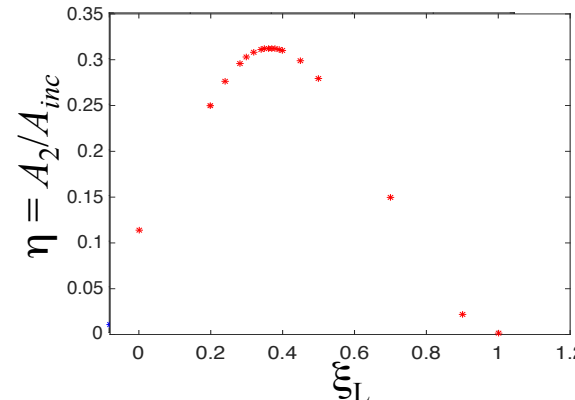
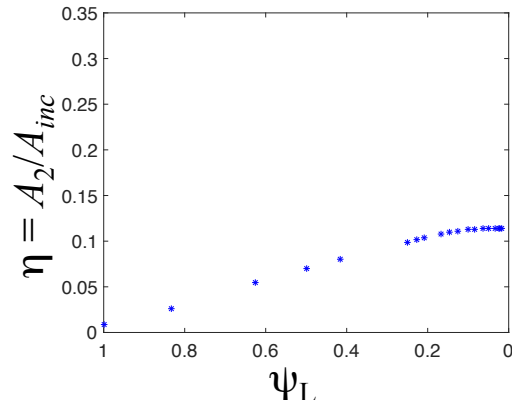
$$\xi_L = \frac{|\sigma_0|}{\sigma_{inc}^{\text{int}}}$$

$$\xi_T = \frac{u|\sigma_0|}{\tau_{inc}^{\text{int}}}$$

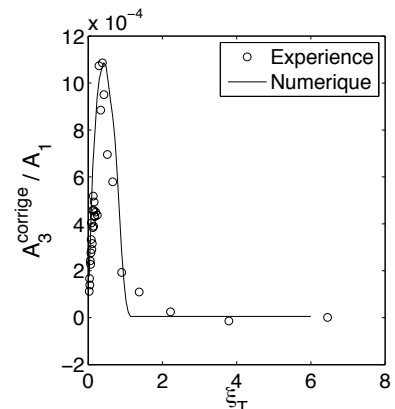
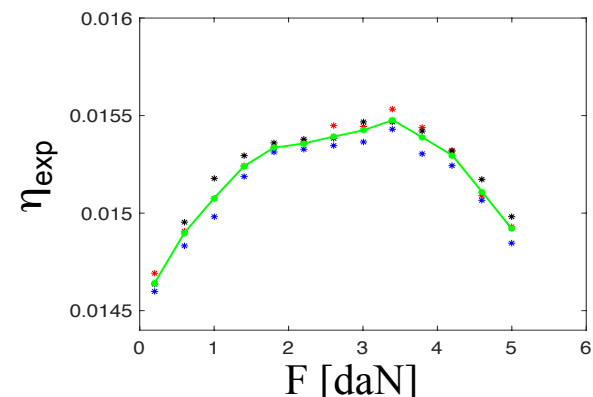
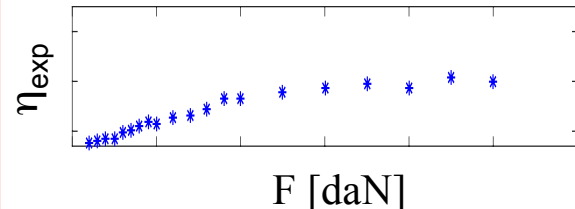
=> Génération de  $A_2$  liée à l'intensité du « clapping »

=> Génération de  $A_3$  liée à l'énergie dissipée par frottement

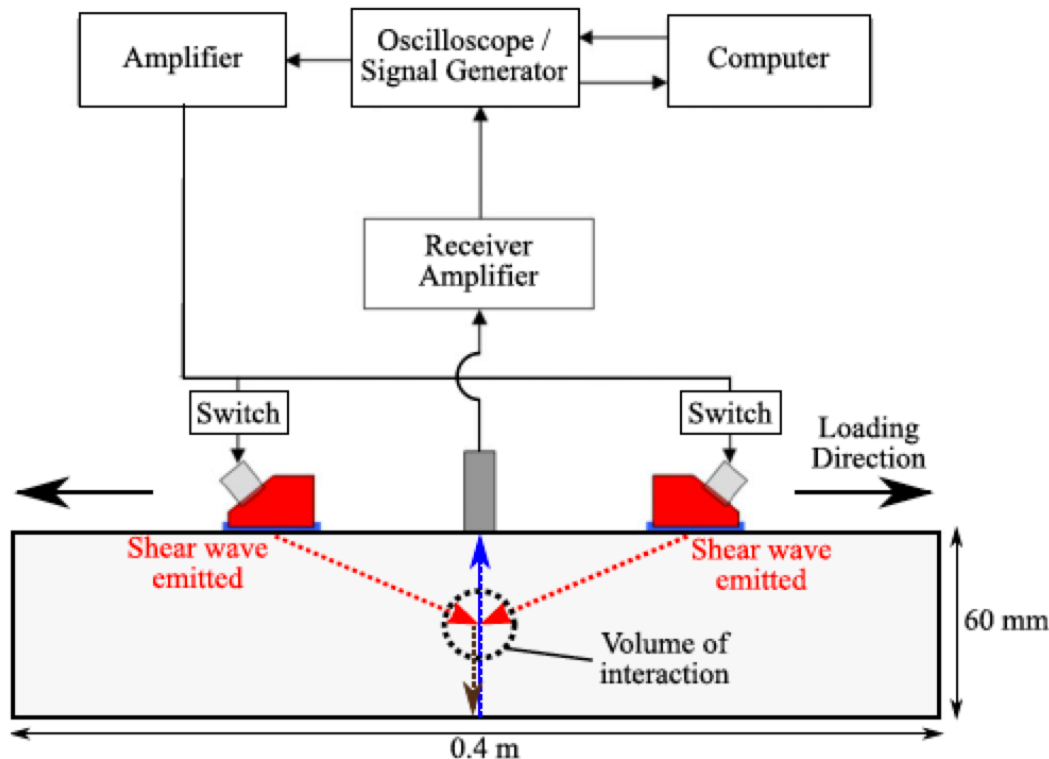
Signature CAN numérique



Signature CAN expérimentale



Méthode proposée par Jones et Kobet (1963) et expérimentalement testée par Rollin (1963)



[Croxford et al. JASA Express letter 2009]

Interaction de 2 ondes de cisaillement (incidence oblique) de fréquence  $f_0$

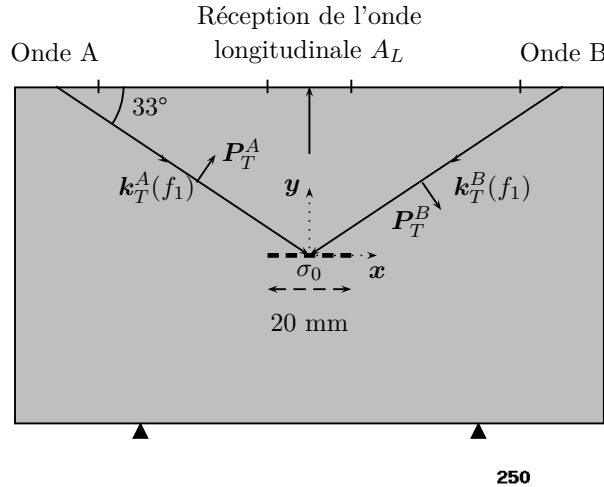
Comportement mécanique NL dans le volume d'interaction

Génération d'une onde longitudinale de fréquence  $2f_0$

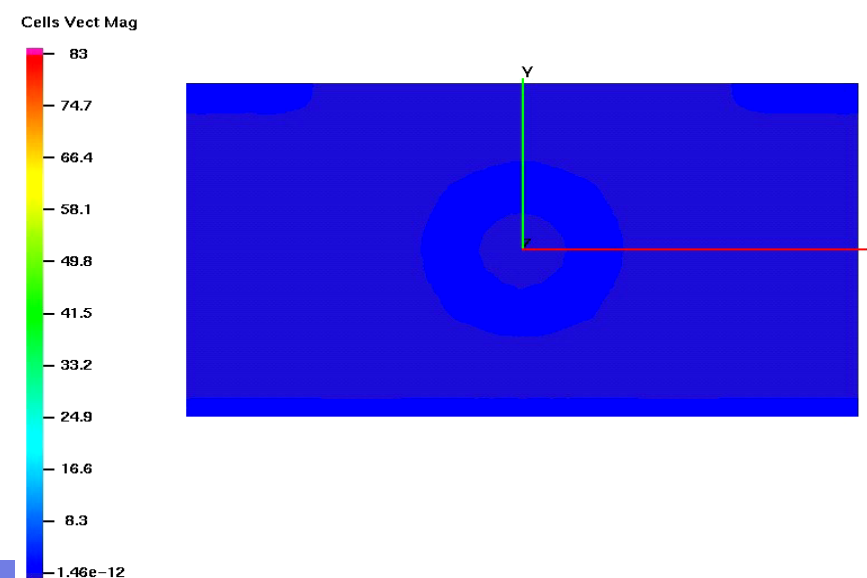
Moins sensible aux NL du système grâce à : la sélectivité spatiale, sélectivité modale, sélectivité fréquentielle et sélectivité directionnelle.

## Analyse numérique : Application à une fissure fermée

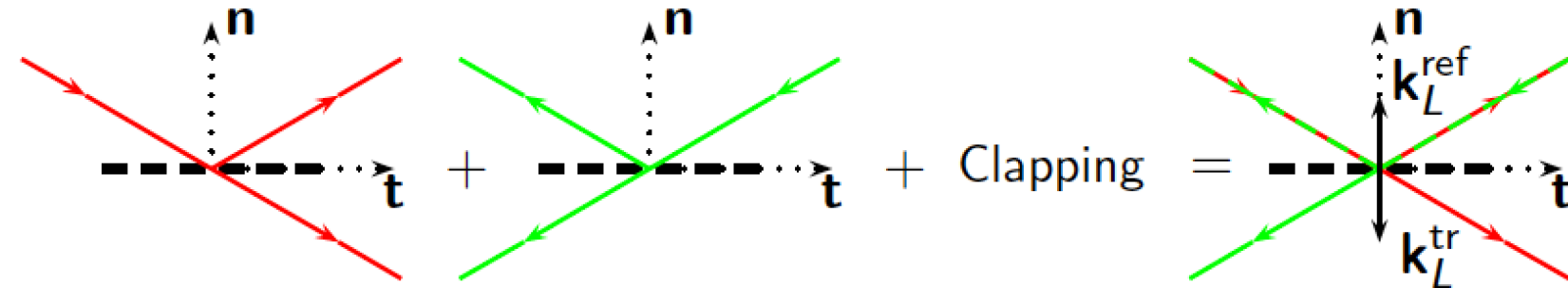
Blanloeil et al., NDT&E  
76 2015



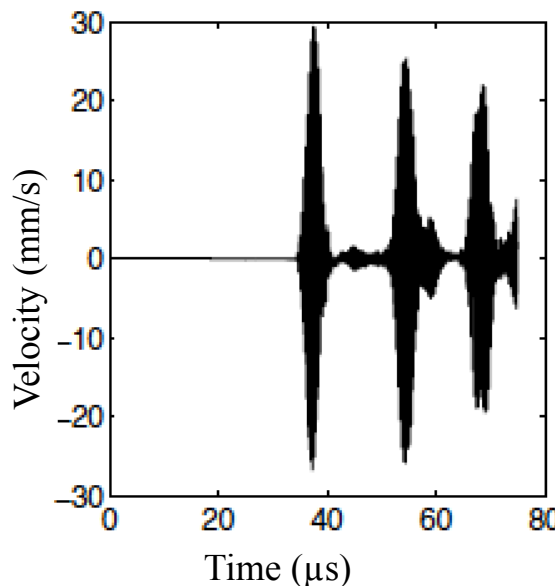
- Ondes incidentes transverses A and B;
- $\theta_I=57^\circ$ ,  $f_0=1.5\text{MHz}$ ,  $A=15\text{nm}$ , 10 cycles;
- Loi de contact = Contact unilatéral avec frottements de Coulomb (incluant une précontrainte);
- Raffinement en pointes de fissure.



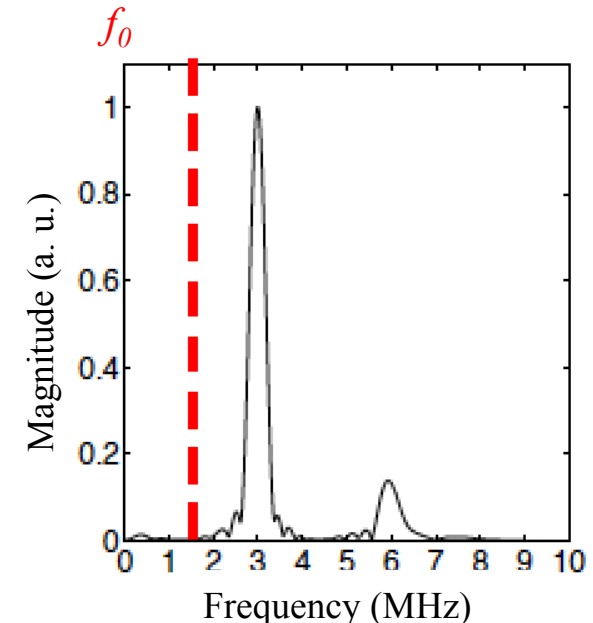
Non-linéarité de contact :



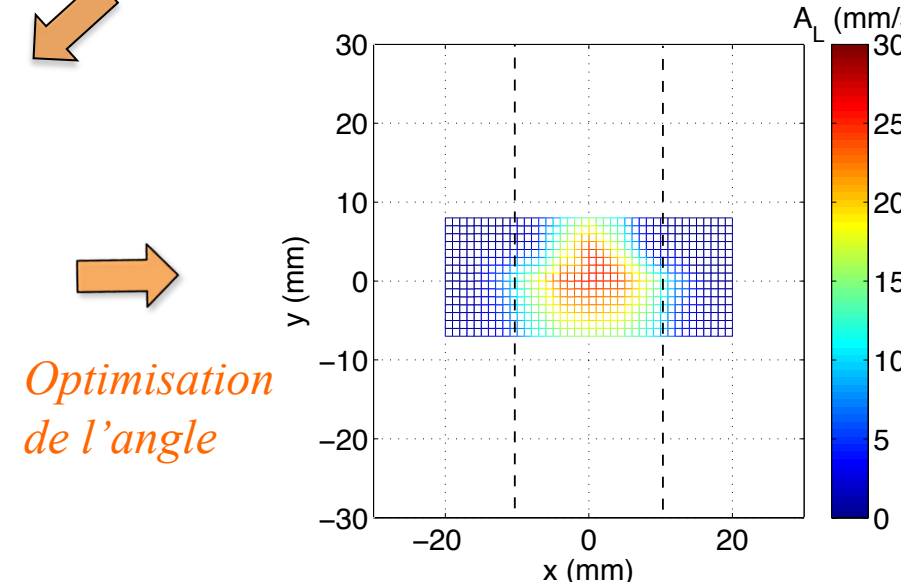
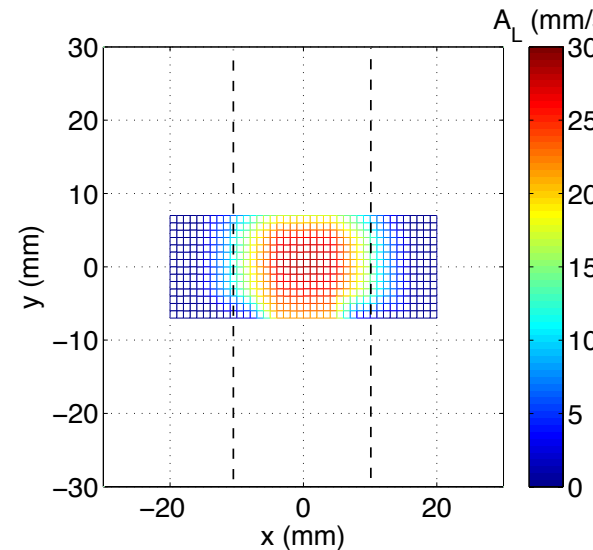
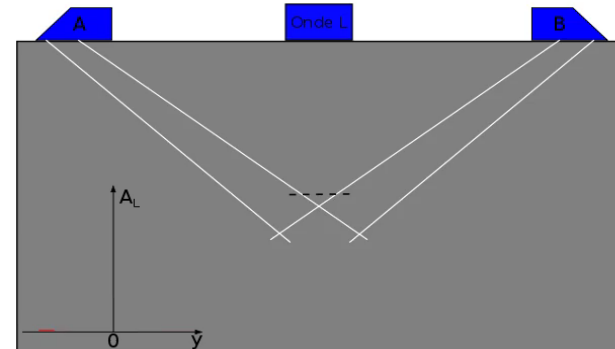
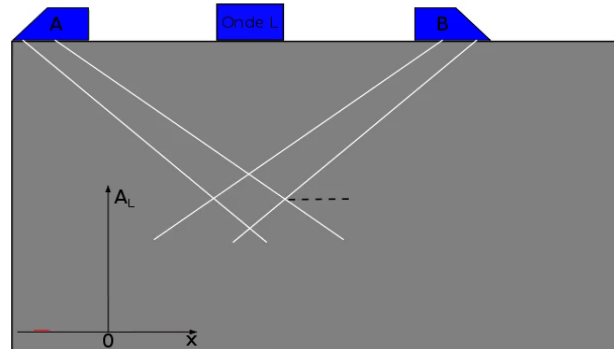
2 ondes longitudinales sont générées (réfléchie et transmise)



$\xrightarrow{\text{FFT}}$



## *Potentiel pour l'imagerie*



*Optimisation  
de l'angle*

**MERCI POUR VOTRE ATTENTION !!!**

**QUESTIONS**